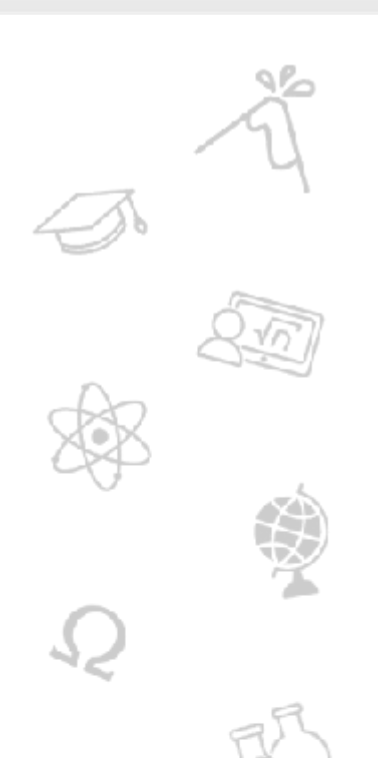
Tesis de Posgrado



Estudio climático de la precipitación del Brasil Meridional asociado con fenómeno extrarregionales

Nery, Jonas Teixeira

Tesis presentada para obtener el grado de Doctor en Ciencias de la Atmósfera de la Universidad de Buenos Aires



Este documento forma parte de la colección de tesis doctorales y de maestría de la Biblioteca Central Dr. Luis Federico Leloir, disponible en digital.bl.fcen.uba.ar. Su utilización debe ser acompañada por la cita bibliográfica con reconocimiento de la fuente.

This document is part of the doctoral theses collection of the Central Library Dr. Luis Federico Leloir, available in digital.bl.fcen.uba.ar. It should be used accompanied by the corresponding citation acknowledging the source.



Cita tipo APA:

Nery, Jonas Teixeira. (1996). Estudio climático de la precipitación del Brasil Meridional asociado con fenómeno extrarregionales. Facultad de Ciencias Exactas y Naturales. Universidad de Buenos Aires.

 $http://digital.bl.fcen.uba.ar/Download/Tesis/Tesis_2836_Nery.pdf \ Citatipo Chicago:$

Nery, Jonas Teixeira. "Estudio climático de la precipitación del Brasil Meridional asociado con fenómeno extrarregionales". Tesis de Doctor. Facultad de Ciencias Exactas y Naturales. Universidad de Buenos Aires. 1996.

http://digital.bl.fcen.uba.ar/Download/Tesis/Tesis_2836_Nery.pdf



Facultad de Ciencias Exactas y Naturales



UNIVERSIDAD DE BUENOS AIRES FACULTAD DE CIENCIAS EXACTAS Y NATURALES DEPARTAMENTO DE CIENCIAS DE LA ATMÓSFERA

ESTUDIO CLIMÁTICO DE LA PRECIPITACIÓN DEL BRASIL MERIDIONAL ASOCIADO CON FENÓMENO EXTRARREGIONALES

Jonas Teixeira Nery

Tesis presentada para optar al título de Doctor en Ciencias de la Atmósfera 1996

Director de Tesis: Dr. Walter M. Vargas

1 2

ESTUDIO CLIMÁTICO DE LA PRECIPITACIÓN DEL BRASIL MERIDIONAL ASOCIADO CON FENÓMENOS EXTRARREGIONALES

Jonas Teixera Nery

Palabras claves: Lluvia, región, clima, variabilidad, ENSO

RESUMEN

Fluctuaciones en escala estacional e interanual de la precipitación en Brasil Meridional correspondientes a los Estados de San Pablo, Paraná, Santa Catarina y Rio Grande del Sur fueron estudiadas, utilizando datos del DAEE y DNAEE.

El período utilizado fue de 1948-1988 para el estudio estacional y en la escala interanual se utilizó el mayor período posible para cada Estado. San Pablo por ejemplo, fue estudiada teniendo en cuenta el período de 1940 a 1988.

En la escala estacional se buscó tipificar la precipitación en cada provincia y entender la variabilidad de la misma en el período de verano (6 meses) e invierno (6 meses), utilizando distintos parámteros estadísticos. Se buscó filtrar los procesos determinísticos, como por ejemplo, la onda anual muy marcada en San Pablo y en la costa de Paraná y Santa Catarina. A través del análisis armónico se elegi el mejor filtro para obtener una serie donde otros procesos no conocidos estuviesen presentes. Se realizó el estudio de persistencia a través de la función de autocorrelación.

En la escal interanual, se estudió la relación de la precipitación en San Pablo, Paraná, Santa Catarina, Rio Grando del Sur, Sur de Brasil y Brasil Meridional, con la Oscilación Sur (OS). Los resultados mostraron que virtualmente todas las fluctuaciones interanuales más significativas en la precipitación en el área de estudio estuvieron asociadas con las fases extremas de la OS. La característica más importante en la manisfestación de la OS fue la persistencia de anomalías débiles y moderadas por varios meses. Aunque la señal de Oscilación Sur resultó estadísticamente significante, se verificó que una unica fase de la OS, sea positiva o negativa, puede resultar tanto en precipitación sobre o abajo lo normal.

CLIMATE STUDY OF THE PRECIPITATION OVER SOUTHERN BRAZIL RELATED TO EXTRAREGIONAL PHENOMENA

Jonas Teixera Nery

Key Words:

Rain, region, climate, variability, ENSO

ABSTRACT

The interanual, seasonal fluctuations of precipitation in the Meridional Brazil (S. Paulo, Paraná, Santa Catarina and Rio Grande do Sul) were analysed. The meteorological data were collected at 127 station by Departamento Nacional de Agua e Energia Elétrica, DNAEE.

These data, comprising the years 1948 to 1988, of the seasonal study and interanual scale is the long record posible of each State. São Paulo, for example were studied in the years 1940 to 1988.

The seasonal scale were studied to classify the precipitation in each State and to understand the winter (six months) and summer (six months) variabilities. We have used different statistical methods, such as mean, correlation, standard deviation

Several filters were used to obtain the series without annual wave. Through Fourier transform we have chosen the best filter to get a series with other unknown process. In these new series, the persistence was studied with the autocorrelation function.

The interanual fluctuations were studied through the relation of the precipitation in São Paulo, Paraná, Santa Catarina, Rio Grande do Sul, South of Brazil and Meridional Brazil with South Oscilation (SO). Virtually all significant variations were associated with extreme phases of the SO. It has also been verified that the most important caracteristic of the SO effect is the persistence of weak precipitation anomalies for several months.

Although statistically significant the SO signal can be associated with either above or below normal precipitation.

A: Maíra L. Nery

AGRADECIMENTOS

Agradezco al Dr. Walter M. Vargas por la confianza que depositó en mi, desde mis primeros años en la investigación.

Al Departamento Nacional de Agua y Energia Eletrica por proveer la información meteorológica de Paraná, Santa Catarina y R. G. del Sur para la realización de este trabajo.

Al Departamento de Agua y Energia, de San Pablo, por proveer la información meteorológica necesaria para la realización de este trabajo.

Al investigador Shigetoshi Sugahara por sus sugerencias y comentarios en la discusión de resultados.

A la tecnica Maria de Lourdes O. F. Martins por sus sugerencias, comentarios y dedicación en las discusión de los resultados.

A los amigos del Departamento de Ciencias de la Atmósfera y al amigos del CIMA por sus compañerismo y valiosa ayuda, especialmente en los años que realicé este trabajo fuera de mi país.

Al Consejo Nacional de Investigaciones, de Brasil.

RESUMEN

Fluctuaciones en escala estacional e interanual de la precipitación en Brasil Meridional correspondientes a los Estados de San Pablo, Paraná, Santa Catarina y Rio Grande del Sur fueron estudiadas, utilizando datos del DAEE y DNAEE.

El período utilizado fue de 1948-1988 para el estudio estacional y en la escala interanual se utilizó el mayor período posible para cada Estado. San Pablo por ejemplo, fue estudiada teniendo en cuenta el período de 1940 a 1948.

En la escala estacional se buscó tipificar la precipitación en cada província y entender la variabilidad de la misma en el período de verano (6 meses) e invierno (6 meses), utilizando distintos parámetros estadísticos. Se buscó filtrar los procesos determinísticos, como por ejemplo, la onda anual muy marcada en San Pablo y en la costa de Paraná y Santa Catarina. A través del análisis armónico se elegi el mejor filtro para obtener una serie donde otros procesos no conocidos estuviesen presentes. Se realizó el estudio de persistencia a través de la autocorrelación.

En la escala interanual, se estudió la relación de la precipitación en San Pablo, Paraná, Santa Catarina, Rio Grande del Sur, Sur de Brasil y Brasil Meridional, con la Oscilación Sur (OS). Los resultados mostraron que virtualmente todas las fluctuaciones interanuales más significativas en la precipitación en el área de estudio estuvieron asociadas con las fases extremas de la OS. La característica más importante en la manifestación de la OS fue la persistencia de anomalías débiles y moderadas por varios meses. Aunque la señal de Oscilación Sur resultó estadísticamente significante, se verificó que una única fase de la OS, sea positiva o negativa, puede resultar tanto en precipitación sobre o abajo lo normal.

LISTAS DE INDICES

AENOS - Anti El Niño - Oscilación Sur

ANOVA - Análisis de Varianza

Cin - Coeficiente de la Función Temporal Asociada a la Ei

CPTEC - Centro de Prognóstico

DAEE - Departamento de Agua y Energía Elétrica

DCRH/CAEEB - Directorio Central de Recursos Hídricos

E - Este

ei - i-ésimo autovector

ENOS - El Niño - Oscilación Sur

EOF - Función Ortogonal Empírica

F (v₁, v₂) - Distribución de la probabilidad de Fisher-Snedecor

INPE - Insituto Nacional de Pesquisas Espaciales

IOS - Indice de Oscilación Sur

NE - Nordeste

NO - Noroeste

OS - Oscilación Sur

PNM - Presion del Nivel del Mar

PROHD - Programa de Homogenización de los Datos

ROL - Radiación de Onda Larga Emitida para el Espacio

RV - Razón de Varianza

TSM - Temperatura de la Superfície del Mar

Vt - Varianza Temporal

V_s - Varianza Espacial

ZCAS - Zona de Convergencia del Atlántico Sur

ZCIT - Zona de Convergencia Intertropical

 μ - Promedio de los Datos de Precipitaciones

σ - Desvío Standar de los Datos de Precipitaciones

LISTAS DE LAS FIGURAS

- FIGURA 1 Distribución espacial de las estaciones utilizadas en este trabajo.
- FIGURA 2 Isolíneas de las altitudes de las estaciones del Brasil Meridional.
- FIGURA 3 3A) Patrón espacial de la primera componente de EOF's de anomalias mensuales de precipitaciones (filtradas por el promedio móvel triangular de 12 meses, explicando 29.15% de la varianza total). Tanaka et alii (1988).

 3B) Coeficientes temporales asociados al patrón de la figura 3A.
- FIGURA 4 Promedio de la precipitación, período 1948-1988, para el Brasil Meridional. Isolíneas hechas envolucrando todas las 127 estaciones
- FIGURA 5 Isolíneas del desvio estandar de las precipitaciones del Brasil Meridional, para el período 1948-1988.
- FIGURAS 6 y 7 Análisis multivariado (cluster) para hacer la clasificación de las estaciones de precipitación de S. Pablo, Paraná, S. Catarina y R.G.del Sur.
- FIGURA 8 Gráficos del promedio e del desvio estandar de las series originales de San Pablo y Paraná.
- FIGURA 9 Gráficos del promedio y desvio estandar de las series originales de S.Catarina y R.G. del Sur.
- FIGURA 10 Gráficos del modulo de $(X(I)-\overline{X})$ de las precipitaciones de S. Pablo y Paraná.
- FIGURA 11- Gráficos del modulo de $(X(I)-\overline{X})$ de las precipitaciones de S.Catarina y R.G. del Sur.
- FIGURA 12 Gráficos del modulo de $(X(I)/\overline{X})-1$ de las precipitaciones de S. Pablo y Paraná.
- FIGURA 13 Gráficos del modulo de $(X(I)/\overline{X})-1$ de las precipitaciones de S. Catarina y R.G. del Sur.
- FIGURA 14 Gráficos del modulo de $(X(I)-\overline{X})/\sigma$ de las precipitaciones de S. Pablo y Paraná
- FIGURA 15 Gráficos del modulo de $(X(I)-\overline{X})/\sigma$ de las precipitaciones de S. Catarina y R.G. del Sur.
- FIGURA 16 Correlograma de las series originales de precipitaciones de S. Pablo y Paraná.
- FIGURA 17 Correlograma de las series originales de precipitaciones de S. Catarina y R.G. del Sur.
- FIGURA 18 Correlograma del modulo de $(X(I)-\overline{X})/\sigma$ de las series de precipita- ciones de S. Pablo y Paraná.
- FIGURA 19 Correlograma del modulo de $(X(I)-\overline{X})/\sigma$ de las series de precipita- ciones de S. Catarina y R.G. del Sur.

- FIGURA 20 Análisis espectral de las series originales de precipitaciones de San Pablo y Paraná.
- FIGURA 21 Análisis espectral de las series originales de precipitaciones de S. Catarina y R.G. del Sur.
- FIGURA 22 Análisis espectral del modulo de $(X(I)-\overline{X})/\sigma$ de las series de precipitaciones de S. Pablo y Paraná.
- FIGURA 23 Análisis espectral del modulo de $(X(I)-\overline{X})/\sigma$ de las series de precipitaciones de S. Catarina y R.G. del Sur.
- FIGURA 24 Correlación en función de las distancias de las estaciones del Brasil Meridional.
- FIGURA 25 Correlación en función de las distancias para cada provincia del Brasil Meridional, período de invierno (06 meses) y verano (06 meses).
- FIGURA 26 Indices estandarizados de las precipitaciones de S. Pablo, Paraná, S. Catarina, R. G. del Sur, Sur de Brasil y Brasil Meridional.
- FIGURA 27 Indices obtenidos a traves del EOF's (factor scores), para cada provincia y para el Sur de Brasil y Brasil Meridional.
- FIGURA 28 Índices obtenidos a traves de EOF's para cada región clasificada por el metodo de Análisis de Agrupamento (cluster).
- FIGURA 29 Graficos correspondiente a las composiciones relativas a los años de El Niño, para cada provincia del Brasil Meridional.
- FIGURA 30 Composiciones de TSM para cuatro areas "claves" de ENOS (Niño 1, Niño 2, Niño 3 y Niño 4).

LISTAS DE GRAFICOS DE LOS ANEXOS

- FIGURA 31 Dendograma de las provincias de San Pablo y Paraná.
- FIGURA 32 Dendograma de las provincias de S. Catarina y R. G. del Sur.
- FIGURA 33 Estructura de la precipitación total mensual del período 1948 1988, del Brasil Meridional.
- FIGURA 34 Estructura del desvio estandar de la precipitacióntotal mensual del período 1948 -1988, del Brasil Meridional.
- FIGURA 35 Coeficiente de variación para distintas estaciones del Brasil Meridional.
- FIGURA 36 Estructura de la asimetria para distintas estaciones del Brasil Meridional.
- FIGURA 37- Análisis armonico de las series originales de precipitaciones de San Pablo y Paraná.
- FIGURA 38 Análisis armonico de las series originales de precipitaciones de Santa Catarina y Rio Grande del Sur.
- FIGURA 39 Distribución espacial de los armonicos representativos de la onda anual. Los numeros entre parentesis representan la varianza

- explicada del armonico de la onda anual para las provincias de San Pablo y Paraná.
- FIGURA 40 Distribución espacial de los armonicos representativos de la onda anual. Los numeros entre parentesis representan la varianza explicada del armonico de la onda anual para las provincias de Santa Catarina y Rio Grande del Sur.
- FIGURA 41- Índice estandarizado de la precipitación para la provincia de San Pablo, mes a mes.
- FIGURA 42 Índice estandarizado de la precipitación para la provincia de Paraná, mes a mes.
- FIGURA 43 -Indice estandarizado de la precipitación para la provincia de Santa Catarina, mes a mes.
- FIGURA 44 Índice estandarizado de precipitación para la provincia de Rio Grande del Sur. mes a mes.
- FIGURA 45 Índice estandarizado de la precipitación para el Sur de Brasil, mes a mes.

LISTA DE TABLAS

- Tabla 1- Tabla de las estaciones utilizadas con sus respectivas latitudes, longitudes, altitudes y períodos correspondientes a cada una de ellas.
- Tabla 2 Cálculo del promedio, mediana, cuartil minimo, cuartil maximo, asimetria y curtosis.
- Tabla 3 Promedio del numero de dias con Iluvias (precipitación por encima de 1 mm), promedio de lluvias y cantidades de precipitaciones (PP/DD), para un conjunto de estaciones del Brasil Meridional.
- Tabla 4 Para el armónico 41 (onda anual) los valores en porcentaje para la serie original y para cada filtro utilizado.
- Tabla 5 tablas del porcentaje de todos los meses para algunas estaciones y las combinaciones de tres meses: período seco (mayo/julio) y período húmedo (diciembre/febrero); combinación de seis meses: período seco (abril/septiembre), período húmedo (octubre/marzo). Además se calculó el porcentaje de períodos de tres meses consecutivos.
- Tabla 6 Estudio de las precipitaciones para cada año en relación a la media climatológica para cada período, en cada provincia (Anexo VII).
- Tabla 7 Índice de anomalias estandarizadas de precipitación mensual para cada provincia.
- Tabla 8 Variación temporal y espacial de las estaciones del Brasil Meridional.
- Tabla 9 Desvios de la precipitación estandarizadas de las provincias del Sur de Brasil, para los episodios frios de la Oscilación Sur.
- Tabla 10 Casos de ENOS considerados en las composiciones del índice de precipitaciones mensuales.

INDICE

| ABSTRACT | |
|---|------|
| RESUMEN | |
| AGRADECIMIENTOS | |
| LISTAS DE INDICES | |
| INDICE | |
| INTRODUCCION | 0. |
| 1) DATOS Y ASPECTOS METODOLOGICOS | 08 |
| 1.1 - Relleno de Series Incompletas | 09 |
| 1.1.1 - Valores Puntuales | 09 |
| 1.2 - Homogenización de las Series Elejidas | 10 |
| 2) CARACTERISTICA CLIMATICA Y GEOGRAFICA DE LA REGIO | N 12 |
| 2.1 - Región Sureste | 13 |
| 2.2 - Región Sur | 14 |
| 3) VARIACION INTERANUAL: RELACION CON LA OS | 15 |
| 4) ASPECTOS METODOLOGICOS | 17 |
| 4.1 - Estudio de la Tendencia | 17 |
| 4.2 - Programa de Homogenización de los Datos | 18 |
| 4.2.1 - Descripción de los Datos de Entrada | 18 |
| 4.3 - Análisis Estadístico | 19 |
| 4.4 - Análisis de Varianza | 19 |
| 4.5 - Análisis Multivariado | 20 |
| 4.5.1 - Distancia Eulideana | 21 |
| 4.5.2 Análisis Tipológico | 21 |
| 4.5.3 - Determinación del Numero de Grupos | 23 |
| 4.6 - Función de Autocorrelación | 24 |
| 4.7 - Análisis Espectral | 25 |
| 4.8 - Series Temporales de Indices de Precipitaciones | 27 |
| 5) DISCUSIÓN DE LOS RESULTADOS | 30 |
| 5.1 - Consistencia de los Datos | 30 |
| 5.2 - Estudio de la Tendencia | 31 |
| 5.3 - Campos Medios de Precipitaciones | 31 |
| 5.4 - Estadística Descriptiva | 32 |
| 5.5 - Meses más Lluviosos y más Secos | 41 |
| 5.6 - Estudio de Variabilidad Interanual | 42 |
| 5.6.1 - Estudio del Indice de Anomalías de la Precipitación | 43 |
| 5.6.2 - Indice de Precipitación Mensual Centradas on Años do El Niz | _ 47 |

| 5.6.3 - Composición en Relación a Episodios Fríos | 49 |
|---|---------|
| 6) CONCLUSIONES | 50 |
| TABLAS | 53 |
| MAPAS | 59 |
| BIBLIOGRAFIA | 61 |
| MAPAS | 68 |
| GRAFICOS | 75 |
| ANEXOS | 97 |
| Anexos I - Datos de precipitación de DAEE SP y DNAEE PR, SC, R | RS 98 |
| Anexos II - Análisis Armonicas de la Serie | 101 |
| Anexos III - Cálculos del promedio, mediana, minimos, maximos, cu | artiles |
| inferior, cuartiles superior, desvio estandar, asimetria, curtosis, coefi | ciente |
| de variación. | 108 |
| Anexo IV Propiedades Básicas de las Series. | 109 |
| Anexo V - Estudio de las precipitaciones para cada año en relación a | a la |
| media climatológica para cada período, en cada provincia | 116 |
| Anexo VI - Indices de anomalias, anuales, de precipitaciones | 117 |
| Anexo VII - Indices de anomalias, mensual, de precipitaciones | 121 |
| Anexo VIII - Dendogramas de las precipitaciones de cada provincia | 127 |
| Anexo IX - Porcentaje de precipitación en relación ao promedio del | |
| período | 129 |

INTRODUCCIÓN

Algunos casos de anomalías de precipitación en el sur de Brasil están ligados a fenómenos externos específicos. Por lo tanto es muy importante el estudio de la circulación de la atmósfera, en esos casos, para mejorar el entendimiento de los procesos que interactúan en esta región. Según diversos estudios, Kousky et al. (1984), las anomalías de precipitación en Brasil están asociadas al fenómeno Oscilación Sur - El Niño.

Kousky y Cavalcanti (1984), concluyeron que, durante el período de El Niño de 1982 - 1983 (fase negativa de la Oscilación del Sur), una corriente en chorro subtropical bien marcada sobre la América del Sur y al este del Océano Pacífico Sur juntamente con varias situaciones de bloqueo en latitudes medias favorecieron el ingreso de sistemas frontales activos en el Sur de Brasil. Esto explica la excesiva precipitación observada en esta región, en ese período.

También Rao y Hada (1988), mostraron que la variabilidad de las lluvias en el extremo sur de Brasil es significativa y que algunas anomalías globales en el comportamiento atmosférico pueden influir en el campo de precipitación de esta región.

En casos de sequía en el sur de Brasil existen algunas indicaciones de que las anomalías de precipitación están ligadas a anomalías de nubosidad y del flujo en nivel global. Casarin (1982) estudió una situación de circulación atmosférica anómala que ocurrió en enero de 1979 sobre América del Sur. En este evento pudo observarse una circulación anticiclónica persistente sobre el Océano Pacifico Sur y al mismo tiempo ocurrió una bifurcación del flujo en la troposfera asociada a una cuña centrada aproximadamente en 135° W. En la parte este de la cuña localizada sobre la América del Sur hubo una subsidencia que provocó sequía en esta región de estudio.

En el Atlántico, el efecto de la corriente marina de Brasil hace que la temperatura de agua sea mayor que en el Pacífico, lo que afecta el índice de evaporación y la advección sobre la región de estudio.

Los centros de presión que influyen sobre el desarrollo del tiempo, en escala continental, son los anticiclones subtropicales del Pacífico y del Atlántico, con posiciones medias alrededor de los 30° S y, también, el centro de baja presión denominado baja térmica del NO que se forma al este de los Andes.

Los frentes fríos son las causas principales de las precipitaciones en el sur de Brasil, Hoffmann (1975). La travesía de los frentes fríos hacia el norte, se acelera por efecto de la cordillera de los Andes. Junto con el avance del frente polar se producen procesos en los niveles altos de la atmósfera tales como vaguadas y ciclones, los que dirigen las acciones frontales principalmente sobre el tipo de nubosidad y precipitaciones. En primavera y verano se desarrollan, dentro de la masa de aire caliente, líneas de inestabilidad o de turbonadas que son franjas de nubosidad convectivas de gran alcance vertical que producen tormentas elétricas, Quinteros (1987).

Se nota que 1982 - 1983, fue un período de extremos climáticos muy marcados en todo el mundo. Estas anomalías del clima dieron una imagen dramática de la interacción del clima con la sociedad. Otras fluctuaciones no son tan globales, pero generan problemas sociales que necesitan de una vigilancia del clima en los diferentes estratos de la sociedad, Vargas et al. (1987).

Además del efecto de la precipitación hay evidencias de otras manifestaciones de la Oscilación Sur (OS) sobre las regiones del Brasil. Por ejemplo, el Instituto Brasileiro do Café publicó en sus boletines ocurrencias de heladas fuertes en 1957, 1965, 1966, 1969, 1972 y 1975 y heladas débiles en 1962, 1963 y 1964. Es importante observar que esas heladas, excepto las de 1962 y 1964, ocurrieron en los inviernos, en el hemisferio sur, en los cuales las anomalías de las TSM en la costa del Perú y Ecuador, eran positivas, Hamilton et al. (1978).

El estudio de extremos tiene, en primera instancia, una importancia que podríamos llamar estrictamente meteorológica, ya que es una propiedad de las series, que debe ser estudiada para una mejor evaluación del comportamiento general de la

atmósfera. Nobre et al. (1990), presentaron un nuevo análisis de la distribución de precipitación en la parte oeste y central de América del Sur Tropical, relacionando la variabilidad espacial y temporal, observadas con aspectos dinámicos de la circulación atmosférica.

En general, son concebibles en Climatología algunos procesos separables en escalas. En rigor, esto es una aproximación, pues la atmósfera constituye un sistema indivisible sobre la superficie del globo. Por ello, aunque no se pruebe, es posible imaginar que existen procesos climáticos de gran escala geográficos que esté conectados.

La precipitación es una variable meteorológica muy compleja, por su variabilidad temporal y espacial, de origen natural o antropogénico. En el sur de Brasil se puede verificar claramente tal complejidad, debido a diversos efectos de escala sinóptica y de mesoescala, además de una costa maritima muy extensa. Otro aspecto importante es que el área de estudio comienza en la latitud de 20° (subtropical) y termina en 30° (latitud media), aproximadamente.

Esto persigue, entre otras cosas, la concreción de ajustar series suficientemente extensas, homogéneas, con niveles de garantía mínimas en cada una de las estaciones y estimar las formas de las distribuciones de precipitación en cada uno de los puntos de la red. Independiente de la metodología empleada, es fundamental estudiar "a priori" las condiciones de los datos utilizables, en función, principalmente de la historia de la estación, de su calidad y de su representatividad espacial.

El régimen de precipitación de la región de interés ha sido poco estudiado, salvo los campos medios anuales y mensuales presentados por Hoffmann (1975) y por Nimer (1979). Asimismo, son prácticamente inexistentes los análisis sobre los errores, aunque se considera que en las referencias anteriores están incluidos para las estaciones que allí se usaron. Por lo tanto, los resultados obtenidos por los citados autores, son las referencias válidas del estado medio de las precipitaciones. Partiendo

de allí el estudio pluviométrico, que es interés primordial en esta tesis, debe abarcar una exhaustiva representación estadística.

El llamado Brasil Meridional está constituido por las provincias:

1) San Pablo, con superficie de 247.898 Km², representando 2.91% del total de la superficie brasileña. Localizado en la región sudeste, latitud: en el extremo norte de - 19° 46' 30"S extremo sur -25° 16' 06" S; longitud: extremo este -44° 09' 24"; extremo O -53° 08' 54". La provincia representa cinco unidades morfológicas distintas: a) la planicie costera, que es una estrecha faja constituida de terrenos sedimentares; b) la Sierra del Mar, es una área accidentada que se extiende paralela a la costa; c) el planalto cristalino, que comienza en el oeste de la Sierra del Mar, a 1000m de altitud; al norte se yergue la Sierra de la Mantiqueira; d) a seguir surge un valle periférico, con relieve ondulado y altitud alrededor de 800m y; e) el planalto occidental, cubre 50% del área de la provincia.

La cuenca del río Paraná es la más importante, tanto en área como en potencial hidráulico. Predomina el clima tropical, que comprende la mayor parte de la provincia, con temperaturas medias anuales de 18° a 20° C y pluviometría oscilando entre 1000 y 1500mm.

2) Paraná, con una superficie de 199.554Km² representando 2.34% del total del territorio brasileño. Ubicada en la región sur entre las latitudes de - 22° 29' 30" S en el extremo norte y - 26° 42' 59" S en el extremo sur. Longitudes de - 48° 02' 24" extremo este y - 54° 37' 38" extremo oeste. La provincia del Paraná es formada por planaltos, una bajada costera y las sierras del Mar y Geral. La bajada comprende planicies aluviales y formaciones arenosas que se fragmentan formando la cuenca del Paranaguá. En la costa la Sierra del Mar forma macizos aislados donde surge el altiplano cristalino. El altiplano basáltico es el más grande de la provincia, haciendo límite con la Sierra Geral y el río Paraná, en la localidad de Siete Quedas. El clima en distintas regiones de esta provincia, varia con lluvias bien distribuidas, veranos calientes

y temperaturas anuales de 19° C y 1500 mm el índice pluviométrico. Casi toda la provincia está sujeta a heladas anuales y a nieve esporádicamente.

- 3) Santa Catarina con 95.985 Km² de área, representa el 1.13% del total de superficie brasileña. Está localizada en la región sur. Su latitud en el extremo norte es de 25° 57' 33" S y en el extremo sur -29° 21' 48" S. Su longitud es de 48° 62' 33" en el extremo este y en el extremo oeste de 53° 50' 00". El 70% de su territorio está sobre los 300m sobre el nivel del mar, siendo la topografía brasileña más irregular. La costa está formada por valles costeros y en el interior hay muchos valles de ríos que bajan de la Sierra del Mar. Su relieve es en gran parte de planalto basáltico que forman canales de basalto haciendo límite a este con la Sierra Geral. Su clima es subtropical húmedo en los veranos calientes y con temperatura media anual de 20°C y con una pluviometría de 1500mm anuales. En los veranos apacibles el clima subtropical registra temperaturas anuales de 16 a 18°C, siendo su invierno, riguroso. En algunas regiones de la provincia la media de heladas es de 25 días al año.
- 4) Río Grande del Sur con un área de 282.184Km² representa el 3.32% del territorio brasileño, localizada en el extremos sur de la región sur. En el extremo norte 27° 03' 42" S y 33° 45' 09" S en el extremos sur de latitud; con una longitud de 49° 42' 41" al extremo este y 57° 40' 57" al extremo oeste. El relieve de la provincia del extremo sur está formado por terrenos arenosos, con depresiones, donde se encuentran las grandes lagunas de Patos y Mirim. Al norte se localiza el planalto arenito basáltico, con altitud media de 1200m. La planicie central está formada por suelos de la época paleozoica y no sobrepasa la altitud de 100m sobre el nivel del mar. Los ríos de Río Grande del Sur pertenecen a la cuenca del Uruguay, que es el principal río de la provincia. El clima es subtropical con veranos calientes e inviernos fríos, característico de casi toda la provincia. La temperatura media es 18°C y las lluvias son de 1500mm anuales. En las regiones más elevadas domina un clima subtropical con veranos templados e inviernos rigurosos, con una temperatura media de 16°C y un índice pluviométrico de 1300mm anuales. Las heladas ocurren en prácticamente toda la provincia y las nevazones son fuerte en el altiplano.

1) IMPACTO ECONÓMICO DEL CLIMA REGIONAL

La región sur de Brasil y San Pablo, aquí denominado Brasil Meridional, tienen una economía dependiente de la agricultura y, el desarrollo de ésta, se da en el período de verano. Es bien sabido que existe un estrecho vínculo entre la producción agrícola y las condiciones del tiempo que ocurren durante el ciclo de una determinada especie. También son conocidos los efectos altamente dañinos provocados por las anomalías de precipitación que ocurren en las regiones productores de alimentos. Estos efectos se traducen, muchas veces, en la pérdida casi total de la producción de una determinada región, provocando déficit de alimentos.

En 1993, la economía de Paraná, tuvo un perjuicio de 153 millones de dólares, debido a causas meteorológicas, (Departamento de Economía Rural, DERAL, de la Secretaría de Agricultura). Aunque debido a otro fenómeno meteorológico, la helada fue la responsable por esta pérdida, es importante observar la necesidad de conocer los fenómenos atmosféricos y poder pronosticarlos.

Las pérdidas económicas ocasionadas por fluctuaciones del clima en el sur de Brasil, por ejemplo en 1982 - 1983, son considerables. San Pablo es la provincia de Brasil responsable por el 65% de la producción nacional. Tiene un parque industrial de 115 mil industrias, consume más de la mitad de la energía generada en el país. Es, también, el principal productor agrícola. Esta región sufre mucho con las oscilaciones del clima. En caso de sequía, se notan grandes problemas sociales además de problemas energéticos y de pérdidas en la producción agrícola. La provincia de Paraná es otra productora de granos que es afectada por los extremos climáticos. En 1982 - 1983, por las lluvias excesivas, tuvo pérdidas en diversos cultivos, como se infiere de la tabla siguiente:

| Cultivos | Pérdidas | Costos |
|----------|-------------|-----------------|
| | (Toneladas) | (Millones US\$) |
| Maiz | 750.000 | 156.1 |
| Haba | 260.000 | 135.5 |
| Soja | 185.000 | 78.0 |
| Algodón | 154.000 | 128.2 |
| Papa | 145.000 | 75.7 |
| Café | 23.000 | 66.9 |
| Girasol | 18.700 | 61.3 |
| Arroz | 17.000 | 72.5 |
| Sorgo | 10.000 | 1.7 |
| Maní | 6.000 | 1.0 |
| TOTAL | 1.568.000 | 777.6 |
| | | |

Santa Catarina, también en el mismo período, tuvo pérdidas muy importantes, provocadas por la excesiva lluvia. En la producción de arroz, papas, habas, manzanas, maíz y soja, las pérdidas llegaron a 36.5% del total.

La precipitación de la provincia de San Pablo fue analizada por muchos autores. Monteiro (1969) y Tarifa (1975) mostraron la importancia de los sistemas frontales como mecanismos importantes de precipitación en el área de esta provincia. Vicentin y Tarifa (1984) y Gomes y Massambani (1984) trabajaron en las condiciones sinópticas asociadas a las lluvias intensas. Scolar et al.(1983), Lima (1989) y Silva Dias et al. (1986) estudiaron los sistemas convectivos de mesoescala y sus relaciones con las condiciones sinópticas.

OBJETIVOS

El presente estudio tuvo el propósito básico de investigar las precipitaciones del Brasil Meridional y sus fluctuaciones, en escalas temporales variando desde oscilaciones interanuales hasta fenómenos intraestacionales. Los estudios fueron hechos de acuerdo con los objetivos particulares:

- 1) Desarrollar una climatología de las precipitaciones en el Brasil Meridional (San Pablo, Paraná, Santa Catarina y Rio Grande del Sur), con especial énfasis en las estructuras estadísticas regionales:
 - a) Tendencias locales y regionales;
 - b) Efectos antropogénicos provenientes de la medición y archivo de datos;
 - c) Efectos climáticos subregionales;
 - d) Homogeneidad regional;
 - e) Representatividad.
- 2) Encontrar las estructuras estadísticas temporales e espaciales que permitan regionalizar y estratificar la lluvia en el espacio y tiempo.
- 3) Relacionar las precipitaciones con algunas situaciones de ENSO y anti-ENSO, dentro del período de estudio.

1) DATOS Y ASPECTOS METODOLOGICOS

Los datos utilizados en este trabajo fueron obtenidos del Departamento Nacional de Agua e Energía Eléctrica, DNAEE de Brasilia y sus distritos en Porto Alegre y Rio Grande del Sur. Los datos de la provincia de San Pablo fueron suministrado por el Departamento de Agua e Energía Eléctrica, DAEE de S. Pablo. De aproximadamente 600 estaciones de precipitación fueron seleccionadas 127 estaciones, teniendo en cuenta la mejor distribución espacial y temporal representativas de las series climatológicas.

La información utilizada consiste en registros homogeneizados y consistido de la precipitación total mensual, para el período 1948 - 1988. La figura 1, muestra el área de estudio y la ubicación de las localidades donde se realizaron las mediciones, numeradas de acuerdo al código de las tablas del Anexo I.

La red de estaciones cubre la parte sur de Brasil y San Pablo, perteneciente al sudeste brasileño. Esta red está distribuida en 45 estaciones en S. Pablo, 23 estaciones en Paraná, 16 estaciones en S. Catarina y 31 estaciones en R. G. del Sur, en un área total de 820.000Km², con una costa marítima muy extensa y una orografía muy irregular, ver figura 2.

La elección de los datos fue hecha teniendo en cuenta dos aspectos básicos: 1) tener una distribución espacial y temporal de las estaciones representativas de la región y 2) las series elegidas deberían tener más de 30 años de datos, con un mínimo de datos ausentes.

Para tener la menor cantidad de datos faltantes, de las 127 estaciones elegidas, solamente 20% tenían datos ausentes que no representaban 10% del total de los mismos.

1.1) Relleno de Series Incompletas

Durante muchos años, los Servicios Meteorológicos utilizaron el método de trazar diariamente los mapas de isoyetas y, en los casos en que el dato faltaba o

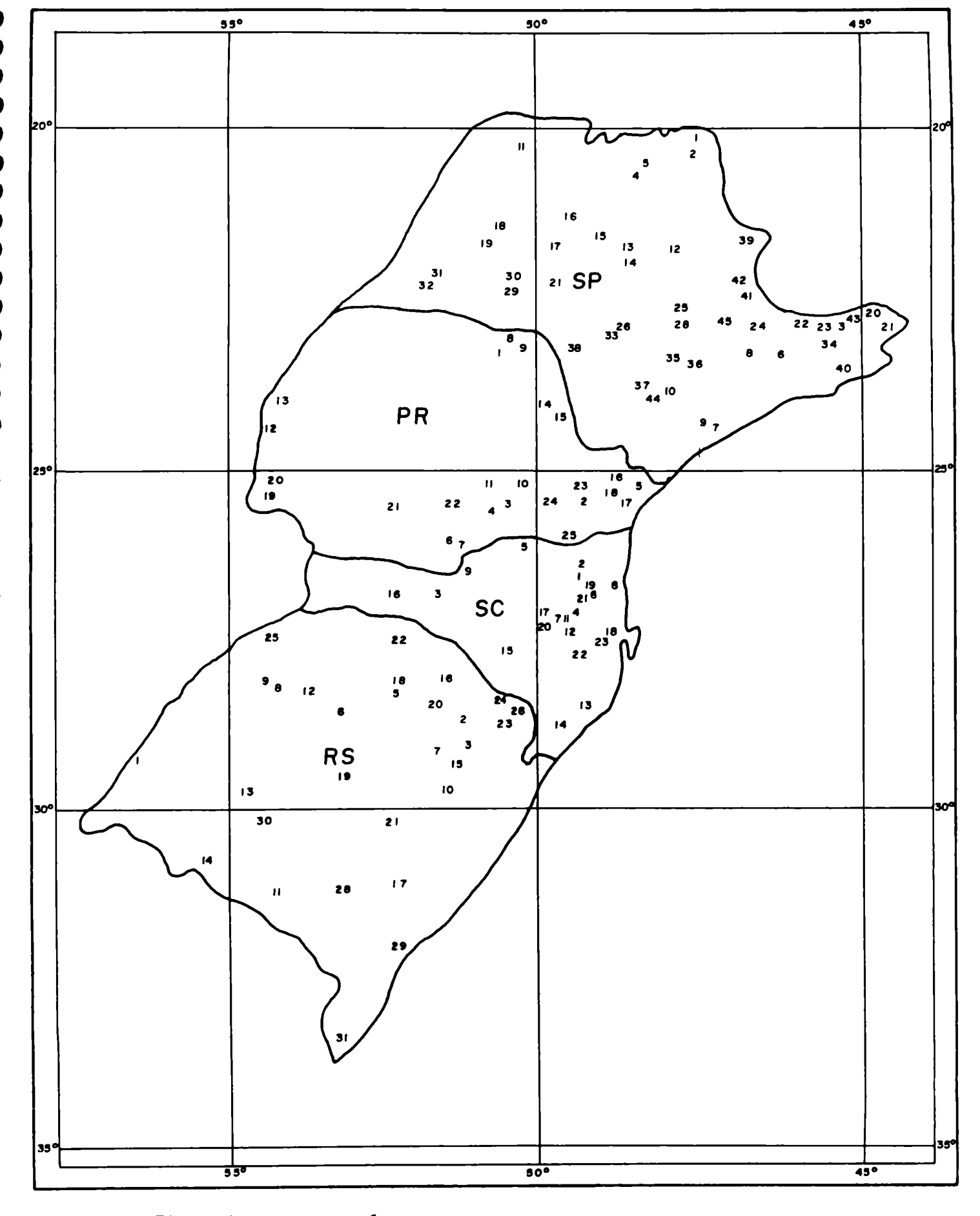


Figura 1 - Distribución espacial de las estaciones utilizadas en este trabajo y sus respectivos numeros según tabla I en el anexo I.

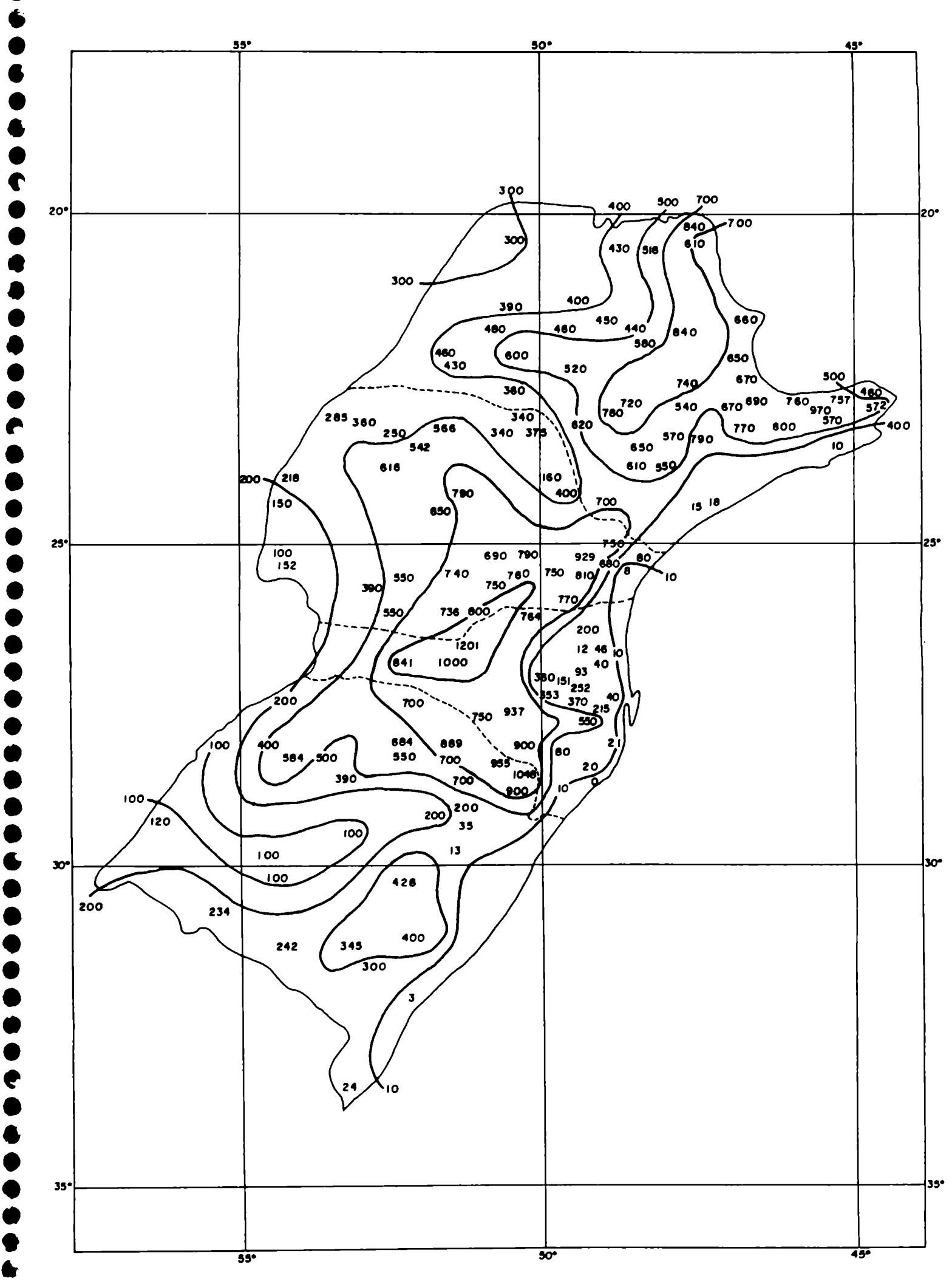


Figura 2 - Isolineas de las altitudes de las estaciones del Brasil Meridional.

parecía dudoso, se "fabricaba" la información, generalmente por interpolación. Este método, severamente juzgado por muchos, era prácticamente el único, al no contarse en ese entonces con computadoras, que permitieran posteriormente la introducción de otros procedimientos más confiables, Quinteros (1987).

Es importante destacar que antes de elegir la metodología de relleno a emplear, es imprescindible tener en cuenta dentro de que campo espacial y temporal se analizó. Esto es fundamental en la variable precipitación, que es discontinua en el espacio y en el tiempo.

Se puede decir, a grandes rasgos, que hay tres opciones: 1) estimar valores puntuales; 2) estimar momentos de primero y segundo orden (promedios, varianzas y covarianzas) y 3) utilizar modelos matemáticos, de tipo autorregresivo.

1.1.1) Valores Puntuales

Pueden ser aislados o conjuntos de valores sucesivos de una serie histórica (diarios, mensuales, anuales, estacionales, decádicos. etc).

Devoto y colaboradores (1980) han sintetizado los métodos de relleno usuales del siguiente modo:

- 1) Cuando se usa una sola estación piloto (X) para estimar el dato de la estación Y. La relación puede ser:
 - a) $Y = \beta X + \alpha + \epsilon$, α y β son coeficientes de regresión; y ϵ error aleatorio.
 - b) $Y = \beta X + \varepsilon$
 - c) Método del cociente
 - d) Método de las diferencias
 - e) Regresión cuadrática
 - f) Regresión lineal simple con datos transformados
 - g) $\sqrt{Y} = \beta \sqrt{X} + \alpha + \varepsilon$ (raíz cuadrada)
 - h) $Log Y = \beta log X + \alpha + \varepsilon$ (logarítmica)

2) Cuando se usan varias estaciones piloto, las ecuaciones son similares a las anteriores, teniendo en cuenta el número p de estaciones piloto. Por ejemplo: $Y = \alpha + \sum X_j \beta_j + \epsilon$.

En nuestro estudio en algunas estaciones, se estimaron los valores puntuales, en la mayoría de los casos, utilizando varias estaciones piloto, principalmente cerca de la costa, donde hay más estaciones.

Para la realización de este trabajo fue utilizado el programa PROHD desarrollado por el grupo DCRH/CAEEB. El programa está basado en procesos interactivos de ajustes a una curva de doble masa, Brunet et al. (1971) obtenida por promedio de valores acumulados u, opcionalmente, por mínimos cuadrados. Los ajustes son realizados de acuerdo a parámetros de calibración y correlación.

El análisis es dirigido a una única estación para cada procesamiento, y la critica es efectuada indicando datos dudosos, corrigiendo los respectivos valores a criterio del analista.

1.2) Homogeneización de las Series Elegidas

La homogeneización fue el paso siguiente que permitió ejercer un control en las series y, también, una tipificación, clasificando regímenes dentro del área de estudio. La teoría de la curva de doble acumulación fue utilizada en este estudio, Heras (1976), además de análisis de regresión.

En todo análisis de datos hidrológicos y meteorológicos es importante que las series sean homogéneos, es decir, comparables dentro del período de observaciones. Este análisis, que opera con valores acumulados, provee un medio de determinar la consistencia de las observaciones colectadas durante un largo período de tiempo. Y también permite ajustar los valores más antiguos en conformidad con los obtenidos posteriormente al del corrimiento de sitio de la estación, Alessandro et al. (1958).

Las principales causas de la heterogeneidad son:

- 1) Cambio del medio circundante al sitio de medición:
 - a) desplazamiento del medio circundante al sitio de medición;
 - b) por modificación del medio circundante mismo;
 - c) por cambio de la altura del aparato.
- 2) Errores debido al aparato:
 - a) modificación de la superficie receptora por construcción, cambio o deformación;
 - b) defectos de calibración.
- 3) Errores de medición o de grabación.
- 4) Errores de transmisión.
- 5) Errores de archivo y publicación.

Todas las fallas anteriormente mencionadas alteran la homogeneidad de las series cronológicas de precipitaciones de manera diferente. Una modificación del medio circundante se evidencia usando varios años antes y después del cambio. Mientras más marcado es el cambio, menos años se necesitan, para este estudio. La experiencia demuestra que en este caso se puede corregir los totales anuales y mensuales para homogeneizar la serie, pero en ningún caso se pueden modificar los datos diarios.

Después de la elección de las estaciones y la homogeneización de los datos se utilizó el análisis multivariado, cluster, para clasificar y obtener un conjunto mínimo de estaciones para hacer el estudio de la variabilidad.

El objeto de este análisis multivariado es fundamentalmente para reducir los datos para disminuir la redundancia cuando corresponda, eliminar el ruido, detectar la marginalidad para poder conocer la estructura más general de los datos y establecer relaciones dentro de ellos. El objetivo entonces es generar hipótesis de trabajo que luego deberán ser puestas a prueba. Para genera cualquier hipótesis, previamente es necesario conocer cual es la estructura de los datos, Lewis (1970).

2) CARACTERÍSTICA CLIMÁTICA Y GEOGRÁFICA DE LA REGIÓN

Los procesos que condicionan el clima son influenciados por corrientes de aire en gran escala, que se denomina circulación general o planetaria. Estos procesos se manifiestan, entre otros, en la producción de precipitaciones.

El conocimiento de las influencias de los factores geográficos que actúan sobre el clima de determinada región, por más completa que sea, no es suficiente para el entendimiento de su clima. Incluso los factores, tales como el relieve, la latitud, la continentalidad, actúan sobre el clima de determinada región en interacción con los sistemas regionales de circulación atmosférica.

Durante todo el año, en las regiones tropicales del Brasil, excepto al oeste de la Amazonia, soplan frecuentemente vientos de E y NE originarios de las altas presiones subtropicales (anticiclon semipermanente del Atlántico Sur). Esta masa de aire tropical tiene temperaturas relativamente elevadas, debido a la intensa radiación solar de las latitudes tropicales y a la fuerte humedad que proviene de la intensa evaporación marítima. Debido a la constante subsidencia superior y consecuente inversión de la temperatura, su humedad es limitada a la capa superficial, lo que le da un carácter de homogeneidad y estabilidad, Nimer (1979).

En latitudes bajas, zona tropical, el clima es definido por dos estaciones: la lluviosa y la seca o aquellas en que las precipitaciones son muy frecuentes y aquellas en las que hay un disminución de las lluvias. En latitudes medias, sur de Brasil, aunque existan cuatro estaciones más o menos definidas, hay una con lluvias abundantes y otra con poca precipitación, lo que define su clima es la variación de temperatura durante el año. La oposición entre las temperaturas de verano e invierno constituye también un hecho climático importante. La variabilidad entre los veranos más o menos calurosos y los inviernos más o menos rigurosos, tiene importancia en las actividades humanas, al igual que la variabilidad pluviométrica.

El mecanismo atmosférico en las regiones de estudio está sujeto a comportamientos distintos de un año para otro. De este modo las precipitaciones en cada

año son bien diferenciados, pudiendo haber un significativo déficit en relación a los valores normales.

2.1) Región Sudeste

A pesar de su notable diversificación climática, el sudeste de Brasil constituye una cierta unidad climatológica, ya que en esta región es donde más frecuentemente se produce el "choque" entre los sistemas de altas tropicales y el de altas polares. De ahí el carácter de transición en la climatología regional de sudeste.

La orografía de esta región determina una serie de variedades climáticas, tanto en lo que refiere a la temperatura como en la precipitación.

Al estudiar la climatología regional del sudeste brasileño, el primer hecho que observamos es su notable diversificación. Para comprender los procesos climatológicos de esta región es necesario un previo conocimiento de sus condiciones geográficas. San Pablo es la principal provincia de esta región y está localizada entre los paralelos de 14º a 25º sur, por ello casi todas sus tierras están localizadas en la zona tropical.

La región sudeste tiene una distribución de lluvias muy desigual en el espacio y en el año. En la Sierra del Mar, en San Pablo, la precipitación es de 1500mm durante el año, sobre el valle del Rio Doce, del trayecto de los valles de Jequetinhonha y del S. Francisco la precipitación es de 900mm. Hay una notable concentración en el verano, mientras que en el invierno es poco frecuente pero muy intensa. La mayor singularidad del régimen de lluvia no reside en su distribución media en el espacio geográfico, sino en el tiempo. La irregularidad de las precipitaciones es expresada por un notable desvío anual, Nimer (1979).

2.2) Región Sur

Al estudiar el clima del sur de Brasil, el primer hecho que observamos es la homogeneidad de esta región. Comparando el clima de la región sur, con los de las otras regiones geográficas del Brasil, no es difícil verificar que el mismo, es considerablemente distinto de los climas de las otras regiones brasileñas: La excepción es el sudeste, de clima

subcálido. Las otras regiones son de clima cálido del tipo tropical y en el sur hay dominio de clima mesotérmico de tipo templado.

El relieve de la región sur es muy simple. En la costa, además de los sedimentos recientes elevados y islas. La capital de Santa Catarina se encuentra en una de estas islas. Del norte de Paraná hasta Laguna, Santa Catarina, el litoral es dividido en pequeñas bahías y ensenadas, destacándose la de Paranaguá. De Laguna hasta el extremo sur, el litoral se ensancha y se toma más rectilineo, presentando, en Rio Grande del Sur, extensas restingas que cercan algunas de las mayores lagunas del Brasil.

En el interior de la región hay amplias superficies elevadas, llamadas de Planalto Meridional. En estos planaltos existen extensas superficies denominadas sierras, que constituyen los niveles más elevados de la región sur.

Entre la costa y la superficie cristalina se eleva una escarpa más abrupta. Es la Sierra del Mar, que en Paraná llega a 1500m de altitud. Cerca de Paranaguá, está el Pico del Paraná con 1962m, en la Sierra de la Graciosa.

Por su posición geográfica, la región sur del Brasil está afectada por fenómenos meteorológicos de latitudes medias bajas y en el Trópico de Capricornio hay dos centros de alta presión sobre los océanos. Son centros denominados anticiclones permanentes, de origen dinámico, insertados en la zona de altas presiones subtropicales del hemisferio austral.

La región sur de Brasil es una de aquellas regiones en el mundo que tiene una distribución espacial de la precipitación, de forma uniforme durante todo el año. En efecto, en toda esta región la precipitación anual varía de 1250 a 2000mm. De esta uniformidad depende una serie de factores geográficos y dinámicos: Los sistemas de circulación causadores de lluvia actúan con frecuencia anual más o menos semejante en toda esta región; el relieve regional caracterizado por superficies y formas simples no interfiere al punto de generar diferenciaciones muy importantes en la pluviometría anual.

3) VARIACIÓN INTERANUAL: RELACIÓN CON LA OSCILACIÓN SUR

Después de los trabajos de Walker (1923, 1924, 1928) y Walker y Bliss (1932, 1937) y principalmente de Bjerkness (1966, 1969) la OS se tornó uno de los temas más discutidos por los especialistas del tiempo y del clima. Hay por lo menos dos razones básicas para tal interés. Primero, la oscilación fue analizada en muchos estudios de operación del sistema climático global en la escala de oscilaciones interanuales, Kidson (1975), Trenberth (1976 a, b), Arkin (1982). Según la persistencia por varios meses de sus fases extremas representa un potencial para el pronóstico climático, especialmente en las regiones donde el fenómeno se manifiesta fuertemente.

Una de las características más importantes de la OS es la correlación negativa en la presión al nivel de mar (PNM) entre el océano Pacífico y el océano Indico, asociado con la fluctuación en la escala interanual de la circulación de Walker del Pacífico, Walker et al. (1923).

Cuando la PNM sobre la región del anticición del Pacífico sur está bajo la normal (superior a la normal), se considera que la OS está en la fase negativa (positiva). Esta fase es también conocida como EL Niño/Oscilación Sur (ENOS) o episodio caliente de la OS debido a la conexión con El Niño, Bjerknes (1969), Trenberth (1976 b), Rasmusson y Carpenter (1982), Arkin (1982). Muchos eventos climáticos regionales con graves problemas sobre las actividades socio económicas, tales como la sequía en la India, Australia y Nordeste de Brasil, inundaciones en Perú, Ecuador, etc tienen su asociación correlacionada con el episodio caliente de la OS, Kruger y Winston (1975), Kousky et al. 1984. Muchas observaciones del El Niño demuestran que este fenómeno aparece generalmente entre diciembre y enero, una vez cada dos o siete años, en promedio y se propaga hacia el oeste en la dirección del Pacífico central ecuatorial. Su duración típica es de un año, aproximadamente. Su pico es observado más frecuentemente entre marzo y mayo, mientras en el Pacífico central esto ocurre 7 a 8 meses más tarde, por lo tanto cuando El Niño prácticamente ha desaparecido.

La propagación hacia el oeste de las anomalías calientes de TSM es acompañada por los cambios en la distribución de la nubosidad y la precipitación en gran escala, aumento en el Pacífico central y una disminución en la región de Australia - Indonesia, Ichiye y Petersen (1963), Ramage (1975), Horel y Wallace (1981), por los cambios en la circulación atmosférica global, Rasmusson y Carpenter (1982). La fase de la OS correspondiente a picos de las anomalías calientes de TSM en el Pacífico Central, es referida como una fase madura de la OS y coincide con el máximo de la actividad convectiva en la región. Algunos impactos de estas anomalías sobre la circulación global han sido estudiados por diferentes autores: Julian y Chervin (1978), Webster (1981, 1982) Hoskins y Karoly (1981), Shukla y Wallace (1983), Lau y Lin (1984), Kasahara y Silva Dias (1986) y muchos otros.

Las intensidades y fases de la OS han sido usualmente medidas a través de índices denominados de índices de la OS (IOS's) que son derivados de parámetros meteorológicos (PNM, temperatura, viento y precipitación) observados próximos al centro de acción de la OS. Datos de PNM como los de Darwin (Australia), isla de Pascua, islas Cocos han sido usados para obtener IOS's. Entre estos, un índice generado a partir de la diferencia de las anomalías (mensuales y estacionales) normalizadas de PNM entre Tahiti y Darwin (Tn - Dn), que es negativo en episodios calientes de la OS, han sido señalados como un óptimo indicador del estado de la OS, Trenberth (1983). Algunos IOS's han sido también obtenidos de los datos de TSM del Pacífico, Weare (1986). La obtención de este es a través de los coeficientes temporales de la primera componente del análisis de funciones ortogonales empíricas (EOF's) de TSM del Pacífico tropical y Pacífico norte

La figura 3, Tanaka et al. (1988), muestra tipos de distribución de anomalías que podrían ocurrir en las precipitaciones mensuales, sobre Brasil, asociadas con la Oscilación Sur. Este patrón corresponde a la primera componente principal del análisis de EOF, de 1968 a 1985 y explica aproximadamente 29% de la varianza total del campo analizado. La relación con la OS es evidente en sus coeficientes temporales que muestran una cierta amplificación durante las fases extremas de la OS. Por la figura se nota que la Os tiende a producir, durante los años de El Niño, cantidades de precipitación bajo lo

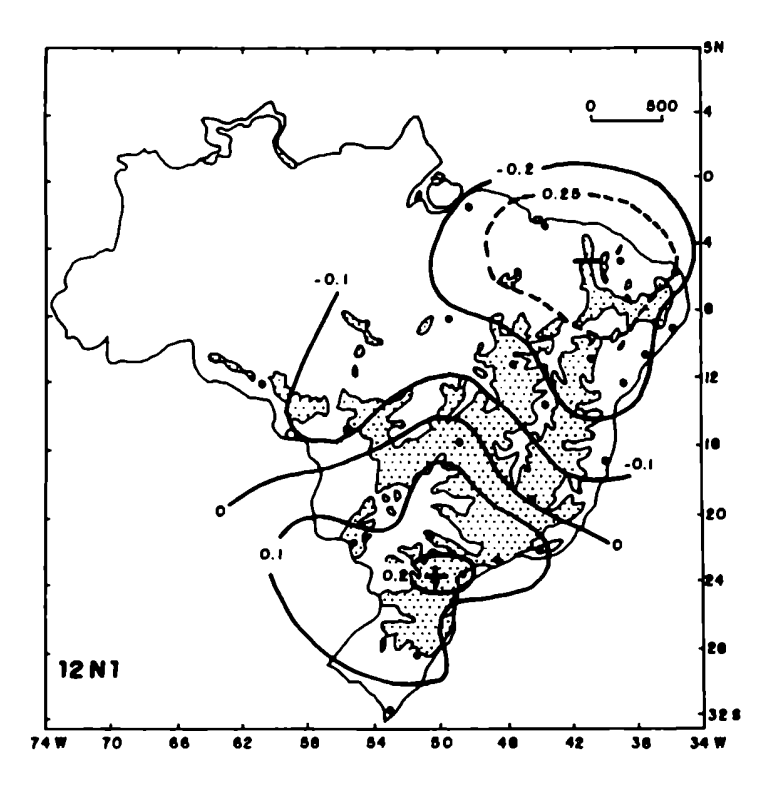


Figura 3A - Patrón espacial de la primera componente de EOF's de anomalias mensuales de precipitaciones (filtradas por el promedio movel triangular de 12 meses, explicando 29,15% de la varianza total). Tanaka et al. (1988).

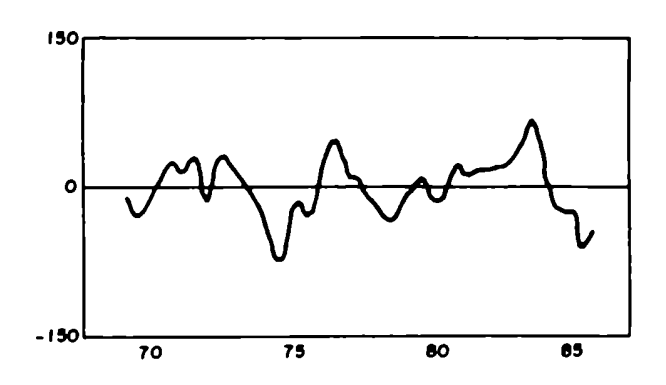


Figura 3B - Coeficientes temporales asociados al patrón de la figura, Tanaka et al. (1988).

normal en la región nordeste y sobre lo normal en la región sur y un patrón opuesto durante anti - El Niño.

Un patrón con precipitación sobre lo normal sobre las regiones sur y sudeste del Brasil, durante un año de El Niño, es también evidenciado en el primer componente del análisis de EOF de anomalías de ROLE, obtenidas por Heddinghaus y Krueger (1981). Este patrón muestra que, durante los episodios de ENOS, la ZCAS se intensifica juntamente con las actividades convectivas en la región del Pacifico Central, mientras que la convección disminuye en Indonesia - Australia, de forma semejante al patrón de teleconección observado por Lau y Chan (1983), durante inviernos del hemisferio norte. Una aparente teleconección entre la ZCAS y actividades convectivas en las regiones del Pacífico Tropical fue observada en escala de las oscilaciones intrasazonales (30 a 60 dias), Weickmann et al. (1985).

4) ASPECTOS METODOLÓGICOS

4.1 - Estudio de la Tendencia

Para hacer el análisis de la tendencia se utilizó el test de Mann-Kendall y Análisis de Regresión Lineal.

Para verificar si las series de datos tienen tendencia significativa, se aplicó el test estadístico de Mann-Kendall a todas las series, considerando el período de las series originales sin rellenar los datos faltantes.

Este test considera solamente los valores relativos de la serie X(i) que se analiza. Para su ordenamiento se asigna a cada término un número K(i) entre 1 y N (número total de datos), que refleja su magnitud relativa respecto a las de los otros. Luego se computa el estadístico P de la siguiente manera: se toma el número de orden K(1) y se cuenta el número de valores posteriores que lo exceden y se lo denota con n(1). Se continúa hasta el penúltimo término de la serie. Luego se halla P ($P=\sum n(i)$, donde i varía de uno hasta N - 1) y el estadístico τ (τ = 4P/(N(N - 1)) - 1). Sabiendo que τ tiene una distribución casi gaussiana se calcula el τ teórico. Se concluye que si τ cae dentro del intervalo anterior entonces no es significativo a ese nivel de confianza.

4.2 - Programa de Homogeneización de los Datos, (PRODH)

4.2.1 - Descripción de los datos de entrada

El programa está dimensionado para 40 años de observaciones, pudiendo operar para un período de tiempo más largo, desde que modificaciones convenientes sean procesadas sobre el tamaño de los vectores y matrices involucradas en los cálculos. Son usadas como mínimo tres estaciones y como máximo seis, incluyendo la estación a analizar, denominada "X" por convención. Por orden de importancia, traducida por el mayor valor del coeficiente de correlación registrado en función de los datos de la estación "X", también se convenciona la denominación de Y, Z, X₁, X₂ y X₃ a las estaciones de apoyo tales que:

$$R_{xy} > R_{xz} > (R_{xx1}, R_{xx2}, R_{xx3})$$

siendo R el coeficiente de correlación, siguiendo las letras que identifican las estaciones para las cuales este parámetro es determinado. No hay necesidad de la ordenación entre los coeficientes R_{xx1} , R_{xx2} , R_{xx3} .

El PRODH se propone en principio el análisis de las observaciones pluviométricas registradas en X. La homogeneización de los datos de Y es posible de ser efectuada en seguida, desde que un valor adecuado sea atribuido al parámetro de control para el análisis simultáneo (LTRO). En este caso la crítica sobre Y involucra los valores de X ya consistidos y eventualmente corregidos, a los cuales denominaremos XN.

Esta alternativa posibilita mayor rapidez en la ejecución de los trabajos y determina el análisis sobre dos estaciones a través de una ejecución del programa.

El período de observación debe ser absolutamente coincidente para los datos de todas las estaciones y siempre serán leídos los años enteros, independiente de que la crítica involucre o no todos los datos. En los años iniciales y finales, el PRODH automáticamente abandona los meses que no sean de interés del análisis.

Las estaciones tienen sus altitudes en metros descritas en el informe de salida del programa. También se tienen las distancias referentes a todas las estaciones, siendo necesaria la observación del orden descrita en el inicio de este ítem.

4.3 - Análisis Estadístico

Indudablemente la variación de un año a otro de la precipitación, es un valor importante. Como es conocido, hay varios parámetros estadísticos que miden la variabilidad, el desvío standard, la desviación media y la desviación de los cuartiles.

Pero estos parámetros, estadísticamente, no permiten una comparación adecuada de un lugar con otro, porque son valores absolutos, se usan algunos que proporcionan medidas relativas de la variabilidad: coeficiente de variación y variabilidad relativa, por ejemplo.

Además de estos parámetros se utilizaron otros que son la asimetría y la correlación lineal, entre las series.

4.4 - Análisis de Varianza

El análisis de varianza es prueba estadística de hipótesis nula, que consiste en la comparación de las varianzas de los datos obtenidos en la observación de diferentes grupos con el fin de determinar si existen o no diferencias significativas estadísticamente en los valores medios de los datos de cada grupo. En la actualidad, los procedimientos de este análisis hallan aplicación en casi todo tipo de diseño experimental, y sirve para evaluar adecuadamente los datos obtenidos en un conjunto de experimentos, investigaciones o mediciones. En este análisis la razón o cociente de las varianzas entre y dentro de los distintos grupos que intervienen en él, se contrasta con la distribución teórica F de Fischer - Student.

4.5 - Análisis Multivariado

Existen varios métodos de clasificación no jerárquicos, como por ejemplo, el de Anderson, (1958) y el de Everitt et al. (1974). En algunos hay superposición de

grupos, es decir que algunas muestras se adjudican a más de un grupo y otros requieren mucho tiempo de computación.

El método no jerárquico de clasificación que es relativamente simple es el método de agrupamiento compuesto (composite clustering) comunmente conocido como COMCLUS, de Gauch (1982).

Aunque siempre existe algún grado de subjetividad en la elección del método esta debe ser lo más objetiva posible.

Retomando el principio, una técnica de clasificación para que sea buena, debe ser estable y robusta y los grupos o clases que forme deben estar bien definidos. Ahora bien, dentro de la enorme cantidad de técnicas de clasificación que existen, todas se pueden resumir en unos pocos tipos y dentro de cada tipo o familia de técnicas disponibles, la diferencia reside en el algoritmo de calculo concreto. El algoritmo de cálculo que se debe elegir es el más fácil o factible de realizar.

Cada técnica o familia de técnicas pone énfasis en alguna de las propiedades de los grupos que se formen y eso es lo que debe elegir el investigador.

Un método es elegido cuando el dendograma da un imagen menos distorsionada de la realidad. Para testear el grado de deformación, se utiliza el cálculo de los valores "cofeneticos", que son los coeficientes de la asociación entre los objetos reconstituidos desde el dendograma. Graficando estos valores en función de los coeficientes originales debemos obtener una línea recta. El cálculo de lo coeficiente de correlación lineal indica el grado de deformación: para r < 0.8 la distorsión es considera importante, Everitt et al. (1991).

4.5.1. Distancia Euclidiana

Los espacios están determinados por sus dimensiones y el concepto de arco indica la distancia entre dos puntos cualesquiera de ese espacio. El espacio está generado por sus puntos que son independientes y tienen n elementos es decir, cada

punto es una base finita y los elementos que tiene son las dimensiones del espacio. Todos los puntos tienen las mismas dimensiones.

Las dimensiones son los atributos que caracterizan a los puntos, por lo tanto que caracterizan al espacio. Un espacio de una dimensión, puede representarse por una recta; un espacio de dos dimensiones por un plano y uno de tres dimensiones por un cuerpo. Los espacios multidimensionales de más de tres dimensiones son espacios conceptuales que no se pueden visualizar.

Un espacio euclidiano es aquel en que todas sus dimensiones son perpendiculares entre sí y si tiene dos dimensiones se puede representar por un plano. La distancia entre dos puntos A y B de ese espacio d(A,B), según el teorema de Pitágoras, es: $d^2 (A,B) = [(x_2 - x_1)^2 + (y_2 - y_1)^2]$.

La distancia euclidiana es una medida de similitud entre dos entidades o puntos dentro del espacio. Cuanto mayor sea la distancia euclidiana entre dos puntos, más distintos son éstos y la distancia entre dos entidades idénticas es igual a cero, por lo tanto ocupan el mismo punto en el espacio.

4.5.2 - Análisis Tipológico

El análisis tipológico (clusters) es una técnica de análisis de datos, de carácter clasificatorio, que tiene como finalidad la formación de clases, tipos de grupos, tan similares entre sí como sea posible, partiendo de un conjunto de datos multivariables. Este análisis se basa, principalmente, en el hallazgo de las distancias, o bien de las medidas de proximidad o semejanza entre los sujetos, y entre éstos y los grupos que se van formando, que dan lugar a la constitución de matrices de distancias o semejanzas. En este análisis se procede, bien, mediante la división sucesiva de la población total en subgrupos siginificativos o bien, agrupando sucesivamente unos sujetos a otros según las semejanzas que presentan. Las técnicas de análisis del primer tipo reciben el nombre de divisivas, de segmentación o fraccionamiento y las del segundo tipo, el de aglomerativas.

Los pasos para este análisis son:

 1 - Se hallan las distancias euclidianas métricas de los individuos de las matrices entre sí, aplicando la fórmula:

$$d_{ij} = \left[\sum_{k=1}^{p} (x_{ik} - x_{jk})^2 \right]^{\frac{1}{2}}$$

- 2 Se constituye la matriz de las distancias obtenidas.
- 3 Se forma el primer subgrupo por el procedimiento del vecino más próximo.

Es siempre el formado por los dos individuos a menor distancia en la matrices.

4 - Se hallan las distancias del subgrupo formado por las dos matrices (de menor distancia) a los demás individuos y se forma la nueva matriz de distancias, aplicando la fórmula:

$$d_{(ij)k} = min(d_{ik}, d_{jk})$$

5 - Se forma el segundo subgrupo y se hallan las nuevas distancias y matriz.

Y así sucesivamente hasta que se clasifiquen todas las matrices.

6 - Se forma el dendograma correspondiente a los resultados obtenidos en el análisis de cluster realizado.

El dendograma tiene que reflejar, mediante líneas de enlace el proceso seguido por la agrupación sucesiva derivada del análisis de cluster realizado.

4.5.3 Determinación del Numero de Grupos

Considerando n individuos observados sobre p variables. Suponiendo estos individuos representados por n puntos del espacio euclidiano p-dimensión. Así:

 $X_{(nxp)}$ = matriz de datos;

 $T_{(pxp)}$ = matriz Dispersión Total.

La matriz de dispersión total de los n puntos es dada por:

$$T = X = \sum X_i^T X$$
, $i = 1,..., n$

donde $X_i = (x_{i1}, x_{i2}, x_{ip})$ es el vector línea que representa el vector de las observaciones del i - ésimo individuo con relación a p variables. Considerando una partición de los n individuos en g grupos con $n_1, n_2, ..., n_g$ individuos en cada agrupamiento y $n = \sum n_i$ (i=1, g). Entonces para el k - ésimo agrupamiento (c_k), los elementos x_{ik} para $i=1,2,...,n_k$ representan las observaciones de los individuos de C_k . \mathbf{w}_k es la matriz dispersión dentro del agrupamiento C_k con vector promedio, X_k dado por:

 $\mathbf{W_k} = \sum (\mathbf{x_{ik}} - \mathbf{X_k})^\mathsf{T} (\mathbf{x_{ik}} - \mathbf{X_k})$, donde \mathbf{W} es la matriz dispersión dentro de los grupos, dado por:

$$\mathbf{W} = \sum W_{k}$$
, $k = 1$, g.

 $\mathbf{B} = \sum n_k \ X_k^{\mathsf{T}} \ X_k, \text{ donde } X_k^{\mathsf{T}} \text{ es la transformada del vector medio } y \ X_k \text{ es el vector medio } (k = 1, ..., g).$

Así para cada partición de n individuos en g grupos, se obtiene la ecuación matricial, Wilks (1962), dada por:

$$T = W + B$$

Aplicando el funcional lineal Trazo (Tr) en la ecuación de T, se obtiene:

Tr(T) = Tr(W) + Tr(B), donde Tr(T) es la suma de los cuadrados total con relación a p variables; Tr(W) es la suma de los cuadrados dentro de los grupos en relación a p variables y Tr(B) es la suma de cuadrados entre grupos en relación a p variables.

Este criterio fue presentado por Calinski y Harabasz, (1974) y está fundamentado en la suma de los cuadrados entre y dentro de los grupos, en relación a la "p" variable cuantitativas.

La ecuación del criterio de razón de varianza (CRV) es:

$$CRV = \frac{(n-g)SQEG}{(g-1)SQDG}$$
 g = 2, 3, 4,...., n-1.

donde CRV es el criterio de razón de varianza; n es el numero de puestos del conjunto de datos; g es el numero de grupos (g = 2, 3,..., n-1); SQEG es la suma de los cuadrados entre los grupos y SQDG es la suma de cuadrados dentro de los grupos.

El numero de grupos es determinado para "g" donde lo CRV tiene un valor máximo absoluto o local o por lo menos un rápido crecimiento.

4.6 - Función de Autocorrelación

Una observación meteorológica comúnmente no es independiente de las condiciones precedentes, aunque la dependencia decrece a medida que el intervalo de tiempo entre eventos sucesivos aumenta, Brooks y Carruthers (1953). Esta tendencia de los valores sucesivos de la serie, a "recordar" sus valores precedentes y a ser influenciados por ellos, se denomina persistencia.

Una de las formas de obtener la evidencia de persistencia de una variable es obtener la estimación inicial del proceso mediante la función de autocorrelación, la cual resulta, Panofsky y Brier (1965):

$$r(l) = \frac{1}{N-1} * \frac{\sum_{i=1}^{N-1} (x(i) - \overline{x}) * (x(i+1) - \overline{x})}{S^2 x}$$

donde: l es el desplazamiento temporal (lags); N es número total de los datos de la serie; \bar{x} es el valor medio de la variable y S_x^2 es la varianza.

Se examinan los coeficientes de autocorrelación para los primeros lags de la serie y se determina si estos decrecen exponencialmente en forma consistente con la hipótesis de un modelo Markoviano o de ruido rojo (proceso autorregresivo de primer orden).

En el caso de existir una persistencia de este tipo, el coeficiente de correlación r(n) para un lag arbitrario n, se aproximará al coeficiente r(1) elevado a la nésima potencia, esto es $r_k \cong (r_1)^k$.

Si estas relaciones se satisfacen aproximadamente y r(1) difiere de cero significativamente, entonces se puede asumir una persistencia Markoviano en la serie y la forma de para estos procesos autorregresivos será exponencial.

4.7 - Análisis Espectral

El método anterior permite mediante la función de autocorrelación estudiar las características del proceso que genera la serie; pero la significación estadística para desplazamientos temporales más extensos es dificultosa de determinar.

Por ello se trata de aumentar la posibilidad de análisis por medio de una variante metodológica que sería el espectro o espectro de potencia. Este método supone que la serie consiste en un número infinito de oscilaciones sobre un dominio continuo de longitudes de onda. Luego el espectro mide la distribución de la varianza sobre todas las longitudes de ondas posibles, desde la infinita (tendencia lineal), a la más corta que pueden resolverse (dos veces) el intervalo entre observaciones sucesivas, Panofsky y Brier (1965).

Las técnicas espectrales han demostrado ser muy eficientes en el análisis de las series climáticas, especialmente en aquellos casos en que se buscan elementos objetivos para la descripción climatológica.

En este trabajo se aplican los métodos delineados por Blackman y Tukey (1958), a la serie cronológica en cuestión. Brevemente esta aproximación puede describirse como la aplicación del análisis armónico a los coeficientes de autocorrelación seriados o a las covarianzas seriadas:

$$C(l) = \frac{1}{N-1} * \sum_{i=1}^{N-1} (x(i) - \overline{x}) * (x(i+1) - \overline{x})$$

para lags de 0 a m, donde m < N.

De esta transformación se obtienen m + 1 estimaciones del espectro de potencia:

$$\hat{s}(0) = \frac{1}{2m}C(0) + C(m) + \frac{1}{m}\sum_{l=1}^{m-1}C(l)$$

$$\hat{s}(k) = \frac{C(0)}{m} + \frac{2}{m} * \sum_{l=1}^{m-1} C(1) * \cos\left(\frac{\pi \, k \, l}{m}\right) + \frac{1}{m} * C(m) * -1^{k}$$

$$\hat{s}(m) = \frac{1}{2m} * C(0) + (-1)^{m} * C(m) + \frac{1}{m} * \sum_{l=1}^{m-1} (-1)^{l} * C(l)$$

las cuales son luego suavizadas por un promedio móvil pesado (método de Hamming), resultando:

$$s(0) = \frac{1}{2} \left(\hat{s}(0) + \hat{s}(1) \right)$$

$$s(k) = \frac{1}{4} \left[\hat{s}(k-1) + 2\hat{s}(k) + \hat{s}(k+1) \right]$$

$$s(m) = \frac{1}{2} \left[\hat{s}(m-1) + \hat{s}(m) \right]$$

Luego se debe ajustar una curva suave a las m + 1 estimaciones sin violar los límites de confianza apropiados para las estimaciones individuales, o lo que es lo mismo, se asume que el espectro del universo del cual la serie analizada es una muestra, es una función continua y que la amplitud de la variabilidad de una estimación a otra es originada puramente por el muestreo al azar. Por último, se aplica al espectro de potencia un test de significancia estadística.

Si ya se sabe que existe persistencia en la serie, la hipótesis nula apropiada es un proceso Markoviano, cuya forma depende del valor del coeficiente de autocorrelación de la población para el primer lag; su valor es desconocido y se lo estima suponiendo que r(1) es un estimador insesgado del mismo.

Luego se calcula el espectro correspondiente a la hipótesis nula, evaluando la siguiente ecuación:

$$S_{k} = \overline{S} * \left\{ \frac{\left[1 - r(1)^{2}\right]}{\left[1 + r(1)^{2} - 2r(1)\cos\left(\frac{\pi k}{m}\right)\right]} \right\}$$

donde \overline{S} es el promedio de las m + 1 estimaciones espectrales S(k).

Si se encuentra que ninguna estimación espectral se desvía significativamente en términos estadísticos de la estimación correspondiente a la

hipótesis nula, se puede concluir que el espectro de ruido rojo aproxima al espectro real de la población, donde la serie es una muestra de ella.

4.8 - Series Temporales de Índices de Precipitaciones

En la escala de oscilaciones iteranuales el objetivo es estudiar la relación de la precipitación de esta región con la Oscilación Sur.

Para este estudio se analizó los Niños de 1951, 1953, 1957, 1963, 1965, 1969, 1972, 1976, 1982, 1983, 1986 y los anti - El Niño de 1950, 1955, 1956, 1964, 1970, 1971, 1973, 1975 y 1988.

Los episodios calientes 1951, 1953, 1957, 1963, 1965, 1969 y 1972 fueron estudiados por Rasmusson y Carpenter (1982). Krueger y Winston (1975) realizaron estudios de los casos de ENOS de 1969 y 1972. Los de 1982 -1983 fueron investigados por Rasmusson y Wallace (1983) y muchos otros.

Como no se conoce claramente cual es la fase de ENOS o de AENOS con la lluvia en la región de estudio, se investigaron los signos de la oscilación sur (OS) inicialmente en las precipitaciones anuales. Las precipitaciones mensuales del período de enero a diciembre de los años de ENOS y AENOS, fueron utilizados para verificar si seguían algún patrón de comportamiento en relación a tales fases.

Una manera eficiente para detectar una señal climática de la precipitación en gran escala, como la relacionada con la OS, es a través de índices regionales que pueden ser obtenidos combinando las observaciones hechas en diferentes estaciones. Un tipo de combinación frecuentemente usado es la media aritmética de los desvíos estandarizados de las observaciones, Kraus (1977), Katz (1978), Stoeckenius (1981), Katz y Glantz (1986), como índices de anomalías estandarizados. Los valores de estos índices destacan las fluctuaciones climáticas de gran escala, una vez que las anomalías muy localizadas o espacialmente incoherentes tienden a anularse entre sí, Sugahara (1991). Los coeficientes temporales de funciones ortogonales empíricas han sido utilizados con el mismo objetivo, Kidson (1975), Arkin (1983). Los dos procedimientos

fueron examinados en el presente estudio para minimizar el efecto de la elección del método sobre la conclusión.

Las series anuales y mensuales del índice de anomalías estandarizados fueron determinadas siguiendo el procedimiento de Kraus (1977), que involucra, básicamente, normalización, promedios y análisis de varianza.

Las normalizaciones fueron hechas para evitar que algunas estaciones, con promedios y desvíos estándar individuales altos, afecten a las otras series. Así, para cada estación individual, las normalizaciones son hechas restando la precipitación observada el promedio (μ) y dividiendo esta diferencia por el desvío estándar (σ).

Promedio anual de la precipitación para la estación i:

$$\overline{\Gamma}_i = \frac{1}{J} \sum_i \Gamma_{ij}$$

 Γ_{ii} - precipitación anual de la estación i durante j años

J - número de años en el período elegido para análisis

i - número de estaciones en la región a ser analizada

Varianza de la precipitación para la estación i:

$$\tau^2 = \frac{1}{J} \sum \Gamma_{ij}^2 - \overline{\Gamma}^2$$

Estandarización de la precipitación para cada estación:

$$X_{ij} = \frac{\left(\Gamma_{ij} - \overline{\Gamma}_i\right)}{\tau_i} \quad o \quad X_{ij} = \frac{\left(\Gamma_{ij} - \overline{\Gamma}_i\right)}{\overline{\Gamma}_i}$$

Las dos formulaciones tienen promedio cero: $\overline{X}_i = \overline{X}_i = 0$. Ambas formulaciones son análogas. En este trabajo se utilizó X_{ij} .

El valor del promedio areal de X_{ij} para el año j, es:

$$a_j = \frac{1}{1} \sum_i X_{ij}$$

1 = número de estaciones regionales a ser analizada.

 a_i = proporciona el índice de la precipitación para cada año.

El análisis de varianza es aplicado para verificar si una serie temporal de estos promedios es adecuada o no para evidenciar las oscilaciones coherentes dentro del área. Primero se hace la descomposición de la varianza total en dos partes, una temporal (V_t), que define la variación temporal de la precipitación en el área de estudio y otra espacial (V_s), que es la variación entre diferentes estaciones.

Hay que someter V_t/V_s a un test de hipótesis donde V_t tiene que ser mayor que V_s . La relación V_t/V_s tiene una distribución de probabilidad dada por F(v_1,v_2) de Fisher - Snedecor, casi independiente de los tipos de distribuciones asociados a la variables involucradas en el análisis, Box (1953) y Tiku (1971). v_1 y v_2 son números de grados de libertad del numerador y denominador de la relación V_t/V_s .

Estimación de la varianza en el tiempo:

$$V_i = \frac{\sum I a_j^2}{J - 1}$$

La varianza entre las anomalías de la precipitación dentro de la región es dada por:

$$V_s = \frac{N - \sum_{j} \mathbf{I}_j \, a_j^2}{N - J}$$

donde $N = \sum_{i} \sum_{j} X_{ij}^2$.

El procedimiento matemático del análisis de la función orotgonal empirica, EOF ha sido descrito por varios investigadores, Grimmer (1963), Morrison (1976). Las funciones ortogonales empíricas son autovalores de la matriz de coeficientes de correlación (o covarianza) entre las series individuales. Ellas son, por lo tanto, ortogonales entre sí, debido a la simetría de la matriz y funciones de las coordenadas espaciales. Los coeficientes de los autovectores son usualmente exhibidos en una carta en forma de isolineas para revelar diferentes patrones de anomalías. La evolución temporal de cada uno de estos patrones es decriptas por un vector asociado que es una función de las coordenadas temporales. Tales vectores, que son también ortogonales entre sí, son obtenidos a través de la transformación lineal de la matriz de

observaciones por la matriz de autovectores. La importancia relativa de cada modo de la variación a la variación total del campo analizado, varianza total, es dada por el respectivo autovalor. Es procedimiento usual ordenar las EOF en orden decreciente de los autovalores. Así, la primera EOF es el modo más importante para la varianza total, la segunda EOF o segundo modo más importante, etc. La variación total de los campos meteorológicos puede ser representada por la expansión de un número relativamente reducido de estas funciones. Matemáticamente:

$$F_n = \sum_{i=1}^{M} C_{in} \ ei, \ n = 1, 2, ..., N$$

donde F_n es la matriz con observaciones de algún parámetro meteorológico en N coordenadas temporales, en M estaciones (o punto de grilla), e_i es i - esimo autovector y C_{in} son los coeficientes de la función temporal asociada a la e_i . En este estudio, se buscaron los coeficientes C_{in} que describiesen las fluctuaciones coherentes de precipitaciones de la región.

5. DISCUSIÓN DE LOS RESULTADOS

5.1. Consistencia de los Datos

Luego de clasificar las estaciones teniendo en cuenta la mejor distribución espacial y temporal, se hizo un análisis de consistencia previa para evaluar la calidad de los datos. Se utilizó el método de doble masa teniendo los valores totales anuales de precipitación.

El análisis de doble masa consiste en la obtención de gráficos: en la abscisa, se colocan los valores del promedio de las precipitaciones anuales de algunas estaciones próximas a las estaciones analizadas y consideradas confiables para la base de comparación y en las ordenadas, los totales anuales de esta estación. Cuando los valores de las estaciones a consistir son proporcionales a los observados en la comparación, los puntos determinaron una recta.

Fue realizado aún, una análisis cualitativo de la confiabilidad de los datos considerados atipicos en las series observadas. Se compararon estos datos con registros de las precipitaciones máximas de las estaciones vecinas, correspondiente al mismo período de observación.

De un total de aproximadamente 300 estaciones analizadas por este método se quedaron las 127 estaciones que fueron utilizadas en este trabajo.

Además de esta metodologia durante los estudios realizados en la tesis se buscó eliminar algunas otras estaciones que eventualmente presentaron problemas en los distintos estudios. Por ejemplo, se una estación presentó problemas en la correlación lineal con las demás, esta estación fue eliminada.

5.2 Estudio de la Tendencia

A través del test de Mann Kendall fue analizada la posibilidad de tendencia en las 127 series de precipitaciones anuales estudiadas. Se observó que un numero significativo de series de precipitaciones presentaban alguna forma de tendencia, aunque no significativas. En este trabajo se supuso una tendencia lineal y se estudió las

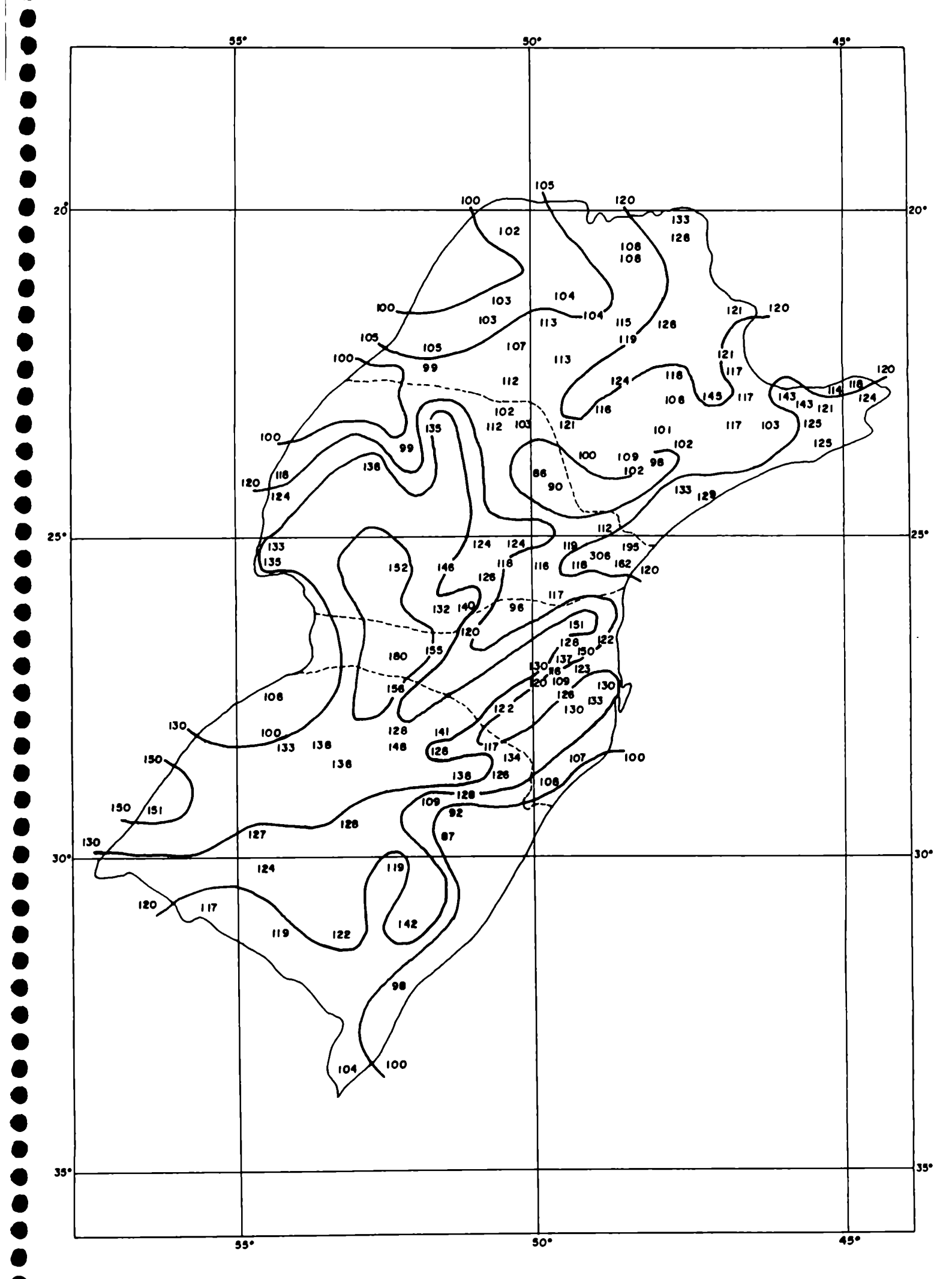


Figura 4 - Promedio de la precipitación, período 1948 - 1988 para el Brasil Meridional. Isolineas hechas envolucrando todas las 127 estaciones.

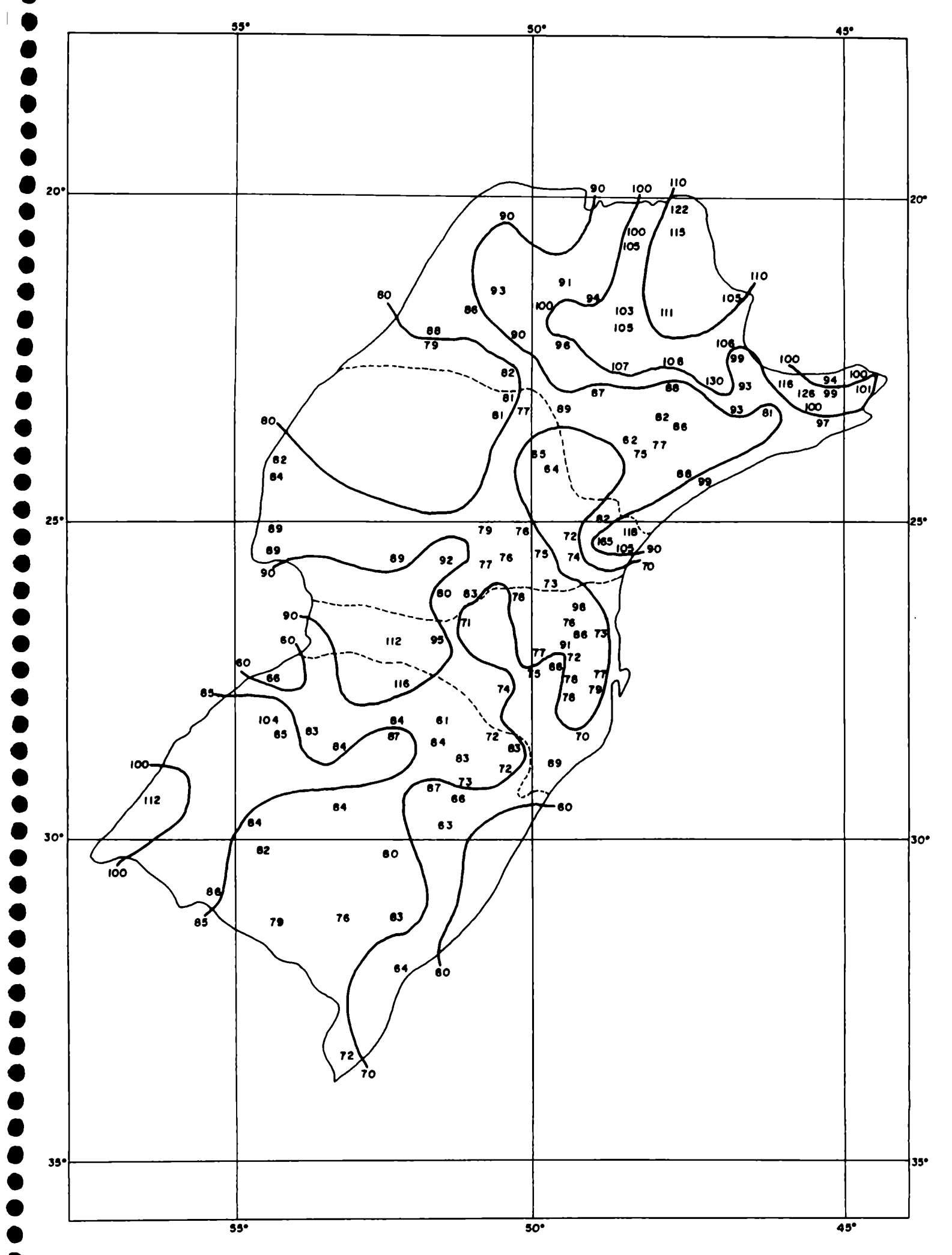


Figura 5 - Isolineas del desvio estandar de las precipitaciones del Brasil Meridional, para el periodo 1948 - 1988.

series a través del análisis de regresión lineal. Con esta suposición se hizo el test F de Fisher y todas las series que presentaran tendencias fueran clasificadas como no significativos.

5.3 Campos Medios de Precipitaciones

Para el estudio espacial de la precipitación se utilizó el conjunto de 127 estaciones del Brasil Meridional (1948-1988) y se hicieron las isolineas, figura 4.

Las provincias de San Pablo y Paraná presentan una mayor precipitación en la costa. En San Pablo la precipitación aumenta de oeste a este y es máxima en la parte nordeste de esta provincia (la parte de mayor altitud, Campos do Jordão, por ejemplo).

Paraná presenta una región, noroeste, con pocas estaciones y marcando un bajo promedio climatológico de la precipitación. En su costa la precipitación es evidentemente mayor, con valores altamente significativos.

En Santa Catarina y Río Grande del Sur la distribución de la precipitación es muy particular. Hay mayor precipitación en el centro de Santa Catarina, debido a la orografía, punto más alto de la provincia. En Río Grande del Sur los valores son más homogéneos, espacialmente, pero presentan precipitaciones más grandes en la región nordeste (Vacaria) y sudoeste (Uruguaiana).

La figura 5 muestra la distribución de los desvíos estandarizados de la precipitación anual. Las amplitudes típicas de fluctuaciones interanuales son más marcadas en la parte este de la provincia de San Pablo y Paraná. Estas amplitudes son marcadamente más grandes en la parte central de Santa Catarina y oeste de Río Grande del Sur.

Se puede observar que a un mayor promedio de la precipitación ocurrió una mayor variabilidad, representada por el desvío estándar.

5.4 Estadística Descriptiva

La tabla de anexo II muestra cierta homogeneidad en los parámetros estadísticos de la distribución de las lluvias en las estaciones. A su vez configura la

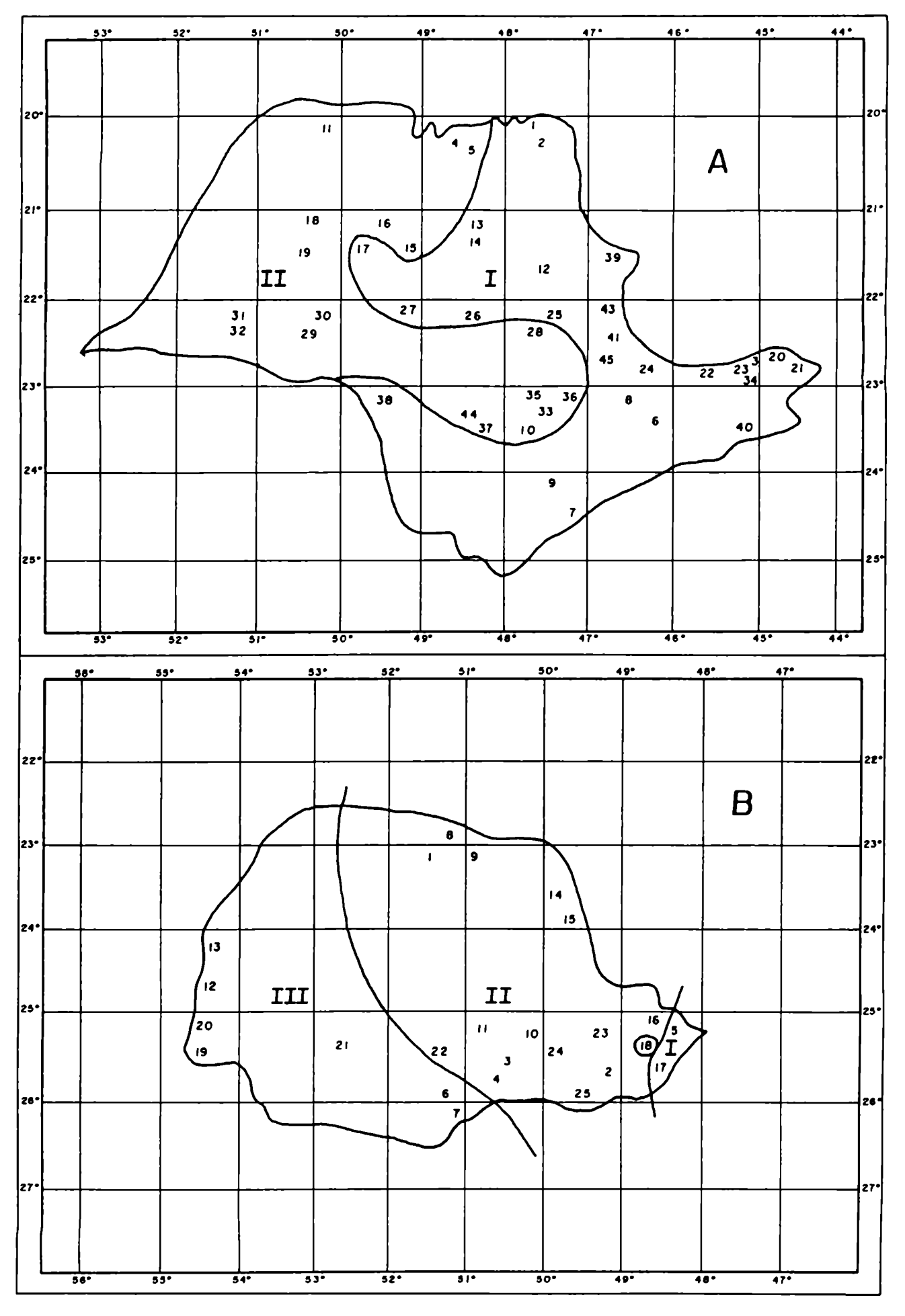


Figura 6 - Análisis Multivariado (Cluster) para hacer la classificación de las estaciones de precipitación de S.Pablo, Paraná, Santa Catarina y Rio Grande del Sur.

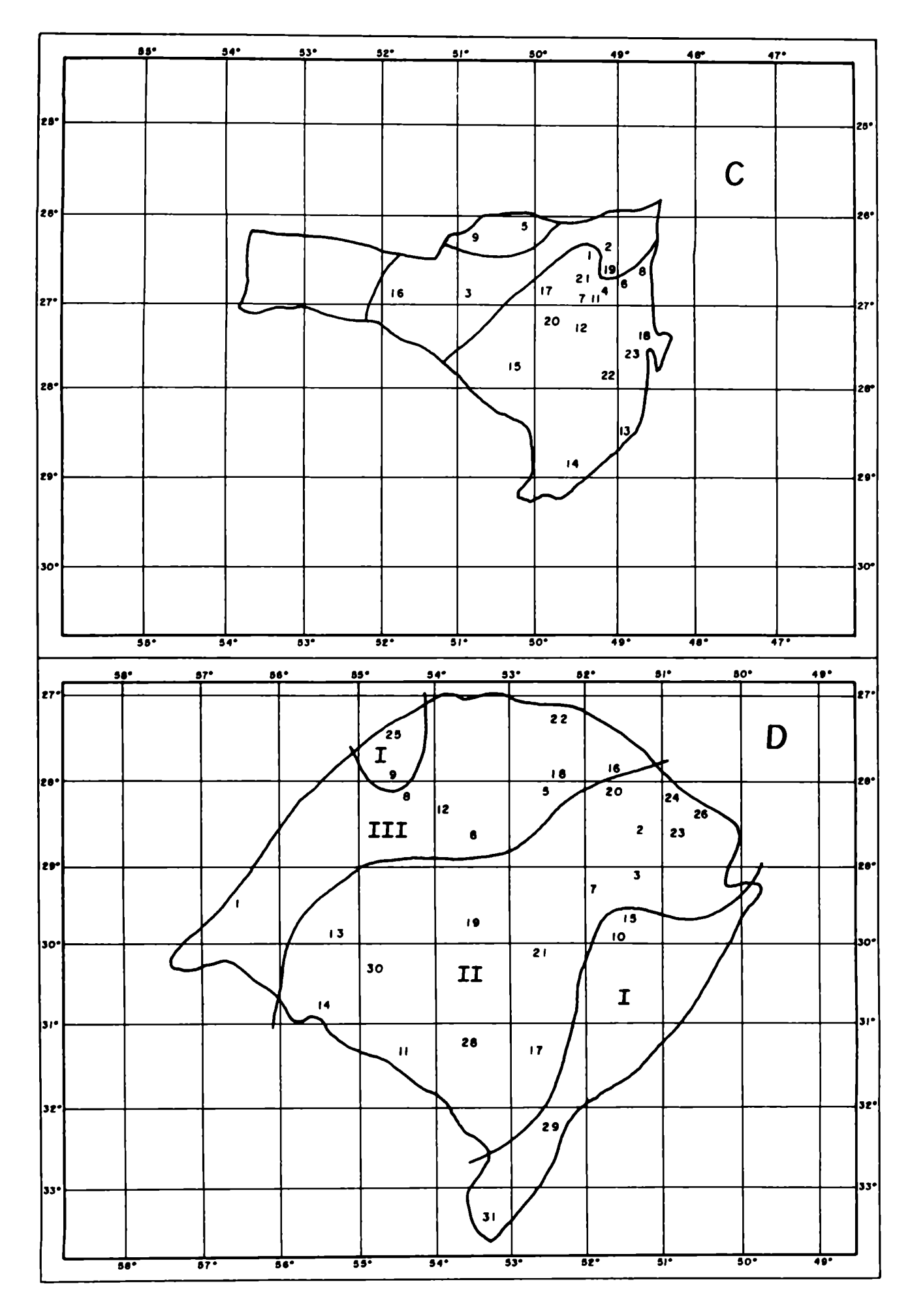


Figura 7 - Análisis multivariado (cluster) para hacer la clasificación de las estaciones de precipitación de S. Pablo, Paraná, Santa Catarina y Rio Grande del Sur.

primera forma de análisis de consistencia ya que saltos abruptos en el espacio que no justifiquen la orografía marcan deficiencia en algunos datos.

La separación de las estaciones utilizables en grupos se realizó según criterios de proximidad geográfica, semejanza de altitud y de régimen de precipitación y en función fundamentalmente a la densidad de la red utilizable.

Fueron elegidas, a través del análisis multivariado, cluster, las estaciones de precipitaciones que mejor representen la distribución espacial de las series escogidas previamente. Del total de 127 estaciones utilizadas para este estudio quedaron en la provincia de San Pablo clasificados dos grupos, según el criterio razón de varianza (CRV). De estos dos grupos fueron seleccionados algunas estaciones observando una distribución espacial: SP1, SP4, SP6, SP7, SP11, SP12, SP17, SP21, SP18 y SP31, figura 6A.

En las estaciones de la provincia de Paraná se utilizó el mismo criterio de clasificación y se obtuvieron tres grupos de estaciones. De los grupos se trabajó con las siguientes estaciones: PR1, PR5, PR6, PR13, PR15, PR17, PR18, PR20 y PR22. Lo mismo se hizo para Santa Catarina y Rio Grande del Sur. Las estaciones seleccionadas para estas provincias fueron: SC2, SC3, SC7, SC8, SC9, SC13, SC14 y RS1, RS7, RS9, RS10, RS15, RS20, RS22, RS25, RS26 y RS31, sintetizando las informaciones iniciales.

Las figuras 6 (A, B) y 7 (A, B) muestran la clasificación hecha para cada provincia (estado), de acuerdo con el método multivariado. Esta clasificación posibilitó la reducción del número de estaciones iniciales de 127 a aproximadamente 40 estaciones. En el anexo III, se presentan los dendrogramas para cada provincia, utilizando el método de Ward y la distancia euclidiana.

El análisis de varianza efectuado con grupos de estaciones por provincias tuvo por objetivo determinar cuales de las estaciones de estos grupos representaban realmente los mismos procesos físicos. De esta manera se pudieron sintetizar las informaciones generando un conjunto menor y no redundante de estaciones para el

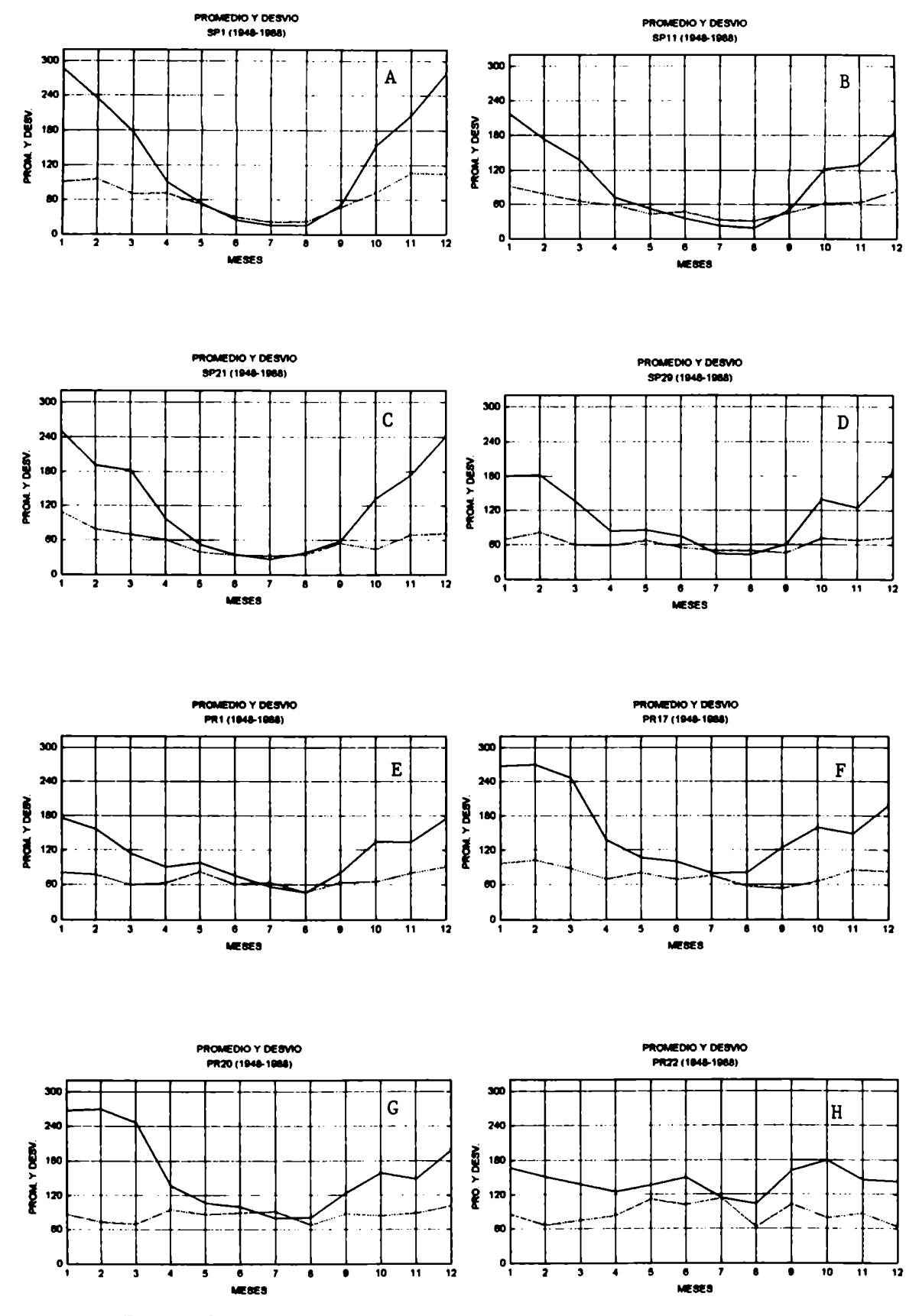
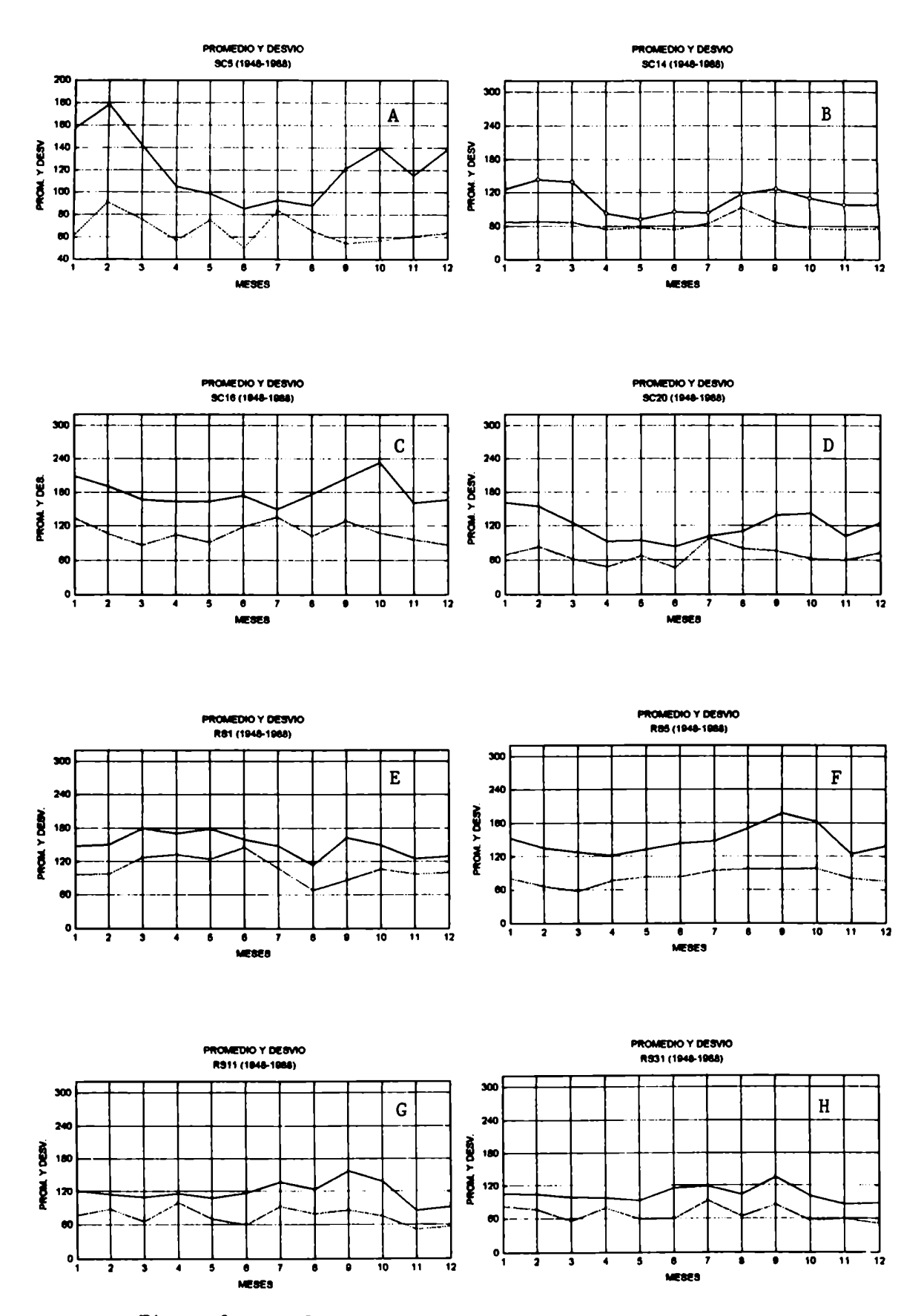


Figura 8 - Graficos del promedio y desvio estander de las series originales de S. Pablo y Parana. La linea superior representa el promedio y la linea inferior el desvio estander.



••••••••••

Figura 9 - Graficos del promedio y desvio estandar de las series originales de Santa Catarina y Rio Grande del Sur.

| MESES | DD | PP | PP / DD |
|------------|----|-------|---------|
| ENERO | 12 | 212.0 | 17.8 |
| FEBRERO | 10 | 201.0 | 18.7 |
| MARZO | 8 | 130.0 | 15.5 |
| ABRIL | 4 | 55.0 | 14.0 |
| MAYO | 4 | 50.0 | 14.2 |
| JUNIO | 3 | 49.0 | 13.7 |
| JULIO | 3 | 33.0 | 11.7 |
| AGOSTO | 2 | 24.0 | 10.4 |
| SEPTIEMBRE | 4 | 61.0 | 12.9 |
| OCTUBRE | 7 | 116.0 | 16.0 |
| NOVIEMBRE | 8 | 132.0 | 16.7 |
| DECIEMBRE | 10 | 184.0 | 17.3 |

D5 - 039 - SP - Tabla 3(a)

| MESES | DD | PP | PP / DD |
|------------|----|-------|---------|
| ENERO | 15 | 209.0 | 13.8 |
| FEBRERO | 13 | 203.0 | 14.8 |
| MARZO | 12 | 154.0 | 12.8 |
| ABRIL | 8 | 82.0 | 10.2 |
| MAYO | 6 | 60.0 | 9.9 |
| JUNIO | 5 | 52.0 | 9.9 |
| JULIO | 5 | 39.0 | 7.9 |
| AGOSTO | 5 | 41.0 | 8.5 |
| SEPTIEMBRE | 7 | 77.0 | 10.4 |
| OCTUBRE | 10 | 126.0 | 12.0 |
| NOVIEMBRE | 10 | 127.0 | 12.1 |
| DECIEMBRE | 14 | 179.0 | 12.8 |

IAG - SP Tabla 3(b)

| MESES | DD | PP | PP / DD |
|------------|----|-------|---------|
| ENERO | 11 | 173.2 | 16.2 |
| FEBRERO | 10 | 156.0 | 15.2 |
| MARZO | 8 | 114.1 | 14.5 |
| ABRIL | 5 | 90.9 | 17.6 |
| MAYO | 5 | 97.6 | 18.3 |
| JUNIO | 5 | 76.2 | 15.7 |
| JULIO | 4 | 56.7 | 14.9 |
| AGOSTO | 4 | 47.2 | 13.1 |
| SEPTIEMBRE | 6 | 81.1 | 14.0 |
| OCTUBRE | 7 | 134.8 | 18.2 |
| NOVIEMBRE | 8 | 133.7 | 17.7 |
| DECIEMBRE | 10 | 170.6 | 16.6 |

Jataizinho (48-88) - Pr Tabla 3(c)

| MESES | DD | PP | PP / DD |
|------------|----|-------|---------|
| ENERO | 18 | 330.4 | 18.5 |
| FEBRERO | 17 | 316.6 | 18.8 |
| MARZO | 18 | 314.5 | 17.5 |
| ABRIL | 14 | 160.7 | 11.8 |
| MAYO | 10 | 127.7 | 12.9 |
| JUNIO | 9 | 114.3 | 12.8 |
| JULIO | 9 | 89.6 | 10.6 |
| AGOSTO | 10 | 91.5 | 9.6 |
| SEPTIEMBRE | 13 | 142.0 | 11.1 |
| OCTUBRE | 15 | 191.0 | 12.4 |
| NOVIEMBRE | 15 | 196.0 | 13.0 |
| DECIEMBRE | 17 | 261.3 | 15.1 |

Antonina (48-88) - Pr Tabla 3(d)

| MESES | DD | PP | PP / DD |
|------------|----|-------|---------|
| ENERO | 11 | 175.9 | 16.1 |
| FEBRERO | 10 | 154.6 | 15.5 |
| MARZO | 8 | 138.2 | 16.7 |
| ABRIL | 7 | 133.3 | 20.1 |
| MAYO | 7 | 146.2 | 21.6 |
| JUNIO | 7 | 157.2 | 21.7 |
| JULIO | 6 | 121.3 | 18.9 |
| AGOSTO | 6 | 106.4 | 16.0 |
| SEPTIEMBRE | 8 | 167.4 | 20.1 |
| OCTUBRE | 9 | 182.1 | 20.7 |
| NOVIEMBRE | 8 | 150.4 | 18.4 |
| DECIEMBRE | 9 | 147.5 | 15.6 |

Guarapuava (48-88) - Pr Tabla 3(e)

| MESES | DD | \overline{PP} | PP / DD |
|------------|-----|-----------------|---------|
| ENERO | 12 | 153.0 | 12.8 |
| FEBRERO | 11 | 146.4 | 13.0 |
| MARZO | 10 | 117.3 | 12.1 |
| ABRIL | 6 | 78.2 | 12.3 |
| MAYO | 6 | 99.9 | 15.7 |
| JUNIO | 7 _ | 96.4 | 14.3 |
| JULIO | 7 | 92.4 | 14.2 |
| AGOSTO | 7 | 87.8 | 13.1 |
| SEPTIEMBRE | 8 | 119.6 | 14.2 |
| OCTUBRE | 10 | 135.5 | 13.6 |
| NOVIEMBRE | 8 | 108.4 | 12.8 |
| DECIEMBRE | 10 | 140.9 | 13.9 |

Rio Negro (48-88) - Pr Tabla 3(f)

| MESES | D D | PP | PP / DD |
|------------|------------|-------|---------|
| ENERO | 10 | 130.3 | 13.1 |
| FEBRERO | 10 | 136.7 | 13.3 |
| MARZO | 10 | 135.5 | 13.9 |
| ABRIL | 7 | 97.6 | 13.6 |
| MAYO | 7 | 109.6 | 16.2 |
| JUNIO | 7 | 107.7 | 15.0 |
| JULIO | 7 | 90.4 | 13.7 |
| AGOSTO | 7 | 97.5 | 14.7 |
| SEPTIEMBRE | 9 | 125.8 | 14.3 |
| OCTUBRE | 9 | 154.4 | 17.6 |
| NOVIEMBRE | 8 | 121.9 | 15.1 |
| DECIEMBRE | 10 | 129.4 | 13.4 |

Matos Costa (48-88) - Pr Tabla 3(g)

| MESES | DD | PP | PP / DD |
|------------|----|-------|---------|
| ENERO | 14 | 171.4 | 12.3 |
| FEBRERO | 15 | 194.3 | 13.4 |
| MARZO | 13 | 168.1 | 13.0 |
| ABRIL | 9 | 93.8 | 10.2 |
| MAYO | 7 | 83.7 | 11.6 |
| JUNIO | 8 | 82.1 | 10.6 |
| JULIO | 8 | 82.7 | 12.1 |
| AGOSTO | 8 | 93.9 | 12.3 |
| SEPTIEMBRE | 11 | 131.6 | 12.1 |
| OCTUBRE | 12 | 134.2 | 11.4 |
| NOVIEMBRE | 11 | 112.4 | 10.5 |
| DECIEMBRE | 13 | 139.5 | 11.5 |

Garcia (48-88) - SC Tabla 3(h)

| MESES | DD | PP | PP / DD |
|------------|----|-------|---------|
| ENERO | 12 | 156.2 | 12.9 |
| FEBRERO | 12 | 178.4 | 14.8 |
| MARZO | 10 | 139.1 | 13.5 |
| ABRIL | 8 | 104.3 | 13.2 |
| MAYO | 7 | 91.7 | 12.9 |
| JUNIO | 7 | 84.4 | 11.8 |
| JULIO | 7 | 83.6 | 12.2 |
| AGOSTO | 7 | 86.8 | 11.9 |
| SEPTIEMBRE | 10 | 119.6 | 12.0 |
| OCTUBRE | 11 | 139.3 | 12.2 |
| NOVIEMBRE | 10 | 115.0 | 12.0 |
| DECIEMBRE | 11 | 138.7 | 12.5 |

Ilhota (48-88) - SC Tabla 3(i)

| MESES | DD | PP | PP / DD |
|------------|----|---------------|---------|
| ENERO | 6 | 153.4 | 24.3 |
| FEBRERO | 7 | 16 6.7 | 23.9 |
| MARZO | 6 | 133.2 | 23.1 |
| ABRIL | 5 | 115.9 | 23.5 |
| MAYO | 5 | 129.3 | 24.9 |
| JUNIO | 6 | 147.7 | 23.2 |
| JULIO | 6 | 145.1 | 23.9 |
| AGOSTO | 7 | 197.2 | 28.6 |
| SEPTIEMBRE | 7 | 207.0 | 27.8 |
| OCTUBRE | 6 | 175.6 | 27.7 |
| NOVIEMBRE | 6 | 140.1 | 23.7 |
| DECIEMBRE | 6 | 145.3 | 24.6 |

Erebango (48-88) - RS Tabla 3(j)

| MESES | DD | PP | PP / DD |
|------------|----|-------|---------|
| ENERO | 10 | 146.9 | 14.5 |
| FEBRERO | 10 | 145.0 | 14.9 |
| MARZO | 9 | 131.8 | 15.5 |
| ABRIL | 6 | 92.6 | 14.5 |
| MAYO | 6 | 91.2 | 14.3 |
| JUNIO | 7 | 116.8 | 16.3 |
| JULIO | 8 | 124.4 | 16.1 |
| AGOSTO | 9 | 146.9 | 16.9 |
| SEPTIEMBRE | 9 | 160.4 | 18.3 |
| OCTUBRE | 9 | 139.9 | 16.2 |
| NOVIEMBRE | 7 | 102.7 | 14.1 |
| DECIEMBRE | 8 | 120.6 | 14.5 |

Passo Tainhas - RS (48-88) - Tabla 3(I)

| MESES | DD | PP | PP / DD |
|------------|-----|-------|---------|
| ENERO | 8 | 129.1 | 16.6 |
| FEBRERO | 8 | 106.1 | 14.1 |
| MARZO | 8 | 132.0 | 17.3 |
| ABRIL | 6 | 94.9 | 16.8 |
| MAYO | 6 | 106.6 | 16.6 |
| JUNIO | . 8 | 134.4 | 17.0 |
| JULIO | 8 | 155.1 | 18.5 |
| AGOSTO | 8 | 144.4 | 17.5 |
| SEPTIEMBRE | 9 | 154.8 | 17.3 |
| OCTUBRE | 7 | 122.4 | 16.1 |
| NOVIEMBRE | 7 | 96.3 | 14.9 |
| DECIEMBRE | 7 | 90.6 | 13.6 |

Canguçu (48-88) - RS Tabla 3(m)

Las tablas 3(a) hasta 3(j) muestron el promedio de dias de lluvias, promedio de lluvias y cantidades de precipitaciones por dia lluviosos (PP/DD), para un conjunto de estaciones del Brasil Meridional.

estudio de series temporales. Los resultados coinciden con la clasificación o discriminación del metodo anterior.

Para hacer la clasificación se utilizaron las 127 estaciones tomando el total de cada año del período de 1948 hasta 1988. Después se dividieron las series en período de invierno, de mayo hasta octubre, y verano, de noviembre hasta abril, según lo definido en los análisis realizados por el CPTEC, INPE. Esta división de los períodos está hecha con base en observaciones de la aparición de la Alta de Bolivia, junto con la ZCAS, según Climanálise.

Con la serie del total de cada año, período de invierno (6 meses) y período de verano (6 meses) se hizo el estudio de clasificación, para sintetizar las informaciones.

Los tres períodos, total anual, invierno y verano, muestran una gran coherencia en la elección de las estaciones clasificadas. Además de esto los métodos de vecindad más próxima y centroide, Cormack, (1971) y de los parámetros de las distancias euclideanas, coeficiente de correlación de Pearson y coeficiente gamma, también demostraron coherencia entre grupos de las tres series (total anual, invierno y verano).

A partir de la clasificación de las estaciones se efectuó el estudio de las series a través del análisis de series temporales. Aquí se tomó también las series de verano e invierno divididas en 6 meses.

El primer análisis realizado fue el estudio de las marchas anuales de las precipitaciones de las series clasificadas de las cuatro provincias. La región de estudio muestra la provincia de San Pablo altamente estacional, con verano lluvioso e invierno seco. Paraná y Santa Catarina tiene una transición entre San Pablo y Río Grande del Sur. Los gráficos de las figuras 8 y 9 y el anexo IV ilustran esta discusión, presentando los promedios para un período de 41 años (1948 - 1988).

Las tablas 3 (A hasta L) muestran para las mismas estaciones, promedio del número de días con lluvia (precipitación por encima de 1mm), las cantidades de

precipitación por días lluviosos y el promedio de la precipitación mensual en el período analizado. La estación lluviosa empieza en septiembre/octubre, alcanzando su máximo en enero y finalizando en abril, aproximadamente, para la provincia de San Pablo, Sugahara (1991).

Las estaciones analizadas fueron: Antonina (PR5), Jataizinho (PR1), Rio Negro (PR25), Garcia (SC6), P. Tainhas (RS23), con todos los datos y Guarapuava/Santa Clara (PR22) con falta de informaciones de noviembre a diciembre de 1952, marzo de 1953 y enero a diciembre de 1981; Ilhota (SC8) con falta de datos en julio de 1983 e abril a diciembre de 1988; Matos Costa (SC9), con falta de datos en enero de 1949, febrero de 1961, diciembre de 1981 y marzo a abril de 1988; Canguçu (RS17) con falta de informaciones de julio de 1949 a octubre de 1950, junio a agosto de 1956, septiembre de 1958 a enero de 1959, marzo de 1961 a diciembre de 1961.

La elección de estas estaciones fue hecha teniendo en cuenta la ubicación de las mismas, buscando la mejor distribución espacial.

En las provincias de Paraná y Santa Catarina, en la costa, hay una similitud muy grande con la provincia de San Pablo. Así se puede hacer una primera regionalización tanto de Paraná como de Santa Catarina llevando en cuenta esta marcada característica.

La costa de Paraná (Antonina) y la región norte (Jataizinho) tiene un promedio de lluvia más grande en el verano, empezando en octubre y teniendo su máximo en enero. En la costa del Paraná, la precipitación es más intensa que al norte de esta provincia. Esto se debe a las características de la costa que tiene un relieve muy marcado, una brisa del mar muy acentuada, provocando un aumento de la precipitación. Ya Guarapuava y Río Negro, estaciones más continentales no presentan estas características. El mes más lluvioso es octubre en Guarapuava y febrero en Río Negro, pero con una distribución más uniforme en todo el año.

En Santa Catarina, la estación Matos Costa tiene mucha similitud con Río Negro (PR), pero Garcia e Ilhota son muy parecidas con las estaciones de la costa del

Paraná, presentando máximos en verano (comienza en septiembre) en los meses de enero/febrero.

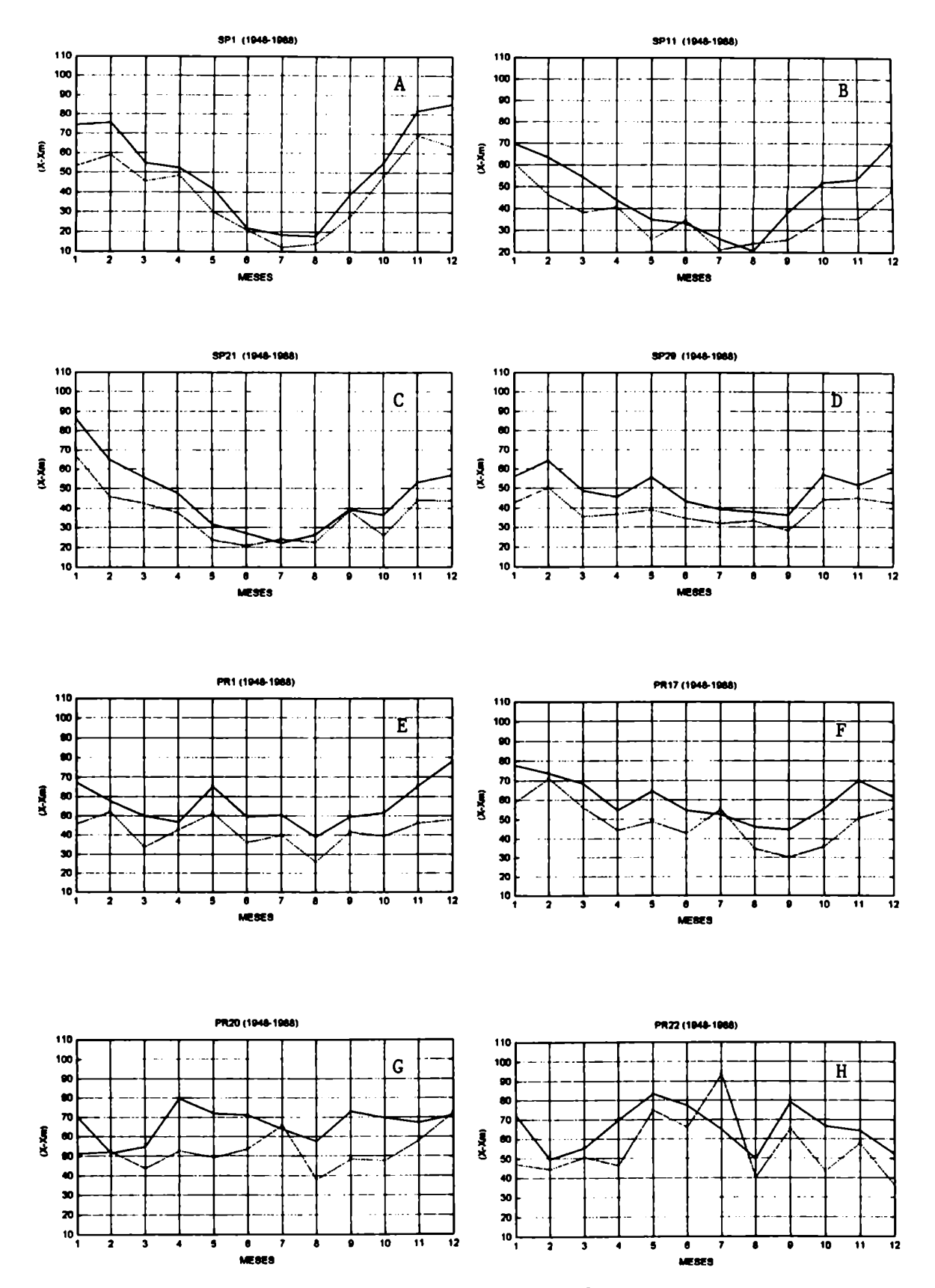
Las estaciones de Río Grande del Sur son, en general, más uniformes en la distribución del promedio de la precipitación. Aunque, en la costa hay una mayor precipitación en los meses de enero y febrero, no es tan significativa como en la provincia de San Pablo que tiene verano húmedo e invierno seco.

El promedio de dias de lluvias (frecuencia media de idas de lluvias) encuéntrase en fase con los promedios de lluvias, (las dos primeras columnas). Ya la intensidad representado en las tablas 3 por PP/DD no tiene onda anual definida indicando que la naturaleza de cada evento lluviosos es similar.

Con el promedio y el desvío estándar se realizó el estudio de la estructura espacial de las series. Este estudio mostró una mayor precipitación en verano, principalmente en San Pablo, respecto a Río Grande del Sur.

Además del análisis de la onda anual, a través del promedio y del desvío estandarizado se utilizó el análisis armónico como metodología exploratoria de la variabilidad de las series de precipitaciones, anexo V. Se puede observar que el análisis de Fourier muestran procesos bien determinísticos en las estaciones de San Pablo, la costa de Paraná y en la costa de Santa Catarina. San Pablo tiene una onda anual muy marcada en todas las estaciones analizadas, mientras que Paraná, en la costa, tiene el mismo comportamiento, con ondas anuales muy marcadas. Santa Catarina, también tiene algunas estaciones, aunque más ruidosas, con las ondas anuales bien definidas. Las demás estaciones analizadas de Paraná, Santa Catarina y Río Grande del Sur, presentan señales ruidosos.

Las figuras del anexo V, presentan los mapas con la ubicación de las estaciones y abajo de las mismas, entre paréntesis, los valores de la varianza del armónico 41 (la onda anual). Estos valores para cada provincia confirma las afirmaciones hechas en el párrafo anterior.



•••••••••••

Figura 10 - Graficos del modulo de (X - \overline{X}) de las precipitaciones de San Pablo y Paraná.

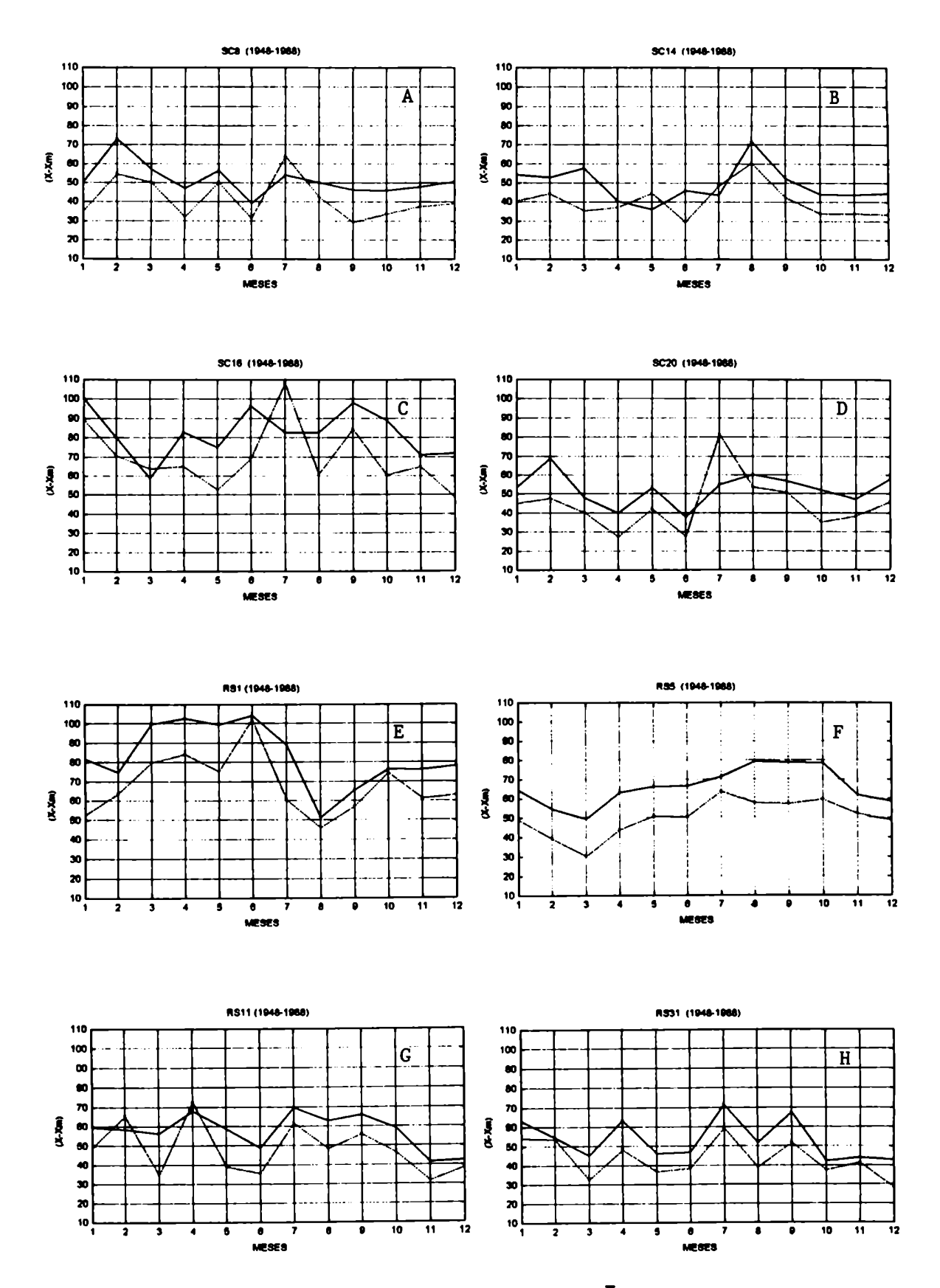


Figura 11 - Graficos del modulo de $(X - \overline{X})$ de las precipitaciones de Santa Catarina y Rio Grande del Sur. La linea superior representa el promedio y la linea inferior, el desvio estander.

Para intentar filtrar la onda anual se obtuvieron las anomalías expresadas en distintas formas. Las figuras 10 y 11, muestran las medias y los desvíos estandarizados de las anomalías de las estaciones de San Pablo, Paraná, Santa Catarina y Río Grande del Sur, calculadas a través del módulo de $(X(I) - \overline{X})$. Se nota que la variabilidad, muy marcada en la marcha anual de los datos originales, disminuye con la utilización de este filtro. La estación de Cándido Mota (22:53;50:30), San Pablo, es la que mejor filtra la onda anual en relación a las otras estaciones de San Pablo analizadas.

Otra forma de filtrar la onda anual de las series estudiadas y homogeneizar los resultados para una comparación regional fue utilizando el módulo de $((X(I)/\overline{X})-1)$. En estas marchas anuales lo que se ve en las figuras (12 y 13) son máximos en invierno, en las estaciones de San Pablo y en la costa de Paraná (estaciones de Morretes (25:28;40:50) y Veu de Noiva (25:26;48:57)). Esto significa que la variabilidad de estas series no están en estricta relación con el promedio.

En el filtro de la onda anual utilizando anomalías se observa coherencia en el caso de la utilización del promedio o el desvío estandarizado de las series utilizadas o sea Paraná, es la provincia de transición entre el régimen de precipitación de San Pablo y Río Grande del Sur y Santa Catarina. Se debe mencionar que en Paraná la onda anual es bien definida con máximo en verano y mínimo en invierno, en la costa. Los gráficos de las estaciones de Morretes y Veu de Noiva muestran muy bien la onda anual, parecido con las estaciones de San Pablo, mientras que en el interior ya hay un comportamiento de latitud media, muy parecido con las series de precipitación de Santa Catarina y Río Grande del Sur.

Se utilizó también como filtro de la onda anual la expresión $((X(I) - \overline{X}) / \sigma)$ y otra utilizando la mediana en lugar del promedio. En las figuras 14 y 15 se muestra la marcha anual de estas anomalías. Los resultados muestran que hubo un filtro efectivo de la onda anual en todas las series aunque aparece una mayor variabilidad en las estaciones analizadas.

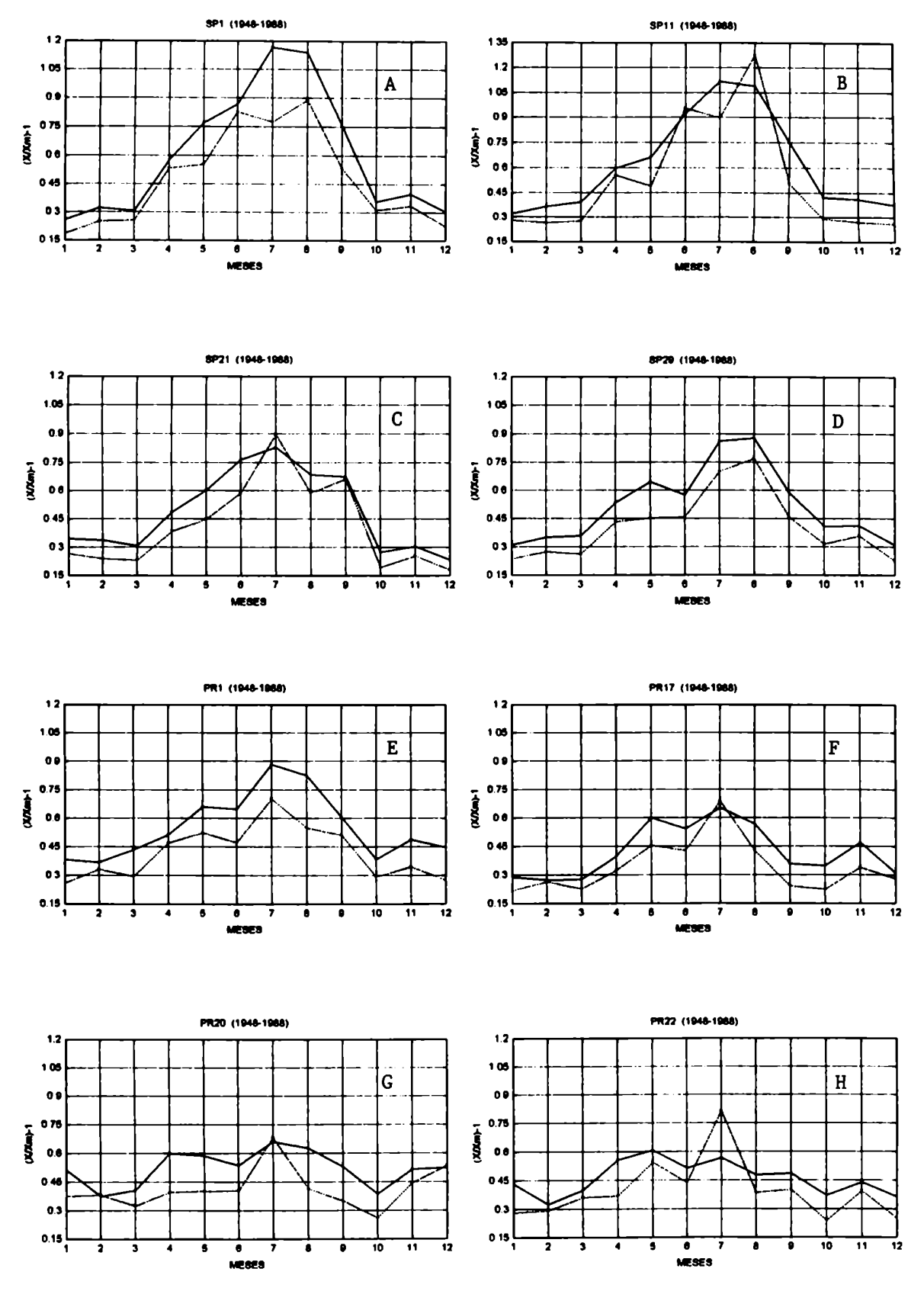


Figura 12 - Graficos del modulo de (X/X) - 1 de las precipitaciones de San Pablo y Parana. La linea superior representa el promedio y la linea inferior, el desvio estander.

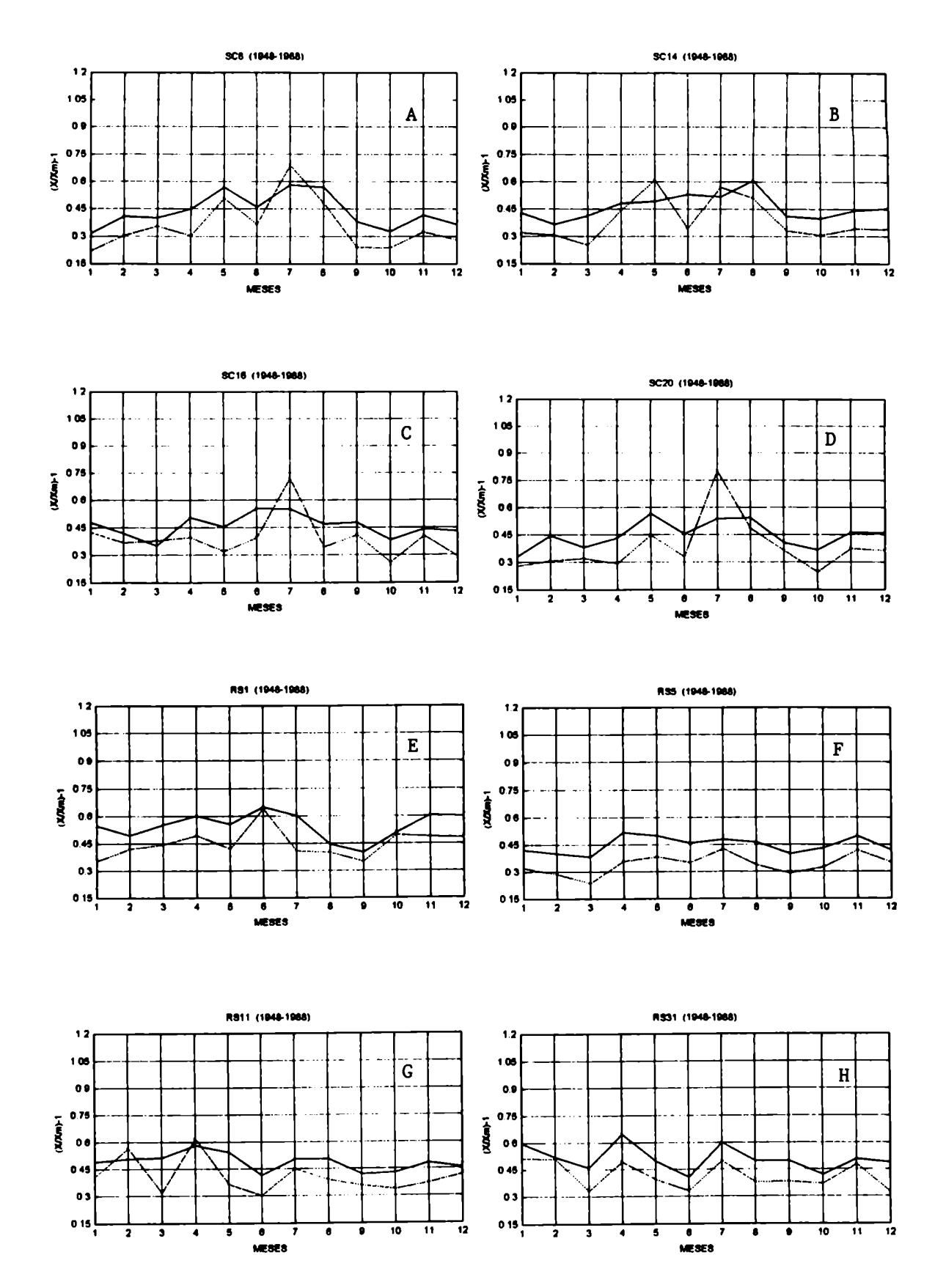


Figura 13 - Gráficos del modulo de $(X/\overline{X})-1$ de las precipitaciones de Santa Catarina y Rio Grande del Sur. La linea superior representa el promedio y la linea inferior, el desvio estander.

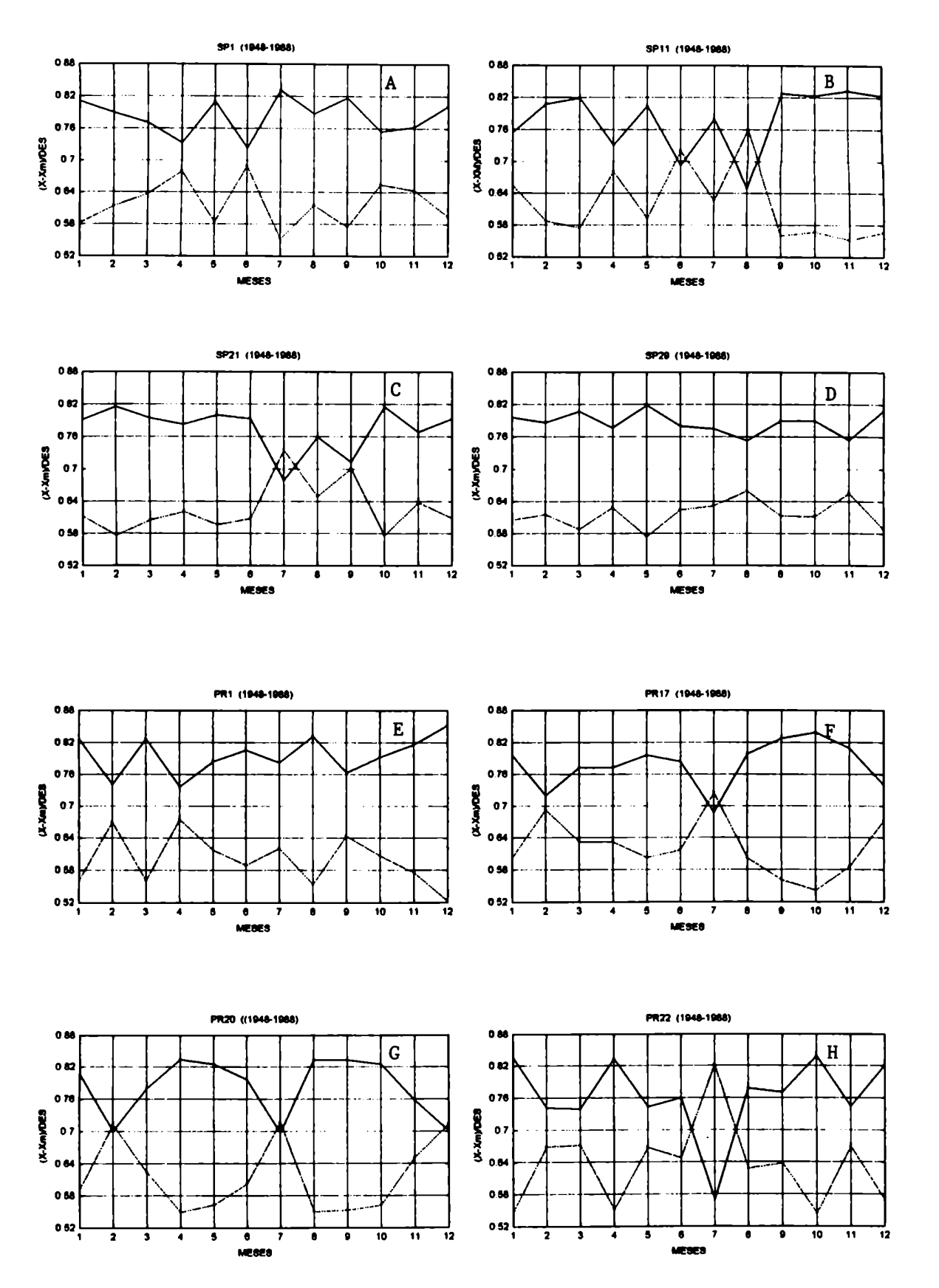


Figura 14 - Graficos del modulo de $(X - \overline{X})/DES$ de las precipitaciones de San Pablo y Parana. La linea superior representa el promedio y la linea inferior, el desvio estander.

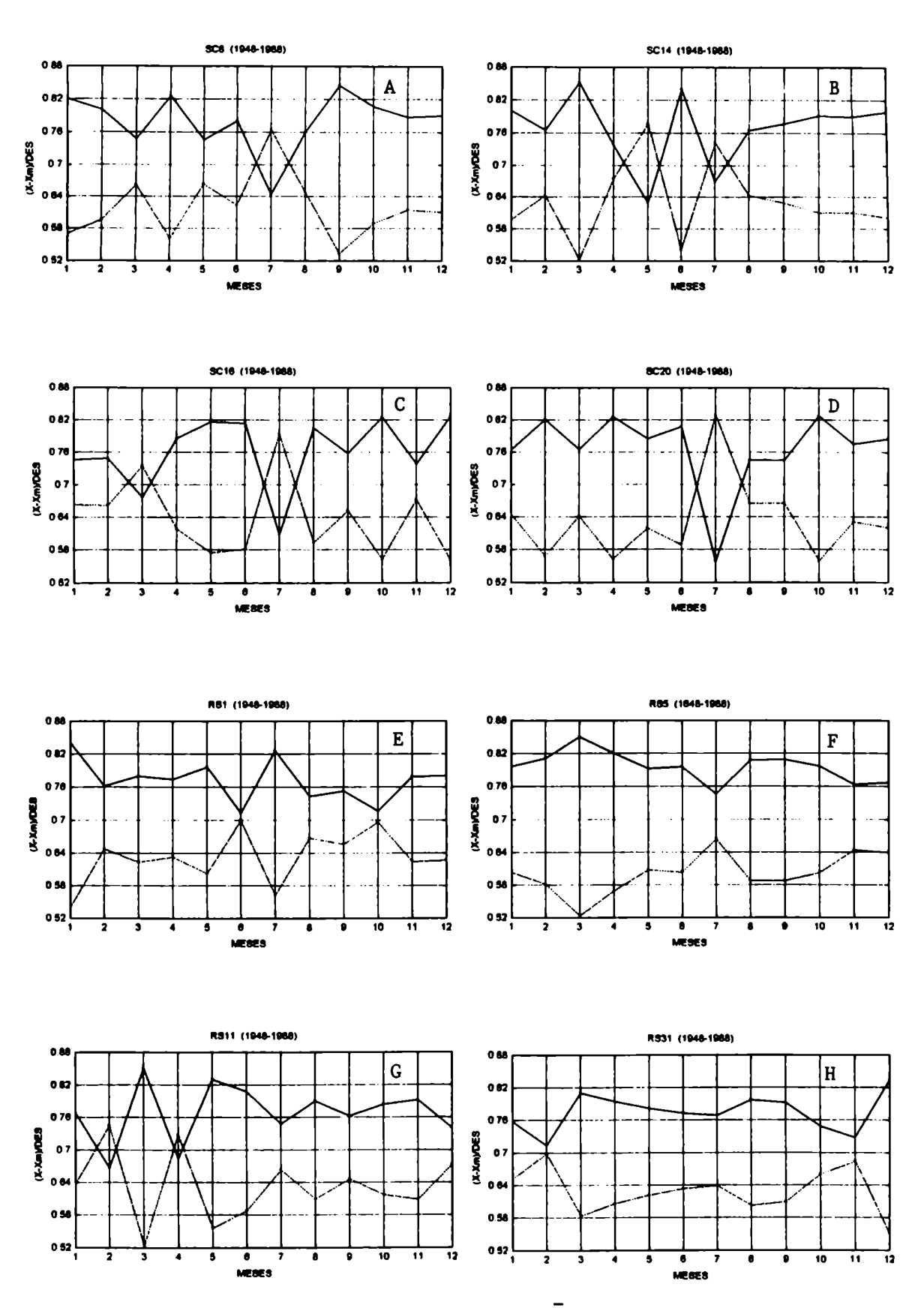


Figura 15 - Graficos del modulo (X - X)/DES de las precipitaciones de Santa Catarina y Rio Grande del Sur. La linea superior representa el promedio y linea inferior, el des - vio estander.

Para elegir el mejor filtro se utilizó el análisis de Fourier, aplicado a la serie original y a las series filtradas. Por ejemplo, la serie original de la estación de Candido Mota (SP29), tabla 4, presenta el armónico 41 con una varianza explicada de 34.96%, la mayor varianza. Para la serie utilizada este armónico representa la onda anual. En la serie $\left|\left[\left(X(I)/\overline{X}\right)-1\right]\right|$ se advierte una significativa disminución de la varianza explicada de la onda anual, aunque las otras formas de filtro presentadas también en la tabla 4 muestra una reducción más acentuada de los armónicos de la onda anual.

| Estaciones | VARIANZA EXPLICADA (%) | | | |
|------------|------------------------|---------------------------|--|------------------------------------|
| | X(I) | $ (X(I) - \overline{X}) $ | $\left \left[\left(X(1)/\overline{X}\right)-1\right]\right $ | $ (X(I) - \overline{X} / \sigma) $ |
| SP20 | 62.18 | 16.76 | 14.92 | 0.06 |
| SP29 | 34.96 | 2.89 | 12.49 | 0.03 |
| SP40 | 34.13 | 14.16 | 2.33 | 0.03 |
| SP45 | 56.37 | 18.74 | 13.58 | 0.12 |
| PR17 | 35.80 | 5.21 | 7.88 | 0.10 |
| PR18 | 27.61 | 2.54 | 5.17 | 0.06 |
| PR19 | 2.37 | 0.55 | 1.24 | 0.03 |

Tabla 4 - Para el armónico 41 (onda anual) los valores en porcentaje para la serie original y para cada filtro utilizado

Las estaciones continentales de Paraná y Santa Catarina (PR19, PR22, SC3, SC9 y SC16) y las estaciones del R.G. del Sur, presentan el armónico correspondiente a la onda anual del período 1948-1988 con varianza no significativa en ninguna de las series. Esto significa que no hay períodos húmedos ni secos muy marcados en la región y que no existen necesidad de filtro de oda anual.

Otro ejemplo que refleja las condiciones costera se presenta para la estación Rio del Pouso (SC13) con el armónico 41 con una varianza explicada de 10.13% y también el módulo de estandarización como el mejor filtro.

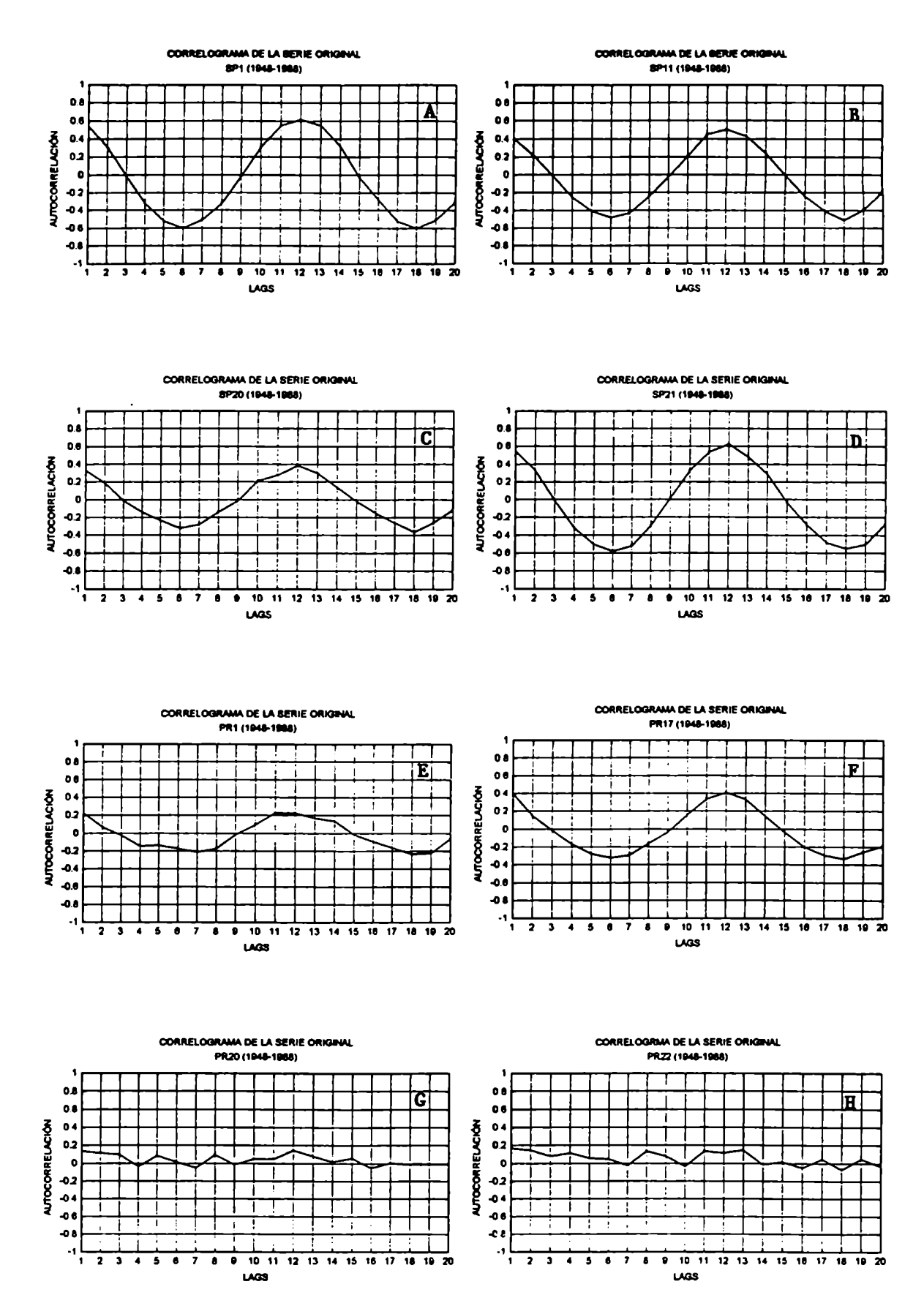


Figura 16 - Correlograma de las series originales de precipitaciones de San Pablo y Parana.

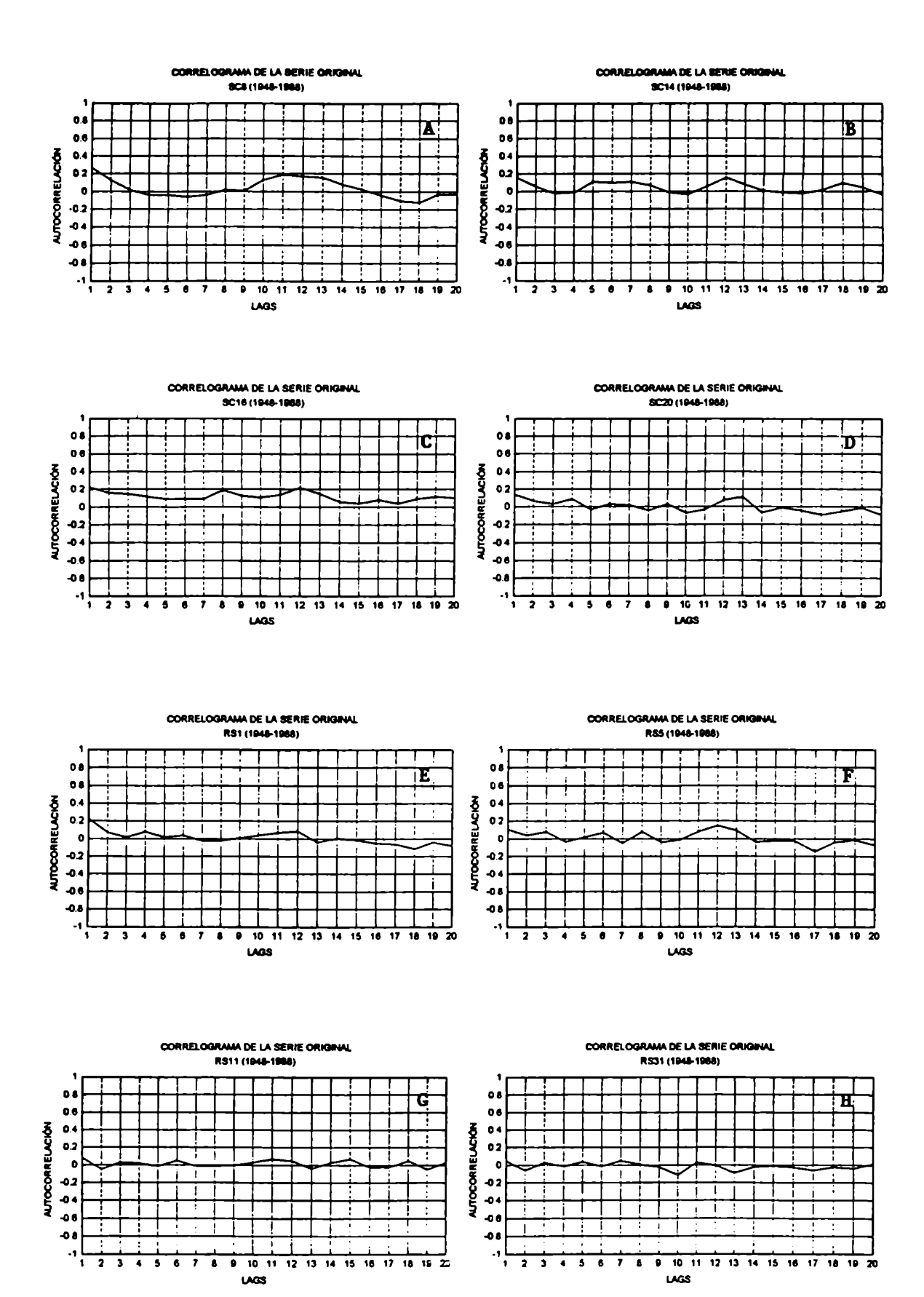


Figura 17 - Correlograma de las series originales de precipitaciones de Santa Catarina y Rio Grande del Sur.

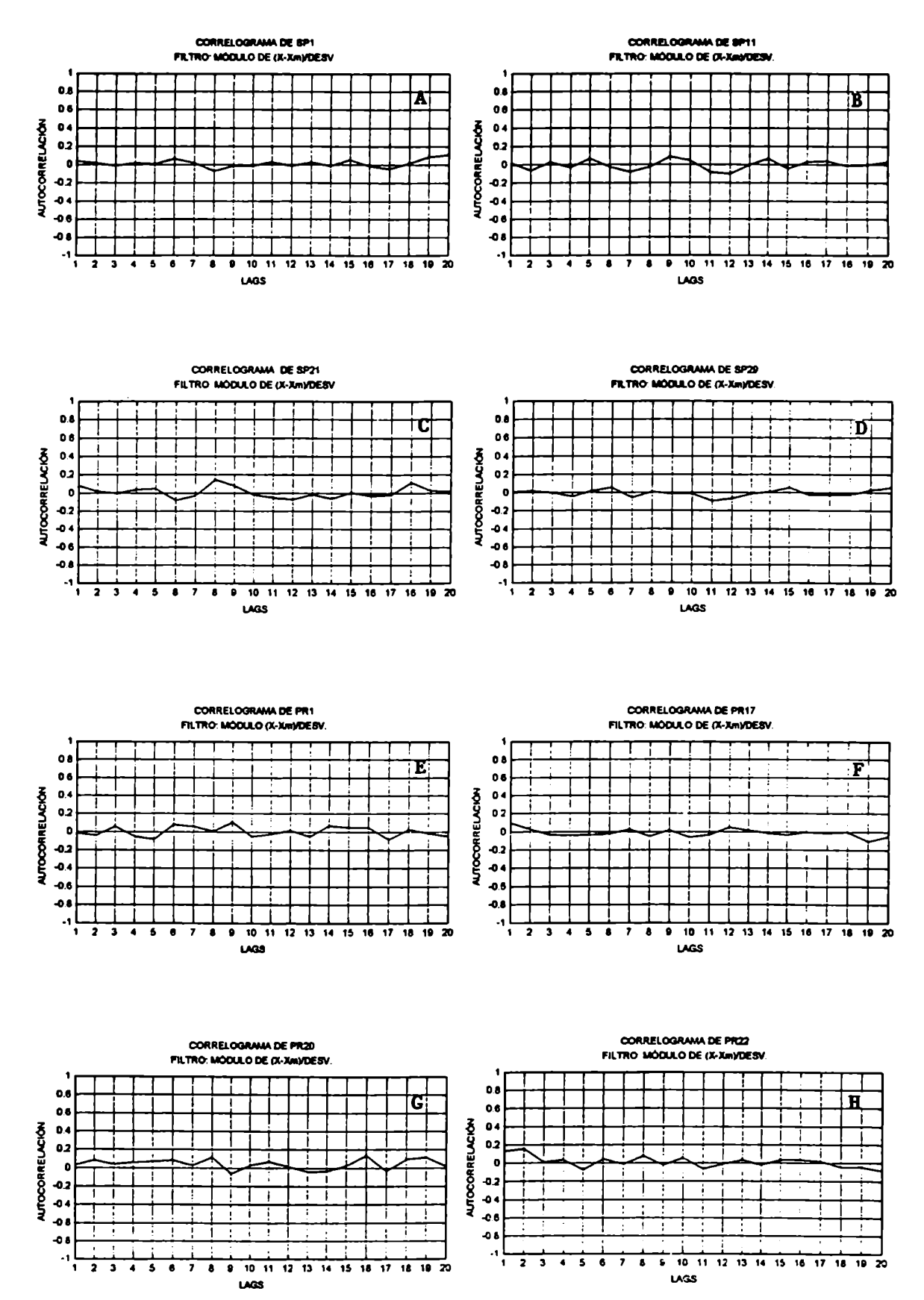


Figura 18 - Correlograma del modulo de (X-Xm)/DES de las series de precipitaciones de San Pablo y Paraná.

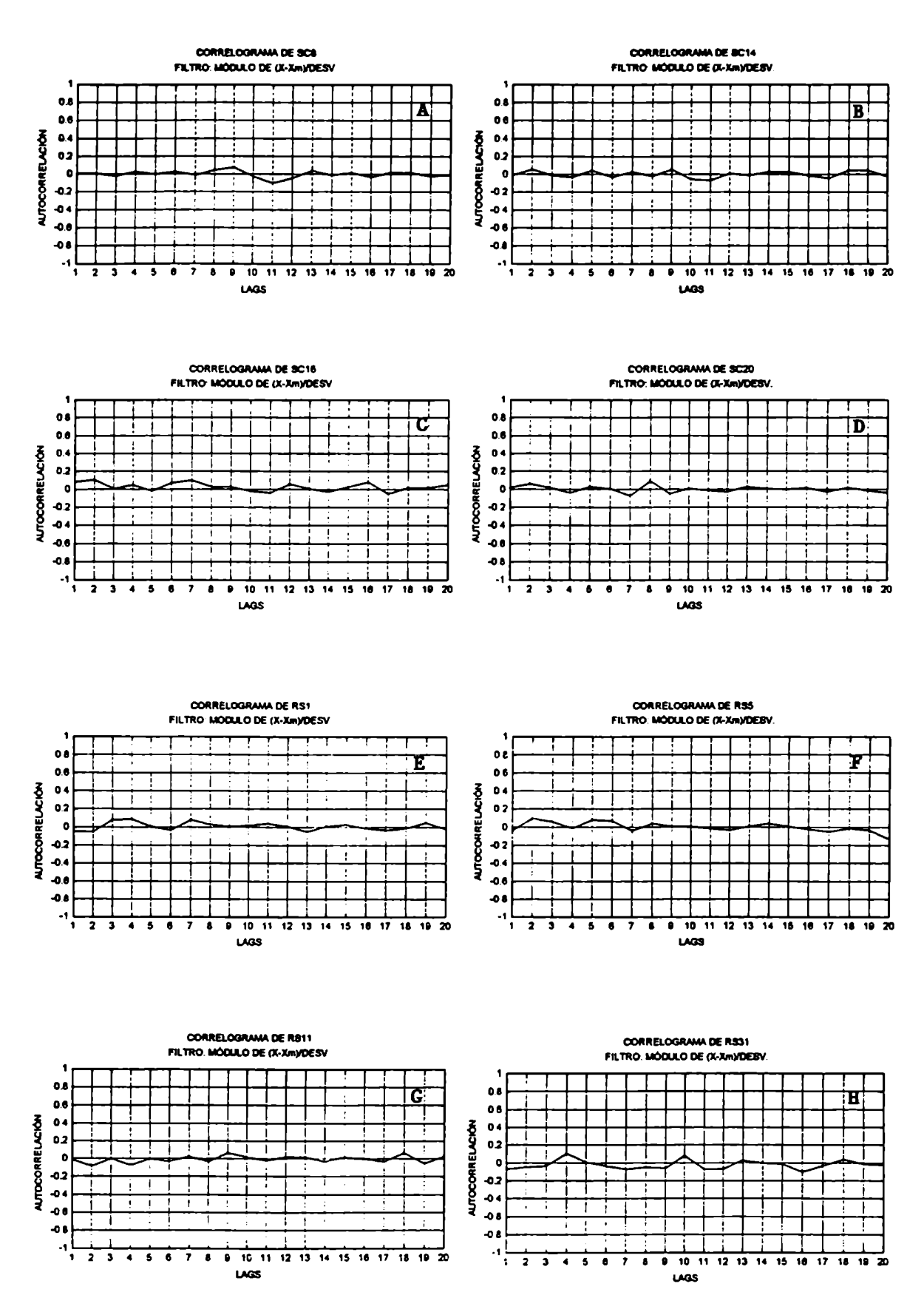


Figura 19 - Correlograma del modulo de (X-Xm)/DES de las series de precipitaciones de Santa Catarina y Rio Grande del Sur

| Estaciones | | VARIANZA E | XPLICADA (%) | |
|------------|-------|---------------------------|--|------------------------------------|
| | X(I) | $ (X(I) - \overline{X}) $ | $\left \left[\left(X(I)/\overline{X}\right)-1\right]\right $ | $ (X(I) - \overline{X} / \sigma) $ |
| SP20 | 62.18 | 16.76 | 14.92 | 0.06 |
| SP29 | 34.96 | 2.89 | 12.49 | 0.03 |
| SP40 | 34.13 | 14.16 | 2.33 | 0.03 |
| SP45 | 56.37 | 18.74 | 13.58 | 0.12 |
| PR17 | 35.80 | 5.21 | 7.88 | 0.10 |
| PR18 | 27.61 | 2.54 | 5.17 | 0.06 |
| PR19 | 2.37 | 0.55 | 1.24 | 0.03 |

Tabla 4 - Para el armónico 41 (onda anual) los valores en porcentaje para la serie original y para cada filtro utilizado

Filtrada la onda anual, el siguiente paso fue intentar ver que otros procesos estocásticos y que efectos particulares influyen en las series estudiadas y cual es el grado de independencia de los datos.

Con este propósito se calculó la función de autocorrelación de la serie original y de (X-Xm)/σ hasta 20 "lags". Las figuras 16 y 17, 18 y 19 respectivamente, presentan los gráficos para las series originales y de estandarización de los datos de San Pablo (SP1, SP11, SP20 y SP21), Paraná (PR1, PR17, PR20 y PR22), S. Catarina (SC8, SC14, SC14 y SC20) y R. Grande del Sur (RS1, RS5, RS15 y RS31).

De la análisis surge que las series de cualquier punto de esta región de Brasil no contienen persistencia nada más que aquella dada por la onda anual que como sabemos se puede considerar como un proceso casi determinístico. Esto implica que el ajuste de modelo de estas series deberán considerar la hipótesis de valor aleatorio.

Finalmente se aplicó a las series, la técnica de análisis espectral para detectar de que manera contribuyen las oscilaciones de las distintas longitudes de onda a la varianza total, para averiguar si existe diferentes ciclos compatible con lo observado en las estimaciones de autocorrelaciones.

El máximo "lag" utilizado para el cálculo de los espectros es aproximadamente 150 (30% de los datos de la serie total), lo cual es lo indicado para obtener una buena resolución y además estabilidad en las estimaciones.

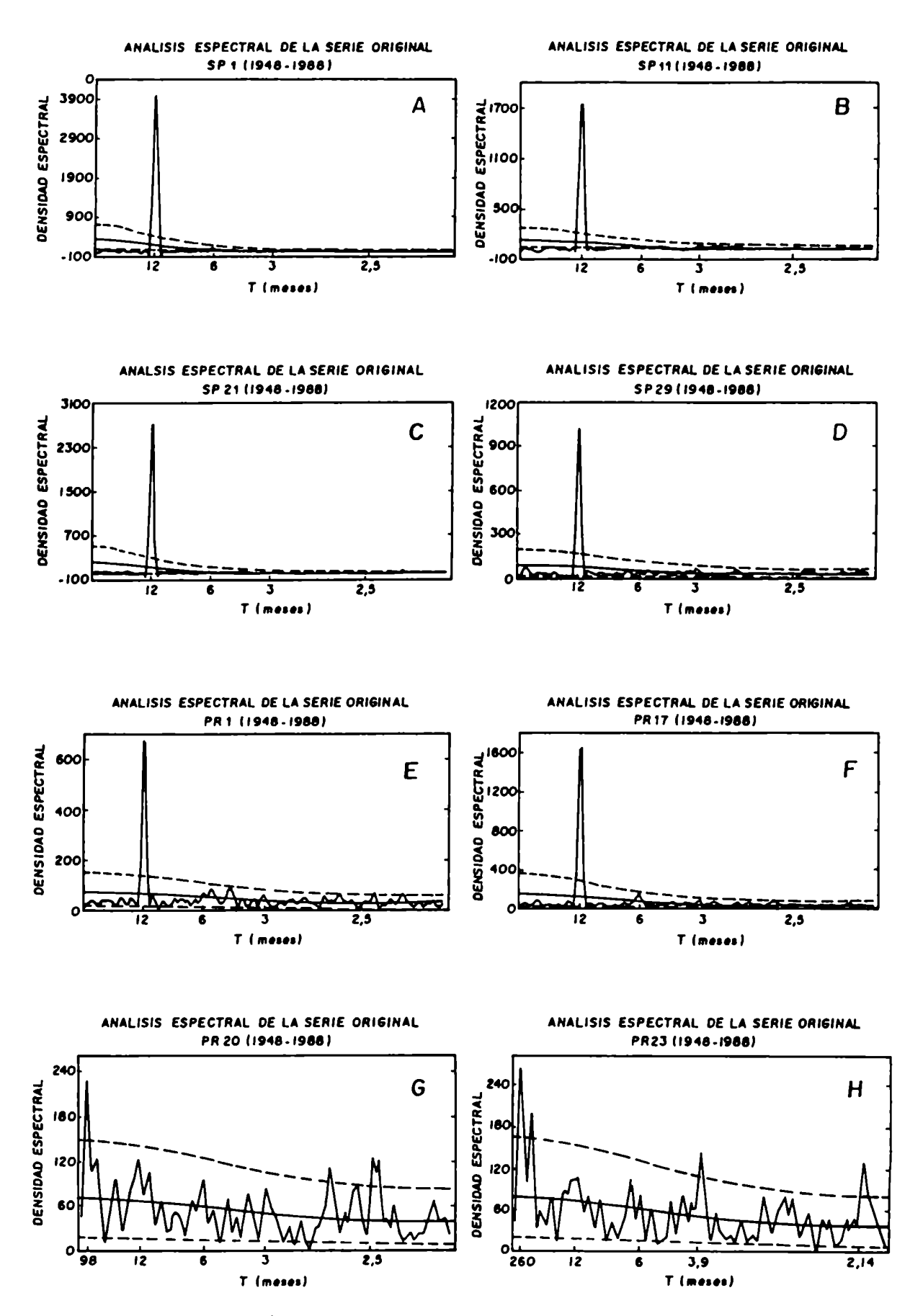


Figura 20 - Análisis espectral de las series originales de precipitación total mensual de San Pablo y Paraná.

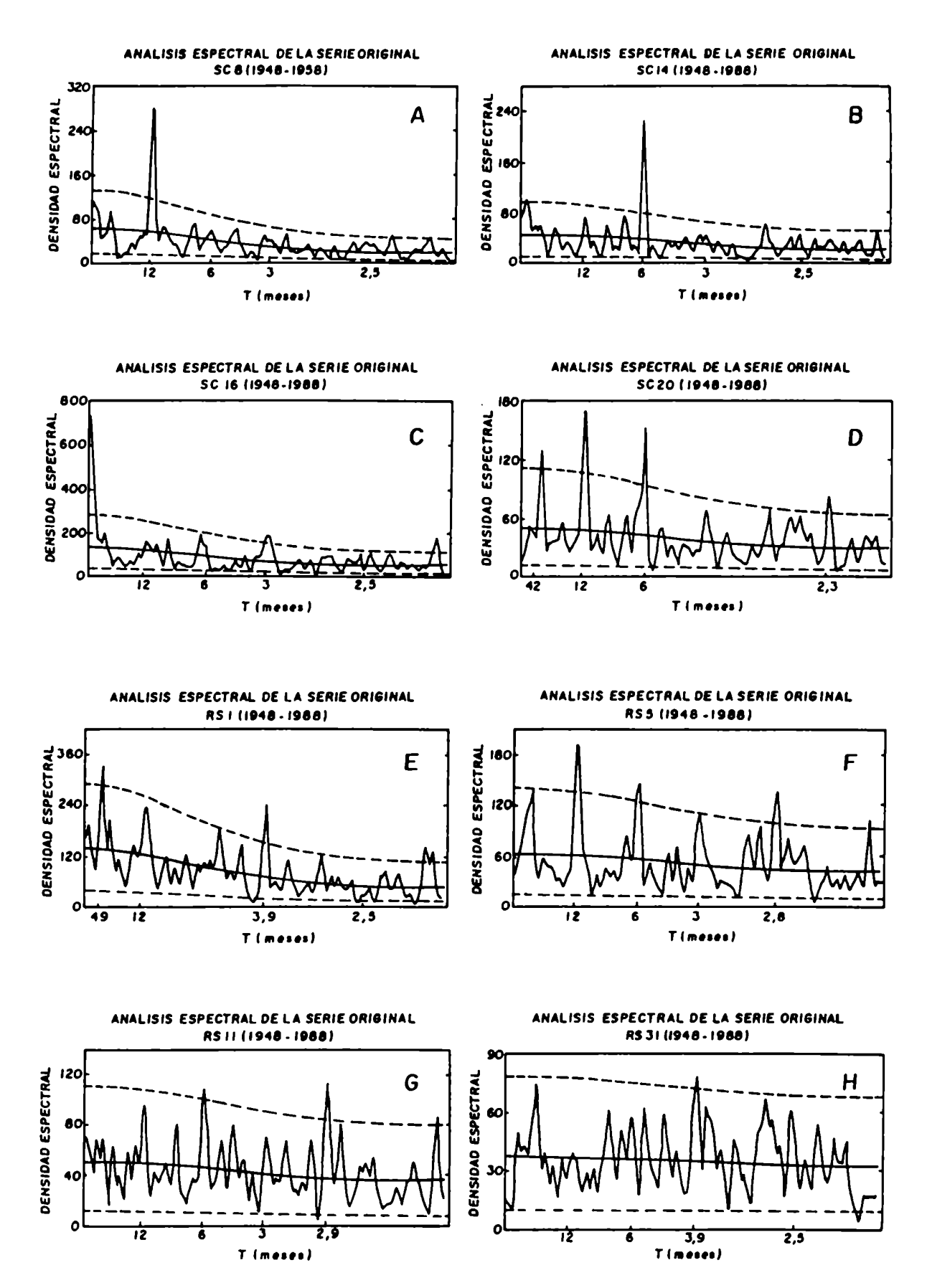


Figura 21 - Análisis espectral de las series originales de precipitaciones de Santa Catarina y Rio Grande del Sur.

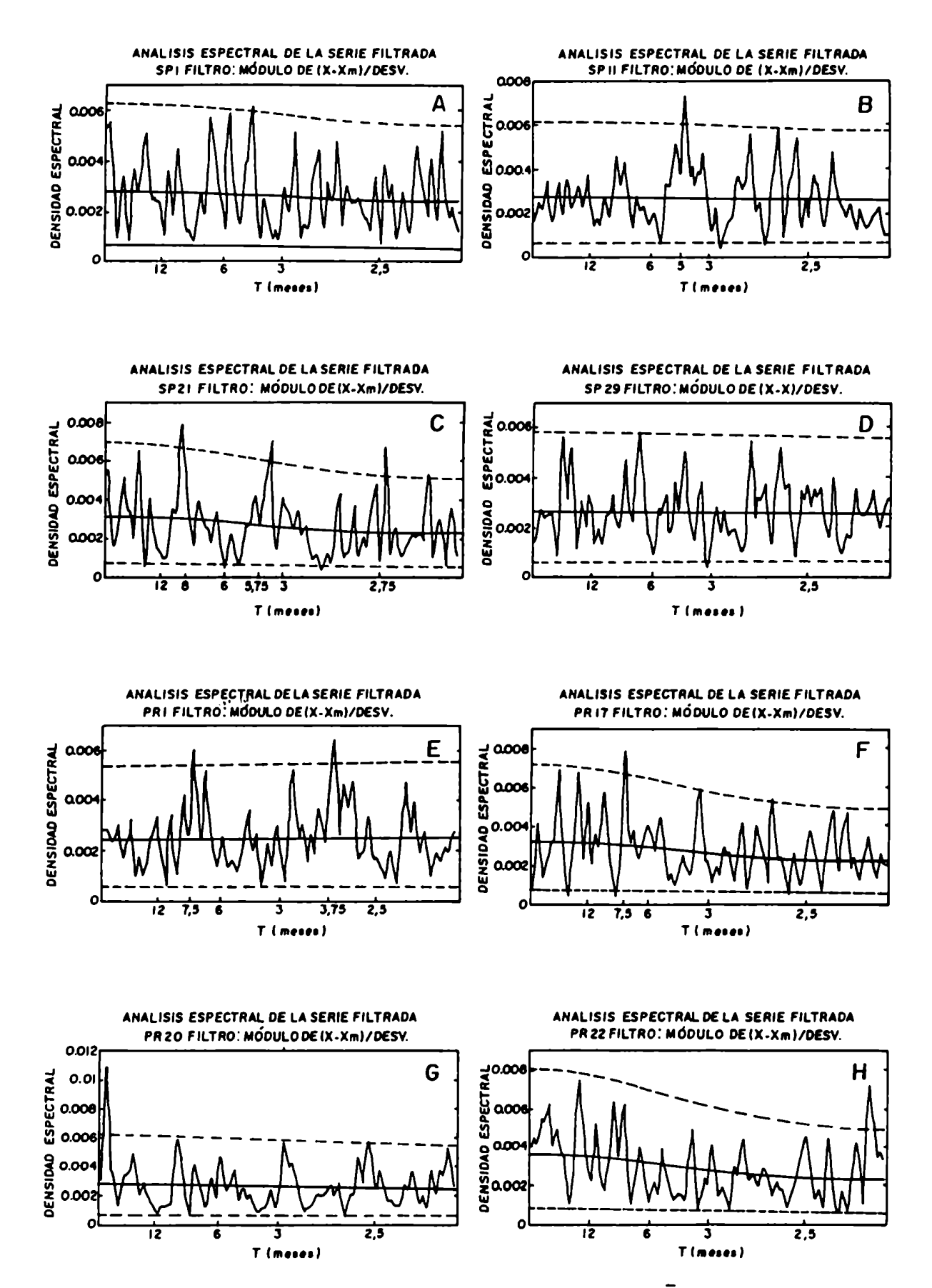


Figura 22 - Análisis espectral del modulo de (X-X)DESV de las series de precipitaciones total mensual de San Pablo y Paraná.

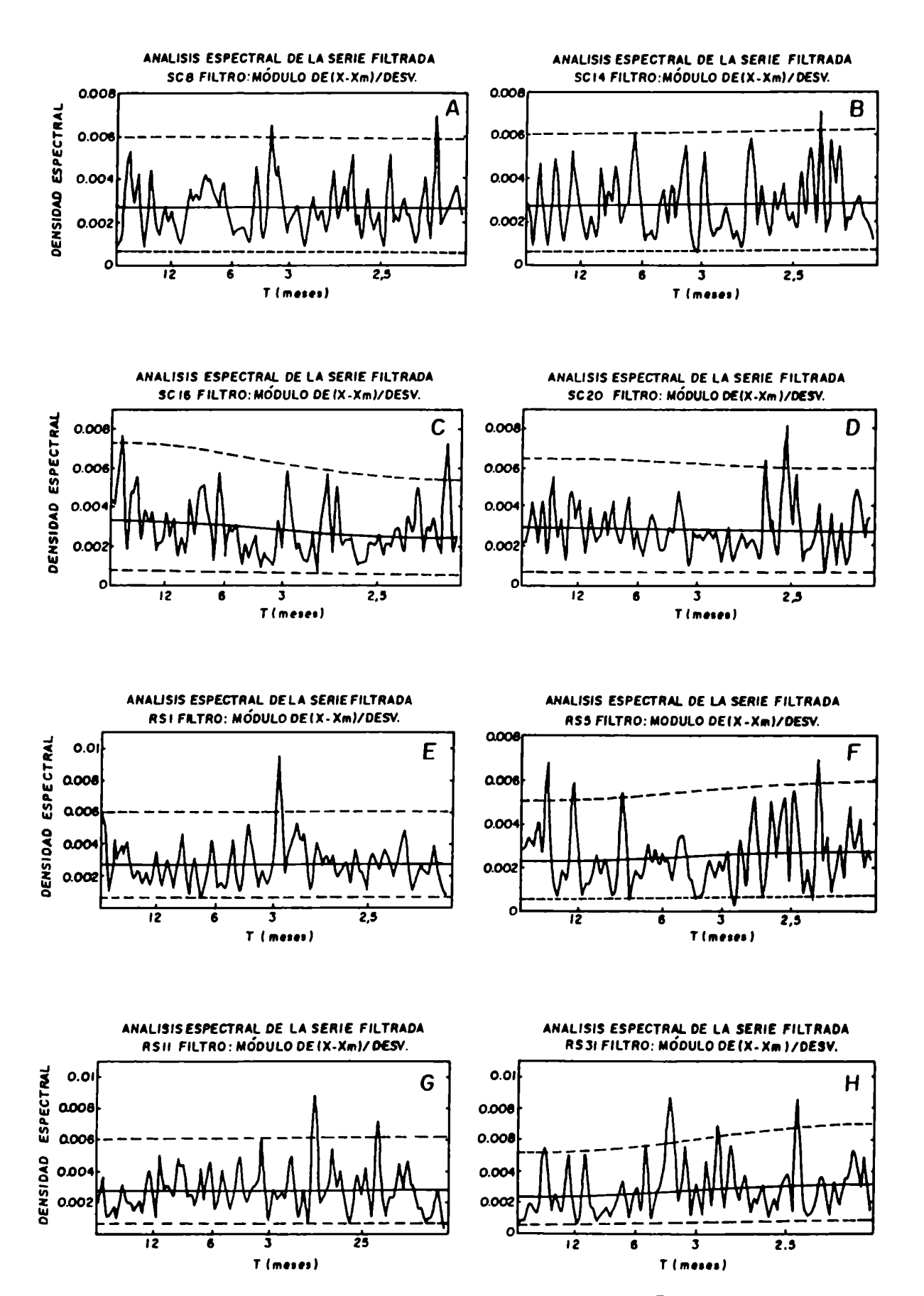


Figura 23 - Analisis espectral del modulo de (X-X)/DESV de las series de precipitaciones de Santa Catarina y Rio Grande del Sur.

En las figuras 20 y 21 se observa el espectro correspondiente a los datos originales de la precipitación total mensual, para el período 1948 - 1988. Las figuras 20 (A hasta H) presentan los espectros para distintas estaciones de San Pablo y Paraná. Las figuras 21 (A hasta H), los espectros para distintas estaciones de Santa Catarina y Rio Grande del Sur.

Se puede observar en las series de San Pablo y Paraná (la costa y noreste de este estado) y SC8 (Santa Catarina) que el unico ciclo predominante en la serie es el ciclo anual, para un nivel de confianza de 95%. Las otras series estan dominadas por procesos predominantemente aleatórios, no obstante PR20, PR22, SC16, y RS1 existen picos que representan longitudes de ondas entre 98 y 48 meses. Esta ultima podria ser un reflejo de las ondas semi anual. SC14 presenta un pico en el ciclo semi anual y la serie SC20 tiene significancia en las ondas de los ciclos anual y semi anual. En las series de R. G. del Sur hay manifestación predominante del ciclo anual, (RS1 y RS5) y semi anual, (RS11 y RS31).

Para eliminación del ciclo anual se utilizó las series con filtro de $(X(I) - \overline{X}) / \sigma$. Los resultados son presentados en las figuras 22 (A hasta H), para San Pablo y Paraná. Las figuras 23 (A hasta H) para S. Catarina y R. G. del Sur. Las series filtradas de S. Pablo no presentaron la onda anual y para distintas series estudiadas se presentaron picos espectrales de diversas longitudes de onda, aunque es evidente el efecto de los procesos al azar. Las series de S. Pablo se quedaron más ruidosas.

En las series de Paraná, S. Catarina y R. G. del Sur el espectro muestra distintas ondas importantes sin que ninguna tenga una inferencia climática evidente. Las series filtradas en general no presentaron signos de la onda anual en las series del Brasil Meridional analizadas.

Se estudió la coherencia regional de las series a través de la función correlación lineal contra la distancia, para cada período (total anual, total de invierno y total de verano), para todas las estaciones clasificadas por el análisis multivariado, cluster y para cada provincia separadamente. En las figuras (24 C, D, E, F, G, H) se

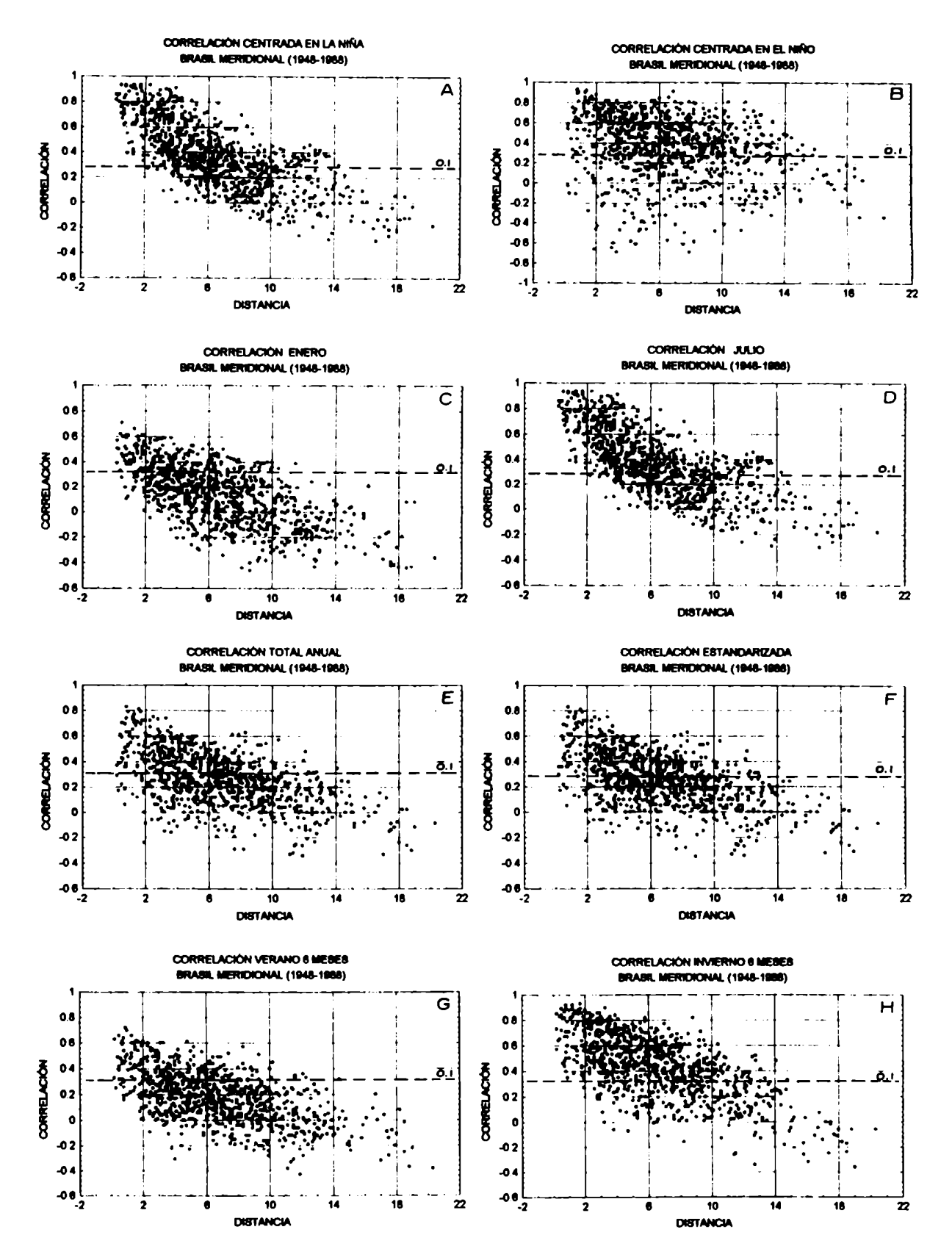


Figura 24 - Correlación en función de las distancias de las estaciones del Brasil Meridional. Las distancias fueron medidas en milimetros.

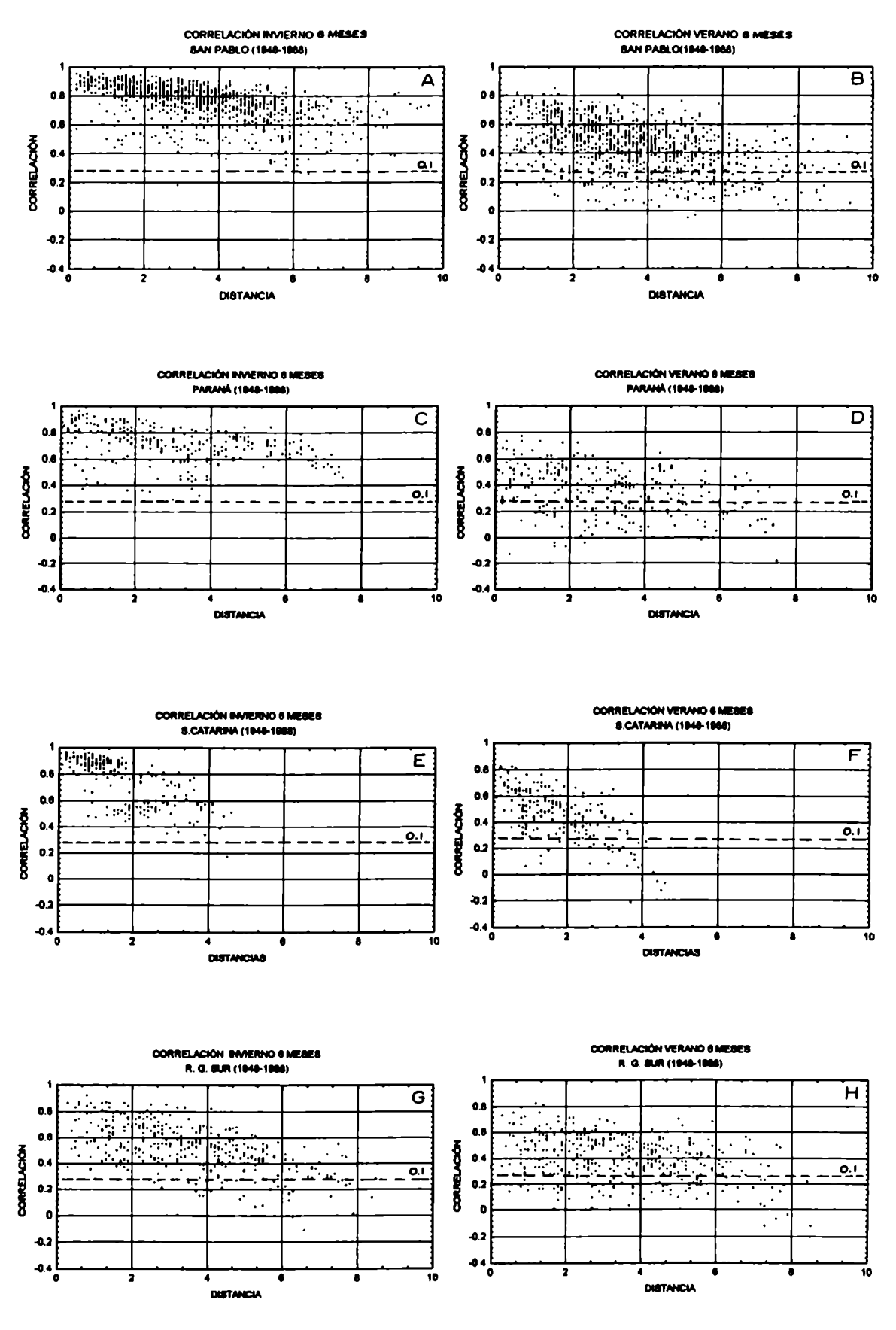


Figura 25 - Correlación in funcion de las distancias para cada provincia del Brasil Meridional, período de invierno (6 meses) y verano (6 meses). Las distancias fueran medidas en milimetros.

presentan las funciones de estructura o de correlación lineal con las distancias para el total anual, de invierno y verano. Se nota una correlación más fuerte en el invierno cuando se compara con el verano y el total anual. La homogeneidad regional existente en el período de invierno, seria debido a los procesos físicos que originan estas precipitaciones y explican estas diferencias. En el invierno son predominantes las lluvias debido a las masas polares por lo que son más homogéneos los campos de precipitaciones resultantes (gradientes suaves), mientras que en el verano los sistemas convectivos que son los más actuantes, provocan una mayor variabilidad espacial..

Existe una coherencia muy marcada para cada provincia estudiada (San Pablo, Paraná, Santa Catarina y Río Grande del Sur). Para cada una de las provincias fueron utilizados las series de las estaciones que se presentan en el Anexo I. Hay una similitud con lo dicho en el párrafo anterior: una mayor coherencia en el invierno, con muchos más puntos altamente significativos en relación al verano, figuras 25 (A, B, C, D, E, F, G).

Las variaciones coherentes en los totales anuales están asociadas con diversos tipos de sistemas precipitantes organizados que cruzan la región, tales como nubes asociadas a frentes frías (Tarifa, 1975), líneas de inestabilidad (Scolar, 1983), complejos convectivos de mesoescalas (Silvia Dias et al., 1986).

5.5 Meses más Lluviosos y más Secos

En la caracterización del régimen de lluvia, también se utilizó el porcentaje de la contribución del promedio del mes en relación al promedio del año, en el período. El anexo VI muestra tablas del porcentaje de todos los meses para algunas estaciones. Se hizo también la combinación de tres meses: período seco (mayo/julio) y período húmedo (diciembre/febrero), así como la combinación de seis meses: período húmedo (octubre/marzo) y período seco (abril/septiembre). Además de estos se calculó el porcentaje de períodos de tres meses consecutivos.

Es importante observar que si todos los meses del año contribuyesen en relación al total anual con la misma precipitación, tendríamos una contribución de 1/12

del total anual (8.33%). Este criterio podría ser adoptado para determinar cuantitativamente los meses relativamente secos (todos los meses con porcentaje inferior a 8.33%).

En la provincia de San Pablo, la contribución del mes de enero y diciembre es, en el promedio, mucho mayor que la contribución de los otros meses y significativamente mayor que el porcentaje de las otras provincias.

En Río Grande del Sur, el mes más seco es noviembre, pero es muy difícil caracterizar el mes más seco en la región sur del Brasil (Paraná, Santa Catarina y Rio Grande del Sur). Julio y agosto son los dos meses consecutivos más secos en la provincia del Paraná, en el promedio, en este período de estudio.

Para la agricultura es de mayor interés el conocimiento de los tres meses consecutivos más lluviosos para la mejor utilización del agua en el ciclo vegetativo de las plantas. En la provincia de San Pablo y en el interior de Paraná, los tres meses más lluviosos fueron diciembre, enero y febrero, con una contribución de 50% de la precipitación total, pero con menores valores del norte para el sur. En Río Grande del Sur y Santa Catarina la caracterización de los tres meses más lluviosos no es significativa (la lluvia tiene una distribución casi homogéneo durante todos los meses).

Los tres y seis meses concentrados en el período de verano e invierno muestran una marcada precipitación en el verano de San Pablo, con un promedio de 70% de esta contribución en este período.

Aunque en el período de tres meses haya una disminución, en relación a los seis meses, es también más representativa la contribución del verano en relación al invierno, con un promedio de 40% en este período, para San Pablo.

En Río Grande del Sur, en la mayoría de las estaciones, la precipitación en el período de invierno de tres y seis meses es casi igual que la precipitación del verano, en los mismos períodos, siendo un poco mayor en el invierno, aunque no significativamente.

En Paraná y Santa Catarina las precipitaciones de verano son más abundantes, en el promedio, que las de invierno pero no significativamente mayores. Esto muestra, una vez más, una transición entre los regímenes de precipitaciones del sur (Rio Grande del Sur) y el centro (San Pablo).

De todo lo anterior puede inferirse que la Convergencia Intertropical podría dominar la ocurrencia de máximos anuales en diciembre y enero. Esto se atenúa hacia al sur donde aparece como importante otros procesos que podrían ser la advección de aire húmedo de noroeste y quizás el calentamiento e enfriamiento de agua del mar.

5.6 Estudio de la Variabilidad Interanual

Se nota que en la correlación lineal en función de la distancia, centrada en años de ENOS hay una dispersión de los puntos, en cada una de las provincias. Tal hecho se explica debido a la necesidad de una mayor regionalización de este fenómeno en cada una de ellas.

El estudio de variabilidad interanual esta relacionada con la ocurrencia o no de ENSO. Este fenómeno podría hasta modificar ciertos aspectos de la estructura espacial de la precipitación, en efecto las figuras 24A y B muestra la función de estructura para los años de El Niño y La Niña, respectivamente.

La figura 24A muestra la correlación de los datos centrados en años de El Niño. Se nota una mayor dispersión de los puntos respecto a los estudios de función de correlación con la distancia hecho anteriormente, no obstante persiste el mismo tipo de función con la distancia. Se advierte que la presencia de El Niño tiende a generar un campo espacial más aleatorio.

Otro estudio importante fue observar en las estaciones elegidas el signo de la precipitación anual en relación al promedio climatológico del período de estudio. Para cada provincia se utilizó períodos distintos intentando estudiar una mayor cantidad de variabilidades interanuales. Se nota en el estudio de los años en que ocurre El Niño que disminuye la homogeneidad regional dentro de cada provincia aunque predomina lo aumento de la precipitación anual, anexo VII.

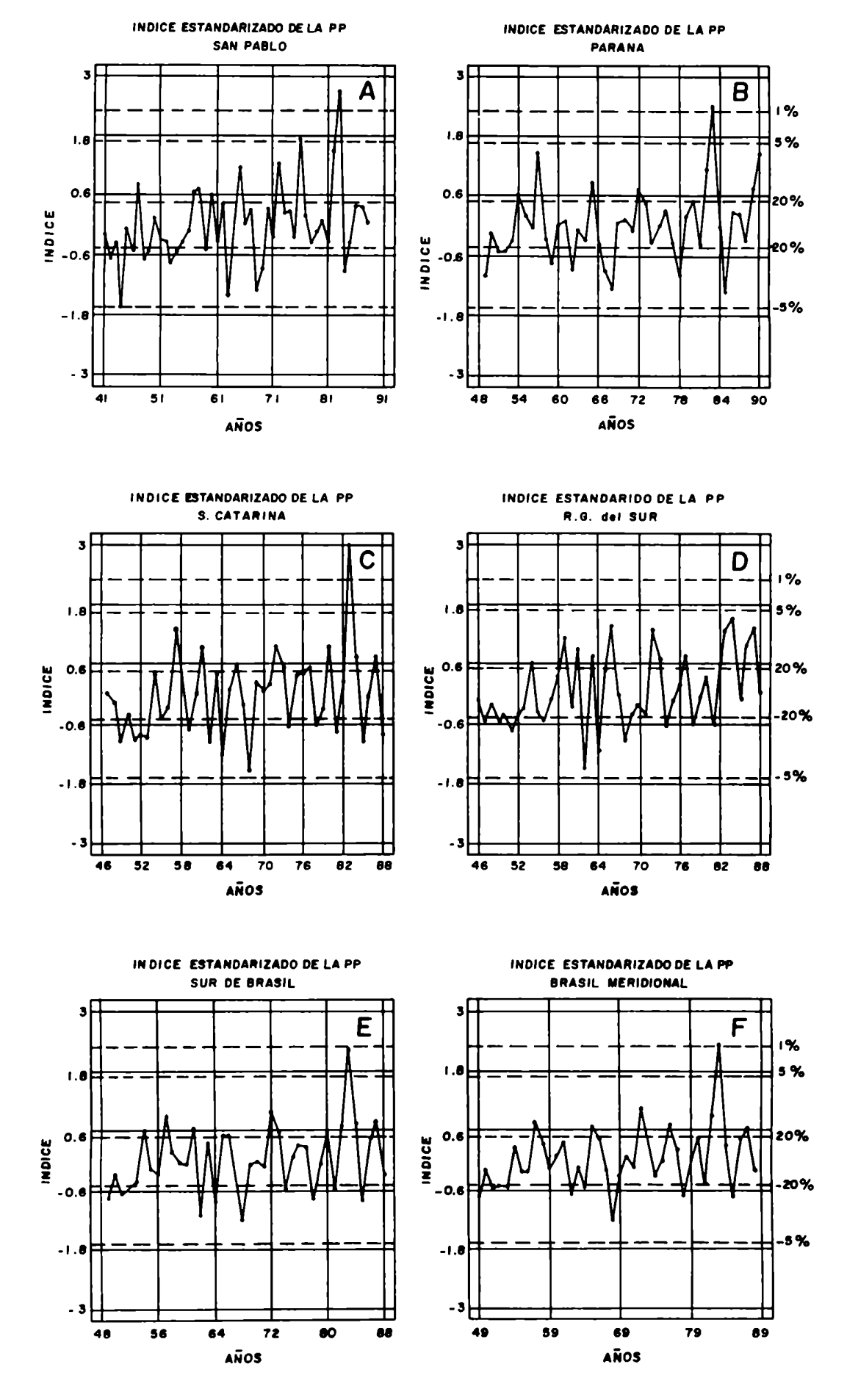


Figura 26 - Indices estandarizados de las precipitaciones de San Pablo, Parana, Santa Catarina, Rio Grande del Sur y Brasil Meridional.

De esta manera se buscó otra metodología de análisis, para filtrar los efectos regionales que eventualmente podría estar descaracterizando los signos de escala mas grande.

5.6.1. Estudio del Índice de Anomalías de la Precipitación

El objetivo es estudiar, de otra forma, la relación del fenómeno ENOS con las precipitaciones en las provincias del Brasil Meridional, del sur de Brasil (Paraná, S. Catarina y R. G. del Sur) y de cada una de las provincias separadamente, anexo VIII. Las figuras 26 (A, B, C, D, E, F) muestran los resultados obtenidos para cada situación.

El estudio de la provincia de San Pablo aparece, en los gráficos que los años con mayor cantidad de lluvia en el período de 1940 - 1984 estuvieron asociados a fuertes episodios cálidos del OS, especialmente 1982 y 1983. Los valores del índice de precipitación muestran que durante los episodios de las precipitaciones anuales fueron, en promedio en el área, sobre los del promedio climatológico.

Para San Pablo, todos los episodios cálidos de la OS, 1940 a 1984 estuvieron significativamente asociados con la precipitación en esta provincia, pero con distintos patrones. Unos estuvieron asociados con los años más lluviosos, 1972, 1976, 1982 y 1983; otros se manifestaron a través de la persistencia de las anomalías débiles con la signo positiva o negativa.

Durante episodios menos intensos de 1951, 1953 y 1969, también se observa que las anomalías en las precipitaciones anuales no fueron tan significativas. Para estos años los desvíos fueron de - 0.28 (1951), - 0.75 (1953) y - 0.84 (1969). Pero el episodio de 1963 coincidió con el año más seco del período analizado, con una media en el área de -1.72σ, que en término de significancia estadística fue comparable a los años 1965, 1972, 1976 y 1982, coincidiendo con lo visto por Sugahara (1991).

Así no se verifica una relación muy consistente entre ENOS y las precipitaciones anuales en la provincia de San Pablo. La figura 26A (para el período 40-88) muestra este hecho con límites de probabilidades de 1%, 5% y 20%, para la serie de anomalía estandarizadas.

Sugahara (1991), hizo la isolinea de la precipitación para cada año de los presentados en la serie estandarizada, años de El Niño, Oscilación Sur. Las cartas, para cada uno de estos años muestran un patrón espacial de anomalías: 1) consistentemente con el índice de precipitación todas las estaciones recibieron precipitación sobre sus valores normales, aunque muchas veces no hayan sido significativos; 2) el área de máxima anomalía cambió considerablemente para cada episodio. Por ejemplo, se puede notar que, en 1972 las lluvias se concentraron en la parte oeste de la provincia estudiada. En 1976, la concentración de la precipitación fue en la parte sudeste; 3) En el año 1983, fue el ejemplo más importante del impacto de la OS sobre la precipitación en esta provincia. Los valores de la precipitación excedieron a 2σ sobre prácticamente todas las estaciones y hasta 3σ en algunas de ellas.

Para la provincia de Paraná fue generada una serie de anomalía estandarizada del año de 1948 hasta 1992. Los límites de probabilidad fueron los mismos 1%, 5% y 20% para este y los demás estudios realizados con este índice.

Hay que destacar cinco años, dos asociados al fenómeno ENOS, con marcada señal de precipitación sobre lo normal. La figura 26B presenta el gráfico del índice para la provincia del Paraná, donde los años de 82/83 son los marcadamente significativos, siendo de un promedio muy superior al promedio climatológico de la región. El año 1957 muestra un desvío de 1.47; 1965 un desvío de 1.12; 1972 un desvío de 0.95; 1982 un desvío de 0.94 y 1983 un desvío de 2.30.

Otros episodios cálidos como 1951, 1953, 1963, 1969, 1976, 1986 y 1987 no muestran precipitaciones significativas como las anteriores, teniendo inclusive desvíos negativos: 1951 (-0.52), 1953 (-0.17), 1963 (-0.21) y 1969 (-0.32).

Las provincias de Santa Catarina y Río Grande del Sur, fueron estudiadas en períodos distintos: 1946 - 89, Santa Catarina y 1944 - 88, Río Grande del Sur. Hay una señal muy marcada en Santa Catarina (1983) y 1966, 1972 1983/84 y 1987, para el caso de R. G. del Sur, figuras 26 C y 26 D.

La figura 26C muestra el índice estandarizado de la precipitación de la provincia de Santa Catarina. Hay tres señales muy marcadas de la relación de precipitaciones con los episodios cálidos de la Oscilación Sur. Los años con los respectivos desvíos son: 1957 (1.16), 1983 (2.38) y 1987 (1.04).

Otros episodios cálidos como 1951 (-0.60); 1953 (-0.61); 1963 (0.16); 1965 (0.48); 1969 (-0.23); 1972 (0.66); 1976 (0.49); 1982 (0.62) y 1986 (0.24) no muestran precipitaciones significativas como los años anteriores, teniendo inclusive valores negativos.

La figura 26B muestra el gráfico del índice estandarizado de la precipitación de la provincia de Río Grande del Sur. Hay cuatro señales con precipitaciones marcadas dentro de los episodios cálidos de la Oscilación Sur. Los años con los respectivos desvíos fueron: 1972 (1.57); 1982 (0.95); 1983 (1.26); 1986 (0.82) y 1987 (0.89).

Se nota una incoherencia de las precipitaciones en cada provincia con respecto a la aparición del fenómeno ENOS, algunas veces ocurriendo señales importantes en períodos donde este fenómeno no estuvo presente. Como hay en bibliografía muchas afirmaciones de mayor precipitación asociada con la aparición del fenómeno en la región sur, se estudió toda la región (Paraná, Santa Catarina y R. G. del Sur) utilizando el procedimiento anterior, para los promedios areales.

Previo a ello, como se mencionó en el aspecto metodológico es necesario hacer el estudio de las RV's (relaciones de varianzas). Cada situación presentado en la tabla 8 a seguir se nota que los valores de las V_t (varianza temporal) son mayores que los valores de las V_t (varianza espacial)

Estos valores muestran una variabilidad temporal altamente significativa, lo que es importante para el estudio de las ondas de baja frecuencia (El Niño, por ejemplo).

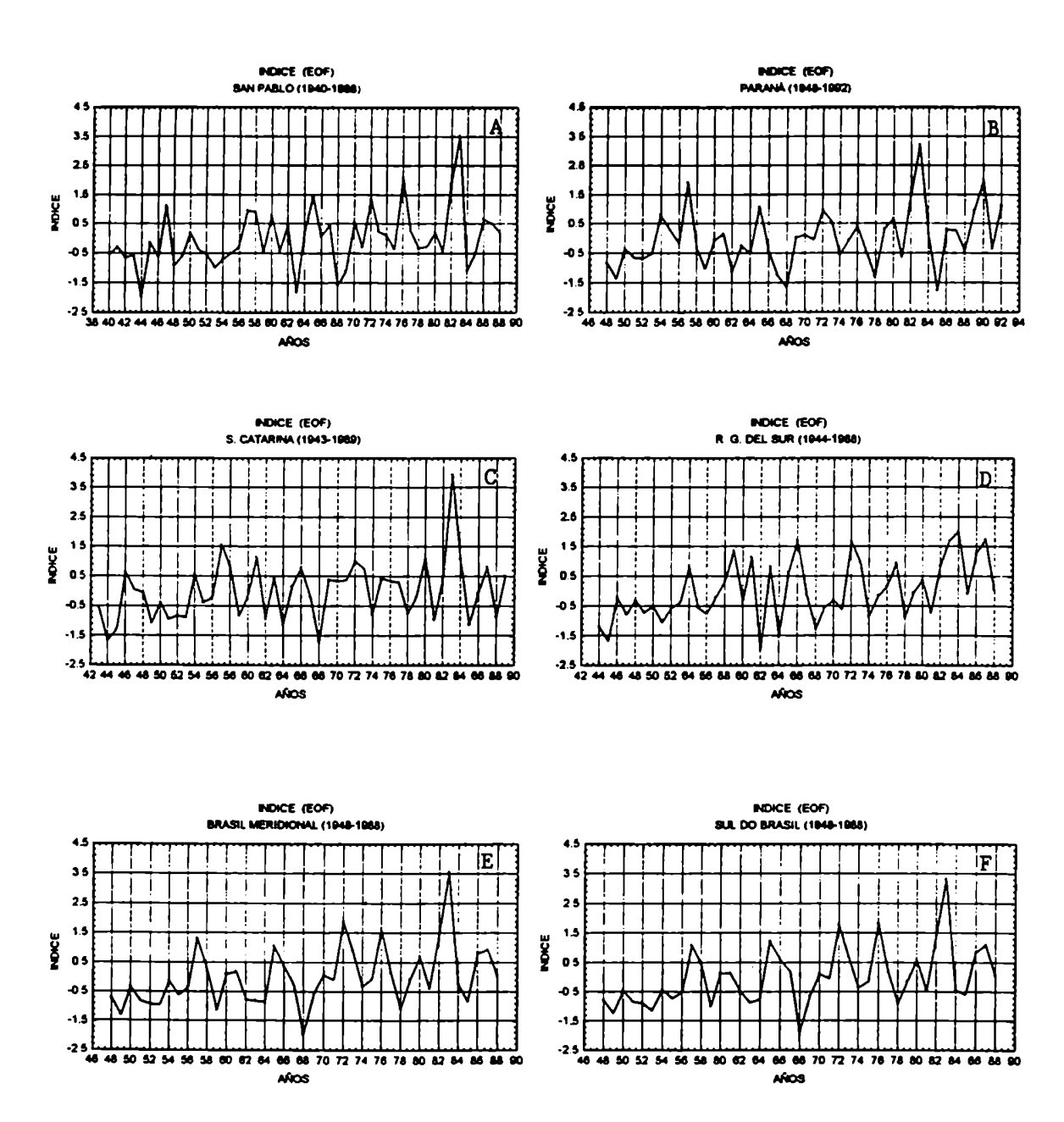


Figura 27 - Indices obtenidos a traves del EOF's (Factor Scores), para cada provincia y para el sur de Brasil y Brasil Meridional

| | V_{t} | V_s | R, | Período | Estaciones |
|-------------------|---------|-------|-------|---------|------------|
| SAN PABLO | 14.95 | 0.43 | 34.68 | 40-88 | 25 |
| PARANA | 13.17 | 0.51 | 26.08 | 48-92 | 25 |
| S. CATARINA | 12.23 | 0.36 | 34.37 | 46-89 | 18 |
| R.G. SUR | 13.59 | 0.49 | 27.91 | 44-88 | 25 |
| SUL | 29.19 | 0.59 | 49.56 | 48-88 | 68 |
| BRASIL MERIDIONAL | 35.90 | 0.63 | 56.98 | 48-88 | 93 |

Tabla 8 - La tabla presenta la variación temporal y espacial de las estaciones del Brasil Meridional

Con relación a las precipitaciones anuales durante períodos fríos de la Oscilación Sur, no hay evidencias significativas de anomalías importantes en estas precipitaciones, en el área de estudio. La tabla 9 muestra los desvíos para cada año y para cada estación, de la región estudiada.

| | 1943 | 1950 | 1955 | 1956 | 1964 | 1970 | 1971 | 1973 | 1975 | 1988 |
|----|-------|-------|-------|-------|-------|-------|-------|------|-------|-------|
| SP | -0.44 | 0.16 | -0.40 | -0.19 | 0.12 | 0.47 | -0.21 | 0.19 | -0.29 | 0.18 |
| Pr | - | -0.21 | 0.21 | 0.20 | -0.08 | 0.05 | -0.11 | 0.50 | -0.13 | -0.28 |
| SC | -0.56 | -0.42 | -0.22 | -0.29 | -1.21 | -0.31 | -0.10 | 0.32 | 0.12 | -0.50 |
| RS | - | -0.10 | -0.42 | -0.71 | -1.00 | 0.26 | 0.12 | 0.49 | -0.22 | 0.11 |

Tabla 9 - Desvíos de la precipitación estandarizada de las provincias del Sur del Brasil, para los episodios fríos de la OS.

Se calculó otro índice a través de las componentes ortogonales (EOF), para cada provincia, para el Sur de Brasil y para el Brasil Meridional. Se correlacionó los dos índices: el índice estandarizado y el índice obterido por el "factor score". Los valores de las correlaciones para cada provincia (índice estandarizado de S. Pablo y índice a través de la EOF) resultaron en valores por encima del 80%. Esto valida las inferencias hechas anteriormente con el índice estandarizado. La figura 27, presenta los gráficos obtenidos a través de las componente ortogonal para cada provincia y región. A la vez que certifica la eficacia en lo diagnostico de un método simple como este de los índices.

En la figura 28 están las series de los índices de precipitación obtenidos EOF, usando las estaciones dada por el cluster para cada provincia. Este estudio no cambió las inferencias obtenidas anteriormente para cada provincia a través del índice estadarizado. Esto implica que no hay singularidad subregionales en la precipitación en relación con la ocurrencia de ENSO.

En otro estudio se generó nuevos índices estandarizados tomando solamente las estaciones agrupadas según el método multivariado. Cada grupo generó un índice estandarizado: S. Pablo con dos grupos, Paraná con dos grupos, S. Catarina con dos grupos y R. G. del Sur con tres grupos. Considerando que esta clasificación (cluster) junta estaciones con alguna identidad, se calculó una vez más el índice buscado detectar signos importantes en áreas especificas. Esto no cambió las conclusiones ya que los signos o cambiaran significativamente para cada fenómeno estudiado, figura 28 (A, B, C, D, E, F, G, y H).

5.6.2. Índice de Precipitación Mensual Centrada en Años de El Niño

Para verificar si hubo alguna relación importante que no hubiese sido detectada a través del índice de precipitaciones anuales o algún patrón de comportamiento consistente con el ciclo típico de períodos cálidos, fueron hechas composiciones del índice de precipitaciones mensuales centradas en distintos conjuntos de años de El Niño, tabla 10, gráficos en la figura 29 (A hasta D).

| Composición | ENOS |
|-------------|---|
| (a) | 1951 - 1953 - 1957 - 1965 - 1969 - 1972 |
| (b) | 1957 - 1963 - 1965 - 1969 - 1972 - 1976 |
| (c) | 1940 - 1941 - 1951 - 1953 - 1957 - 1963 - 1965 - 1969 - 1972 - 1976 - 1982 - 1983 |
| (d) | 1948 - 1988 |

Tabla 10 - Casos de ENOS considerados en las composiciones del índice de precipitaciones mensuales

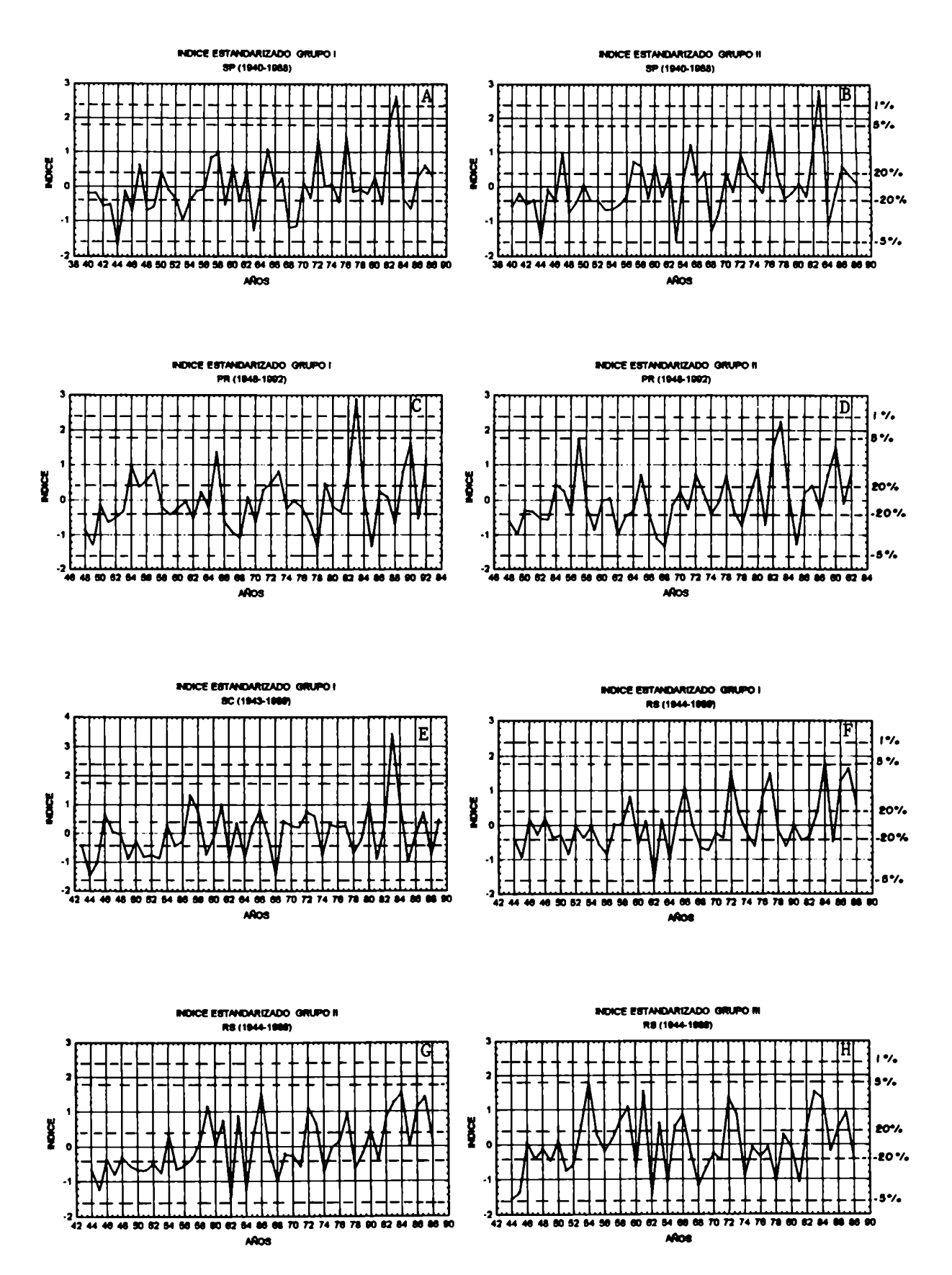


Figura 28 - Indices estandarizados (anual) de las precipitaciones de cada región clasificadas por el metodo de Análisis de Agrupamento (Cluster).

El estudio fue hecho para cada provincia separadamente. El estudio de las otras provincias (Paraná, Santa Catarina y Río Grande del Sur) fue de 1948 hasta 1988.

Los resultados son presentados en la figura 29, curvas (a) - (d). La curva (d) corresponde a la composición relativa a los años que no fueron de El Niño.

Las composiciones de TSM para cuatro áreas "claves" de ENOS (Niño-1, Niño-2, Niño-3, Niño-4) corresponde a la curva (a), figura 30. Los casos considerados en la composición (b) son los mismos analizados en la composición de Rasmusson y Carpenter (1982) y el caso (c) por Arkin (1982). La composición (d) incluye todos los casos en el período de 1948 hasta 1988, examinado en este trabajo.

La t de Studend (t_{5%}) para 39 grados de libertad es mostrados como referencia, la verdad es que t5% varía entre 1.67 y 1.70 aproximadamente, debido a la variación de los grados de libertad entre las composiciones.

En las tablas 11 (A, B, C, D, E, F), los signos positivos, presentaron anomalías mayor que σ y los signos negativos anomalías menor que -0.9σ. Esos límites corrresponden al nivel de probabilidad de 15% aproximadamente. Las columnas de la derecha son mostradas las anomalías relativas de las precipitaciones anuales. Se puede notar que incluso entre los años de El Niño típicos, el comportamiento de la precipitación mensual cambió significativamente.

En la figura 29 es evidente que las anomalías más importantes en las precipitaciones de cada una de las provincias ocurrieron de acuerdo con los estudios de Rasmusson y Carpenter (1982) típicamente en la fase de transición de ENOS o después del punto máximo de El Niño, cuando las anomalías positivas de TSM habían tomado cuenta de prácticamente todo el Pacífico Ecuatorial, desde la costa de Peru-Ecuador hasta alrededor de 160° E. Las composiciones de Rasmusson y Carpenter (1982) muestran también en esta fase, intensa anomalía de Oeste en los vientos alisios a Oeste de 140° W, sugiriendo debilitamiento de la circulación de Walker y desplazamiento para el sur de la Zona de Convergencia Intertropical (ZCIT) del Pacífico en relación a su posición climatológica.

| AÑOS ENOS | E | F | М | A | М | J | J | Α | S | 0 | N | D | ANOMALIA ANUAL |
|--------------|---|-----|---|-----|---|-----|---|---|-----|-----|-----|-----|-------------------|
| 1940 | | + | - | | | T - | 1 | | 1 | | + | | -0.45 |
| 1941 | ł | T - | 1 | | | | 1 | | + | 7 | + | - | -0.19 |
| 1951 | + | | | | 1 | | | | 1 - | | | T - | -0.28 |
| 1953 | | - | | | | | T | | | | | İ | -0.75 |
| 1957 | + | 1 | | | | | + | + | + | | T - | | 0.74 |
| 1963 | | Ι | - | T - | - | - | | | | | 1 | - | -1.41 |
| 1965 | + | + | | | | | | | | + | | | 1.14 |
| 1969 | - | T - | - | Ī | | | | | 1 | + | + | | -0.84 |
| 1972 | | + | | | | T - | + | + | | + | Ī | | 1.02 |
| 1976 | 1 | + | 1 | | + | Ī | + | + | + | Î | | | 1.60 |
| 1982 | | | + | | | + | | | | + | + | + | 1.45 |
| 1983 | + | 1 | + | + | + | + | | 1 | + | | 1 | | 2.70 |
| 1986 | } | | + | | | 1 - | | + | | 1 - | | + | 0.51 |
| 1987 | | | - | | + | | | | 1 | Ī | | | 0.38 |

Tabla 6 A - Señales de los valores del indice de precipitaciones mensuales con amplitudes mayores que σ y menores que -0.9σ durante los años centrados en los ENOS, para San Pablo

| AÑOS ENOS | E | F | М | A | M | J | J | A | S | 0 | N | D | ANOMALIA ANUAL |
|--------------|---|---|-----|-----|---|-----|---|-----|-----|---|---|---|-------------------|
| 1951 | + | + | | T - | | 7 | | | T - | + | | | -0.52 |
| 1953 | | | 1 | | | T - | | | | + | 1 | | -0.17 |
| 1957 | T | | | | | + | + | + | + | | | | 1.48 |
| 1963 | + | | + | - | | | | | | + | + | 1 | -0.21 |
| 1965 | Ţ | | - | + | T | | | | | | + | | 1.13 |
| 1969 | | | | + | 1 | | | | | | - | | -0.32 |
| 1972 | | + | | | 1 | | | + | + | | | | 0.95 |
| 1976 | + | | | | | Ì | | İ | | 1 | | | 0.35 |
| 1982 | - | + | | T - | | + | | | - | + | + | 1 | 0.94 |
| 1983 | | | | + | + | + | + | T - | + | | | | 2.31 |
| 1986 | | + | 1 | 1 | | 1 - | 1 | 1 | | | 1 | + | 0.31 |
| 1987 | | + | 1 - | | + | T | 1 | 1 | | | 1 | 1 | 0.11 |

Tabla 6 B - Señales de los valores del indice de precipitaciones mensuales con amplitudes mayores que σ y menores que -0.9σ durante los años centrados en los ENOS, para el Parana

| AÑOS ENOS | E | F | M | Α | М | J | J | A | S | 0 | N | D | ANOMALIA ANUAL |
|--------------|---|-----|-----|----------------|-----|-----|-----|---|---|---|---|---|-------------------|
| 1951 | | | 1 - | | | | i i | - | | + | | Ţ | -0.60 |
| 1953 | 1 | | 1 | | | - | | | | + | - | | -0.61 |
| 1957 | | - | | + | 1 | | + | + | + | | | | 1.16 |
| 1963 | + | 1 | + | T - | | T - | | | + | + | + | | 0.16 |
| 1965 | | - | | + | 1 | Î | | | 1 | | | + | 0.48 |
| 1969 | | 1 | | + | 1 | + | | | | | | - | -0.23 |
| 1972 | | + | + | | 1 - | + | | + | | | | | 0.66 |
| 1976 | | 1 - | + | - | + | 1 | | | | | | | 0.49 |
| 1982 | - | + | | - | | + | | | - | + | + | | 0.62 |
| 1983 | + | 1 | 1 | + | + | + | + | | | T | | + | 2.38 |
| 1986 | 1 | | T - | | | - | | | | | + | + | 0.24 |
| 1987 | + | + | 1 - | | + | | | | 1 | + | - | | 1.04 |

Tabla 6 C - Señales de los valores del indice de precipitaciones mensuales con amplitudes mayores que σ y menores que -0.9σ durante los años centrados en los ENOS, para Santa Catarina

| AÑOS ENOS | E | F | М | A | M | J | J | Α | S | 0 | N | D | ANOMALIA ANUAL |
|--------------|-----|---|-----|-----|---|-----|---|-----|---|---|---|---|-------------------|
| 1951 | | | Ī - | 1 | | | - | T - | | | | I | -0.64 |
| 1953 | | - | 1 | | | | | | + | + | | - | -0.53 |
| 1957 | į . | - | - | | | T . | | | | | | 1 | -0.09 |
| 1963 | + | | | | 1 | T - | | | T | + | + | | 0.16 |
| 1965 | - | | | | | 1 | | + | + | 7 | Ī | + | 0.16 |
| 1969 | | + | | | | ł | | | | - | | | -0.02 |
| 1972 | | | | T | | + | | + | | | | - | 1.57 |
| 1976 | + | | + | | | | | ī | 1 | Ī | | 1 | 0.44 |
| 1982 | 1 - | + | T - | 1 - | | + | ĺ | 1 | | + | + | 1 | 0.26 |
| 1983 | | + | T - | | + | + | | | | | 1 | i | 0.95 |
| 1986 | | | + | + | + | | | 1 | | | + | | 0.82 |
| 1987 | | T | 1 | + | + | | + | | 1 | | | | 0.88 |

Tabla 6 D - Señales de los valores del indice de precipitaciones mensuales con amplitudes mayores que σ y menores que -0.9 σ durante los años centrados en los ENOS, para el R. G. del Sur

| AÑOS ENOS | E | F | M | Α | M | J | J | Α | S | 0 | N | D | ANOMALIA ANUAL |
|--------------|-----|---|---|---|---|---|--------------|---|------------|---|---|-----|-------------------|
| 1951 | | + | | | | |] - | - | Ţ - | + | | T - | -0.58 |
| 1953 | | T | Ī | | | - | T | | | + | | 1 | -0.41 |
| 1957 | | - | T | | | | + | + | + | | | T | 0.83 |
| 1963 | + | | + | | | - | | | | + | + | | 0.04 |
| 1965 | | | | | l | | \mathbf{I} | + | | ł | | + | 0.63 |
| 1969 | | | Ī | | T | | | | | - | | - | -0.19 |
| 1972 | + | + | | | | | | + | + | | | | 1.12 |
| 1976 | | | + | | + | | | | 1 | | | | 0.42 |
| 1982 | T - | + | Ì | - | | + | | | - | + | + | | 0.63 |
| 1983 | + | | | + | + | + | + | 1 | | Ī | T | Ī | 1.87 |
| 1986 | T | | | + | | - | | | | 1 | + | | 0.48 |
| 1987 | | + | - | + | + | | | | 1 | | 1 | | 0.64 |

Tabla 6 E - Señales de los valores del indice de precipitaciones mensuales con amplitudes mayores que o y menores que -0.9o durante los años centrados en los ENOS, para el Sur de Brasil

| AÑOS ENOS | E | F | М | A | М | J | J | A | S | 0 | N | D | ANOMALIA ANUAL |
|--------------|---|---|----------|---|---|-----|---|---|----------|---|---|-----|-------------------|
| 1951 | + | + | I | | | | - | | T - | + | | T - | -0.42 |
| 1953 | | - | | i | | | | | | + | | | -0.48 |
| 1957 | + | | | | T | T _ | + | + | + | | j | | 0.77 |
| 1963 | + | | | - | T | T - | | 1 | | + | + | - | -0.39 |
| 1965 | | | I | | Ī | | | | | + | | + | 0.75 |
| 1969 | | | | | | | | | | | + | - | -0.35 |
| 1972 | + | + | | | | | + | + | + | + | | | 0.98 |
| 1976 | | | + | | + | | + | | | | | | 0.83 |
| 1982 | | + | | - | | + | | | - | + | + | | 0.80 |
| 1983 | + | Γ | + | + | + | + | + | | + | 1 | | | 1.90 |
| 1986 | | + | 1 | | | - | | + | | - | + | + | 0.48 |
| 1987 | | | — | + | + | | | | | | | | 0.49 |

Tabla 6 F - Señales de los valores del indice de precipitaciones mensuales con amplitudes mayores que σ y menores que -0.9 σ durante los años centrados en los ENOS, para el Brasil Meridional

| ANOS AENOS | ŢΕ | F | M | Α | М | J | J | A | S | 0 | N | D | ANOMALIA ANUAL |
|---------------|----------|---|-----|-----|-----|-----|-----|---|------------|---|---|---|-------------------|
| 1943 | i | 1 | | T - | 7 - | | 1 - | | 1 | + | | - | -0.44 |
| 1950 | | + | | 1 - | T - | İ | | - | T - | + | | | 0.17 |
| 1955 | | - | | | 1 | Ì | 1 | | - | | | - | -0.40 |
| 1956 | <u> </u> | | 7 - | | + | + | + | 7 | | | - | | -0.19 |
| 1964 | - | + | - | - | 1 | 1 | | ! | | + | 1 | + | 0.12 |
| 1970 | + | + | - | [| Ī | ! | T | + | | | | 1 | 0.47 |
| 1971 | j - | | | 1 | T | j + | | 1 | | | | 1 | -0.21 |
| 1973 | | | | + | | | | | | | | + | 0.19 |
| 1975 | | | 1 - | | 1 | - | T | | - | | + | 1 | -0.29 |
| 1988 | | i | | + | + | | - | - | - | + | | Ţ | 0.18 |

Tabla 7 A - Señales de los valores del indice de precipitaciones mensuales con amplitudes mayores que σ y menores que -0.9σ durante los años centrados en los AENOS, para San Pablo

| AÑOS AENOS | E | F | M | Α | М | J | J | Α | S | 0 | N | D | ANOMALIA ANUAL |
|---------------|---|---|-----|----|---|---|---|-----|---|-----|---|---|-------------------|
| 1950 | | | + | | | - | T | - | | | | | -0.21 |
| 1955 | | - | + | | | + | + | | - | - | | 1 | 0.20 |
| 1956 | 1 | - | | + | i | | | | | | - | | 0.20 |
| 1964 | - | + | | Ţ | - | 7 | 1 | | | - | | | -0.08 |
| 1970 | | Ī | | T- | Ī | + | T | | | T | - | + | 0.05 |
| 1971 | | | + | | 1 | 1 | 1 | | | 1 - | - | Ţ | -0.11 |
| 1973 | ļ | | 1 | T | 1 | | T | + | | } | | 1 | 0.50 |
| 1975 | Ī | Ī | 1 | - | Ī | 7 | Ì | | | | + | - | -0.13 |
| 1988 | | | T - | + | + | İ | - | 1 - | 1 | | - | Ī | -0.28 |
| 1989 | + | + | 1 | ī | | | + | T | + | - | 1 | | 0.74 |

Tabla 7 B - Señales de los valores del indice de precipitaciones mensuales con amplitudes mayores que σ y menores que -0.9σ durante los años centrados en los AENOS, para el Parana

| AÑOS AENOS | E | F | M | Α | M | J | J | Α | S | 0 | N | D | ANOMALIA ANUAL |
|---------------|-----|-----|-----|---|---|----------------|-----|-----|---|-----|---|---|-------------------|
| 1943 | | T - | - | - | + | | | T | T | - | - | | -0.56 |
| 1950 | | - | + | | | Ī - | - | | | | - | | -0.42 |
| 1955 | - | | | | | 1 | + | | | - | | | -0.22 |
| 1956 | + | | | | | Ī | I | T | | | T | | -0.29 |
| 1964 | - | - | T - | | | | | | | | - | T | -1.21 |
| 1970 | | | | - | | + | | 1 | - | 1 | - | + | -0.30 |
| 1971 | | + | + | + | | + | | | | - | - | - | -0.10 |
| 1973 | + | | 1 | | | + | | + | 1 | - | | | 0.32 |
| 1975 | | - | | - | | j - | Ì | + | + | + | + | + | 0.12 |
| 1988 | ļ — | - | 1 - | + | + | 1 | 1 - | 1 - | | | - | - | -0.50 |
| 1989 | + | | | + | + | i - | | 1 | + | 1 - | | | 0.40 |

Tabla 7 C - Señales de los valores del indice de precipitaciones mensuales con amplitudes mayores que σ y menores que -0.9σ durante los años centrados en los AENOS, para Santa Catarina

| ANOS AENOS | E | F | M | A | M | J | J | A | s | 0 | N | D | ANOMALIA |
|---------------|-----|-----|-----|-----|-----|---|--|--|---|----------|----------|----------|----------|
| 1950 | 1 - | | | 1 | 1 | 1 | † · · · · | | 1 | † | _ | † | -0.10 |
| 1955 | | | 1 | + | + | 1 | 1 | 1 - | | - | - | 1 | -0.42 |
| 1956 | + | 1 | 1 | + | | - | 1 | 1 | | | - | 1 | -0.71 |
| 1964 | - | | | | 1 - | - | | | 1 | - |] - | 1 | -1.00 |
| 1970 | | 1 | | 1 - | + | + | | | - | 1 | | + | 0.26 |
| 1971 | | + | | | | | | 1 | | - | - | † | 0.12 |
| 1973 | + | + | 7 - | | | | + | | | 1 | 1 - | + | 0.49 |
| 1975 | | | | 1 - | 1 | | - | + | 1 | 7- | † | 1 | -0.22 |
| 1988 | + | 1 - | 1 - | + | 1 - | 1 | - | 1 - | + | 1 | 1 | 1 | 0.10 |

Tabla 7 D - Señales de los valores del Indice de precipitaciones mensuales con amplitudes mayores que σ y menores que -0.9σ durante los años centrados en los AENOS, para R. G. del Sur

| AÑOS AENOS | E | F | M | A | M | J | J | A | S | 0 | N | D | ANOMALIA ANUAL |
|---------------|---|-----|-----|---|----------|---|---|-----|------------|------------------|-----|---|-------------------|
| 1950 | | | + | | | | - | T | | T | | T | -0.22 |
| 1955 | | | | + | | + | + | | - | 1 - | 1 - | | -0.12 |
| 1956 | + | - | | + | | | | T | | | T - | - | -0.26 |
| 1964 | - | I | I | T | T - | | | T | | - | - | I | -0.72 |
| 1970 | | | I | T | + | + | | | Ι | Ι | - | + | 0.03 |
| 1971 | | + | + | | | + | | | T - | T - | - | I | -0.01 |
| 1973 | + | 1 | - | 1 | Γ | | | + | | \mathbf{L}^{-} | I - | | 0.46 |
| 1975 | | Ī | | - | Τ | | | Ι | + | T | + | 1 | -0.11 |
| 1988 | |] - | T - | + | + | | - | T - | + | Ī | T | | -0.20 |

Tabla 7 E - Señales de los valores del indice de precipitaciones mensuales con amplitudes mayores que σ y menores que -0.9 σ durante los años centrados en los AENOS, para el Sur de Brasil

| ANOS AENOS | E | F | M | Α | M | J | J | A | S | 0 | N | D | ANOMALIA ANUAL |
|---------------|---|-----|-----|---|---|---|----------|-----|-----|-----|-----|--------------|-------------------|
| 1950 | | Ī | | | | | — | Τ- | - | | Ι. | \mathbf{I} | -0.12 |
| 1955 | | T - | 1 | | I | 1 | | I | T - | T - | | T | -0.19 |
| 1956 | | T - | 1 | + | + | | 1 | | | |] - | T - | -0.16 |
| 1964 | - | + | T - | | - | 1 | | | | Ī | | | -0.40 |
| 1970 | 1 | | | - | | + | | + | | | - | + | -0.08 |
| 1971 | | 1 | + | | | + | | | | - | - | | -0.06 |
| 1973 | + | | - | | | + | + | | | | | + | 0.36 |
| 1975 | | 1 | - | - | | - | | I | | | + | | -0.18 |
| 1988 | | T | - | + | + | | T - |] - | | + | T | } | -0.04 |

Tabla 7 F - Señales de los valores del indice de precipitaciones mensuales con amplitudes mayores que o y menores que -0.9o durante los años centrados en los AENOS, para el Brasil Meridional

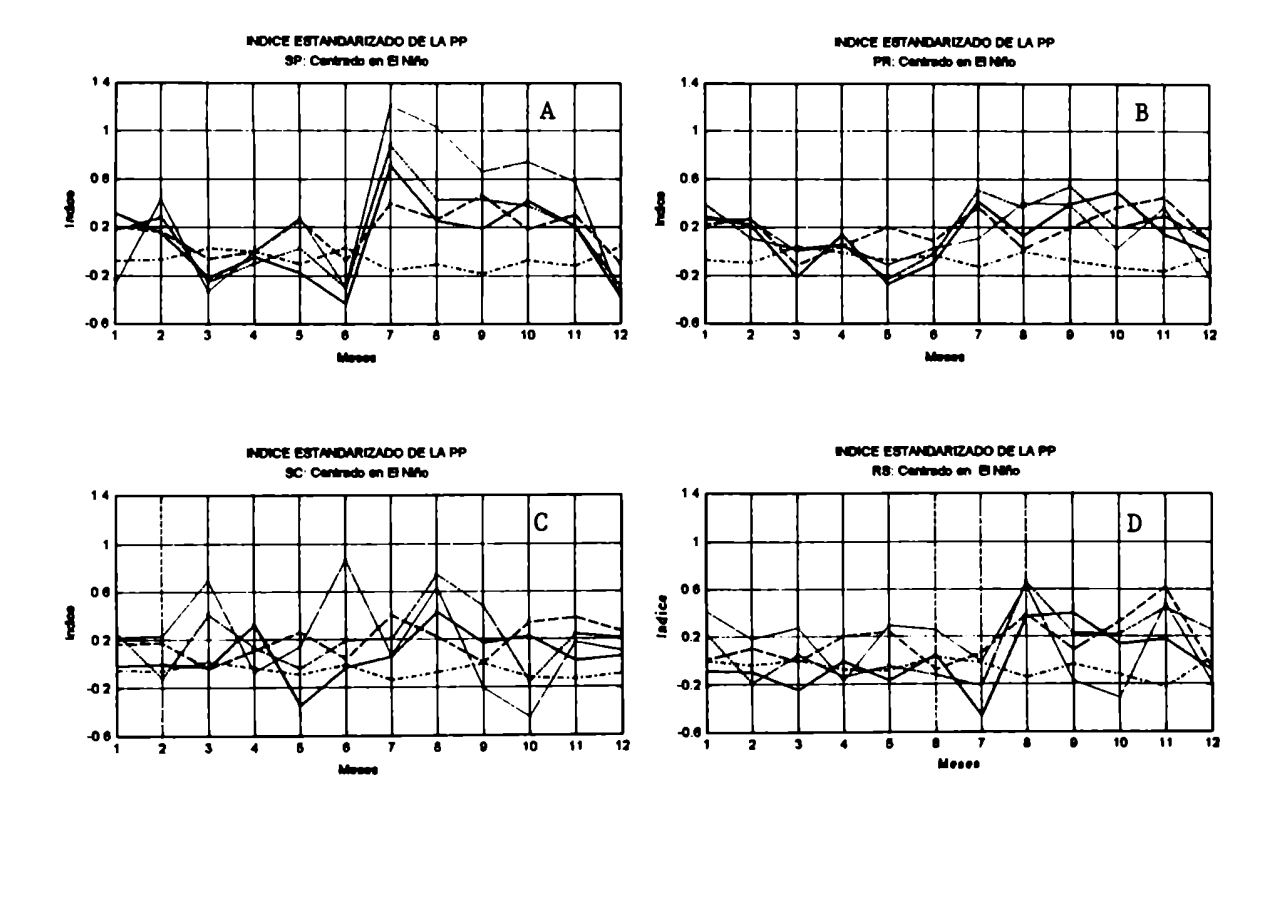
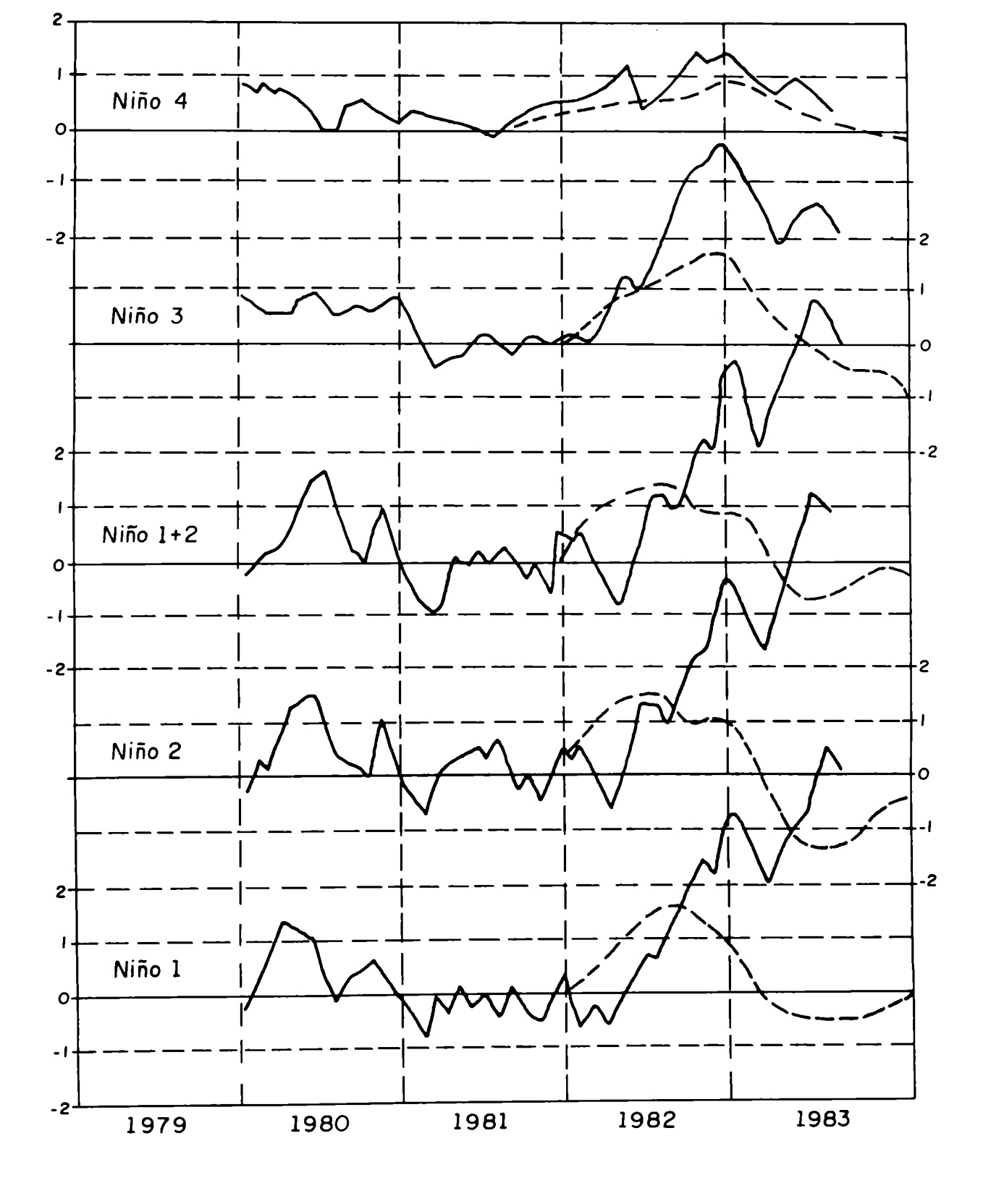


Figura 29 - Indices estandarizados de las precipitaciones centrados em distintos años de El Niño.



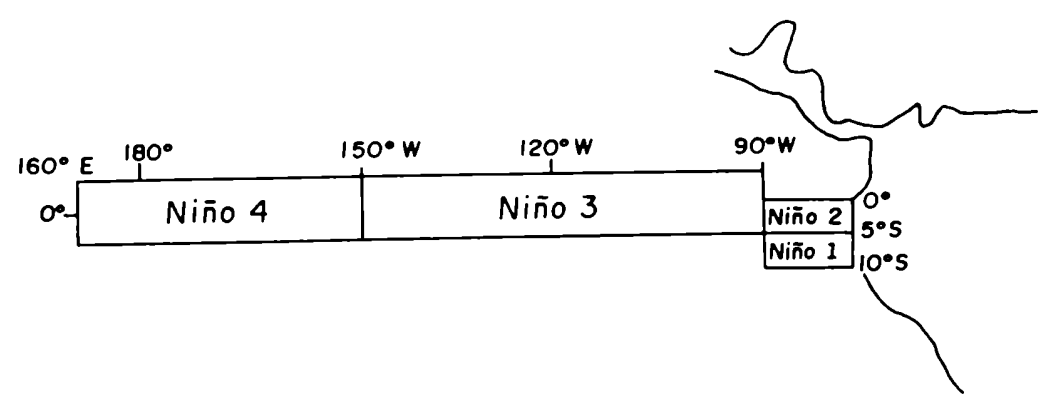


Figura 30 - Composiciones de TSM para cuatro areas "claves" de ENOS (Niño 1, Niño 2, Niño 3 y Niño 4).

Con base en el análisis de Arkin (1983), se puede inferir por ejemplo, que durante este período ocurre también una intensificación de la corriente de chorro sobre el Pacífico Sur, asociado con aumento de las actividades convectivas en el Pacífico Ecuatorial. Es posible que esta corriente en chorro haya favorecido más inestabilidades atmosféricas con frentes frías en la región sur del Brasil que en los años de anti El Niño. Estos frentes, por su vez, en sus entradas para las latitudes más bajas pueden haber organizado actividades convectivas sobre esta región como aquellas que fueron observadas en los períodos de 1982/1983, Kousky et. al. (1984). Hay también evidencias de que los sistemas convectivos de mesoescala tales como MCC's tienden a formarse en la parte ecuatorial de la corriente en chorro, Velasco y Fritch, (1987) y Silvia Dias, (1987).

La tabla del anexo VII muestran que tales ideas son válidas en términos medios, por lo menos para la región de este estudio, debido a que la precipitación no ha sido regular en todos los años de El Niño. Esto puede ser visto más claramente en las tablas 11 (A, B, D, E, F) donde el signo (+) representa anomalías mayores que σ y (-) anomalías menores que -0.9 σ . Eses límites corresponden al nivel de probabilidad de 15% aproximadamente (la probabilidad de un desvío está fuera del intervalo de 30%).

En la columna a la derecha de la tabla 11 son mostradas las anomalías relativas a las precipitaciones anuales. Se puede notar que incluso en los años de El Niño típicos el comportamiento de la precipitación mensual varió considerablemente.

5.6.3. Composición en Relación a Períodos Fríos

La composición centrada en los 9 años de anti-El Niño, muestra un patrón menos consistente comparado con los patrones relativos a los ENOS's para todas las regiones de este estudio. Los valores de las anomalías anuales para cada región presentan valores positivos y negativos independiente de la región.

6) CONCLUSIONES

La precipitación en el Sur de Brasil y Brasil Meridional presentan una característica muy marcada de máximos en verano y mínimos en invierno en San Pablo, en la costa de Paraná y Santa Catarina. La parte continental de Paraná, Santa Catarina y Río Grande del Sur tiene una estructura más aleatoria. El Nordeste de Paraná también presenta una estructura semejante a San Pablo.

Esta región por lo tanto muestra a través de onda anual, una transición de la precipitación de tal manera que siendo muy nítida al norte de la región desaparece al sur de la misma.

La variabilidad estudiada luego del filtro eficazmente obtenido nos muestra que las series estan dominadas esencialmente por procesos aleatorios y que toda la persistencia esta dada por onda anual cuando ella existe.

Los porcentajes de precipitación de los meses en los años muestrarian una clara división en la región de la influencia de la Convergencia Intertropical y los procesos de advección del aire húmedo de norte.

En San Pablo Ilueve más en diciembre, enero y febrero en la parte continental y hay un desplazamiento en la costa de este período para enero, febrero y marzo. En la provincia de Paraná la Iluvia tiene una estructura de mayor precipitación, en la costa, en los meses de enero, febrero y marzo. Pero en la parte continental del centro para Oeste la concentración de la precipitación es en noviembre, diciembre y enero. Del centro de la provincia hacia la costa este período se desplaza a los meses de diciembre, enero y febrero. En Santa Catarina, en los meses de enero, febrero y marzo se da una mayor precipitación en la costa. En la parte continental esta marcada una mayor precipitación en agosto, septiembre y octubre. En Río Grande del Sur la tipificación de la precipitación, para el período de tres meses más lluviosos es muy aleatoria. Por ejemplo, próximo de la costa los tres meses consecutivos más Iluviosos

son julio, agosto y septiembre; en la región de S. V. Palmar, en el extremo sur los tres meses consecutivos son marzo, abril y mayo y al centro de esta provincia los tres meses más lluviosos son abril, mayo y junio.

Es importante observar, que en general, el mes de enero es muy marcado en la precipitación de las provincias de San Pablo, Paraná y la costa de Santa Catarina. Pero en la parte continental de Santa Catarina y en la provincia del Rio Grande del Sur no hay un mes más marcado.

La función de correlación lineal con la distancia muestra una mayor coherencia de la precipitación en el período de invierno respecto al verano, en cada una de las provincias. Esto tiene una directa relación con los procesos dominantes de latitud medias y subtropicales respectivamente.

El análisis multivariado posibilitó a generación de grupos dentro de cada provincia, sintetizando las informaciones y generando grupos homogéneos, dentro del área de estudio.

En la escala temporal de la oscilación interanual, la OS es importante en la precipitación del Brasil Meridional, especialmente durante los años de El Niño (ENSO). De doce episodios calientes de la Oscilación Sur que ocurrieron durante el período analizado, once estuvieron asociados con la precipitación de San Pablo. Con diferentes patrones, algunos estuvieran asociados con años más lluviosos. Los períodos cálidos que estuvieron asociados con las anomalías positivas de la precipitación mensual fueron más marcados en el período de julio a noviembre y más en el norte que en el sur de la región.

Los episodios fríos, fase anti-El Niño de la OS fueron más débiles y regulares en términos del signo de anomalías de la precipitación mensual.

En las demás provincias hubo, en la mayoría de los casos cálidos o fríos, anomalías marcantes principalmente en los El Niños. Se puede observar que para

distintas provincias hubo distintos episodios marcadamente significativos, dentro del

período estudiado.

El análisis de varianza hecha para los años, del período 1948-1988,

muestra el año de 1983 como distinto de los demás para la provincia de San Pablo,

Paraná y Santa Catarina. En la provincia del Río Grande del Sur este año es también

muy importante pero mezclado con otros años.

El análisis de varianza también determinó que la provincia del Río Grande

del Sur tiene una característica muy distinta de las otras. Al se hacer el estudio de

estaciones - años, se observa la necesidad de se estudiar cada estación - año para

determinar la variabilidad de esta provincia. En las demás esto no es necesario.

El índice estandarizado de la precipitación es una metodología eficaz y

simple para el estudio de variabilidad interanual reemplazando a otras más sofisticadas

pero que dan la misma conclusión.

El análisis subregional dada por los clusters y la comparación con el

análisis provincia o regional muestra que no hay singularidad de la escala más pequeña

a la mayor que altere las conclusiones obtenidas con la mayor. En otras palabras, esta

región desde este punto de vista tiene una homogeneidad apreciable.

Jonas T. Nery

Dr. Walter M. Vargas

BIBLIOGRAFIA

- ANDERSON, T. W.; 1958: An Introduction to Multivariate Statistical Analysis. New York, John Wiley. p. 312.
- ACEITUNO, P. 1988. On the functioning of the Southern Oscillation in the South American sector. Monthly Weather Review, 116, 505 - 24.
- ALESSANDRO, A. GARIN, A. Y QUINTEROS Y. 1992. Aplicación de modelos de simulación para generar datos faltantes. Congreso Latinoamericano de Meteorología, Salamanca, España.
- ARKIN, P. A.; 1982: The Relationship Between Interannual Variability in the 200 mb Tropical Wind Field and the Southern Oscillation. *Monthly Weather Review*, 110, 1393-1404.
- AZEVEDO, C.D., 1985. Chuvas no Brasil. Regime, variabilidade e probabilidades de alturas mensais e anuais. Revista Meteorológica, 61-77.
- BASSAB, O. W., MIAZAKI, S. E. y ANDRADE, F. D. 1990. Introdução â análise de agrupamentos. IX Simpósio Brasileiro de Probabilidade e Estatística. IME, Universidade de São Paulo. 105pp.
- BJERKNES, J.; 1966: A Possible Response of the Atmospheric Hadley Circulation to Equatorial Anomalies of Ocean Temperature. Tellus, 18, 820-829.
- BJERKNES, J.; 1969: Atmospheric Teleconnections from the Equatorial Pacific. *Monthy Weather Review*, 97, 163-172.
- BLACKMAN,R. B. and TUKEY, J. W.; 1958: The Measurement of Power Spectra, New York, Dover Publications.
- BOX, C. E. P.; 1953: Non-Nomality and Tests on Variances. Biometrika, 40, 318-335.
- BROOKS, C.E.P. y CARRUTHERS, N. 1953. Handbook of Statistical Methods in Meteorology, London.

- BRUNET-MORET, Y. 1971. Etudes de l'homogenéite de Séries Chronologiques Annuelles par la Méthode des Doubles Masses Cahiers hydrologiques ORSTOM, Vol XVI, N° 3, p. 147.
- BRUNET-MORET, Y. 1979. Homogéneisation des Precipitations. Cashiers Hydrologiques ORSTROM. Vol III, Nº 4, 3-31.
- BURGHARDT, S. S., DEVOTO, S. I. N., FRAGA, B. S., MONTES, A. E. Y ORTEGO, N. M. 1985. Distribución Geografica de la Precipitación en la America del Sur y su Marcha Anual. Revista Meteorologica, 205-213.
- CALINSKI, R. B. and HARABASZ, J.; 1974: A Dendrite Method for Cluster Analysis, Communications in Statistics, 3, 1-27.
- CARAMORI, H. P. E FARIA, T. F., 1987: Frequência de Periodos de 10 dias Consecutivos con Deficiência Hídrica (veranicos) para Londrina e Ponta Grossa. IAPAR, Bol. Tec. Nº 20.
- CASARIN, D. P. 1982: Um Estudo Observacional Sobre Sistemas de Bloqueio no Hemisfério Sul. Dissertação de Mestrado. INPE-2638-TDL/114. São José dos Campos.
- CORMACK, R. M., 1971: A review of Classifications. JRSS, A, 134, 321 327.
- DEVOTO G., GARCÍA BEN, M. y MOYANO M. C.; 1980: Estimación Estadísitca de Información Hidrológica Faltante, Informe Técnico nº 12 INCYTH.
- FIGUEROA, N. S. e NOBRE, A. C., 1990: Precipitation Distribution Over Central and Western Tropical South America. Climanalise, Vol. 5, No 6.
- FRIEDMAN, H. P. & RUBIN, J.; 1967: On Some Invariant Criteria for Grouping Data.

 Journal of the American Statistical Association. 62, 1159-1178.
- GAMA, M. P.; 1980: Bases da Análise de Grupamentos (Cluster Analyisis). Dissertação de Mestrado. Departamento de Estatística, Brasilia, UNB.

- GAUCH, H. G.; 1982: Multivariate Analysis in Community Ecology. Cambridge University Press. 250pp.
- GOMES, A. M., MASSAMBANI, O.; 1984: Aspectos Meteorológicos Associados a Eventos em S. Paulo Estudos de Casos. III Congresso Brasileiro de Meteorologia. Belo Horizonte, 3-7/12/1984, 216 220.
- GRIMMER, M.; 1963: The Space-Filtering of Monthly Surface Temperature Data in terms of Pattern, Using Empirical Orthogonal Functions. *Quart. J. Roy. Meteor. Soc.*, 39, 395-408.
- HAMILTON, M. G. and TARIFA, J. R.; 1978: Synoptic Aspects of a Polar Outbreak Leading to Frost in Tropical Brazil. July 1972. Mon. Wea. Rew., 106, 1545-1556.
- HERAS, R., Hidrologia y Recursos Hidraulicos. Tomo I. Dirección General de Obras Hidraulicas. Centro de Estudios Hidrograficos. Madri, 1976.
- HOFFMANN, J. A. J., 1975. Atlas Climático de America del Sur. Primera Parte. OMM, Ginebra.
- HOFFMANN, J. A. J., Alesandro, A. P., López Galinde, B. S. y Rojas, R. S.,1979. Homogeneidad de los Datos de la Frecuencia de Precipitacion y el Análisis de sus Campos Correspondientes al Atlas Climático de America del Sur. METEOROLOGICA, Vol. 8/9, Argentina.
- HOREL, J. D.; WALLACE, J. M.; 1981: Planetary-Scale Atmospheric Penomena Associated with the Southern Oscillation. *Monthly Weaher Review*, 109, 813-829.
- HOSKINS, B. J.; KAROLY, D.; 1981: The Steady Linear Response of a Spherical Atmosphere to Thermal and Orographic Forcing. *Jour. Atm. Sci.*, 38, 1179-1196.
- ICHYE, T.; PETERSEN, J. R.; 1963: The Anomalous Rainfall of the 1957-58 Winter in the Equatorial Central Pacific Arid Area. *Journal Meteorological Society Japan*, 41, 172-182.
- JENKINS, G. M., WATTS, D. G, 1968. Spectral Analysis and its Applications. San Francisco, USA, Holden-Day, p. 552.

- JONES, R. H., 1964. Spectral Analysis and Linear Predction of Meteorological Times Series. Journal of Applied Meteorological, Vol. 3.
- JULIAN, P. R.; CHERVIN, R. M.; 1978: A study of the Southern Oscillation and Walker Circulation phenomenon. *Monthly Weather Review*, 106, 1433-1451.
- KASAHARA, A.; SILVA DIAS, P. L.; 1986: Response of Planetary Waves to Stationary Tropical Heating in a Global Atmosphere with Meridional and Vertical Shear. *Journal of the Atmospheric Sciences*, 43, 1983-1911.
- KATZ, R. W.; 1978: Estimating the Order of a Markov Chain Another Look at the Tel Aviv Rainfall. Proceeding of the VI Conference on Probability and Statistics in Atmospheric Sciences. Amer. Meteorol. Soc..
- KATZ, R. W.; 1982: Statistical Evaluation of Climatic Experiments with General Circulation Models (GCM): Parametric Time Series Modeling Approach, Jour. of Atm. Sciencs, Vol 39, n⁰ 7.
- KATZ, R. W.; GLANTZ, M. H.; 1986: Anatomy of a Rainfall Index. *Monthly Weather Review, 114, 764-771.*
- KIDSON, J. W.; 1975: Tropical Eigenvector Analysis and The Southern Oscillation. *Monthly Weather Review*, 103., 187-196.
- KOUSKY, V. E. 1985. Atmospheric Circulation Changes Associated with Rainfall Anomalies over Tropical Brazil. Mon. Wea. Rev., 113:1951-1957.
- KOUSKY, V. E. and ROPELEWSKI F. C. 1989. Extremes in the Southern oscillation and their relationship to precipitation anomalies with emphasis on the South American Region. Revista Brasileira de Meteorologia, 351-363.
- KOUSKY, V. E. E CASARIN, P. D. 1986. Anomalias de precipitação no sul do Brasil e variação na circulação atmosférica. Revista Brasileira de Meteorologia. 83-90.
- KOUSKY, V. E. e CAVALCANTI, I. F. A. 1984. Eventos Oscilação do Sul-El Niño: características, evolução e anomalias de precipitação. Ciência e Cultura, 36(11): 1188-1899.

- KOUSKY, V. E., KAGANO, M. T. e CAVALCANTI, I. F. A. 1984. A review of the Southern Oscillation: Oceanic-atmospheric circulation changes and related rainfall anomalies. Tellus, 36A. 409-504.
- KRAUS, E.V.; 1977: Subtropical Drougths and Cross-Equatorial Transports. Mon. Wea. Rev., 105, 1009-1018.
- KRUEGER, A. F.; WINSTON, J. S.; 1975: Large-Scale Circulation Anomalies Over the Tropics during 1971-72. *Monthly Weather Review*, 103, 465-473.
- LAU, K. M.; CHAN, P. H.; 1983: Short-Term Climate Variability an Atmospheric Teleconnections from Satellite-Observed Outgoing Longwave Radiation. Part I: Simultaneous Relationships. *Journal of the Atmospheric Science*, 40, 2735-2750.
- LAU, K. M. and LIN, H.; 1984: On the Dynamics of Equation Forcing of Climate Teleconnections. Journal of the Atmospheric Sciences, 41, 161-176.
- LEWIS, T.; 1970: The Statistician as a Member of Society. Inaugural Lecture, University of Hull.
- LIMA, M. C., SANTOS, R. C. & MORAES, J. C.; 1989: Estudo de Secas no Estado de Alagoas. VI Congresso Brasileiro de Agrometerologia, Maceió, p. 160-169.
- LIMA, M. C.; 1991: Variabilidade da Precipitação no Litoral Leste da Região Nordeste do Brasil. Dissertação de Mestrado. INPE 5283 TDI/453.
- MACDONALD, E.J., 1957. A note on the precision of estimation of missing precipitation data. Transaction, American Geophysical Union. Vol. 38, N° 5.
- MILLIGAN, G. W. & COOPER, M. C.; 1985: An Examination of Procedures for Determining the Number of Clusters in Data. Set. Psychometrika, 50(2), 159-179.
- MONTEIRO, C. A. F. 1969. A Frente Polar Atlântica e as Chuvas de Inverno na Fachada sul Oriental do Brasil. Contribuição etodológica à Análise Rítmica dos Tipos de Tempo no Brasil. Instituto de Geografia, Universidade de São Paulo, 68pp.

- MORRISON, D. F.; 1976: *Multivariate Statistical Methods*. McGraw-Hill book Company, 2ª Ed., 415pp.
- MOYANO, C. M., SARACHO Z., FERNANDEZ, M. S., ARES J. 1985. Estudio Acerca de los Errores en la Medición de la Precipitación. Revista Meteorologica, 7-29.
- NIMER, E. 1979. Climatologia do Brasil. Superintendência de Recursos Naturais e Meio Ambiente (SUPREN), Fundação Instituto Brasileiro de Geografia e Estatística. Série Recursos Naturais e Meio Ambiente, nº 4, 421 pp.
- NOBRE, C. A. and OBREGON G. O.; 1990: Principal Component Analysis of Precipitation Fields Over the Amazon River Basin. Climanálise, vol 5, 7, 35-46.
- NUÑEZ, N. M., 1987. Clima: Evolución y Futuro. Boletín Informativo Techint, Nº 247.
- PANOFSKY, H. A. y BRIER, G. W. 1965. Some Applications of Statistics to Meteorology, Pennsylvania.
- PAO SHIN CHU, 1991. Brazil's Climate Anomalies and ENSO. Part II: Regional Case Studies of Teleconnections: Physical Aspects. Teleconnections Linking Worldwide Climate Anomalies. 43-71 pp.
- PENALBA, C. O. e VARGAS, M. W., 1988. Estrutura del Regimen de Precipitación de la Ciudad de Buenos Aires. Geoacta, vol 15, 133-144.
- PENALBA, C. O. e VARGAS, M. W., 1989. Analisis de la Estabilidad Estadisticas en Series Climáticas de Buenos Aires. Geoacta, 15, 133-144.
- PROHASKA, F. J., 1952. Regímenes Estacionales de Precipitación de Sudamérica y Mares Vecinos (desde 15°S hasta Antártida). Meteoros, 1, 66-100.
- QUINTEROS, Q. M., 1987. Estudio Hidrometeorologico de Cuencas en la Republica Argentina con Datos Insuficientes. Tomo II. CIBIOM.
- RAMAGE, C. S.; 1975: Preliminary Discussion of the Meteorology of the 1972-1973 El Niño. Bulletin of the American Meteorological Society, 56, 234-242.

- RAO, V. B. and HADA, K. 1988. Characteristics of Rainfall over Brazil: Annual Variations and Connections with the Southern Oscillation. Theorical and Applied Climatology.
- RAO, V. B., SATYAMURTY, P. e BRITO B. J. I., 1986. On the 1983 Drought in North-East Brazil. Journal of Climatology, Vol. 6, 43-51.
- RASMUSSON, E. M.; WALLACE, J. M.; 1983: Meteorological Aspects of The El Niño/Southern Oscillation. *Science*, 222, 1195-2222.
- RASMUSSON, E. M.; CARPENTER; T. H.; 1982: Variations in Tropical Sea Surface Temperature and Surface Wind Fields Associated with the Southern Oscillation/El Niño. *Monthly Weather Review*, 110. 354-384.
- RODDA J. C., 1967. The Rainfall Measurement Problem. AISH publ nº 78, 215-281.
- SATYAMURTY, P. e ETCHICHURY C. P. 1989. Seca de 1988/89 no Extremo Sul do Brasil. Contribuição Reproduzida na Íntegra em Climanálise, Vol. 4, Nº 10.
- SCOLAR, J., SILVA Dias, M. A. F.; 1982: Linhas de Instabilidade Pré Frontais e sua Depêndencia de Condições Sinóticas. II Congresso Brasileiro de Meteorologia, Pelotas, RS, 18-22/10/1982, 88-102.
- SHUKLA, J.; WALLACE, J. M.; 1983: Numerical Simulation of the Atmospheric Sea Surface Temperature and Surface Wind Fields Associated with the Southern Oscillation/El Niño. *Monthly Weather Review*, 1613-1629.
- SILVA DIAS, M. A. F.; 1987: Sistemas de Mesoescala e Previsão de Tempo a Curto Prazo. Revista Brasileira de Meteorologia, 2, 133-150.
- SNEYERS, R. and VANDIEPENBEECK, 1983. On the Use of Large Values for the Determination of the Distribution of Maximun Values. Arch. Met. Geoph. Biocl., Ser. B. Vol. 32, 279-286.
- SNEYERS, R., 1984. Extremes in Meteorology, Statistical Extremes and Applications, 235-252.

- STOECHENIUS, T.; 1981: Interanual Variations of Tropical Precipitation Patterns. *Monthly Weather Review*, 109, 1233-1247.
- SUGAHARA, S. 1991. Flutuações Interanuais, Sazonais e Intrasazonais da Precipitação no Estado de São Paulo. Tese de doutoramento, Universidade de São Paulo. 158 pp.
- TANAKA, M.; TSUCHIYA, A.; NISHIZAWA, T.; 1988: The Empirical Orthogonal Function Analysis of the Seasonal and Interanual Rainfall in Brazil. *Latin america Studies*, 10, 1988. The University of Tsukuba, Ibaraki, Japan.
- TARIFA, J. R. 1975. Fluxos Polares e as Chuvas de Primavera Verão no Estado de São Paulo. Uma Análise Quantitativa do Processo Genético. Tese de doutoramento, Instituto de Geografia, Universidade de São Paulo, 93 pp.
- TIKU, M. L.; 1971: Power Function of the F-test under Non-Normality Situation. *Jour. Amer. Stat. Assoc.*, 66, 913-916.
- TRENBERTH, E. K., 1976a. Fluctuations and Trends in Indices of the Southern Hemispheric Circulation. Quart. J. Roy. Met. Soc., 102, 65-75.
- TRENBERTH, E. K., 1976b. Spatial and Temporal Variations of the Southern Oscillation. Quart. J. Roy. Metoer. Soc., 102, 639-653.
- TRENBERTH, E. K., 1992. Atmospheric Circulation Changes and Relationships with Surface Temperature and Precipitation.
- TRENBERTH, K. E.; 1976: Spatial and Temporal Variations of the Southern Oscillation. *Quart. J. Roy. Meteorol. Soc.*, 102, 639-653.
- TYSON, D. P., 1980. Temporal and Spatial Variation of Rainfall Anomalies in Africa South of Latitude 22° During the Period of Meteorological Record. Climate Change, 363-371.
- VARGAS, M. V. 1987. El Clima y sus Impactos. Implicancias en las Inundaciones del Noroeste de Buenos Aires. Boletín Informativo Techint, Nº 250.

- VELASCO, I. and FRITSH, J. M.; 1984: Mesoscale Convective Complexes over the Americas. Journal of Geophysics Research, 92,9591-9613.
- VICENTIN, C. L., TARIFA, J. R.; 1984: A Circulação Superior e a Gênese das Chuvas Intensas Ocorridas no Sudeste do Brasilem Janeiro e Fevereiro de 1979. III Congresso Brasileiro de Meteorologia, Belo Horizonte, 3-7/12/1984, 189-199.
- WALKER, G. T.; 1923: Correlation in Seasonal Variations of Weather VIII. *Mem. Ind. Meteorol. Dept.*, 24, 75-131.
- WALKER, G. T.; 1924: Correlation in Seasonal Variation of Weather IX. *Mem. Ind. Meteorol. Dept., 24,* 275-332.
- WALKER, G. T.; 1928: World Weather III. Mem. R. Meteor. Soc., 2, 97-106.
- WALKER, G. T.; BLISS, E. W.; 1932: World Weather V. *Mem. R. Meteorol. Soc.*, 4, 53-84.
- WALKER, G. T.; BLISS, E. W.; 1937: World Weather IV. Mem. R. Meteorol. Soc., 4, 119-139.
- WARD, J. H.; 1963: Hierarchical Grouping to Optimize an Objective Function. Journal American Statistical Association, 58: 236-244.
- WEARE, B. C.; 1986: An Extension of an El Niño Index. *Monthly Weather Review*, 114, 644-647.
- WEBSTER, P. J.; 1981: Mechanisms Determining the Atmospheric Response to Sea Surface Temperature Anomalies. *Journal of the Atmospheric Sciences*, 38, 554-571.
- WEICKMANN, K. M.; LUSSKY, G. R.; KUTZBACH, J. E.; 1985: Intraseasonal (30-60 day) Fluctuations of Outgoing Longwave Radiation and 250mb Stream Functions During Northean Winter. *Monthly Weather Review*, 113, 941-961.
- WORLD METEOROLOGICAL ORGANIZATION: Climatic Change, Technical Note No. 79, 1966.

ANEXO I

Datos de precipitación de DAEE-SP y DNAEE-Pr, SC, RS.

| | | ESTADO DE SAN PABL | .0 | |
|--------------|--------------------------|------------------------------|-------------|-------------|
| | NOMBRE | LATITUD/LONGITUD | ALTITUD(m) | PERIODOS |
| SP1 | Buritizal | 20:11; 47:43 | 840 | 38-88 |
| SP2 | Nuporanga | 20:30; 47:43 | 610 | 37-88 |
| SP3 | Estrada da Cunha | 22:59; 45:02 | 757 | 36-88 |
| SP4 | Barretos | 20:34; 48:34 | 518 | 36-88 |
| SP5 | ICEM | 20:20; 49:12 | 430 | 37-88 |
| SP6 | Guararema | 23:19; 46:07 | 600 | 30-88 |
| SP7 | P. B. (Miracatu) | 24:14: 47:23 | 18 | 39-88 |
| SP8 | Atibaia | 23:09; 46:33 | 770 | 33-88 |
| SP9 | Juquia | 24:19; 47:37 | 15 | 33-88 |
| SP10 | Bairro do Sarapau | 23:30; 47:49 | 550 | 45-88 |
| SP11 | Pereira Barreto | 20:42; 51:07 | 300 | 40-88 |
| SP12 | Descalvado | 21:57; 47:42 | 840 | 40-88 |
| SP13 | Araraquara | 21:51; 48:30 | 440 | 38-88 |
| SP14 | Araraguara | 21:53; 48:09 | 580 | 38-88 |
| SP15 | lacanga | 21:54; 49:02 | 450 | 44-88 |
| SP16 | Barbosa | 21:16; 49:56 | 400 | 37-88 |
| SP17 | Guaiçara | 21:37; 49:48 | 460 | 38-88 |
| SP18 | Araçatuba | 21:12; 50:27 | 390 | 44-88 |
| SP19 | Parapua | 21:47; 50:47 | 480 | 45-88 |
| SP20 | Bananal | 22:41; 44:19 | 460 | 39-88 |
| SP21 | Cruzeiro | 22:35; 44:59 | 540 | 41-88 |
| SP22 | Monteiro Lobato | 22:52; 45:47 | 780 | 44-88 |
| SP23 | S. A. Pinhal | 22:49; 45:44 | 970 | 44-88 |
| SP24 | Campinas | 22:56; 46:54 | 690 | 37-88 |
| SP25 | Itarapina | 22:15; 47:49 | 740 | 36-88 |
| SP26 | Torrinha | 22:23; 48:10 | 720 | 37-88 |
| SP27 | Galia | 22:19; 49:32 | 520 | 40-88 |
| SP28 | Americana | 22:42; 47:17 | 540 | 37-88 |
| SP29 | Candido Mota | 22:53; 50:20 | 360 | 39-88 |
| SP30 | Quintana | 22:04; 50:18 | 600 | 41-88 |
| SP31 | P. Prudente | 22:04, 50:18 | 460 | 43-88 |
| SP32 | Martinópolis | 22:15; 51:10 | 430 | 46-88 |
| SP33 | Avaré | 23:06; 48:55 | 780 | 40-88 |
| | | | 570 | 44-88 |
| SP34 SP35 | S. J. Campos Tiete | 22:03; 45:54 23:00; 47:43 | 570 | 40-88 |
| | | 23:09; 47:48 | 490 | 42-88 |
| SP36 SP37 | Cerquilho | 23:35; 48:02 | 650 | 40-88 |
| | Itapetininga | 23:01; 49:34 | 620 | 42-88 |
| SP38 | Ipaucu S. J. R. Pardo | 21:36; 46:54 | 660 | 43-88 |
| SP39 | | | 10 | 44-88 |
| SP40 | Ilhabela | 23:47; 45:21 | 670 | 40-88 |
| SP41 | Amparo | 22:42; 46:46 | | |
| SP42 | Aguai | 22:03; 46:59 | 650 | 40-88 |
| SP43 | C. Paulista | 22:40; 45:01 | 511 | 33-88 |
| SP44 | Cerradinho | 23:58; 48:17 | 610 | 40-88 |
| SP45 | C. do Jordão | 22:42; 46:46 | 670 | 41-88 |

Tabla 1 - Tabla de las estaciones utilizadas con sus respectivas latitudes, longitudes, altitudes y periodos correspondien tes a cada una de ellas.

| NOMBRE | | ESTADO | DEL PARANÁ Y SANTA | CATARINA | |
|--|------|--------------------|--------------------|----------|-------------|
| PR2 Quitandinha 25:57: 49:23 810 41-92 PR3 S. M. do Sul 25:52: 50:23 760 39-92 PR4 Mallet 25:56: 50:41 750 48-92 PR5 Antonina 25:14: 48:45 80 47-92 PR6 U. Vitória 26:14: 51:04 736 40-91 PR7 Jangada 26:22: 51:15 80 46-92 PR7 Jangada 26:22: 51:15 80 46-92 PR8 S. Mariana 23:06: 50:27 340 46-92 PR9 Andirá 23:05: 50:17 375 46-92 PR10 P. Grossa 25:15: 50:09 790 46-92 PR11 Prudentópolis 25:12: 50:56 690 38-92 PR11 Prudentópolis 25:12: 50:56 690 38-92 PR11 Prudentópolis 24:39: 49:00 180 39-92 PR13 Guaira 24:04: 54:15 218 46-92 PR14 Adrianópolis | | | | | PERIODOS |
| PR3 S. M. do Sul 25:52; 50:23 760 39-92 PR4 Mallet 25:56; 50:41 750 48-92 PR5 Antonina 25:14; 48:45 80 47-92 PR6 U. Vitória 26:14; 51:04 736 40-91 PR7 Jangada 26:22; 51:15 80 46-92 PR8 S. Mariana 23:06; 50:27 340 46-92 PR9 Andirá 23:05; 50:17 375 46-92 PR10 P. Grossa 25:15; 50:09 790 46-92 PR11 Prudentópolis 25:12; 50:56 690 38-92 PR11 Prudentópolis 25:12; 50:56 690 38-92 PR12 Itaipu 24:30; 54:20 150 41-92 PR12 Itaipu 24:30; 54:20 150 41-92 PR13 Guaira 24:04; 54:15 218 46-92 PR12 Adranópolis 24:30; 49:20 400 47-92 PR15 Cerro Azul < | PR1 | Jataizinho | 23:15; 50:59 | 340 | 38-92 |
| PR4 Mallet 25:56; 50:41 750 48-92 PR5 Antonina 25:14; 48:45 80 47-92 PR6 U Vitória 26:14; 51:04 736 40-91 PR7 Jangada 26:22; 51:15 80 46-92 PR8 S. Mariana 23:06; 50:27 340 46-92 PR9 Andirá 23:05; 50:17 375 46-92 PR10 P. Grossa 25:15; 50:09 790 46-92 PR11 Prudentópolis 25:12; 50:56 690 38-92 PR11 Prudentópolis 25:12; 50:56 690 38-92 PR12 Itaipu 24:30; 54:20 150 41-92 PR13 Guaira 24:04; 54:15 218 46-92 PR13 Guaira 24:04; 54:15 218 46-92 PR13 Guaira 24:04; 54:15 218 46-92 PR14 Adrianópolis 24:39; 49:00 180 39-92 PR15 Cerro Azul 24 | PR2 | Quitandinha | 25:57; 49:23 | 810 | 41-92 |
| PR5 Antonina 25:14; 48:45 80 47-92 PR6 U Vitória 26:14; 51:04 736 40-91 PR7 Jangada 26:22; 51:15 80 46-92 PR8 S. Mariana 23:06; 50:27 340 46-92 PR9 Andirá 23:05; 50:17 375 46-92 PR10 P. Grossa 25:15; 50:09 790 48-92 PR11 Prudentópolis 25:12; 50:56 690 38-92 PR13 Guaira 24:30; 54:20 150 41-92 PR13 Guaira 24:30; 54:20 150 41-92 PR13 Guaira 24:39; 49:00 180 39-92 PR14 Adrianópolis 24:39; 49:00 180 39-92 PR15 Cero Azul 24:54; 49:20 400 47-92 PR16 Praia Grande 25:10; 48:53 750 40-92 PR17 Morretes 25:28; 48:50 8 47-92 PR18 Veu de Noiva < | PR3 | S. M. do Sul | 25:52; 50:23 | 760 | 39-92 |
| PR6 U. Vitória 26:14; 51:04 736 40-91 PR7 Jangada 26:22; 51:15 80 46-92 PR8 S. Mariana 23:06; 50:27 340 46-92 PR9 Andirá 23:05; 50:17 375 46-92 PR10 P. Grossa 25:15; 50:09 790 46-92 PR11 Prudentópolis 25:12; 50:56 690 38-92 PR12 Itaipu 24:30; 54:20 150 41-92 PR13 Guaira 24:04; 54:15 218 46-92 PR14 Adrianópolis 24:39; 49:00 180 39-92 PR15 Cerro Azul 24:54; 49:20 400 47-92 PR15 Cero Azul 24:54; 49:20 400 47-92 PR16 Praia Grande 25:10; 48:53 750 40-92 PR17 Moretes 25:28; 48:50 8 47-92 PR18 Veu de Noiva 25:28; 48:57 680 41-91 PR19 Foz do liguaçu <td>PR4</td> <td>Mallet</td> <td>25:56; 50:41</td> <td>750</td> <td>48-92</td> | PR4 | Mallet | 25:56; 50:41 | 750 | 48-92 |
| PR7 Jangada 26:22; 51:15 80 46-92 PR8 S. Mariana 23:06; 50:27 340 46-92 PR9 Andirá 23:05; 50:17 375 46-92 PR10 P. Grossa 25:15; 50:09 790 46-92 PR11 Prudentópolis 25:12; 50:56 690 38-92 PR12 Itaipu 24:30; 54:20 150 41-92 PR13 Guaira 24:04; 54:15 218 46-92 PR14 Adrianopolis 24:39; 49:00 180 39-92 PR15 Cerro Azul 24:54; 49:20 400 47-92 PR16 Praia Grande 25:10; 48:53 750 40-92 PR17 Morretes 25:28; 48:50 8 47-92 PR18 Veu de Noiva <t< td=""><td>PR5</td><td>Antonina</td><td>25:14; 48:45</td><td>80</td><td>47-92</td></t<> | PR5 | Antonina | 25:14; 48:45 | 80 | 47-92 |
| PR8 S. Mariana 23:06; 50:27 340 46-92 PR9 Andirá 23:05; 50:17 375 46-92 PR10 P. Grossa 25:15; 50:09 790 48-92 PR11 Prudentópolis 25:12; 50:56 690 38-92 PR12 Itaipu 24:30; 54:20 150 41-92 PR13 Guaira 24:04; 54:15 218 46-92 PR14 Adrianópolis 24:39; 49:00 180 39-92 PR15 Cerro Azul 24:54; 49:20 400 47-92 PR16 Praia Grande 25:10; 48:53 750 40-92 PR17 Morretes 25:28; 48:50 8 47-92 PR18 Veu de Noiva 25:28; 48:57 680 41-91 PR19 Foz do Iguaçu 25:41; 54:26 152 48-92 PR19 Foz do Iguaçu 25:41; 54:26 152 48-92 PR20 P. Nacional (Foz) 25:17; 54:29 100 42-92 PR21 | PR6 | U. Vitória | 26:14; 51:04 | 736 | 40-91 |
| PR8 S. Mariana 23:06; 50:27 340 46-92 PR9 Andirá 23:05; 50:17 375 46-92 PR10 P. Grossa 25:15; 50:09 790 46-92 PR11 Prudentópolis 25:12; 50:56 690 38-92 PR12 Itaipu 24:30; 54:20 150 41-92 PR13 Guaira 24:04; 54:15 218 46-92 PR14 Adrianópolis 24:39; 49:00 180 39-92 PR15 Cerro Azul 24:54; 49:20 400 47-92 PR16 Praia Grande 25:10; 48:53 750 40-92 PR17 Morretes 25:28; 48:50 8 47-92 PR18 Veu de Noiva 25:28; 48:57 680 41-91 PR19 Foz do Iguaçu 25:41; 54:26 152 48-92 PR18 Veu de Noiva 25:26; 49:16 152 48-92 PR29 P. Nacional (Foz) 25:17; 54:29 100 42-92 PR21 < | PR7 | | 26:22; 51:15 | 80 | 46-92 |
| PR10 P. Grossa 25:15; 50:09 790 46-92 PR11 Prudentópolis 25:12; 50:56 690 38-92 PR12 Itaipu 24:30; 54:20 150 41-92 PR13 Guaira 24:30; 54:15 218 46-92 PR14 Adrianópolis 24:39; 49:00 180 39-92 PR14 Adrianópolis 24:39; 49:00 180 39-92 PR15 Cerro Azul 24:54; 49:20 400 47-92 PR16 Praia Grande 25:10; 48:53 750 40-92 PR17 Morretes 25:28; 48:50 8 47-92 PR18 Veu de Noiva 25:26; 48:57 680 41-91 PR19 Foz do Iguaçu 25:41; 54:26 152 48-92 PR19 Foz do Iguaçu 25:28; 52:54 550 48-92 PR20 P. Nacional (Foz) 25:17; 54:29 100 42-92 PR21 C. Novo (Q.Iguaçu) 25:28; 52:54 550 48-92 PR | PR8 | | 23:06; 50:27 | 340 | 46-92 |
| PR11 Prudentópolis 25:12; 50:56 690 38-92 PR12 Itaipu 24:30; 54:20 150 41-92 PR13 Guaira 24:04; 54:15 218 46-92 PR14 Adrianópolis 24:39; 49:00 180 39-92 PR15 Cerro Azul 24:54; 49:20 400 47-92 PR16 Praia Grande 25:10; 48:53 750 40-92 PR17 Morretes 25:28; 48:50 8 47-92 PR18 Veu de Noiva 25:26; 48:57 680 41-91 PR19 Foz do Iguaçu 25:41; 54:26 152 48-92 PR20 P. Nacional (Foz) 25:17; 54:29 100 42-92 PR21 C. Novo (Q.Iguaçu) 25:28; 52:54 550 48-92 PR22 Cuarapuava 25:38; 51:58 740 48-92 PR22 Guarapuava 25:38; 51:58 740 48-92 PR23 Curitiba 25:26; 49:16 929 22-92 PR24 <td>PR9</td> <td>Andirá</td> <td>23:05; 50:17</td> <td>375</td> <td>46-92</td> | PR9 | Andirá | 23:05; 50:17 | 375 | 46-92 |
| PR12 Itaipu 24:30; 54:20 150 41-92 PR13 Guaira 24:04; 54:15 218 46-92 PR14 Adrianópolis 24:39; 49:00 180 39-92 PR15 Cerro Azul 24:54; 49:20 400 47-92 PR16 Praia Grande 25:10; 48:53 750 40-92 PR17 Morretes 25:28; 48:50 8 47-92 PR18 Veu de Noiva 25:26; 48:57 680 41-91 PR19 Foz do Iguaçu 25:41; 54:26 152 48-92 PR19 Foz do Iguaçu 25:17; 54:29 100 42-92 PR20 P. Nacional (Foz) 25:17; 54:29 100 42-92 PR21 C. Novo (Q.Iguaçu) 25:28; 52:54 550 48-92 PR21 C. Novo (Q.Iguaçu) 25:28; 52:54 550 48-92 PR22 Guarapuava 25:38; 51:58 740 48-92 PR23 Curtiba 25:56; 49:47 770 39-92 P | PR10 | P. Grossa | 25:15; 50:09 | 790 | 46-92 |
| PR13 Guaira 24:04; 54:15 218 46-92 PR14 Adrianópolis 24:39; 49:00 180 39-92 PR15 Cerro Azul 24:54; 49:20 400 47-92 PR16 Praia Grande 25:10; 48:53 750 40-92 PR17 Morretes 25:28; 48:50 8 47-92 PR18 Veu de Noiva 25:26; 48:57 680 41-91 PR19 Foz do Iguaçu 25:41; 54:26 152 48-92 PR20 P. Nacional (Foz) 25:17; 54:29 100 42-92 PR20 P. Nacional (Foz) 25:17; 54:29 100 42-92 PR21 C. Novo (Q.Iguaçu) 25:28; 52:54 550 48-92 PR22 Guarapuava 25:38; 51:58 740 48-92 PR22 Guarapuava 25:56; 49:47 770 39-92 PR23 Curtiba 25:56; 49:47 770 39-92 PR24 S. Bento 25:56; 49:47 770 39-92 SC1 | PR11 | Prudentópolis | 25:12; 50:56 | 690 | 38-92 |
| PR14 Adrianópolis 24:39; 49:00 180 39-92 PR15 Cerro Azul 24:54; 49:20 400 47-92 PR16 Praia Grande 25:10; 48:53 750 40-92 PR17 Morretes 25:28; 48:50 8 47-92 PR18 Veu de Noiva 25:26; 48:57 680 41-91 PR19 Foz do Iguaçu 25:41; 54:26 152 48-92 PR20 P. Nacional (Foz) 25:17; 54:29 100 42-92 PR21 C. Novo (Q.Iguaçu) 25:28; 52:54 550 48-92 PR22 Guratiba 25:28; 52:54 550 48-92 PR22 Guratiba 25:26; 49:16 929 22-92 PR23 Curitiba 25:56; 49:47 770 39-92 PR24 S. Bento 25:56; 49:47 770 39-92 PR25 Rio Negro 26:06; 49:48 770 48-92 SC1 Blumenau 26:55; 49:14 20 46-90 SC3 | PR12 | Itaipu | 24:30; 54:20 | 150 | 41-92 |
| PR15 Cerro Azul 24:54; 49:20 400 47-92 PR16 Praia Grande 25:10; 48:53 750 40-92 PR17 Morretes 25:28; 48:50 8 47-92 PR18 Veu de Noiva 25:26; 48:57 680 41-91 PR19 Foz do Iguaçu 25:41; 54:26 152 48-92 PR20 P. Nacional (Foz) 25:17; 54:29 100 42-92 PR21 C. Novo (Q.Iguaçu) 25:28; 52:54 550 48-92 PR22 Guarapuava 25:38; 51:58 740 48-92 PR22 Guarapuava 25:38; 51:58 740 48-92 PR22 Guarapuava 25:56; 49:16 929 22-92 PR23 S. Bento 25:56; 49:16 929 22-92 PR24 S. Bento 25:56; 49:47 770 39-92 PR25 Rio Negro 26:06; 49:48 770 48-92 SC1 Blumenau 26:52; 49:18 200 46-90 SC3 | PR13 | Guaira | 24:04; 54:15 | 218 | 46-92 |
| PR15 Cerro Azul 24:54; 49:20 400 47-92 PR16 Praia Grande 25:10; 48:53 750 40-92 PR17 Morretes 25:28; 48:50 8 47-92 PR18 Veu de Noiva 25:26; 48:57 680 41-91 PR19 Foz do Iguaçu 25:41; 54:26 152 48-92 PR20 P. Nacional (Foz) 25:17; 54:29 100 42-92 PR21 C. Novo (Q.Iguaçu) 25:28; 52:54 550 48-92 PR21 C. Novo (Q.Iguaçu) 25:28; 52:54 550 48-92 PR22 Guarapuava 25:38; 51:58 740 48-92 PR22 Guarapuava 25:38; 51:58 740 48-92 PR23 Curtitiba 25:26; 49:16 929 22-92 PR24 S. Bento 25:56; 49:47 770 39-92 PR25 Rio Negro 26:06; 49:48 770 48-92 SC1 Blumenau 26:55; 49:18 200 46-90 SC | PR14 | Adrianópolis | 24:39; 49:00 | 180 | 39-92 |
| PR17 Morretes 25:28; 48:50 8 47-92 PR18 Veu de Noiva 25:26; 48:57 680 41-91 PR19 Foz do Iguaçu 25:41; 54:26 152 48-92 PR20 P. Nacional (Foz) 25:17; 54:29 100 42-92 PR21 C. Novo (Q.Iguaçu) 25:28; 52:54 550 48-92 PR21 C. Novo (Q.Iguaçu) 25:28; 51:58 740 48-92 PR22 Guarapuava 25:38; 51:58 740 48-92 PR23 Curitiba 25:26; 49:16 929 22-92 PR24 S. Bento 25:56; 49:47 770 39-92 PR25 Rio Negro 26:06; 49:48 770 48-92 SC1 Blumenau 26:55; 49:18 200 46-90 SC2 Corupa 26:55; 49:18 200 46-90 SC3 C. da Alegria 26:52; 51:47 1000 41-90 SC4 Apiuna 27:52; 49:47 100 41-90 SC5 | PR15 | | 24:54; 49:20 | 400 | 47-92 |
| PR17 Morretes 25:28; 48:50 8 47-92 PR18 Veu de Noiva 25:26; 48:57 680 41-91 PR19 Foz do Iguaçu 25:41; 54:26 152 48-92 PR20 P. Nacional (Foz) 25:17; 54:29 100 42-92 PR21 C. Novo (Q.Iguaçu) 25:28; 52:54 550 48-92 PR22 Guarapuava 25:38; 51:58 740 48-92 PR23 Curitiba 25:26; 49:16 929 22-92 PR24 S. Bento 25:56; 49:47 770 39-92 PR25 Rio Negro 26:06; 49:48 770 48-92 SC1 Blumenau 26:55; 49:04 12 44-89 SC2 Corupa 26:25; 49:18 200 46-90 SC3 C. da Alegria 26:52; 51:47 1000 43-90 SC4 Apiuna 27:52; 49:47 100 41-90 SC5 Marcilio Dias 26:65; 59:23 764 39-88 SC6 <t< td=""><td>PR16</td><td>Praia Grande</td><td>25:10; 48:53</td><td>750</td><td>40-92</td></t<> | PR16 | Praia Grande | 25:10; 48:53 | 750 | 40-92 |
| PR19 Foz do Iguaçu 25:41; 54:26 152 48-92 PR20 P. Nacional (Foz) 25:17; 54:29 100 42-92 PR21 C. Novo (Q.Iguaçu) 25:28; 52:54 550 48-92 PR22 Guarapuava 25:38; 51:58 740 48-92 PR23 Curitiba 25:26; 49:16 929 22-92 PR24 S. Bento 25:56; 49:47 770 39-92 PR25 Rio Negro 26:06; 49:48 770 48-92 SC1 Blumenau 26:55; 49:04 12 44-89 SC2 Corupa 26:25; 49:18 200 46-90 SC3 C. da Alegria 26:52; 51:47 1000 43-90 SC4 Apiuna 27:52; 49:47 100 41-90 SC5 Marcilio Dias 26:06; 50:23 764 39-88 SC6 Garcia 26:29; 49:59 215 41-90 SC7 Ibirama 27:03; 49:31 151 34-90 SC8 Ilhot | PR17 | Morretes | 25:28; 48:50 | 8 | 47-92 |
| PR20 P. Nacional (Foz) 25:17; 54:29 100 42-92 PR21 C. Novo (Q.Iguaçu) 25:28; 52:54 550 48-92 PR22 Guarapuava 25:38; 51:58 740 48-92 PR23 Curitiba 25:26; 49:16 929 22-92 PR24 S. Bento 25:56; 49:47 770 39-92 PR25 Rio Negro 26:06; 49:48 770 48-92 SC1 Blumenau 26:55; 49:04 12 44-89 SC2 Corupa 26:25; 49:18 200 46-90 SC3 C. da Alegria 26:52; 51:47 1000 43-90 SC4 Apiuna 27:52; 49:47 100 41-90 SC5 Marcilio Dias 26:06; 50:23 764 39-88 SC6 Garcia 26:29; 49:59 215 41-90 SC7 Ibirama 27:03; 49:31 151 34-90 SC8 Ilhota 26:54; 48:51 10 28-88 SC9 Matos Costa <td>PR18</td> <td>Veu de Noiva</td> <td>25:26; 48:57</td> <td>680</td> <td>41-91</td> | PR18 | Veu de Noiva | 25:26; 48:57 | 680 | 41-91 |
| PR20 P. Nacional (Foz) 25:17; 54:29 100 42-92 PR21 C. Novo (Q.lguaçu) 25:28; 52:54 550 48-92 PR22 Guarapuava 25:38; 51:58 740 48-92 PR23 Curitiba 25:26; 49:16 929 22-92 PR24 S. Bento 25:66; 49:47 770 39-92 PR25 Rio Negro 26:06; 49:48 770 48-92 SC1 Blumenau 26:55; 49:04 12 44-89 SC2 Corupa 26:25; 49:18 200 46-90 SC3 C. da Alegria 26:52; 51:47 1000 43-90 SC4 Apiuna 27:52; 49:47 100 41-90 SC5 Marcilio Dias 26:06; 50:23 764 39-88 SC6 Garcia 26:29; 49:59 215 41-90 SC7 Ibirama 27:03; 49:31 151 34-90 SC8 Ilhota 26:54; 48:51 10 28-88 SC9 Matos Costa <td>PR19</td> <td>Foz do Iguaçu</td> <td>25:41; 54:26</td> <td>152</td> <td>48-92</td> | PR19 | Foz do Iguaçu | 25:41; 54:26 | 152 | 48-92 |
| PR22 Guarapuava 25:38; 51:58 740 48-92 PR23 Curitiba 25:26; 49:16 929 22-92 PR24 S. Bento 25:56; 49:47 770 39-92 PR25 Rio Negro 26:06; 49:48 770 48-92 SC1 Blumenau 26:55; 49:04 12 44-89 SC2 Corupa 26:25; 49:18 200 46-90 SC3 C. da Alegria 26:52; 51:47 100 43-90 SC4 Apiuna 27:52; 49:47 100 41-90 SC5 Marcilio Dias 26:06; 50:23 764 39-88 SC6 Garcia 26:29; 49:59 215 41-90 SC7 Ibirama 27:03; 49:31 151 34-90 SC8 Ilhota 26:54; 48:51 10 28-88 SC9 Matos Costa 26:29; 51:10 1201 39-88 SC10 Meleiros 28:49; 49:38 80 43-90 SC11 N. Bremen 27:0 | PR20 | | 25:17; 54:29 | 100 | 42-92 |
| PR23 Curitiba 25:26; 49:16 929 22-92 PR24 S. Bento 25:56; 49:47 770 39-92 PR25 Rio Negro 26:06; 49:48 770 48-92 SC1 Blumenau 26:55; 49:04 12 44-89 SC2 Corupa 26:25; 49:18 200 46-90 SC3 C. da Alegria 26:25; 51:47 1000 43-90 SC4 Apiuna 27:52; 49:47 100 41-90 SC5 Marcilio Dias 26:06; 50:23 764 39-88 SC6 Garcia 26:29; 49:59 215 41-90 SC7 Ibirama 27:03; 49:31 151 34-90 SC8 Ilhota 26:54; 48:51 10 28-88 SC9 Matos Costa 26:29; 51:10 1201 39-88 SC10 Meleiros 28:49; 49:38 80 43-90 SC11 N. Bremen 27:01; 49:36 252 41-90 SC12 Ituporanga 27: | PR21 | C. Novo (Q.lguaçu) | 25:28; 52:54 | 550 | 48-92 |
| PR24 S. Bento 25:56; 49:47 770 39-92 PR25 Rio Negro 26:06; 49:48 770 48-92 SC1 Blumenau 26:55; 49:04 12 44-89 SC2 Corupa 26:25; 49:18 200 46-90 SC3 C. da Alegria 26:52; 51:47 1000 43-90 SC4 Apiuna 27:52; 49:47 100 41-90 SC5 Marcilio Dias 26:06; 50:23 764 39-88 SC6 Garcia 26:29; 49:59 215 41-90 SC7 Ibirama 27:03; 49:31 151 34-90 SC8 Ilhota 26:54; 48:51 10 28-88 SC9 Matos Costa 26:29; 51:10 1201 39-88 SC10 Meleiros 28:49; 49:38 80 43-90 SC11 N. Bremen 27:01; 49:36 252 41-90 SC12 Ituporanga 27:24; 49:36 360 41-90 SC13 Rio do Pouso <td< td=""><td>PR22</td><td>Guarapuava</td><td>25:38; 51:58</td><td>740</td><td>48-92</td></td<> | PR22 | Guarapuava | 25:38; 51:58 | 740 | 48-92 |
| PR25 Rio Negro 26:06; 49:48 770 48-92 SC1 Blumenau 26:55; 49:04 12 44-89 SC2 Corupa 26:25; 49:18 200 46-90 SC3 C. da Alegria 26:52; 51:47 1000 43-90 SC4 Apiuna 27:52; 49:47 100 41-90 SC5 Marcilio Dias 26:06; 50:23 764 39-88 SC6 Garcia 26:29; 49:59 215 41-90 SC7 Ibirama 27:03; 49:31 151 34-90 SC8 Ilhota 26:54; 48:51 10 28-88 SC9 Matos Costa 26:29; 51:10 1201 39-88 SC10 Meleiros 28:49; 49:38 80 43-90 SC11 N. Bremen 27:01; 49:36 252 41-90 SC12 Ituporanga 27:24; 49:36 360 41-90 SC13 Rio do Pouso 28:25; 49:06 20 40-90 SC14 Araranguá <td< td=""><td>PR23</td><td>Curitiba</td><td>25:26; 49:16</td><td>929</td><td>22-92</td></td<> | PR23 | Curitiba | 25:26; 49:16 | 929 | 22-92 |
| SC1 Blumenau 26:55; 49:04 12 44-89 SC2 Corupa 26:25; 49:18 200 46-90 SC3 C. da Alegria 26:52; 51:47 1000 43-90 SC4 Apiuna 27:52; 49:47 100 41-90 SC5 Marcilio Dias 26:06; 50:23 764 39-88 SC6 Garcia 26:29; 49:59 215 41-90 SC7 Ibirama 27:03; 49:31 151 34-90 SC8 Ilhota 26:54; 48:51 10 28-88 SC9 Matos Costa 26:29; 51:10 1201 39-88 SC10 Meleiros 28:49; 49:38 80 43-90 SC11 N. Bremen 27:01; 49:36 252 41-90 SC12 Ituporanga 27:24; 49:36 360 41-90 SC13 Rio do Pouso 28:25; 49:06 20 40-90 SC14 Araranguá 28:57; 49:36 10 46-90 SC15 Lages 27:4 | PR24 | S. Bento | 25:56; 49:47 | 770 | 39-92 |
| SC2 Corupa 26:25; 49:18 200 46-90 SC3 C. da Alegria 26:52; 51:47 1000 43-90 SC4 Apiuna 27:52; 49:47 100 41-90 SC5 Marcilio Dias 26:06; 50:23 764 39-88 SC6 Garcia 26:29; 49:59 215 41-90 SC7 Ibirama 27:03; 49:31 151 34-90 SC8 Ilhota 26:54; 48:51 10 28-88 SC9 Matos Costa 26:29; 51:10 1201 39-88 SC10 Meleiros 28:49; 49:38 80 43-90 SC11 N. Bremen 27:01; 49:36 252 41-90 SC12 Ituporanga 27:24; 49:36 360 41-90 SC13 Rio do Pouso 28:25; 49:06 20 40-90 SC14 Araranguá 28:57; 49:36 10 46-90 SC15 Lages 27:49; 50:20 937 48-88 SC16 Xanxere 26: | PR25 | Rio Negro | 26:06; 49:48 | 770 | 48-92 |
| SC3 C. da Alegria 26:52; 51:47 1000 43-90 SC4 Apiuna 27:52; 49:47 100 41-90 SC5 Marcilio Dias 26:06; 50:23 764 39-88 SC6 Garcia 26:29; 49:59 215 41-90 SC7 Ibirama 27:03; 49:31 151 34-90 SC8 Ilhota 26:54; 48:51 10 28-88 SC9 Matos Costa 26:29; 51:10 1201 39-88 SC10 Meleiros 28:49; 49:38 80 43-90 SC11 N. Bremen 27:01; 49:36 252 41-90 SC12 Ituporanga 27:24; 49:36 360 41-90 SC13 Rio do Pouso 28:25; 49:06 20 40-90 SC14 Araranguá 28:57; 49:36 10 46-90 SC15 Lages 27:49; 50:20 937 48-88 SC16 Xanxere 26:51; 52:24 841 48-88 SC17 Taio 27:0 | SC1 | Blumenau | 26:55; 49:04 | 12 | 44-89 |
| SC4 Apiuna 27:52; 49:47 100 41-90 SC5 Marcilio Dias 26:06; 50:23 764 39-88 SC6 Garcia 26:29; 49:59 215 41-90 SC7 Ibirama 27:03; 49:31 151 34-90 SC8 Ilhota 26:54; 48:51 10 28-88 SC9 Matos Costa 26:29; 51:10 1201 39-88 SC10 Meleiros 28:49; 49:38 80 43-90 SC11 N. Bremen 27:01; 49:36 252 41-90 SC12 Ituporanga 27:24; 49:36 360 41-90 SC13 Rio do Pouso 28:25; 49:06 20 40-90 SC14 Araranguá 28:57; 49:36 10 46-90 SC15 Lages 27:49; 50:20 937 48-88 SC16 Xanxere 26:51; 52:24 841 48-88 SC17 Taio 27:07; 49:59 360 30-89 SC18 M. Gercino 27:24; | SC2 | Corupa | 26:25; 49:18 | 200 | 46-90 |
| SC4 Apiuna 27:52; 49:47 100 41-90 SC5 Marcilio Dias 26:06; 50:23 764 39-88 SC6 Garcia 26:29; 49:59 215 41-90 SC7 Ibirama 27:03; 49:31 151 34-90 SC8 Ilhota 26:54; 48:51 10 28-88 SC9 Matos Costa 26:29; 51:10 1201 39-88 SC10 Meleiros 28:49; 49:38 80 43-90 SC11 N. Bremen 27:01; 49:36 252 41-90 SC12 Ituporanga 27:24; 49:36 360 41-90 SC13 Rio do Pouso 28:25; 49:06 20 40-90 SC14 Araranguá 28:57; 49:36 10 46-90 SC15 Lages 27:49; 50:20 937 48-88 SC16 Xanxere 26:51; 52:24 841 48-88 SC17 Taio 27:07; 49:59 360 30-89 SC18 M. Gercino 27:24; | SC3 | C. da Alegria | 26:52; 51:47 | 1000 | 43-90 |
| SC5 Marcilio Dias 26:06; 50:23 764 39-88 SC6 Garcia 26:29; 49:59 215 41-90 SC7 Ibirama 27:03; 49:31 151 34-90 SC8 Ilhota 26:54; 48:51 10 28-88 SC9 Matos Costa 26:29; 51:10 1201 39-88 SC10 Meleiros 28:49; 49:38 80 43-90 SC11 N. Bremen 27:01; 49:36 252 41-90 SC12 Ituporanga 27:24; 49:36 360 41-90 SC13 Rio do Pouso 28:25; 49:06 20 40-90 SC14 Araranguá 28:57; 49:36 10 46-90 SC15 Lages 27:49; 50:20 937 48-88 SC15 Lages 27:49; 50:20 937 48-88 SC16 Xanxere 26:51; 52:24 841 48-88 SC17 Taio 27:07; 49:59 360 30-89 SC18 M. Gercino 27:24; | SC4 | | 27:52; 49:47 | 100 | 41-90 |
| SC7 Ibirama 27:03; 49:31 151 34-90 SC8 Ilhota 26:54; 48:51 10 28-88 SC9 Matos Costa 26:29; 51:10 1201 39-88 SC10 Meleiros 28:49; 49:38 80 43-90 SC11 N. Bremen 27:01; 49:36 252 41-90 SC12 Ituporanga 27:24; 49:36 360 41-90 SC13 Rio do Pouso 28:25; 49:06 20 40-90 SC13 Rio do Pouso 28:25; 49:06 20 40-90 SC14 Araranguá 28:57; 49:36 10 46-90 SC15 Lages 27:49; 50:20 937 48-88 SC16 Xanxere 26:51; 52:24 841 48-88 SC17 Taio 27:07; 49:59 360 30-89 SC18 M. Gercino 27:24; 48:56 40 46-90 SC19 Pomerode 26:44; 49:10 46 30-90 SC20 P. Redondo 27 | SC5 | | 26:06; 50:23 | 764 | 39-88 |
| SC8 Ilhota 26:54; 48:51 10 28-88 SC9 Matos Costa 26:29; 51:10 1201 39-88 SC10 Meleiros 28:49; 49:38 80 43-90 SC11 N. Bremen 27:01; 49:36 252 41-90 SC12 Ituporanga 27:24; 49:36 360 41-90 SC13 Rio do Pouso 28:25; 49:06 20 40-90 SC14 Araranguá 28:57; 49:36 10 46-90 SC15 Lages 27:49; 50:20 937 48-88 SC15 Lages 27:49; 50:20 937 48-88 SC16 Xanxere 26:51; 52:24 841 48-88 SC17 Taio 27:07; 49:59 360 30-89 SC18 M. Gercino 27:24; 48:56 40 46-90 SC19 Pomerode 26:44; 49:10 46 30-90 SC20 P. Redondo 27:14; 49:57 353 41-90 SC21 Timbó 26:49; 49:16 70 29-90 SC22 A. Wagner 27:44; 49:23 </td <td>SC6</td> <td>Garcia</td> <td>26:29; 49:59</td> <td>215</td> <td>41-90</td> | SC6 | Garcia | 26:29; 49:59 | 215 | 41-90 |
| SC9 Matos Costa 26:29; 51:10 1201 39-88 SC10 Meleiros 28:49; 49:38 80 43-90 SC11 N. Bremen 27:01; 49:36 252 41-90 SC12 Ituporanga 27:24; 49:36 360 41-90 SC13 Rio do Pouso 28:25; 49:06 20 40-90 SC14 Araranguá 28:57; 49:36 10 46-90 SC15 Lages 27:49; 50:20 937 48-88 SC15 Lages 27:49; 50:20 937 48-88 SC16 Xanxere 26:51; 52:24 841 48-88 SC17 Taio 27:07; 49:59 360 30-89 SC18 M. Gercino 27:24; 48:56 40 46-90 SC19 Pomerode 26:44; 49:10 46 30-90 SC20 P. Redondo 27:14; 49:57 353 41-90 SC21 Timbó 26:49; 49:16 70 29-90 SC22 A. Wagner 27:44; 49:23 550 41-90 | SC7 | Ibirama | 27:03; 49:31 | 151 | 34-90 |
| SC10 Meleiros 28:49; 49:38 80 43-90 SC11 N. Bremen 27:01; 49:36 252 41-90 SC12 Ituporanga 27:24; 49:36 360 41-90 SC13 Rio do Pouso 28:25; 49:06 20 40-90 SC14 Araranguá 28:57; 49:36 10 46-90 SC15 Lages 27:49; 50:20 937 48-88 SC16 Xanxere 26:51; 52:24 841 48-88 SC17 Taio 27:07; 49:59 360 30-89 SC18 M. Gercino 27:24; 48:56 40 46-90 SC19 Pomerode 26:44; 49:10 46 30-90 SC20 P. Redondo 27:14; 49:57 353 41-90 SC21 Timbó 26:49; 49:16 70 29-90 SC22 A. Wagner 27:44; 49:23 550 41-90 | SC8 | Ilhota | 26:54; 48:51 | 10 | 28-88 |
| SC11 N. Bremen 27:01; 49:36 252 41-90 SC12 Ituporanga 27:24; 49:36 360 41-90 SC13 Rio do Pouso 28:25; 49:06 20 40-90 SC14 Araranguá 28:57; 49:36 10 46-90 SC15 Lages 27:49; 50:20 937 48-88 SC16 Xanxere 26:51; 52:24 841 48-88 SC17 Taio 27:07; 49:59 360 30-89 SC18 M. Gercino 27:24; 48:56 40 46-90 SC19 Pomerode 26:44; 49:10 46 30-90 SC20 P. Redondo 27:14; 49:57 353 41-90 SC21 Timbó 26:49; 49:16 70 29-90 SC22 A. Wagner 27:44; 49:23 550 41-90 | SC9 | Matos Costa | 26:29; 51:10 | 1201 | 39-88 |
| SC11 N. Bremen 27:01; 49:36 252 41-90 SC12 Ituporanga 27:24; 49:36 360 41-90 SC13 Rio do Pouso 28:25; 49:06 20 40-90 SC14 Araranguá 28:57; 49:36 10 46-90 SC15 Lages 27:49; 50:20 937 48-88 SC16 Xanxere 26:51; 52:24 841 48-88 SC17 Taio 27:07; 49:59 360 30-89 SC18 M. Gercino 27:24; 48:56 40 46-90 SC19 Pomerode 26:44; 49:10 46 30-90 SC20 P. Redondo 27:14; 49:57 353 41-90 SC21 Timbó 26:49; 49:16 70 29-90 SC22 A. Wagner 27:44; 49:23 550 41-90 | SC10 | Meleiros | 28:49; 49:38 | 80 | 43-90 |
| SC12 Ituporanga 27:24; 49:36 360 41-90 SC13 Rio do Pouso 28:25; 49:06 20 40-90 SC14 Araranguá 28:57; 49:36 10 46-90 SC15 Lages 27:49; 50:20 937 48-88 SC16 Xanxere 26:51; 52:24 841 48-88 SC17 Taio 27:07; 49:59 360 30-89 SC18 M. Gercino 27:24; 48:56 40 46-90 SC19 Pomerode 26:44; 49:10 46 30-90 SC20 P. Redondo 27:14; 49:57 353 41-90 SC21 Timbó 26:49; 49:16 70 29-90 SC22 A. Wagner 27:44; 49:23 550 41-90 | SC11 | | 27:01; 49:36 | 252 | 41-90 |
| SC13 Rio do Pouso 28:25; 49:06 20 40-90 SC14 Araranguá 28:57; 49:36 10 46-90 SC15 Lages 27:49; 50:20 937 48-88 SC16 Xanxere 26:51; 52:24 841 48-88 SC17 Taio 27:07; 49:59 360 30-89 SC18 M. Gercino 27:24; 48:56 40 46-90 SC19 Pomerode 26:44; 49:10 46 30-90 SC20 P. Redondo 27:14; 49:57 353 41-90 SC21 Timbó 26:49; 49:16 70 29-90 SC22 A. Wagner 27:44; 49:23 550 41-90 | | | | 360 | |
| SC14 Araranguá 28:57; 49:36 10 46-90 SC15 Lages 27:49; 50:20 937 48-88 SC16 Xanxere 26:51; 52:24 841 48-88 SC17 Taio 27:07; 49:59 360 30-89 SC18 M. Gercino 27:24; 48:56 40 46-90 SC19 Pomerode 26:44; 49:10 46 30-90 SC20 P. Redondo 27:14; 49:57 353 41-90 SC21 Timbó 26:49; 49:16 70 29-90 SC22 A. Wagner 27:44; 49:23 550 41-90 | | | | | |
| SC15 Lages 27:49; 50:20 937 48-88 SC16 Xanxere 26:51; 52:24 841 48-88 SC17 Taio 27:07; 49:59 360 30-89 SC18 M. Gercino 27:24; 48:56 40 46-90 SC19 Pomerode 26:44; 49:10 46 30-90 SC20 P. Redondo 27:14; 49:57 353 41-90 SC21 Timbó 26:49; 49:16 70 29-90 SC22 A. Wagner 27:44; 49:23 550 41-90 | SC14 | Araranguá | | 10 | |
| SC16 Xanxere 26:51; 52:24 841 48-88 SC17 Taio 27:07; 49:59 360 30-89 SC18 M. Gercino 27:24; 48:56 40 46-90 SC19 Pomerode 26:44; 49:10 46 30-90 SC20 P. Redondo 27:14; 49:57 353 41-90 SC21 Timbó 26:49; 49:16 70 29-90 SC22 A. Wagner 27:44; 49:23 550 41-90 | SC15 | | | 937 | 48-88 |
| SC18 M. Gercino 27:24; 48:56 40 46-90 SC19 Pomerode 26:44; 49:10 46 30-90 SC20 P. Redondo 27:14; 49:57 353 41-90 SC21 Timbó 26:49; 49:16 70 29-90 SC22 A. Wagner 27:44; 49:23 550 41-90 | SC16 | Xanxere | 26:51; 52:24 | 841 | 48-88 |
| SC19 Pomerode 26:44; 49:10 46 30-90 SC20 P. Redondo 27:14; 49:57 353 41-90 SC21 Timbó 26:49; 49:16 70 29-90 SC22 A. Wagner 27:44; 49:23 550 41-90 | SC17 | Taio | 27:07; 49:59 | 360 | 30-89 |
| SC20 P. Redondo 27:14; 49:57 353 41-90 SC21 Timbó 26:49; 49:16 70 29-90 SC22 A. Wagner 27:44; 49:23 550 41-90 | SC18 | M. Gercino | 27:24; 48:56 | 40 | 46-90 |
| SC21 Timbó 26:49; 49:16 70 29-90 SC22 A. Wagner 27:44; 49:23 550 41-90 | SC19 | Pomerode | 26:44; 49:10 | 46 | 30-90 |
| SC21 Timbó 26:49; 49:16 70 29-90 SC22 A. Wagner 27:44; 49:23 550 41-90 | SC20 | P. Redondo | 27:14; 49:57 | 353 | 41-90 |
| SC22 A. Wagner 27:44; 49:23 550 41-90 | SC21 | Timbó | 26:49; 49:16 | 70 | 29-90 |
| | | A. Wagner | 27:44; 49:23 | 550 | |
| 3023 Galua (Aligellia) 27.29, 40.39 215 46-90 | SC23 | Garcia (Angelina) | 27:29; 48:59 | 215 | 46-90 |

Tabla 1 - (continuación)

| | ESTA | DO DEL RIO GRANDE DE | L SUR | |
|------|------------------|----------------------|------------|----------|
| | NOMBRE | LATITUD/LONGITUD | ALTITUD(m) | PERÍODOS |
| RS1 | Uruguaiana | 29:45; 56:31 | 120 | 44-90 |
| RS2 | Antonio Prado | 28:51; 51:17 | 700 | 43-91 |
| RS3 | N. Palmira | 29:19; 51:11 | 200 | 43-91 |
| RS5 | Carazinho | 28:07; 52:39 | 550 | 44-88 |
| RS6 | Cruz Alta | 28:41; 53:17 | 300 | 48-90 |
| RS7 | Encantado | 29:14; 51:52 | 200 | 43-91 |
| RS8 | Santo Angelo | 28:18; 54:16 | 584 | 33-88 |
| RS9 | Girua | 28:01; 54:21 | 400 | 43-91 |
| RS10 | S. Jerônimo | 29:57; 51:43 | 13 | 42-88 |
| RS11 | Bagé | 31:20; 54:06 | 242 | 39-88 |
| RS12 | ljuí | 28:22; 53:55 | 300 | 43-91 |
| RS13 | Cacequi | 29:54; 54:49 | 100 | 43-91 |
| RS14 | S. do Livramento | 30:53; 55:32 | 234 | 39-88 |
| RS15 | Montenegro | 29:41; 51:27 | 35 | 43-88 |
| RS16 | L. Vermelha | 28:12; 51:32 | 889 | 39-88 |
| RS17 | Canguçu | 31:23; 52:40 | 400 | 43-88 |
| RS18 | Passo Fundo | 28:16; 52:24 | 684 | 40-88 |
| RS19 | Dona Francisca | 29:37; 53;21 | 100 | 43-91 |
| RS20 | Nova Prata | 28:47; 51:37 | 700 | 45-91 |
| RS21 | E. do Sul | 30:32; 52:30 | 428 | 39-88 |
| RS22 | Erebango | 27:50; 52:18 | 700 | 43-91 |
| RS23 | S. F. de Paula | 28:51; 50:27 | 900 | 43-91 |
| RS24 | Vacaria | 28:30; 50:57 | 955 | 39-88 |
| RS25 | Alto Uruguai | 27:16; 54:08 | 200 | 48-90 |
| RS26 | Bom Jesus | 28:40; 50:26 | 1048 | 48-88 |
| RS28 | Piratini | 31:26; 53:06 | 345 | 39-88 |
| RS29 | B. do R. Grande | 32:02; 52:06 | 3 | 39-88 |
| RS30 | Rosario do Sul | 30:15; 54:57 | 100 | 43-88 |
| RS31 | S. V. do Palmar | 33:31; 53:22 | 24 | 36-88 |

Tabla 1 - (continuación)

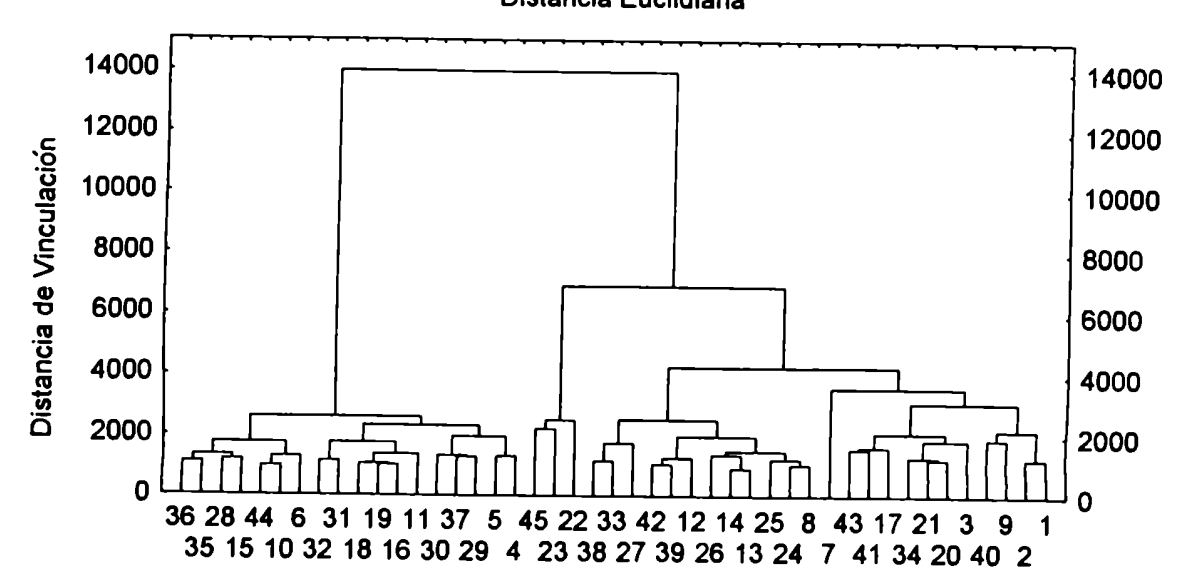
ANEXO II

| Est. | Prom. | Mediana | Min. | Máx. | Q. Inf. | Q. Sup. | Desv. | Assim. | Curt. | CV |
|------|--------|---------|--------|--------|---------------|---------|-------|--------|-------|------|
| SP1 | 1591.3 | 1609.0 | 792.0 | 2296.0 | 1390.0 | 1771.0 | 271.7 | -0.13 | 1.25 | 0.17 |
| SP3 | 1453.9 | 1365.0 | 1080.0 | 2110.0 | 1264.0 | 1581.0 | 274.4 | 0.81 | -0.12 | 0.19 |
| SP7 | 1527.1 | 1440.0 | 974.0 | 3469.0 | 1278.0 | 1632.0 | 402.6 | 2.91 | 12.99 | 0.26 |
| SP9 | 1597.5 | 1582.0 | 1128.0 | 2368.0 | 1375.0 | 1738.0 | 262.7 | 0.78 | 1.33 | 0.16 |
| SP11 | 1223.6 | 1210.0 | 772.0 | 1746.0 | 1087.0 | 1319.0 | 194.9 | 0.47 | 1.15 | 0.16 |
| SP20 | 1419.9 | 1429.0 | 968.0 | 1782.0 | 1271.0 | 1547.0 | 199.3 | -0.37 | -0.42 | 0.14 |
| SP22 | 1720.7 | 1676.0 | 1071.0 | 2546.0 | 1524.0 | 1898.0 | 364.9 | 0.32 | -0.22 | 0.21 |
| SP23 | 1763.5 | 1690.0 | 991.0 | 2477.0 | 1490.0 | 2013.0 | 359.1 | 0.17 | -0.46 | 0.20 |
| SP27 | 1358.9 | 1279.0 | 645.0 | 2053.0 | 1136.0 | 1622.0 | 327.6 | 0.31 | -0.45 | 0.24 |
| SP29 | 1348.7 | 1338.0 | 925.0 | 1974.0 | 1169.0 | 1462.0 | 273.7 | 0.57 | -0.08 | 0.20 |
| SP33 | 1391.0 | 1314.0 | 904.0 | 2181.0 | 1115.0 | 1470.0 | 311.5 | 0.86 | -0.02 | 0.22 |
| SP38 | 1447.4 | 1417.0 | 992.0 | 2034.0 | 1228.0 | 1570.0 | 272.1 | 0.64 | -0.42 | 0.19 |
| SP40 | 1499.9 | 1478.0 | 923.0 | 2412.0 | 1267.0 | 1656.0 | 331.0 | 0.55 | 0.17 | 0.22 |
| SP41 | 1400.5 | 1398.0 | 767.0 | 2176.0 | 1195.0 | 1591.0 | 304.1 | 0.55 | 0.71 | 0.22 |
| SP43 | 1367.9 | 1366.0 | 975.0 | 1815.0 | 1213.0 | 1480.0 | 219.6 | 0.31 | -0.54 | 0.16 |
| SP44 | 1222.3 | 1203.0 | 625.0 | 1799.0 | 1042.0 | 1362.0 | 227.1 | 0.19 | 0.56 | 0.19 |
| SP45 | 1742.1 | 1778.0 | 858.0 | 2824.0 | 1531.0 | 1877.0 | 351.3 | 0.73 | 3.00 | 0.20 |
| Pr1 | 1343.3 | 1263.0 | 977.0 | 1915.0 | 1154.0 | 1546.0 | 261.7 | 0.52 | -0.79 | 0.19 |
| Pr5 | 2346.0 | 2325.0 | 1843.0 | 3012.0 | 2169.0 | 2522.0 | 294.1 | 0.40 | -0.47 | 0.13 |
| Pr6 | 1551.8 | 1513.0 | 211.0 | 2900.0 | 1340.0 | 1742.0 | 394.2 | 0.03 | 5.09 | 0.25 |
| Pr14 | 1026.8 | 1103.0 | 206.0 | 2027.0 | 779.0 | 1271.0 | 397.3 | -0.03 | 0.30 | 0.39 |
| Pr15 | 1052.0 | 979.0 | 540.0 | 1894.0 | 823.0 | 1250.0 | 395.8 | 0.58 | 0.08 | 0.29 |
| Pr17 | 1923.7 | 1939.0 | 1077.0 | 2703.0 | 1704.0 | 2127.0 | 342.5 | -0.22 | 0.19 | 0.18 |
| Pr18 | 3654.8 | 3734.0 | 2023.0 | 4615.0 | 3251.0 | 4111.0 | 594.4 | -0.66 | 0.49 | 0.16 |
| Pr19 | 1589.7 | 1691.0 | 520.0 | 2706.0 | 1240.0 | 1830.5 | 480.0 | -0.24 | 0.54 | 0.30 |
| Pr22 | 1721.9 | 1617.0 | 1050.0 | 3224.0 | 1350.0 | 1968.5 | 446.8 | 0.98 | 1.78 | 0.26 |
| SC2 | 1817.5 | 1792.0 | 1049.0 | 3129.0 | 1431.0 | 2089.0 | 429.4 | 0.69 | 0.86 | 0.24 |
| SC3 | 1854.2 | 1904.0 | 854.0 | 3309.0 | 1474.0 | 2060.0 | 444.2 | 0.69 | 1.98 | 0.24 |
| SC7 | 1389.6 | 1405.0 | 854.0 | 2160.0 | 1198.0 | 1485.0 | 259.3 | 0.57 | 1.29 | 0.19 |
| SC8 | 1463.8 | 1452.0 | 776.0 | 2789.0 | 1243.0 | 1618.0 | 330.4 | 1.27 | 5.59 | 0.23 |
| SC9 | 1438.2 | 1507.0 | 754.0 | 2159.0 | 1130.0 | 1637.0 | 348.0 | -0.03 | -0.47 | 0.24 |
| SC13 | 1283.0 | 1278.0 | 468.0 | 1966.0 | 1057.0 | 1478.0 | 278.3 | -0.13 | 1.00 | 0.22 |
| SC14 | 1290.7 | 1253.0 | 763.0 | 2046.0 | 1072.0 | 1458.0 | 324.9 | 0.45 | -0.13 | 0.25 |
| RS1 | 1817.9 | 1706.0 | 999.0 | 3128.0 | 1441.0 | 2015.0 | 508.9 | 0.85 | 0.73 | 0.28 |
| RS7 | 1307.9 | 1303.0 | 651.0 | 2137.0 | 1079.0 | 1536.0 | 338.5 | 0.06 | -0.11 | 0.26 |
| RS9 | 1205.2 | 1156.0 | 184.0 | 3161.0 | 604.0 | 1712.0 | 723.3 | 0.62 | -0.19 | 0.60 |
| RS10 | 1043.3 | 977.0 | 366.0 | 1981.0 | 856.0 | 1241.0 | 339.8 | 0.73 | 1.19 | 0.32 |
| RS15 | 1100.4 | 1080.0 | 383.0 | 2041.0 | 6 55.0 | 1400.5 | 462.5 | 0.31 | -0.89 | 0.42 |
| RS20 | 1541.1 | 1569.0 | 746.0 | 2756.0 | 1260.0 | 1756.0 | 432.9 | 0.40 | 0.43 | 0.28 |
| RS22 | 1896.0 | 1946.0 | 196.0 | 3335.0 | 1251.0 | 2482.5 | 848.8 | -0.39 | -0.67 | 0.45 |
| RS25 | 1273.3 | 1286.0 | 475.0 | 2055.0 | 1027.0 | 1418.0 | 312.3 | 0.24 | 0.62 | 0.25 |
| RS26 | 1610.8 | 1559.0 | 790.0 | 3295.0 | 1264.0 | 1791.0 | 468.5 | 1.42 | 3.69 | 0.29 |

Tabla 2 - Cálculo del promedio, mediana, cuartil minimo, cuartil maximo, asimetria y curtosis.

ANEXO III

DENDOGRAMADEL ESTADO DE SÃO PAULO Método Ward Distancia Euclidiana



DENDOGRAMADEL ESTADO DO PARANÁ Método Ward

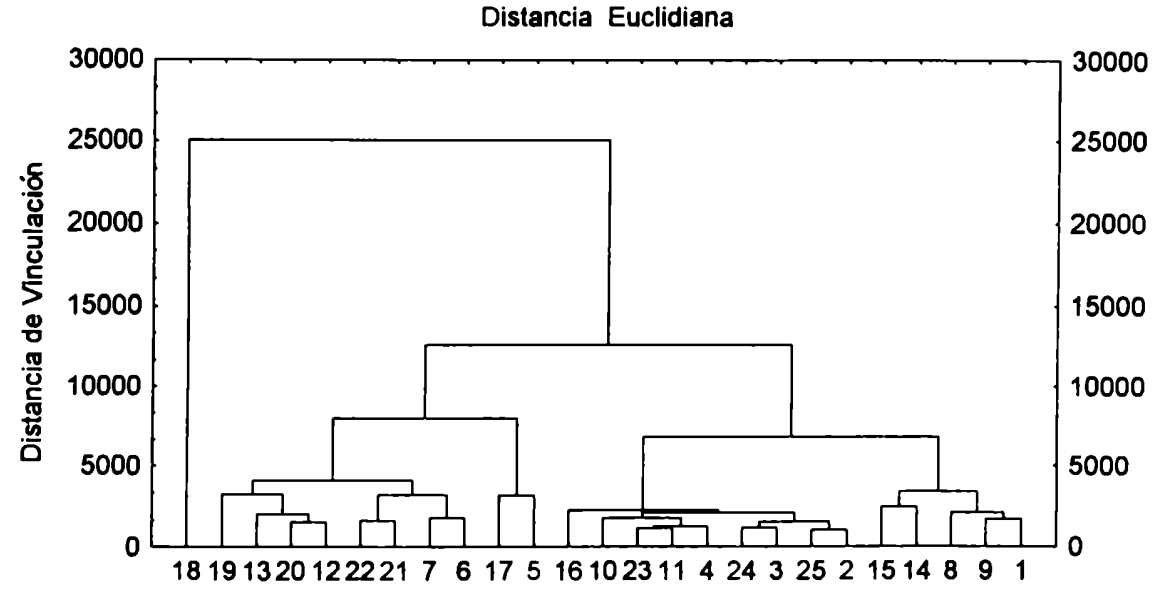
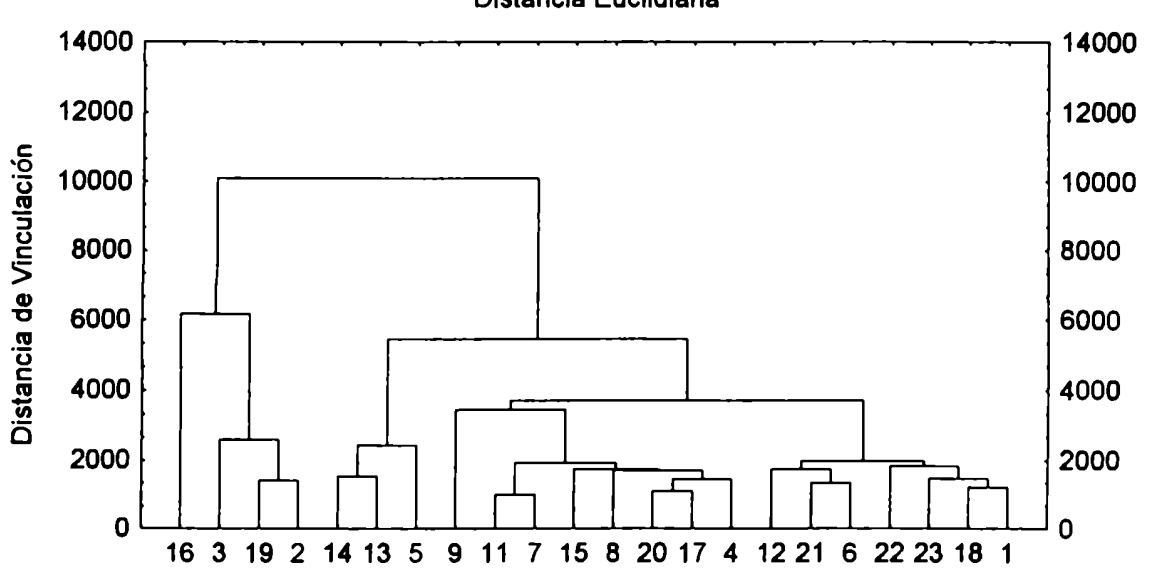


Figura 31 - Dendograma de las provincias de San Pablo y Parana.

DENDOGRAMA DEL ESTADO DE SANTA CATARINA

Método Ward Distancia Euclidiana



DENDOGRAMADEL ESTADO DE RIO GRANDE DO SUL

Método Ward

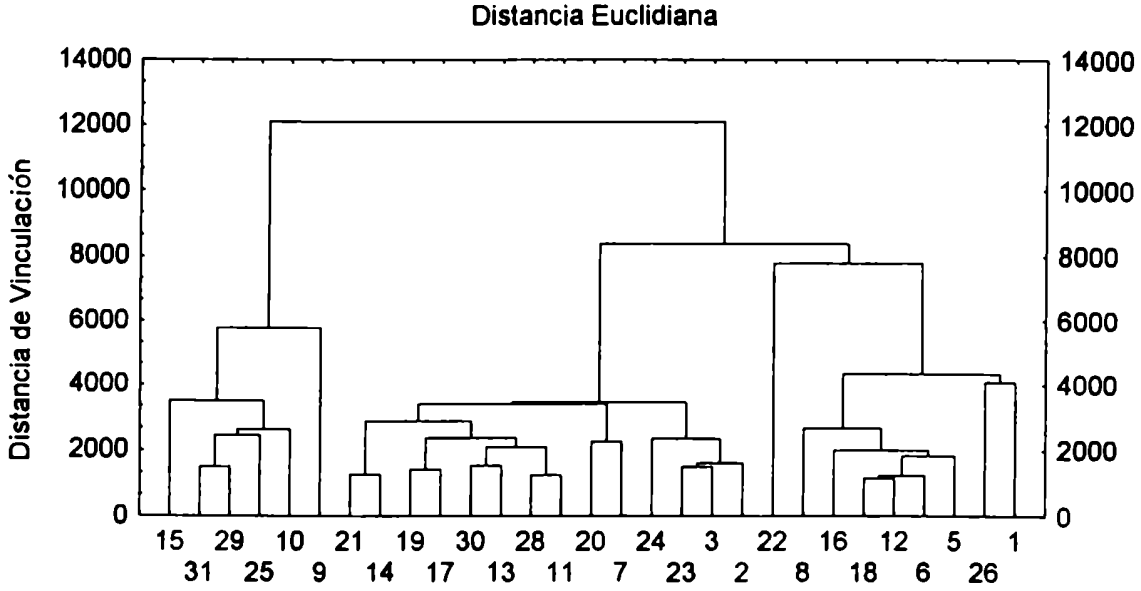


Figura 32 (continuação del anexo III) Dendograma de las provincias de Santa Catarina y Rio Grande del Sur.

ANEXO IV

Propiedades Básicas de las Series

Con respecto a las propiedades básicas, se puede decir que un estudio preliminar de una serie de observaciones puede realizarse a través de una distribución de frecuencias. Estas distribuciones son utilizadas para organizar los datos permitiendo una rápida y fácil determinación de las características de los mismos.

La forma de una dada distribución de frecuencia está gobernada por constantes llamadas "parámetros". Estos se denomian "momentos" de la distribución que describen la relación de ella con su media aritmética. Entre ellos encontramos (Brooks, 1953):

Momento de primer orden: es la media algebraica de las desviaciones.

$$M_1 = \sum_{i} \frac{\left(X_i - \overline{X}\right)}{N}$$

Momento de segundo orden: es conocido como la varianza y su raíz cuadrada la desviación estándar. Esta última es la principal medida de dispersión de la distribución y uno de los parámetros más utilizados en estadística.

$$M_2 = \sum_{i} \frac{\left(X_i - \overline{X}\right)^2}{N}$$

Momento de tercer orden: es una medida de la asimetría de la distribución.

$$M_3 = \sum_{i} \frac{\left(X_i - \overline{X}\right)^3}{N}$$

La expresión del coeficinte de asimetría es (Panofsky, 1965)

$$A_s = \frac{M_3}{M_2^{3.2}}$$

Momento de cuarta orden: La forma de una distribución de frecuencias simétricas puede ser distorcionadas respecto de la forma de una distribución normal a través de una desproporcionalidad en el número de observaciones en los rangos intermedios entre el promedio y los valores extremos. Esta distorción se denomina curtosis y el momento de cuarta orden es una medida de la misma.

$$M_4 = \sum_{i} \frac{\left(X_i - \overline{X}\right)^4}{N}$$

El coeficiente de curtosis tiene la seguiente espresión (Panofsky, 1965).

$$K = \frac{M^4}{M_2^4}$$

Debe tenerse en cuenta que estos dos últimos momentos son muy sensibles a valores de la variable ya que la presencia de uno o dos de ellos en un gran número de observaciones son capaces de desviar el resultado respecto de los de una distribución normal.

Para determinar los rangos dentro de los cuales los coeficientes de asimetría curtosis describen una distribución normal se calcula el error estándar de dichos coeficientes. La expresión para el error estándar de la asimetría es (Brooks, 1953): (6/N)^{1/2} y el error estándar de la curtosis se determina a través de la seguiente expresión (Brooks, 1953): (24/N)^{1/2}, donde N es el número de datos de la serie.

Los gráficos ubicados en los mapas del Brasil Meridional presenta, para algunas estaciones, las estructuras para cada momento comentado arriba. Se puede observar, singularidades a NE de la provincia de San Pablo. Una estructura muy

marcada en la provincia de San Pablo, com máximos en verano, pero con una variabilidad mayor en inverno.

Las provincias de Paraná y Santa Catarina, son marcadamente transientes en relación a San Pablo y Rio Grande del Sur, con una precipitación muy descotinua para cada mes.

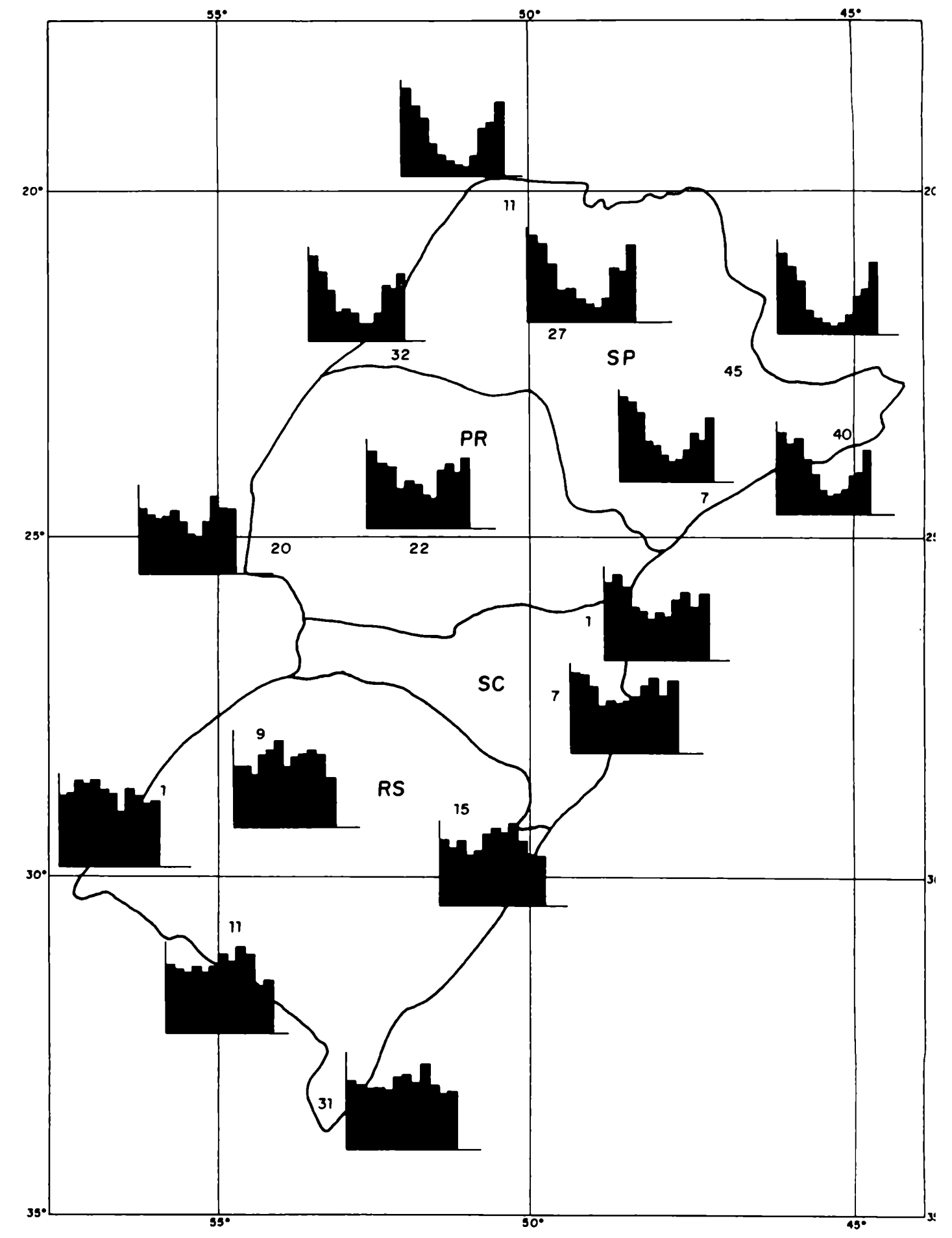


Figura 33 - Estructura de la precipitación total mensual del período 1948-1988, del Brasil Meridional.

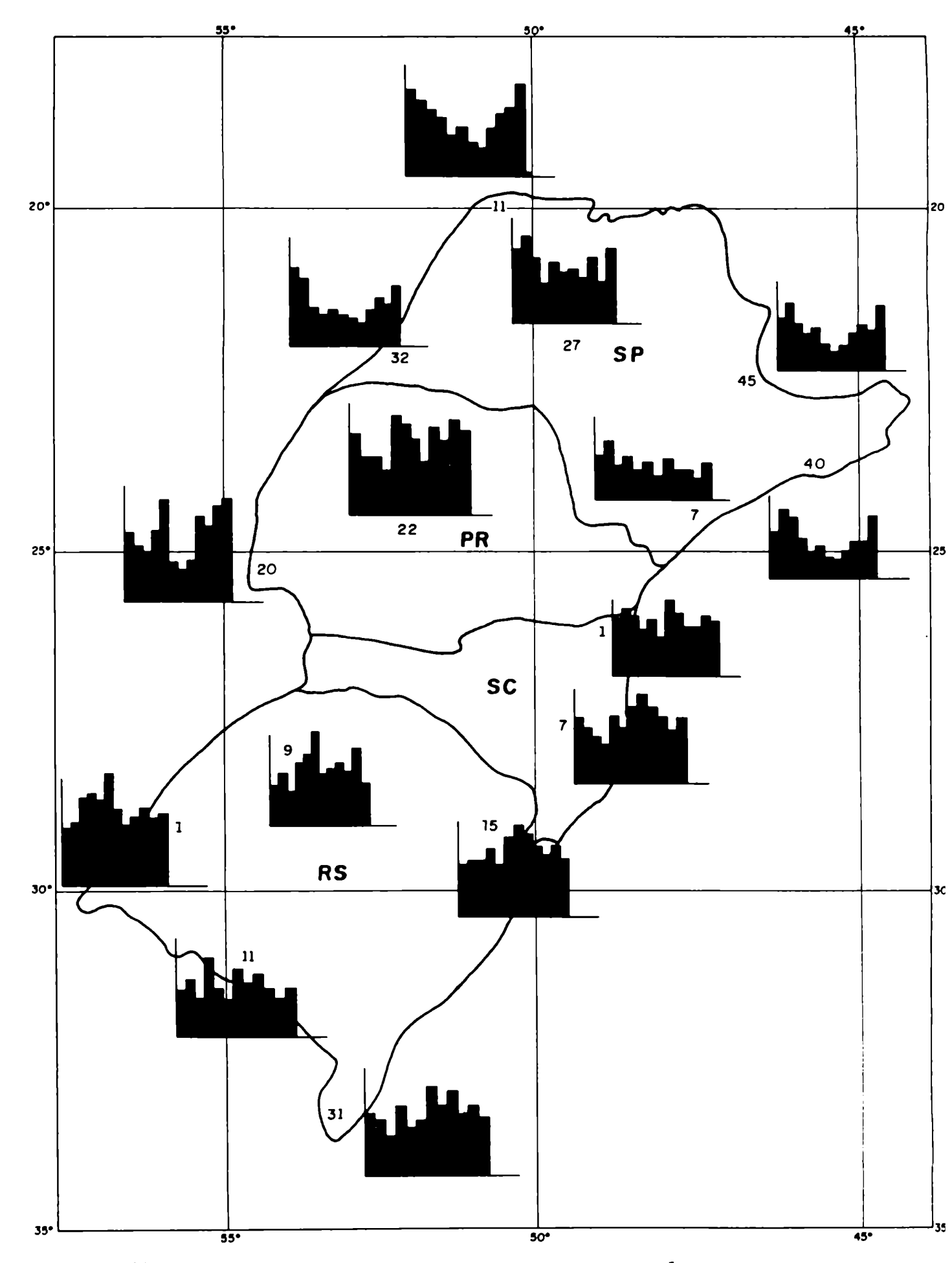


Figura 34 - Estructura del desvio estandar de la precipitación total mensual del período 1948-1988, del Brasil Meridional.

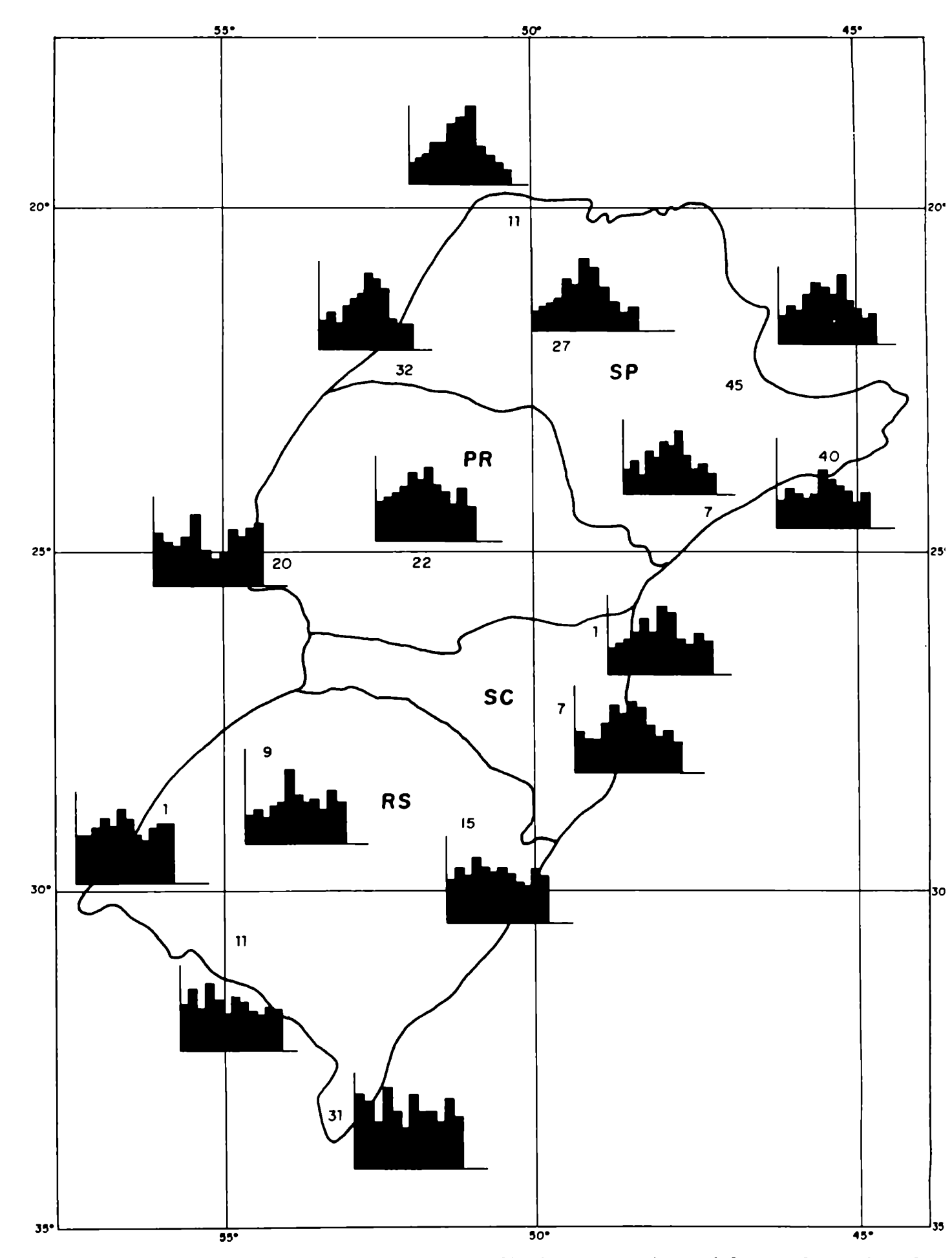


Figura 35 - Coeficiente y variaciones para distintas estaciones del Brasil Meridional.

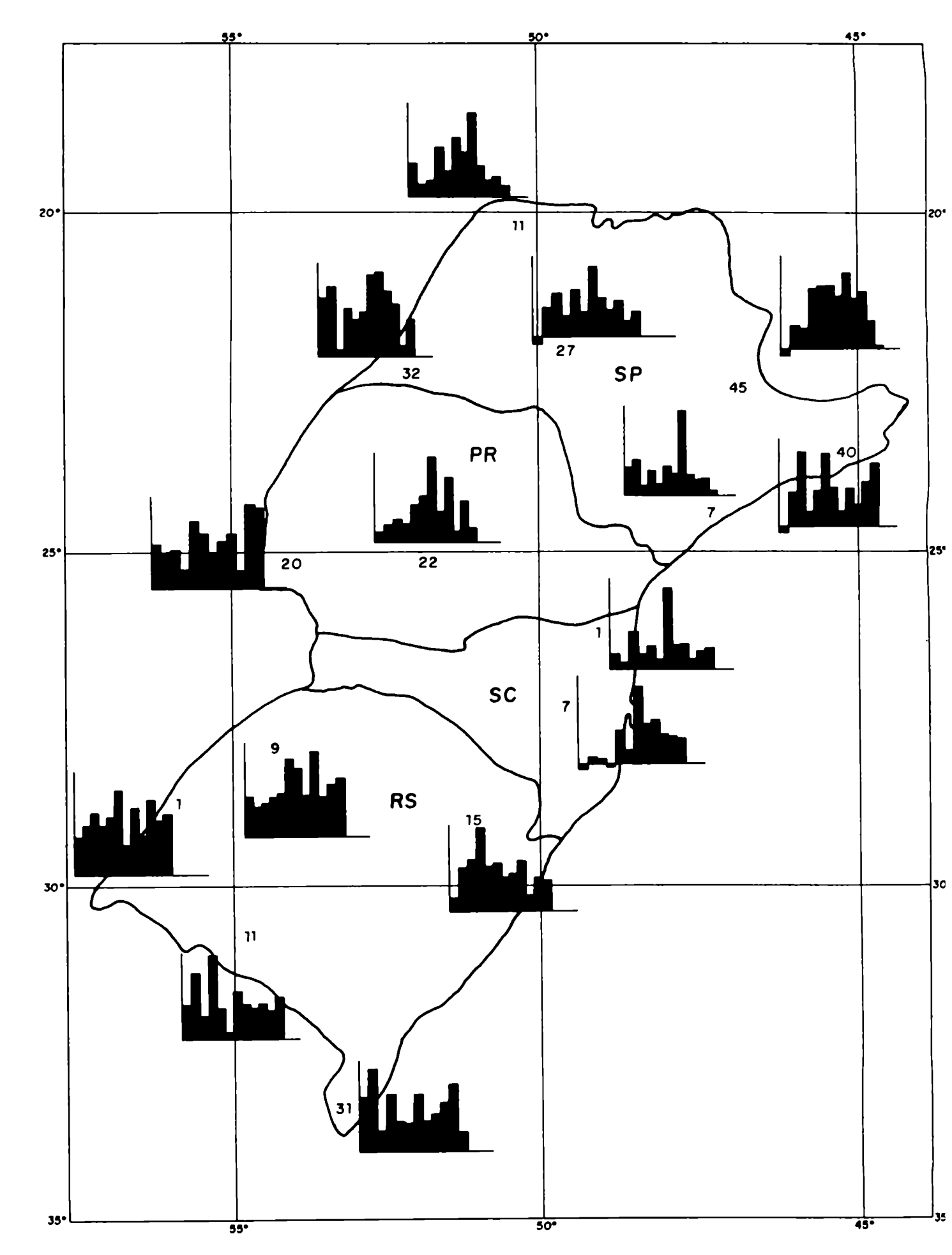


Figura 36 - Estructura de la asimetria para distintas estaciones del Brasil Meridional.

ANEXO V

Análisis Armonicas de la Series

Una de las aplicaciones más importantes de las técnicas analíticas desarrolladas por Fourier es representar una función por una suma de funciones periódicas.

En el análisis de Fourier las funciones periódicas usadas son senos y cosenos. Consideremos una función discreta. Podemos suponer que deriva de una función continua S(t) de duración T, tomando una muestra de valores espaciados en Δ . Se toman N = T/ Δ siendo SR = S(t = $r\Delta$). Por conveniencia se supone que N es par e igual 2n.

Sea la serie finita de Fourier:

$$S(t) = A_0 + 2\sum_{m=1}^{n-1} (Am\cos 2\pi m f t + B_m \sin 2\pi m f t) + A_n \cos 2\pi n f t$$

f =1/N frecuencia fundamental de la función S(t) y corresponde a un período igual a la longitud mas larga de la función. S(t) tiene N constantes, las A_m y B_m que pueden ser determinadas pues S(t) = SR en los puntos t = $r\Delta$. Para cada t = $r\Delta$ se tiene una ecuación, o sea tenemos un conjunto de N ecuaciones con N incógnitas.

Las expresiones finales, (Jenkins, 1968) para los coeficientes A_{m} y B_{m} teniendo en cuenta que las funciones seno y coseno son ortogonales son:

$$A_m = \frac{1}{N} \sum SR \cos(2\pi mr) / N$$

$$m = 0, 1n$$

$$B_m = \frac{1}{m} \sum SR \operatorname{sen}(2\pi \, mr) / N$$

A₀ es el promedio de los SR.

S_i N es impar el término de A_n desaparece.

Hay otras manera de escribir S(t):

$$S(t) = R_0 + S \sum_{m} R_m \cos(2\pi m f t + \theta_m) + R_n \cos 2\pi n f t$$

siendo $R_m^2 = A_m^2 + B_m^2$ y $\theta_m = \arctan(-B_m/A_m)$ donde R_m es la amplitud y θ_m la fase inicial.

El análisis de Fourier aplicado a una serie permite conocer que parte de la varianza explica cada uno de los armónicos que la componen. Para ello se puede tener en cuenta el teorema de Parseval (Jenkins, 1968) que expresa:

$$\sigma^2 = \frac{1}{N} \sum_{r}^{N} (SR - R_0)^2 = 2 \sum_{m}^{n-1} R_m^2 + R_n^2$$

donde R_m es la amplitud del m - esimo armónico.

A partir de la expresión anterior la varianza explicada por cada armónico puede ser expresada como:

$$\sigma_{\exp m} = \frac{2R_m^2}{\sigma}$$

siendo σ_{expm} la varianza explicada por el m - esimo armónico σ la varianza total de la serie.

De todas las ondas periódicas encontradas por el método de Fourier algunas pueden ser significativamente reales y otras pueden representar "ruido". Es interesante entonces "testear" su grado de significancia con algún nivel estadístico

de probabilidad. Para esto se puede aplicar el "test de significancia para amplitudes" de cada armónico (Brooks, 1953).

Los graficos a seguir presentan la variabilidad de las series de precipitaciones de Bananal (22:41; 44:19), Candido Mota (22:53; 50:20), Ilhabela (23:47; 45:21), Campos de Jordão (22:42; 46:46), Morretes (25:28; 48:50), Veu de Noiva (25:26; 48:57), Foz de Iguaçu (25:41; 54:26), Guarapuava (25:38; 51:58), Rio Pouso (28:25; 49:06), Xanxerê (26:51; 52:24), Campina da Alegria (26:52; 51:41), Mato Costas (26:29; 51:10), Uruguaiana (29;45;56:31), Alto Uruguai (27:16; 54:00), Bom Jesus (28:40; 50:26) y S. V. do Palmar (33:31; 53:12).

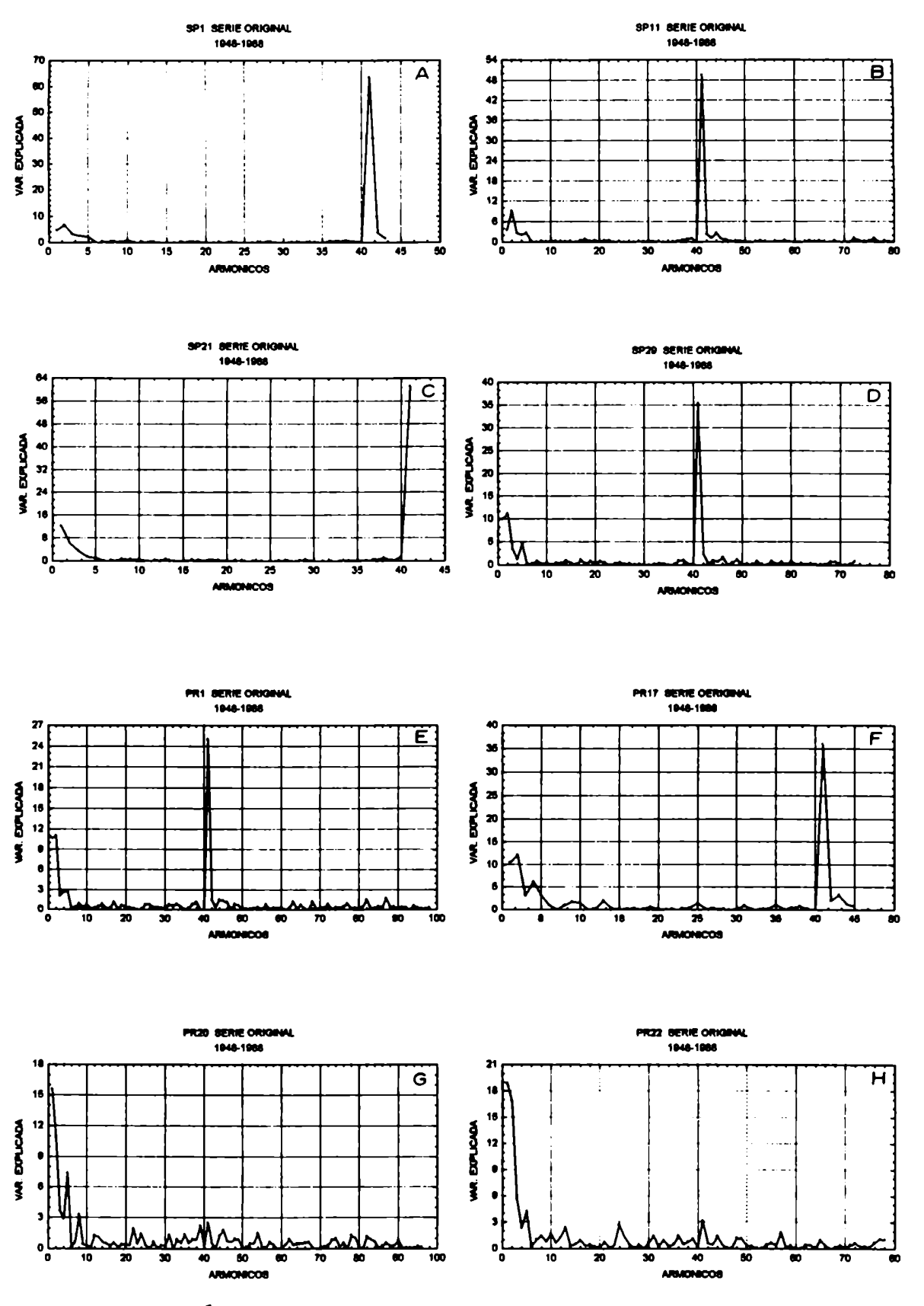


Figura 37 - Análisis armonico de las series originales de precipitaciones total mensual de San Pablo y Paraná.

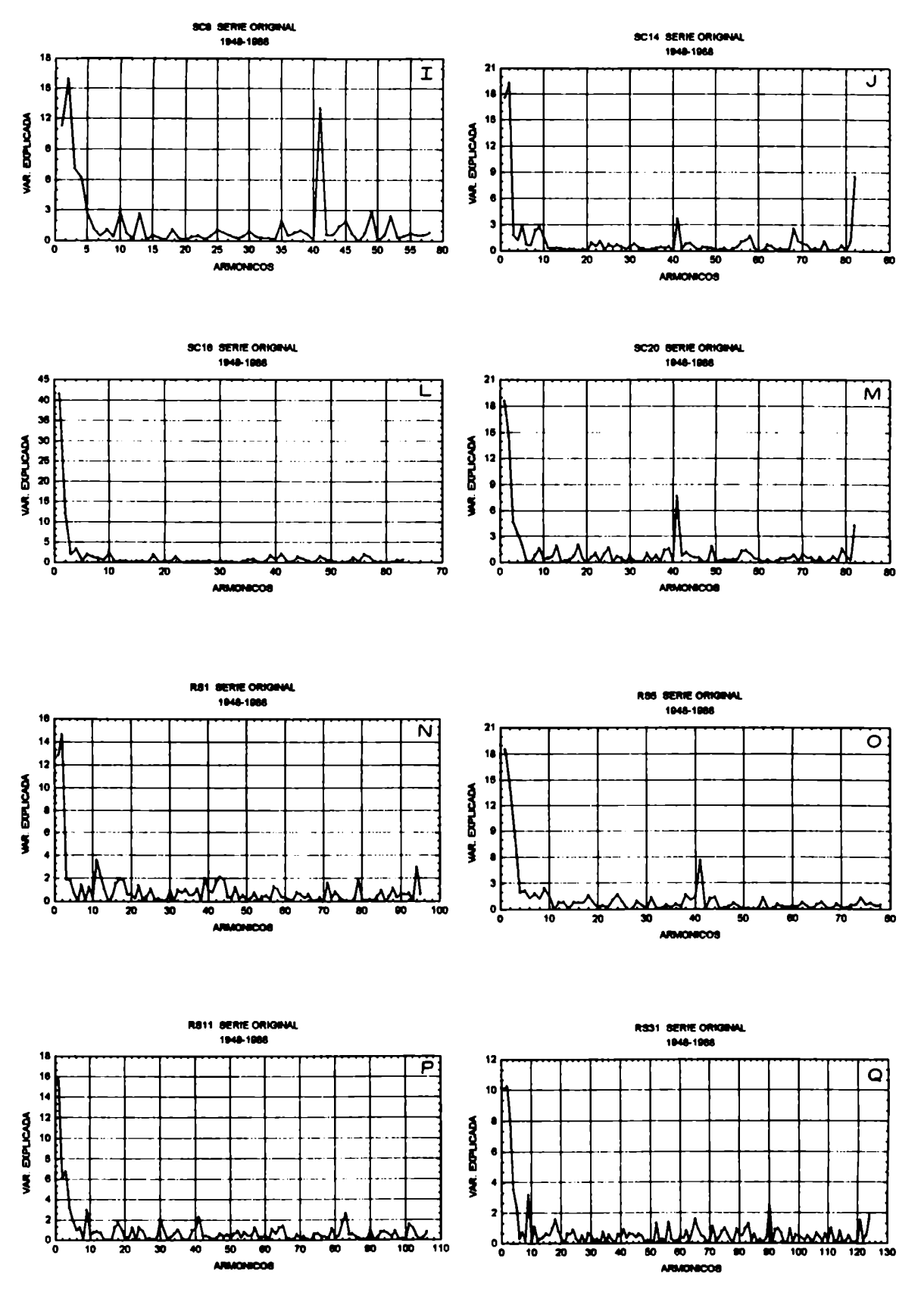


Figura 38 - Análisis armonico de las series originales de precipitaciones de Santa Catarina y Rio Grande del Sur.

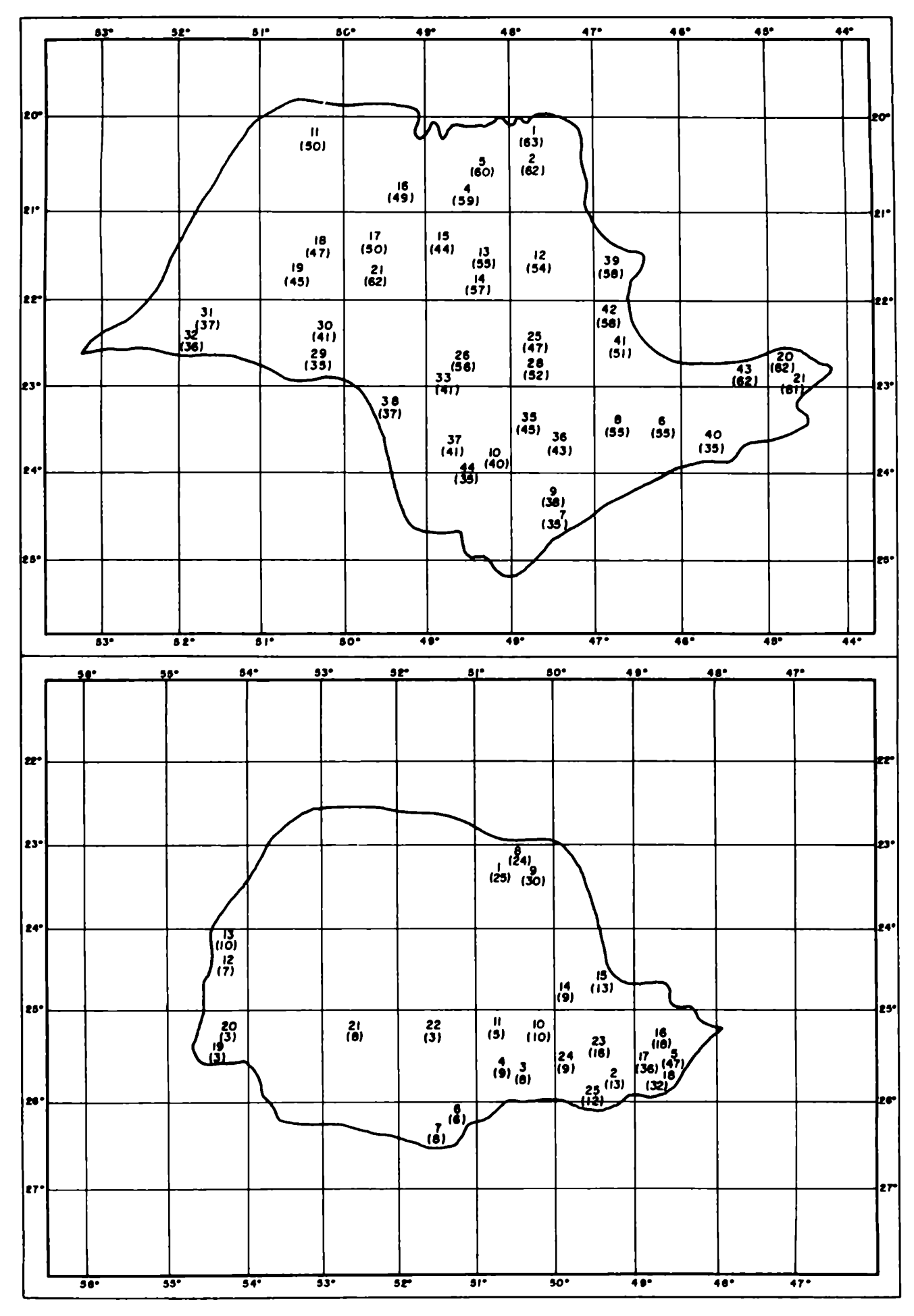


Figura 39 - Distribución espacial de los armonicos representativos de la onda anual.

Los números entre parentesis representan la varianza explicada del armonico de la onda anual para las provincias de San Pablo y Paraná.

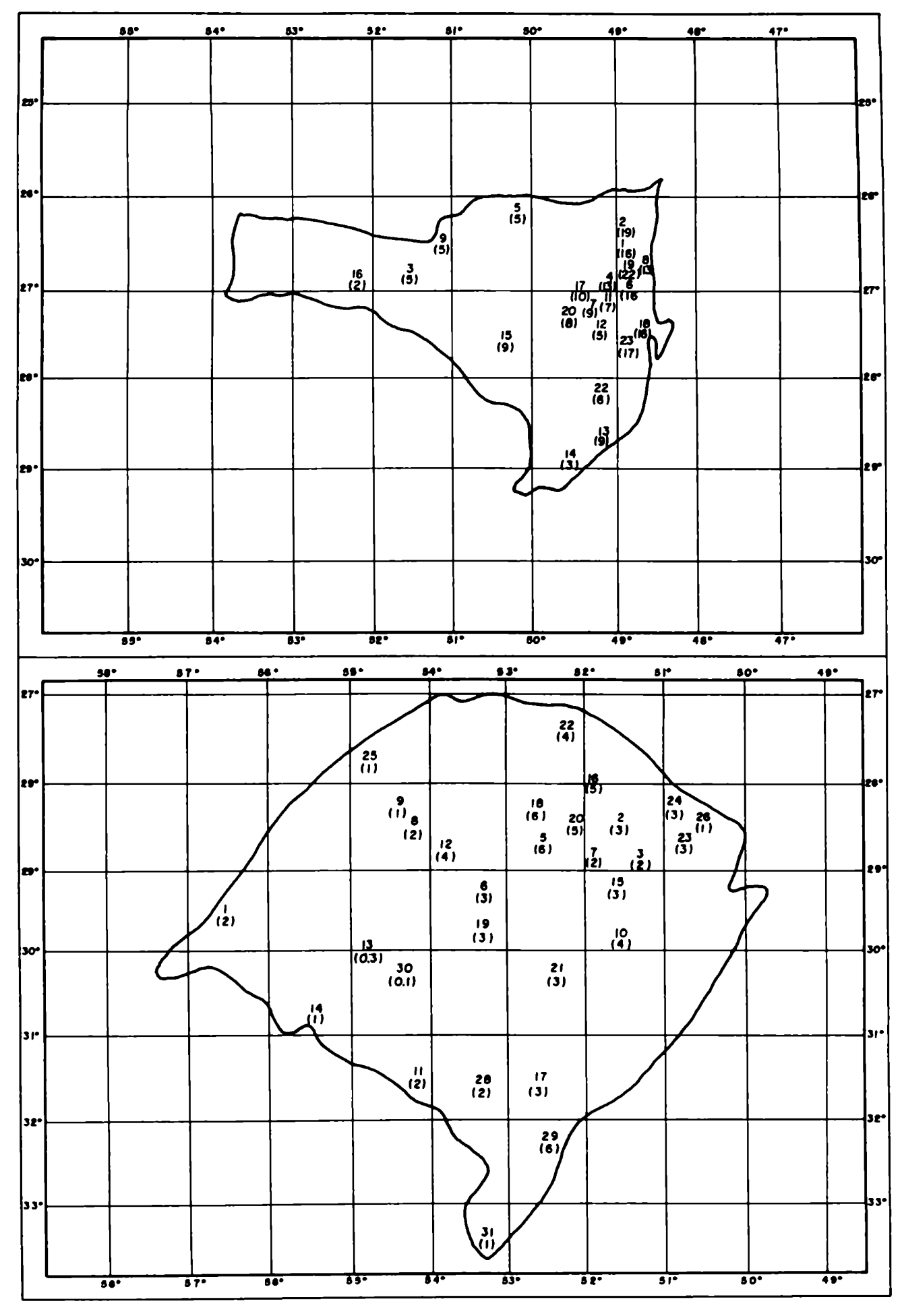


Figura 40 - Distribución espacial de los armonicos representativos de la onda anual. Los números entre parentesis representan la varianza explicada del armonico de la onda anual para las provincias de Santa Catarina y Rio Grande del Sur.

ANEXO VI

| Por | centaje d | e Precipi | tación, pe | ríodo 48- | -88, en re | lación a | o prome | dio de est | e períod | o (San P | ablo) |
|------|-----------|-----------|------------|-----------|------------|----------|---------|------------|----------|----------|-------|
| | EFM | FMA | MAM | AMJ | MJJ | JJA | JAS | ASO | SON | OND | DEF |
| | (%) | (%) | (%) | (%) | (%) | (%) | (%) | (%) | (%) | (%) | (%) |
| SP1 | 44 | 32 | 20 | 11 | 6 | 3 | 5 | 14 | 26 | 40 | 50 |
| SP2 | 44 | 32 | 21 | 10 | 6 | 4 | 6 | 8 | 26 | 40 | 50 |
| SP3 | 45 | 33 | 22 | 12 | 8 | 7 | 8 | 15 | 24 | 35 | 47 |
| SP4 | 46 | 32 | 20 | 10 | 7 | 4 | 6 | 13 | 25 | 39 | 51 |
| SP5 | 46 | 33 | 21 | 10 | 7 | 4 | 6 | 14 | 25 | 38 | 50 |
| SP6 | 43 | 31 | 21 | 14 | 11 | 9 | 10 | 17 | 23 | 33 | 46 |
| SP7 | 42 | 34 | 26 | 18 | 14 | 12 | 13 | 18 | 21 | 27 | 41 |
| SP8 | 41 | 30 | 21 | 14 | 11 | 9 | 9 | 16 | 25 | 36 | 45 |
| SP9 | 40 | 33 | 26 | 18 | 15 | 13 | 14 | 19 | 22 | 28 | 40 |
| SP10 | 41 | 30 | 22 | 15 | 14 | 11 | 12 | 19 | 24 | 33 | 43 |
| SP11 | 43 | 31 | 22 | 13 | 9 | 6 | 8 | 16 | 25 | 36 | 47 |
| SP12 | 43 | 30 | 20 | 12 | 9 | 7 | 8 | 16 | 25 | 37 | 49 |
| SP13 | 44 | 31 | 20 | 12 | 9 | 7 | 8 | 14 | 23 | 37 | 51 |
| SP14 | 43 | 31 | 20 | 12 | 9 | 7 | 7 | 14 | 24 | 38 | 50 |
| SP15 | 42 | 31 | 20 | 14 | 11 | 8 | 9 | 16 | 23 | 35 | 49 |
| SP16 | 43 | 30 | 21 | 13 | 10 | 7 | 8 | 15 | 24 | 39 | 48 |
| SP17 | 43 | 30 | 20 | 12 | 10 | 7 | 8 | 15 | 23 | 36 | 48 |
| SP18 | 45 | 31 | 22 | 13 | 9 | 6 | 7 | 15 | 24 | 35 | 47 |
| SP19 | 40 | 29 | 22 | 15 | 12 | 8 | 9 | 17 | 25 | 36 | 45 |
| SP20 | 44 | 33 | 22 | 12 | 8 | 7 | 8 | 15 | 23 | 36 | 47 |
| SP21 | 42 | 32 | 23 | 13 | 8 | 7 | 8 | 15 | 24 | 37 | 46 |
| SP22 | 44 | 33 | 22 | 12 | 8 | 7 | 8 | 16 | 24 | 35 | 46 |
| SP23 | 43 | 32 | 22 | 13 | 8 | 7 | 8 | 15 | 23 | 36 | 47 |
| SP24 | 40 | 29 | 21 | 14 | 11 | 9 | 10 | 17 | 25 | 35 | 45 |
| SP25 | 45 | 33 | 22 | 13 | 10 | 8 | 8 | 15 | 22 | 33 | 49 |
| SP26 | 43 | 31 | 21 | 13 | 10 | 8 | 8 | 15 | 22 | 34 | 49 |
| SP27 | 41 | 30 | 22 | 15 | 12 | 9 | 10 | 17 | 24 | 34 | 45 |
| SP28 | 43 | 30 | 22 | 14 | 11 | 8 | 9 | 16 | 23 | 34 | 47 |
| SP29 | 37 | 30 | 23 | 18 | 15 | 12 | 11 | 18 | 24 | 33 | 41 |
| SP30 | 40 | 29 | 22 | 15 | 12 | 9 | 9 | 16 | 24 | 35 | 45 |
| SP31 | 40 | 30 | 22 | 16 | 13 | 10 | 10 | 17 | 25 | 34 | 44 |
| SP32 | 39 | 28 | 25 | 16 | 14 | 11 | 11 | 19 | 26 | 33 | 42 |
| SP33 | 39 | 29 | 22 | 16 | 14 | 11 | 11 | 18 | 24 | 33 | 43 |
| SP34 | 44 | 32 | 23 | 13 | 9 | 7 | 8 | 15 | 23 | 34 | 46 |
| SP35 | 40 | 29 | 21 | 15 | 12 | 10 | 10 | 18 | 24 | 35 | 45 |
| SP36 | 41 | 30 | 22 | 15 | 12 | 10 | 10 | 18 | 23 | 33 | 44 |
| SP37 | 39 | 29 | 21 | 15 | 14 | 12 | 12 | 18 | 24 | 33 | 43 |
| SP38 | 36 | 29 | 23 | 18 | 15 | 12 | 12 | 18 | 24 | 34 | 40 |
| SP39 | 43 | 30 | 20 | 12 | 8 | 6 | 7 | 14 | 24 | 38 | 49 |
| SP40 | 41 | 36 | 30 | 21 | 15 | 12 | 11 | 15 | 18 | 26 | 39 |
| SP41 | 42 | 29 | 19 | 13 | 10 | 9 | 9 | 16 | 24 | 36 | 48 |
| SP42 | 42 | 30 | 21 | 12 | 9 | 6 | 7 | 15 | 23 | 38 | 49 |
| SP43 | 43 | 33 | 24 | 12 | 7 | 6 | 8 | 15 | 24 | 36 | 46 |
| SP44 | 39 | 29 | 22 | 17 | 15 | 13 | 13 | 19 | 24 | 31 | 42 |
| SP45 | 45 | 31 | 20 | 12 | 8 | 6 | 7 | 14 | 23 | 35 | 50 |

Tabla 5 - Tablas del porcentaje de todos los meses para algunas estaciones y las combinaciones de 3 meses: periodo seco (mayo/julio) y periodo húmedo (diciembre/febrero); combinación de 6 meses. Además se calculó el porcentaje de periodos de 3 meses consecutivos.

| SP1 18 SP2 17 SP3 17 SP4 18 | 8 15 7 15 | 11 | (%) | (%) | (%) | (%) | (%) | (0/.) | /0/\ | /0/\ | (0/) |
|--------------------------------------|--------------|----|---------------|-----|-------|-------|----------|-------|------|------|------|
| SP2 17 SP3 17 | 7 15 | | $\overline{}$ | | ~~/~/ | 17.07 | [(70) | (%) | (%) | (%) | (%) |
| SP3 17 | | | 6 | 3 | 2 | 1 | 1 | 3 | 10 | 12 | 18 |
| | | 12 | 5 | 3 | 2 | 1 | 1 | 3 | 10 | 12 | 18 |
| SP4 18 | 7 15 | 13 | 5 | 4 | 3 | 2 | 2 | 4_ | 8 | 12 | 15_ |
| | 8 16 | 11 | 5 | 4 | 2 | _1 | 1 | 3 | 9 | 13 | 17 |
| SP5 18 | 8 16 | 12 | 5 | 3 | 2 | 1 | 1 | 3 | 10 | 12 | 17 |
| SP6 17 | 7 15 | 11 | 5 | 5 | 4_ | 2 | 3 | 5 | 9 | 9 | 14 |
| SP7 15 | 5 14 | 12 | 7_ | 6 | 4 | 4 | 4 | 6 | 8 | 7 | 12 |
| SP8 16 | 6 14 | 11 | 5 | 5 | 4 | 2 | 3_ | 4 | 9 | 12 | 15 |
| SP9 14 | 4 13 | 12 | 8 | 6 | 5 | 4 | 4 | 6 | 9 | 7 | 12 |
| SP10 15 | 5 14 | 11 | 4 | 6 | 5 | 3 | 3 | 5 | 11 | 8 | 14 |
| SP11 18 | 3 14 | 11 | 6 | 4 | 3 | 2 | 2 | 4 | 10 | 11 | 15 |
| SP12 18 | | 11 | 5 | 4 | 3 | 2 | 2 | 4 | 10 | 11 | 17_ |
| SP13 17 | 7 15 | 11 | 5 | 4 | 3 | 2 | 2 | 4 | 8 | 11 | 18 |
| SP14 17 | | 11 | 5 | 4 | 3 | 17 | 19 | 4 | 9_ | 12 | 18 |
| SP15 17 | 7 15 | 10 | 5 | 5 | 3 | 2 | 2 | 4 | 9 | 10 | 16 |
| SP16 18 | 3 14 | 11 | 5 | 5 | 3 | 2 | 2 | 4 | 10 | 10_ | 16 |
| SP17 18 | 3 14 | 11 | 5_ | 5 | 3 | 2 | 2 | 4 | 9 | 11_ | 17 |
| SP18 19 | 9 14 | 12 | 5 | 5 | 3 | 2 | 2 | 4 | 9 | 11 | 15 |
| SP19 16 | 3 13 | 10 | 5 | 6 | 4 | 2 | 2 | 4 | 10 | 11 | 16 |
| SP20 16 | 5 15 | 13 | 6 | 4 | 2 | 2 | 3 | 4 | 8 | 11 | 16 |
| SP21 17 | | 12 | 7 | 4 | 2 | 2 | 3 | 4 | 9 | 12 | 16 |
| SP22 17 | | 13 | 6 | 4 | 3 | 2 | 2 | 4 | 9 | 11 | 15 |
| SP23 16 | 5 15 | 12 | 7 | 4 | 3 | 2 | 2 | 4 | 9 | 11 | 17 |
| SP24 17 | | 10 | 6 | 5 | 4 | 2 | 3 | 5 | 10 | 11 | 15 |
| SP25 18 | 3 16 | 12 | 5 | 5 | 3 | 2 | 2 | 4 | 9 | 10 | 15 |
| SP26 17 | 7 15 | 11 | 5 | 5 | 3 | 2 | 2 | 4 | 9 | 10 | 16 |
| SP27 16 | 5 15 | 10 | 5 | 6 | 4 | 3 | 3 | 5 | 10 | 10 | 14 |
| SP28 18 | 3 14 | 11 | 5_ | 5 | 4 | 2 | 3 | 4 | 9 | 10 | 14 |
| SP29 13 | 3 14 | 10 | 6 | 6 | 6 | 3 | 3 | 5 | 10 | 9 | 14 |
| SP30 16 | 3 13 | 10 | 6 | 6 | 4 | 3 | 2 | 5 | 10 | 10 | 16 |
| SP31 16 | 5 14 | 10 | 5 | 6 | 5 | 3 | 3 | 5 | 10 | 10 | 13 |
| SP32 16 | 3 13 | 9 | 5 | 6 | 5 | 3 | 3 | 5 | 11 | 10 | 13 |
| SP33 15 | 5 14 | 11 | 5 | 6 | 5 | 3 | 3 | 5 | 10 | 9 | 15 |
| SP34 17 | | 13 | 6 | 4 | 3 | 2 | 3 | 4 | 9 | 10 | 16 |
| SP35 16 | | 10 | 5 | 5 | 4 | 2 | 3 | 5 | 10 | 9 | 16 |
| SP36 16 | 3 14 | 11 | 5 | 6_ | 4 | 3 | 3 | 5 | 10 | 9 | 15 |
| SP37 15 | | 11 | 4 | 6 | 5_ | 4 | 3 | 6 | 10 | 9 | 14 |
| SP38 13 | 3 12 | 10 | 6 | 6 | 5 | 3 | 3 | 5 | 10 | 9 | 15 |
| SP39 18 | | 11 | 5 | 4 | 2 | 2 | 2 | 4 | 9 | 12 | 18 |
| SP40 15 | | 14 | 10 | 7 | 5 | 3 | 4 | 4 | 7 | 7 | 12 |
| SP41 17 | | 10 | 5 | 4 | 4 | 2 | 3 | 4 | 10 | 10 | 16 |
| SP42 17 | 7 13 | 11 | 5 | 4 | 3 | 2 | 2 | 4 | 9 | 11 | 18 |
| SP43 16 | 3 13 | 14 | 6 | 4 | 2 | 2 | 3 | 4 | 9 | 12 | 16_ |
| SP44 15 | 5 14 | 10 | 5 | 6 | 5 | 4 | 4 | 6 | 10 | 8 | 13 |
| SP45 18 | 3 15 | 12 | 5 | 4 | 3 | 2 | 2 | 4 | 9 | 10 | 17 |

Tabla 5 - (continuación del anexo V)

| | EFM | FMA | pitación, p MAM | AMJ | MJJ | JJA | JAS | ASO | SON | OND | DEF |
|------|-----|-----|--------------------|-----|-----|-----|-----|-----|-----|-----|-----|
| | (%) | (%) | (%) | (%) | (%) | (%) | (%) | (%) | (%) | (%) | (%) |
| Pr1 | 33 | 27 | 23 | 20 | 17 | 13 | 14 | 20 | 26 | 33 | 38 |
| Pr2 | 31 | 25 | 22 | 20 | 20 | 19 | 21 | 24 | 25 | 28 | 34 |
| Pr3 | 27 | 24 | 23 | 22 | 22 | 20 | 22 | 26 | 28 | 29 | 29 |
| Pr4 | 29 | 25 | 23 | 21 | 21 | 19 | 22 | 26 | 28 | 29 | 29 |
| Pr5 | 41 | 34 | 26 | 17 | 14 | 13 | 14 | 18 | 23 | 28 | 39 |
| Pr6 | 26 | 24 | 23 | 22 | 22 | 21 | 23 | 26 | 28 | 29 | 28 |
| Pr7 | 27 | 24 | 23 | 22 | 23 | 21 | 23 | 26 | 28 | 28 | 28 |
| Pr8 | 35 | 29 | 23 | 20 | 16 | 13 | 13 | 20 | 26 | 33 | 38 |
| Pr9 | 35 | 29 | 24 | 19 | 16 | 12 | 12 | 19 | 25 | 33 | 39 |
| Pr10 | 30 | 26 | 23 | 22 | 22 | 19 | 19 | 23 | 26 | 28 | 31 |
| Pr11 | 27 | 24 | 23 | 23 | 23 | 20 | 21 | 26 | 29 | 29 | 28 |
| Pr12 | 26 | 25 | 25 | 24 | 21 | 17 | 18 | 25 | 30 | 31 | 28 |
| Pr13 | 27 | 25 | 25 | 24 | 21 | 16 | 16 | 24 | 29 | 33 | 31 |
| Pr14 | 33 | 26 | 23 | 21 | 20 | 18 | 19 | 22 | 25 | 28 | 34 |
| Pr15 | 32 | 25 | 21 | 20 | 19 | 18 | 18 | 23 | 26 | 30 | 34 |
| Pr16 | 36 | 29 | 23 | 19 | 18 | 17 | 17 | 21 | 18 | 28 | 36 |
| Pr17 | 41 | 34 | 26 _ | 18 | 15 | 14 | 15 | 19 | 23 | 26 | 38 |
| Pr18 | 31 | 27 | 23 | 18 | 16 | 15 | 18 | 25 | 30 | 33 | 32 |
| Pr19 | 26 | 25 | 24 | 24 | 22 | 20 | 21 | 25 | 28 | 29 | 27 |
| Pr20 | 26 | 26 | 25 | 25 | 22 | 20 | 21 | 26 | 29 | 29 | 26 |
| Pr21 | 28 | 26 | 22 | 23 | 21 | 20 | 20 | 25 | 29 | 29 | 30 |
| Pr22 | 27 | 24 | 23 | 24 | 23 | 22 | 21 | 26 | 28 | 27 | 27 |
| Pr23 | 32 | 26 | 22 | 20 | 20 | 19 | 19 | 23 | 25 | 28 | 34 |
| Pr24 | 31 | 25 | 22 | 21 | 22 | 20 | 21 | 24 | 25 | 27 | 32 |
| Pr25 | 30 | 25 | 22 | 20 | 21 | 20 | 22 | 25 | 26 | 28 | 32 |

Tabla 5 - (continuación del anexo V)

| | Ε | F | М | Α | М | J | J | Α | S | 0 | N | D |
|------|-----|-----|-----|-----|-----|-----|-----|-----|-----|-----|------|-----|
| | (%) | (%) | (%) | (%) | (%) | (%) | (%) | (%) | (%) | (%) | (%)_ | (%) |
| PR1 | 13 | 12 | 9 | 7 | 7 | 6 | 4 | 4 | 6 | 10 | 10 | 13 |
| PR2 | 12 | 11 | 9 | 6 | 7 | 7 | 6 | 6 | 8 | 9 | 7 | 11 |
| PR3 | 11 | 8 | 8 | 7 | 8 | 7 | 7 | 6 | 9 | 11 | 8 | 10 |
| PR4 | 10 | 9 | 9 | 7 | 7 | 7 | 6 | 6 | 9 | 11 | 9 | 10 |
| PR5 | 14 | 14 | 14 | 7 | 5 | 5 | 4 | 4_ | 6 | 8 | 8 | 11 |
| PR6 | 9 | 9 | 8 | 7 | 9 | 7 | 7 | 7 | 9 | 10 | 8 | 10 |
| PR7 | 10 | 9 | 8 | 7 | 8 | 8 | 7 | 7 | 9 | 11 | 8 | 9 |
| PR8 | 13 | 12 | 9 | 8 | 6 | 6 | 4 | 3 | 6 | 10 | 10 | 13 |
| PR9 | 14 | 12 | 10 | 7 | 7 | 6 | 4 | 3 | 5 | 10 | 10 | 13 |
| PR10 | 11 | 11 | 10 | 6 | 8 | 8 | 6 | 5 | 8 | 10 | 8 | 10 |
| PR11 | 10 | 9 | 8 | 7 | 8 | 8_ | 7 | 5 | 9 | 11 | 8 | 10 |
| PR12 | 10 | 9 | 8 | 8 | 9 | 7 | 5 | 5 | 8 | 12 | 9 | 9 |
| PR13 | 10 | 10 | 7 | 8 | 9 | 7 | 5 | 5 | 7 | 12 | 10 | 11 |
| PR14 | 14 | 10 | 9 | 6 | 7 | 7 | 6 | 5 | 8 | 9 | 8 | 10 |
| PR15 | 13 | 10 | 9 | 6 | 7 | 7 | 6 | 5 | 8 | 10 | 8 | 11 |
| PR16 | 13 | 12 | 11 | 6 | 6 | 7 | 5 | 5 | 7 | 9 | 8 | 11 |
| PR17 | 14 | 14 | 13 | 7 | 6 | 5 | 4 | 4 | 6 | 8 | 8 | 10 |
| PR18 | 11 | 9 | 11 | 7 | 6 | 5 | 5 | 5 | 9 | 12 | 10 | 11 |
| PR19 | 9 | 9 | 8 | 8 | 8 | 7 | 7 | 6 | 8 | 11 | 9 | 9 |
| PR20 | 9 | 9 | 9 | 8 | 8 | 8 | 6 | 6 | 9 | 12 | 8 | 9 |
| PR21 | 11 | 10 | 8 | 8 | 7 | 8 | 6 | 6 | 9 | 11 | 9 | 9 |
| PR22 | 10 | 9 | 8 | 7 | 8 | 9 | 7 | 6 | 9 | 10 | 8 | 8 |
| PR23 | 12 | 11 | 9 | 6 | 7 | 7_ | 6 | 5 | 8 | 9 | 8 | 11 |
| PR24 | 11 | 11 | 9 | 6 | 8 | 7 | 7 | 6 | 8 | 9 | 8 | 10 |
| PR25 | 11 | 11 | 9 | 6 | 7 | 7 | 7 | 6 | 9 | 10 | 8 | 10 |
| SC1 | 11 | 12 | 11 | 7 | 6 | 6 | 6 | 6 | 8 | 9 | 8 | 10 |
| SC2 | 13 | 12 | 10 | 6 | 6 | 5 | 6 | 6 | 8 | 10 | 8 | 10 |
| SC3 | 9 | 9 | 8 | 7 | 8 | 8 | 7 | 8 | 10 | 10 | 8 | 8 |
| SC4 | 11 | 11 | 9 | 6 | 6 | 6 | 6 | 7 | 9 | 10 | 8 | 10 |
| SC5 | 11 | 8 | 8 | 6 | 7 | 7 | 7 | 7 | 10 | 11 | 9 | 8 |
| SC6 | 12 | 12 | 10 | 7 | 6 | 6 | 6 | 6 | 9 | 9 | 8 | 10 |
| SC7 | 11 | 10 | 9 | 6 | 7 | 7 | 7 | 7 | 9 | 10 | 7 | 10 |
| SC8 | 11 | 12 | 10 | 7 | 7 | 6 | 6 | 6 | 8 | 10 | 8 | 9 |
| SC9 | 9 | 10 | 9 | 7 | 8 | 7 | 6 | 7 | 9 | 11 | 8 | 9 |
| SC11 | 10 | 10 | 8 | 6 | 7 | 7 | 7 | 88 | 9 | 10 | 7 | 10 |
| SC12 | 15 | 16 | 16 | 17 | 18 | 20 | 22 | 24 | 27 | 31 | 39 | 35 |
| SC13 | 10 | 13 | 11 | 7 | 6 | 5 | 6 | 7 | 9 | 9 | 8 | 9 |
| SC14 | 10 | 11 | 11 | 6 | 6 | 7 | 7 | 9 | 10 | 9 | 8 | 8 |
| SC15 | 10 | 10_ | 8 | 6 | 8 | 7 | 8 | 8 | 9 | 11 | 8 | 9 |
| SC16 | 10 | 9 | 8 | 8 | 8 | 8 | 7 | 8 | 9 | 11 | 7 | 8 |
| SC17 | 11 | 11 | 9 | 6 | 7 | 6 | 6 | 7 | 9 | 10 | 7 | 10 |
| SC18 | 11 | 12 | 10 | 6 | 6 | 5 | 6 | 7 | 9 | 9 | 8 | 10 |
| SC19 | 12 | 12 | 10 | 7 | 6 | 6 | 6 | 6 | 8 | 10 | 8 | 10 |
| SC20 | 11 | 11 | 9 | 6 | 7 | 6 | 7 | 8 | 10 | 10 | 7 | 9 |
| SC21 | 11 | 12 | 10 | 6 | 6 | 6 | 6 | 6 | 9 | 9 | 8 | 9 |
| SC22 | 11 | 10 | 8 | 6 | 6 | 7 | 8 | 9 | 9 | 10 | 7 | 9 |
| SC23 | 12 | 12 | 11 | 6 | 6 | 5 | 6 | 7_ | 8 | 9 | 8 | 10 |

Tabla 5 - (continuación del anexo V)

| | E | F | M | Α | M | J | J | Α | S | 0 | N | D |
|--------------|-----|-----|-----|-----|-----|-----|-----|-----|-----|-----|-----|-----|
| | (%) | (%) | (%) | (%) | (%) | (%) | (%) | (%) | (%) | (%) | (%) | (%) |
| RS1 | 8 | 8 | 10 | 9 | 10 | 9 | 8 | 6 | 9 | 8 | 7 | 7 |
| RS2 | 9 | 9 | 7 | 7 | 7 | 8 | 8 | 9 | 11 | 9 | 7 | 9 |
| RS3 | 8 | 9 | 8 | 7 | 6 | 9 | 8 | 10 | 10 | 9 | 7 | 8 |
| RS5 | 9 | 8 | 7 | 7 | 7 | 8 | 8 | 10 | 11 | 10 | 7 | 8 |
| RS6 | 9 | 7 | 7 | 8 | 7 | 9 | 8 | 8 | 11 | 10 | 8 | 8 |
| RS7 | 8 | 8 | 8 | 7 | 7 | 10 | 8 | 10 | 11 | 9 | 7 | 8 |
| RS8 | 7 | 10 | 10 | 11 | 11 | 11 | 10 | 9 | 13 | 12 | 10 | 10 |
| RS9 | 8 | 8 | 7 | 9 | 9 | 11 | 7 | 9 | 9 | 9 | 9 | 6 |
| RS10 | 8 | 8 | 7 | 7 | 7 | 10 | 9 | 11 | 11 | 9 | 7 | 7 |
| RS11 | 9 | 8 | 8 | 8 | 8 | 8 | 10 | 9 | 11 | 10 | 6 | 6 |
| RS12 | 9 | 8 | 7_ | 8 | 7 | 9 | 8 | 8 | 11 | 10 | 8 | 8 |
| RS13 | 8 | 8 | 9 | 8 | 9 | 9 | 9 | 7 | 10 | 10 | 7 | 6 |
| RS14 | 8 | 8 | 9 | 8_ | 9 | 9_ | 8 | 7 | 10 | 11 | 7 | 7 |
| RS15 | 8 | 8 | 7 | 7 | 6 | 10 | 9 | 10 | 11 | 9 | 8 | 7 |
| RS16 | 9 | 8 | 7 | 7 | 7 | 8 | 8 | 10 | 11_ | 10 | 7 | 8 |
| RS17 | 9 | 8 | 9 | 6 | 7 | 9 | 10 | 9 | 11 | 8 | 6 | 6 |
| RS18 | 8 | 8 | 7 | 8 | 7 | 8 | 8 | 9 | 11 | 10 | 8 | 8 |
| RS 19 | 8_ | 8 | 8 | 7 | 8 | 9 | 9 | 9 | 11 | 10 | 7 | 6 |
| RS20 | 8 | 9 | 7 | 6 | 6 | 8 | 9 | 11 | 11 | 9 | 8 | 8 |
| RS21 | 8 | 8 | 7 | 7 | 9 | 10 | 10 | 9 | 10 | 8 | 6 | 6 |
| RS22 | 8 | 9 | 7 | 6 | 7 | 8 | 8 | 11 | 11 | 11 | 7 | 8 |
| RS23 | 10 | 10 | 9 | 6 | 6 | 8 | 8 | 10 | 11 | 9 | 7 | 8 |
| RS24 | 9 | 9 | 8 | 7 | 7 | 8 | 8 | 9 | 11 | 10 | 7 | 8 |
| RS25 | 9 | 9 | 8 | 7 | 8 | 8 | 8 | 8 | 9 | 10 | 8 | 7 |
| RS26 | 9 | 10 | 9 | 7 | 7 | 7 | 8 | 9 | 10 | 9 | 7 | 8 |
| RS28 | 9 | 8 | 9 | 7 | 8 | 9 | 10 | 9 | 11 | 8 | 6 | 7 |
| RS29 | 8 | 8 | 9 | 6 | 7 | 9 | 11 | 10 | 11 | 9 | 6 | 6 |
| RS30 | 9 | 9 | 9 | 8 | 8 | 8 | 9 | 7 | 10 | 10 | 7 | 7 |
| RS31 | 8 | 8 | 8 | 8 | 7 | 9 | 10 | 8 | 11 | 8 | 7 | 7 |

Tabla 5 - (continuación del anexo V)

| Porcei | ntaje de l | Precipita | ción, perío | odo 48-88 | 3, en rela G. de | | promedic | de este | período (| S. Catari | na y R. |
|--------------|------------|------------|-------------|------------|---------------------|------------|------------|----------|-------------|-------------|------------|
| | EFM (%) | FMA (%) | MAM (%) | AMJ (%) | MJJ (%) | JJA (%) | JAS (%) | ASO (%) | SON (%) | OND (%) | DEF (%) |
| SC1 | 34 | 29 | 23 | 19 | 18 | 18 | 21 | 24 | 25 | 27 | 33 |
| SC2 | 34 | 28 | 22 | 17 | 17 | 17 | 20 | 24 | 26 | 28 | 34 |
| SC3 | 26 | 23 | 22 | 22 | 23 | 23 | 25 | 28 | 29 | 27 | 27 |
| SC4 | 32 | 26 | 22 | 19 | 19 | 20 | 22 | 26 | 26 | 28 | 32 |
| SC5 | 27 | 22 | 22 | 20 | 22 | 22 | 24 | 28 | 29 | 28 | 28 |
| SC6 | 33 | 28 | 23 | 19 | 18 | 18 | 21 | 24 | 26 | 27 | 33 |
| SC7 | 30 | 25 | 22 | 19 | 20 | 21 | 23 | 27 | 27 | 27 | 31 |
| SC8 | 33 | 29 | 24 | 20 | 19 | 18 | 21 | 24 | 26 | 27 | 32 |
| SC9 | 28 | 26 | 24 | 22 | 22 | 21 | 22 | 26 | 28 | 28 | 28 |
| SC11 | 29 | 25 | 21 | 20 | 21 | 22 | 24 | 27 | 27 | 27 | 30 |
| SC12 | 28 | 25 | 21 | 19 | 21 | 23 | 27 | 28 | 27 | 26 | 30 |
| SC13 | 35 | 31 | 24 | 18 | 17 | 18 | 22 | 25 | 25 | 25 | 32 |
| SC14 | 32 | 28 | 23 | 19 | 19 | 22 | 26 | 28 | 26 | 24 | 28 |
| SC15 | 28 | 24 | 21 | 20 | 21 | 23 | 25 | 28 | 28 | 28 | 29 |
| SC16 | 26 | 24 | 23 | 23 | 23 | 23 | 25 | 28 | 28 | 26 | 26 |
| SC17 | 32 | 26 | 21 | 18 | 19 | 20 | 23 | 26 | 27 | 27 | 32 |
| SC18 | 34 | 29 | 23 | 18 | 18 | 19 | 22 | 25 | 26 | 27 | 33 |
| SC19 | 35 | 30 | 23 | 18 | 18 | 17 | 19 | 23 | 25 | 27 | 34 |
| SC20 | 31 | 26 | 22 | 19 | 19 | 21 | 25 | 27 | 28 | 26 | 31 |
| SC21 | 34 | 29 | 23 | 19 | 19 | 19 | 21 | 25 | 26 | 26 | 33 |
| SC22 | 30 | 24 | 20 | 19 | 21 | 23 | 26 | 28 | 25 | 25 | 31 |
| SC23 | 35 | 29 | 23 | 18 | 18 | 18 | 21 | 24 | 25 | 26 | 34 |
| RS1 | 26 | 28 | 29 | 28 | 27 | 23 | 23 | 23 | 24 | 22 | 30 |
| RS2 | 26 | 23 | 21 | 20 | 22 | 25 | 28 | 29 | 27 | 25 | 28 |
| RS3 | 25 | 24 | 21 | 23 | 24 | 27 | 28 | 29 | 26 | 25 | 26 |
| RS5 | 23 | 22 | 22 | 22 | 24 | 26 | 29 | 31 | 28 | 25 | 24 |
| RS6 | 24 | 23 | 22 | 24 | 24 | 25 | 27 | 29 | 28 | 26 | 24 |
| RS7 | 24 | 22 | 21 | 23 | 25 | 28 | 29 | 29 | 27 | 25 | 24 |
| RS8 | 23 | 25 | 25 | 25 | 24 | 24 | 27 | 28 | 28 | 26 | 23 |
| RS9 | 22 | 23 | 25 | 29 | 28 | 27 | 25 | 27 | 27 | 24 | 21 |
| RS10 | 23 | 21 | 20 | 23 | 26 | 30 | 31 | 31 | 27 | 23 | 23 |
| RS11 | 24 | 24 | 23 | 24 | 25 | 27 | 29 | 29 | 27 | 22 | 23 |
| RS12 RS13 | 24 26 | 23 25 | 22 26 | 23 26 | 24 | 25 25 | 27 26 | 29 26 | 28 | 26 | 25 |
| RS14 | 25 | 25 | 26 | 25 | 26 | 24 | 25 | 27 | 26 27 | 23 | 23 |
| RS15 | 23 | 22 | 20 | 23 | 26 | 30 | 31 | 35 | 27 | 24 | 23 |
| RS16 | 25 | 23 | 21 | 22 | 23 | 25 | 28 | 31 | 28 | 25 | 25 |
| RS17 | 25 | 23 | 23 | 23 | 27 | 29 | 30 | 29 | | | 23 |
| RS18 | 23 | 22 | 21 | 22 | 23 | 26 | 29 | 30 | 26 29 | 21 26 | 24 |
| RS19 | 24 | 23 | 22 | 24 | 26 | 27 | 29 | 29 | 27 | 23 | 23 |
| RS20 | 24 | 23 | 20 | 20 | 23 | 27 | 30 | 31 | 28 | 25 | 25 |
| RS21 | 24 | 23 | 24 | 26 | 29 | 29 | 29 | 28 | 25 | 21 | 23 |
| RS22 | 24 | 22 | 20 | 22 | 23 | 26 | 29 | 32 | 29 | 26 | 25 |
| RS23 | 28 | 24 | 21 | 20 | 22 | 27 | 28 | 29 | 27 | 24 | 27 |
| RS24 | 25 | 23 | 21 | 22 | 23 | 25 | 28 | 30 | 27 | 25 | 26 |
| RS25 | 26 | 25 | 24 | 24 | 25 | 24 | 25 | 27 | 27 | 25 | 25 |
| RS26 | 28 | 26 | 23 | 21 | 22 | 24 | 27 | 28 | 26 | 24 | 27 |
| RS28 | 25 | 24 | 24 | 24 | 26 | 27 | 29 | 28 | 26 | 22 | 23 |
| RS29 | 25 | 23 | 22 | 23 | 27 | 30 | 32 | 30 | 26 | 22 | 21 |
| RS30 | 26 | 26 | 25 | 25 | 25 | 24 | 25 | 26 | 26 | 24 | 25 |
| RS31 | 25 | 24 | 23 | 25 | 26 | 27 | 29 | 27 | 26 | 22 | 24 |
| 11001 | 23 | 4 | 1 23 | 1 23 | L 20 | 21 | 123 | 121 | 1 20 | 122 | _ 24 |

Tabla 5 - (continuación del anexo V)

ANEXO VII

| | T | I | | | | | <u> </u> | | | | | | | Ι | | | |
|------|------|--|-------------|--------------|--|----------|----------|--|----------|--|--|--|--------------|----------------|----------------|--|-------------------|
| | AÑOS | SP | SP | SP | SP | PR | PR | PR | PR | SC | sc | SC | sc | RS | RS | RS | RS |
| | ļ | 1 | 5 | 9 | 29 | 1 | 17 | 20 | 22 | 3 | 13 | 21 | 20 | 1_ | 5 | 11 | 31 |
| (01) | 1940 | | + | <u> </u> | <u> - </u> | | | | | | | | | | | | |
| (01) | 1941 | - | - | + | + | | | | | <u> </u> | | | | | | | |
| | 1942 | + | + | <u> </u> | + | | | | | | | | | | | | |
| (02) | 1943 | + | + | | - | | | | | - | - | - | - | | | | |
| | 1944 | <u> </u> | - | - | - | | | L | | - | <u> </u> | | | - | | - | - |
| | 1945 | + | - | - | - | | | | | - | - | - | - | - | - | - | - |
| | 1946 | - | - | - | • | | | | | - | | + | + | + | - | - | + |
| | 1947 | + | + | + | - | | | | | - | - | + | - | - | • | · | - |
| | 1948 | - | - | + | - | - | + | - | • | | | + | + | - | - | + | + |
| | 1949 | + | - | - | • | - | ı | • | • | - | - | - | • | | - | - | + |
| (02) | 1950 | + | + | + | - | - | - | + | - | - | + | + | _ - | - | - | - | + |
| (01) | 1951 | - | - | + | + | - | - | - | - | - | - | - | - | + | - | - | - |
| | 1952 | - | + | - | - | - | - | - | • | - | - | - | - | + | - | - | + |
| (01) | 1953 | - | - | - | - | - | - | - | + | + | - | - | - | - | + | - | + |
| | 1954 | - | - | - | + | - | + | + | + | + | - | + | + | + | + | - | - |
| (02) | 1955 | + | - | - | + | - | - | + | + | + | - | - | - | + | - | - | + |
| (02) | 1956 | + | - | + | + | + | - | + | + | <u>-</u> | - | - | + | + | - | - | - |
| (01) | 1957 | + | + | + | + | + | + | + | + | + | + | + | + | - | + | - | + |
| / | 1958 | + | + | + | + | + | - | - | - | - | + | + | + | + | + | - | + |
| | 1959 | _ | - | - | - | - | - | + | - | - | - | - | _ | + | + | + | + |
| | 1960 | + | - | - | - | + | + | + | _ | - | + | + | - | - | | - | - |
| | 1961 | - | - | + | - | + | + | Η_ | + | + | + | + | + | + | + | + | - |
| | 1962 | - | + | + | - | - | - | - | _ | + | - | - | - | - | - | | _ |
| (01) | 1963 | - | | <u> </u> | - | _ | _ | + | _ | + | _ | - | + | + | + | + | + |
| (02) | 1964 | - - | _ | _ | + | | - | + | + | - | - | - | <u> </u> | - | - | - | <u> </u> |
| (01) | 1965 | + | + | + | + | + | | + | + | + | + | + | + | - | + | + | + |
| (01) | 1966 | + | + | + | <u> </u> | <u> </u> | + | | + | + | + | + | + | + | + | + | + |
| | 1967 | + | + | + | - | - | i - | | ÷ | | ا | + | + | + | - - | + | + |
| | 1968 | Ė | <u> </u> | \vdash | - | | - | <u> </u> | <u> </u> | H | <u> </u> | H | <u> </u> | <u> </u> | - | <u> </u> | '- - |
| (01) | 1969 | | - | - | - | - | + | + | - | - | | + | + | - | - | | <u> </u> |
| (02) | 1970 | ├── | <u> </u> | | + | + | + | | | + | - | | + | + | ┼── | - | - |
| (02) | 1970 | <u> </u> | ŀ÷ | - | | | | + | + | + | + | + | + | | - | <u> </u> | - |
| | 1972 | ┝╼ | + | - | + | - | - | + | + | + | + | + | ├ | - | - | - | - |
| (01) | 1973 | - | + | + | + | + | + | + | + | | + | | + | + | - | + | + |
| (02) | 1973 | + | + | + | + | + | + | + | | + | + | + | + | <u> </u> | + | + | <u> </u> |
| (02) | 1974 | ├- | | - | - | + | _ | _ | - | - | <u> </u> | - | - | <u> </u> | - | - | - |
| (02) | | - | <u>-</u> - | - | - | - | + | - | + | + | + | + | + | - | + | - | - |
| (02) | 1976 | + | + | + | + | + | + | - | \vdash | - | ! | <u> </u> | | - | - | + | + |
| (00) | 1977 | - | - | - | - | + | + | - | - | <u> </u> | + | + | + | + | + | + | + |
| (02) | 1978 | + | + | - | - | - | - | - | - | - | <u> </u> | - | <u> </u> | + | - | - | + |
| | 1979 | + | + | + | - | - | - | + | - | + | - | - | - | - - | + | - | - |
| | 1980 | + | + | + | + | + | + | - | - | + | + | + | + | - | + | + | + |
| (04) | 1981 | - | <u> </u> | - | - | - | + | + | - | <u> </u> | + | <u> </u> | <u> </u> | - | <u> </u> | - | <u> </u> |
| (01) | 1982 | + | + | + | + | + | + | + | + | + | - | + | + | + | + | + | - |
| (01) | 1983 | + | + | + | + | + | + | + | + | + | + | + | + | + | + | + | <u> </u> |
| | 1984 | - | <u> </u> | <u> </u> | - | - | + | - | + | + | + | + | + | + | + | + | + |
| 101: | 1985 | + | - | - | - | - | - | - | - | <u> </u> | + | <u> </u> | <u> </u> | - | - | - | - |
| (01) | 1986 | + | - | <u> </u> | + | - | + | <u> </u> | + | - | + | - | + | + | + | + | + |
| (01) | 1987 | + | - | | + | + | + | + | + | + | + | + | <u> </u> | <u> </u> | + | + | - |
| | 1988 | + | <u> </u> | + | + | <u> </u> | - | - | - | - | <u> </u> | <u> </u> | - | - | - | + | + |
| (02) | 1989 | | | | | + | + | + | + | + | + | + | - | L | | | |
| | 1990 | | | | | - | + | + | + | | | | | | | | |
| | 1991 | | | | | - | - | | - | | L | | | | | | |
| | 1992 | | | | | | | | | | | | | | | | |

(01)Años de El Niño, (02)Años de anti-El Niño

Tabla 6 - Estudio de las precipitaciones para cada año en relación a la media climatológica para cada periodo, en cada provincia.

ANEXO VIII

| AÑOS | ENE | FEB | MAR | ABR | MAY | JUN | JUL | AGO | SEP | OCT | NOV | DEC |
|--------------|---------------|---------------|---------------|----------------|----------------|--------------|---------------|---------------|--------------|--------------|---------------|----------|
| 1940 | -0.01 | 1.03 | -0.56 | -0.40 | -0.44 | -0.84 | -0.73 | -0.56 | -0.57 | -0.09 | 0.68 | -0.65 |
| 1941 | -0.16 | -1.00 | -0.36 | -0.36 | -0.50 | -0.60 | 0.24 | -0.22 | 2.63 | -0.61 | 0.98 | -0.24 |
| 1942 | -0.91 | -0.08 | 0.70 | 0.60 | -0.30 | -0.09 | 0.44 | -0.77 | -0.30 | -0.96 | -0.43 | -0.01 |
| 1943 | 0.43 | -0.35 | 0.20 | -0.72 | -0.88 | -0.27 | -0.77 | -0.36 | 0.11 | 1.04 | -0.50 | -0.51 |
| 1944 | -0.64 | 0.23 | -0.11 | -0.34 | -0.88 | -0.85 | -0.68 | -0.86 | -0.93 | -0.81 | 0.28 | -1.45 |
| 1945 | -0.07 | 0.23 | -0.21 | -0.16 | -0.74 | 1.67 | -0.10 | -0.61 | -0.54 | -0.86 | 0.69 | -0.14 |
| 1946 | 0.41 | -0.06 | 0.15 | -0.69 | -0.64 | -0.03 | 1.29 | -0.74 | -0.50 | -0.22 | -0.37 | -0.76 |
| 1947 | 1.60 | 0.57 | 0.18 | -0.70 | -0.03 | -0.19 | 0.41 | 0.74 | 1.28 | -0.32 | -0.45 | 0.30 |
| 1948 | -0.48 | 0.58 | 0.14 | -0.99 | -0.25 | -0.93 | 0.55 | -0.12 | -0.74 | -0.62 | 0.18 | -0.79 |
| 1949 | -0.13 | 0.03 | 0.06 | -0.04 | -0.09 | -0.13 | -0.70 | -0.59 | -0.98 | 0.79 | -0.76 | 1.07 |
| 1950 | 0.58 | 0.69 | 0.22 | 0.86 | -0.77 | -0.55 | -0.45 | -0.80 | -0.73 | 0.49 | 0.39 | -0.39 |
| 1951 | 1.19 | 0.30 | 0.26 | -0.44 | -0.73 | -0.60 | <u>-0.5</u> 1 | 0.19 | -1.01 | -0.15 | 0.28 | -0.86 |
| 1952 | -0.38 | 0.51 | 0.57 | -0.75 | -0.94 | 1.10 | -0.71 | -0.61 | -0.23 | 0.37 | 0.00 | -0.92 |
| 1953 | -0.42 | -0.62 | -0.37 | 0.29 | -0.04 | -0.32 | 0.00 | -0.13 | 0.06 | -0.22 | -0.10 | -0.55 |
| 1954 | -0.30 | 0.42 | -0.01 | -0.64 | 1.69 | 0.41 | -0.47 | -0.83 | -0.61 | -0.44 | -1.33 | -0.47 |
| 1955 | -0.04 | -0.62 | -0.09 | 0.36 | -0.42 | -0.18 | -0.39 | 0.81 | 1.09 | -0.45 | -0.29 | 0.64 |
| 1956 | -1.30 | 0.02 | -0.63 | 0.56 | 1.43 | 1.18 | 1.01 | 1.12 | 0.43 | -0.18 | -1.44 | -0.40 |
| 1957 | 0.70 | 0.12 | 0.04 | 0.16 | -0.27 | -0.27 | 2.31 | 1.06 | 1.62 | -0.33 | -0.51 | -0.25 |
| 1958 | 0.57 | -0.26 | 0.42 | 0.69 | 1.48 | 0.73 | -0.09 | -0.47 | 0.56 | 0.77 | -0.30 | -0.08 |
| 1959 | 0.73 | -0.51 | 0.15 | -0.01 | -0.40 | -0.65 | -0.79 | 0.90 | -0.64 | -0.58 | 0.21 | -0.30 |
| 1960 | 0.45 | 0.69 | -0.50 | 0.29 | 0.31 | 0.29 | -0.76 | -0.20 | -0.77 | -0.06 | 0.92 | 0.89 |
| 1961 | -0.24 | 0.50 | 0.35 | 0.77 | -0.18 | -0.70 | -0.82 | -0.52 | -0.86 | -0.66 | -0.01 | 0.19 |
| 1962 | -0.44 | 0.23 | 1.16 | -0.74 | -0.54 | -0.04 | -0.30 | 0.35 | -0.21 | 1.72 | -0.93 | 0.73 |
| 1963 | 0.29 | -0.11 | -0.78 | -0.95 | -0.88 | -0.84 | -0.76 | -0.64 | -0.78 | -0.15 | 0.17 | -1.25 |
| 1964 | -0.99 | 1.22 | -1.21 | -0.61 | 0.07 | -0.31 | 0.58 | -0.19 | 0.20 | 0.78 | -0.61 | 1.10 |
| 1965 | 0.93 | 0.68 | 0.00 | 0.09 | 0.53 | -0.14 | 0.94 | -0.50 | 0.18 | 0.90 | 0.12 | 0.58 |
| 1966 | -0.42 | 0.08 | 0.38 | -0.08 | 0.00 | -0.91 | -0.48 | 0.12 | 0.10 | 0.90 | -0.39 | 0.57 |
| 1967 | 0.73 | 0.34 | 0.55 | -1.00 | -0.91 | 0.89 | -0.29 | -0.76 | 0.16 | 0.58 | 0.58 | -0.25 |
| 1968 | 0.18 | -1.07 | -0.29 | -0.55 | -0.66 | -0.56 | -0.46 | 0.27 | -0.67 | -0.18 | -0.75 | -0.38 |
| 1969 | -0.97 | -0.64 | -0.86 | -0.13 | -0.44 -0.31 | -0.35 | -0.56 | -0.08 | -0.31 | 0.79 | 1.19 | -0.66 |
| 1970 | 0.78 -1.08 | 1.25 -0.54 | -0.55 | -0.19 -0.08 | 0.22 | 0.40 1.71 | 0.13 0.37 | 1.83 | 0.40 0.20 | -0.29 | -0.41 | -0.36 |
| 1971 1972 | 0.50 | 1.09 | 0.41 -0.37 | -0.06 | -0.11 | -0.90 | 2.09 | -0.46 1.01 | 0.20 | 0.18 1.56 | -0.65 0.29 | -0.55 |
| 1973 | -0.37 | -0.26 | -0.43 | 0.89 | 0.14 | -0.30 | 0.51 | -0.18 | -0.01 | 0.09 | -0.16 | 1.05 |
| 1974 | 0.35 | -1.09 | 1.56 | -0.29 | -0.57 | 1.27 | - 0.77 | -0.58 | -0.62 | 0.06 | -0.74 | 1.03 |
| 1975 | -0.55 | 0.37 | -0.92 | -0.26 | -0.60 | -0.81 | 0.08 | -0.77 | -0.46 | 0.25 | 1.57 | 0.08 |
| 1976 | -0.37 | 0.85 | 0.23 | 0.38 | 1.39 | 0.38 | 2.11 | 2.18 | 1.68 | -0.10 | 0.26 | 0.08 |
| 1977 | 0.56 | -1.37 | 0.23 | 1.10 | -0.75 | 0.06 | -0.48 | 0.14 | 0.48 | -0.70 | 0.20 | 0.08 |
| 1978 | -0.65 | -0.96 | -0.03 | -1.01 | 0.96 | -0.07 | 1.53 | -0.72 | -0.08 | -0.70 | 1.08 | -0.04 |
| 1979 | -0.95 | -0.83 | -0.44 | 0.09 | 0.79 | -0.96 | 0.26 | 1.21 | 1.18 | -0.26 | 0.06 | 0.30 |
| 1980 | -0.07 | 0.41 | -0.81 | 1.20 | -0.60 | 1.17 | -0.43 | -0.07 | 0.36 | -0.63 | 0.14 | 0.42 |
| 1981 | 0.10 | -1.18 | -0.52 | -0.03 | -0.43 | 0.60 | -0.28 | -0.55 | -0.82 | 1.32 | 0.34 | 0.42 |
| 1982 | 0.39 | 0.08 | 1.07 | -0.26 | 0.07 | 1.52 | 0.31 | 0.35 | -0.61 | 1.75 | 0.64 | 0.94 |
| 1983 | 0.91 | 0.34 | 0.78 | 1.86 | 2.65 | 2.18 | 0.39 | -0.71 | 2.92 | 0.58 | 0.14 | 0.56 |
| 1984 | -0.49 | -1.48 | -0.76 | 0.71 | 0.36 | -0.90 | -0.66 | 1.99 | 0.71 | -1.23 | -0.29 | 0.07 |
| 1985 | 0.25 | -0.18 | 0.69 | 0.86 | -0.19 | -0.61 | -0.71 | -0.49 | -0.06 | -1.19 | -0.10 | -0.56 |
| 1986 | -0.54 | 0.21 | 0.63 | -0.34 | 0.65 | -0.96 | 0.19 | 2.32 | -0.41 | -0.91 | -0.09 | 1.82 |
| 1987 | 0.44 | -0.04 | -0.58 | 0.37 | 1.80 | 0.66 | -0.41 | -0.50 | 0.52 | -0.38 | 0.24 | -0.36 |
| 1988 | 0.03 | 0.27 | 0.37 | 1.01 | 1.10 | -0.33 | -0.78 | -0.85 | -0.70 | 0.88 | -0.59 | -0.15 |
| | 5.00 | 5.2.1 | <u> </u> | | | 0.00 | <u> </u> | 3.00 | 0.70 | 0.00 | 0.00 | <u> </u> |

Indice de anomalias estandarizadas de precipitaciones mensuales - San Pablo

Tabla 7 - Índice de anomalias estandarizadas de precipitación mensual para cada provincia.

| AÑOS | ENE | FEB | MAR | ABR | MAY | JUN | JUL | AGO | SEP | OCT | NOV | DEC |
|------|-------|-------------|-------|-------|-------|-------|-------|-------|-------|---------------|-------|-------|
| 1948 | 0.06 | 0.63 | 0.46 | 0.29 | 0.05 | 1.35 | 0.55 | 0.47 | 0.64 | 0.23 | 0.71 | 1.05 |
| 1949 | 0.73 | 0.83 | 0.59 | 0.36 | 0.65 | 0.00 | 0.80 | 0.13 | 0.58 | 0.93 | 0.61 | 0.06 |
| 1950 | 0.35 | 0.08 | 0.99 | -0.41 | -0.19 | -0.69 | -0.40 | -0.94 | -0.24 | 0.40 | 0.19 | -0.03 |
| 1951 | 0.61 | 0.56 | 0.19 | -0.87 | -0.67 | -0.43 | -0.86 | -0.70 | -1.01 | 1.47 | 0.20 | -0.43 |
| 1952 | -0.40 | -0.10 | -0.05 | -1.14 | -0.83 | 0.56 | -0.64 | -0.82 | 0.67 | 0.71 | 0.57 | -0.83 |
| 1953 | 0.29 | -0.47 | -0.37 | 0.01 | 0.04 | -0.92 | -0.40 | -0.66 | -0.19 | 0.94 | 0.28 | -0.20 |
| 1954 | 0.57 | -0.08 | 0.31 | 0.49 | 1.83 | 0.51 | 0.16 | -0.78 | 0.19 | 0.19 | -1.15 | -0.10 |
| 1955 | -0.19 | -0.44 | 1.06 | 0.32 | 0.13 | 1.60 | 0.90 | 0.40 | -1.09 | <i>-</i> 1.21 | -0.52 | 0.07 |
| 1956 | 0.60 | -0.42 | -0.04 | 1.16 | 0.52 | 0.15 | 0.19 | 0.20 | -0.15 | -0.44 | -1.34 | -0.30 |
| 1957 | 0.31 | -0.21 | -0.03 | 0.04 | -0.87 | 1.13 | 2.60 | 1.86 | 2.47 | 0.06 | -0.47 | 0.05 |
| 1958 | -0.69 | 0.05 | -0.06 | -0.58 | -0.13 | -0.55 | -0.18 | -0.25 | 0.93 | 0.05 | 0.27 | 0.07 |
| 1959 | -0.07 | 0.37 | -0.78 | 0.42 | -0.15 | -0.57 | -0.66 | 0.10 | -0.44 | -0.44 | -0.35 | -0.61 |
| 1960 | 0.00 | 0.22 | -1.04 | 0.38 | -0.03 | -0.19 | -0.57 | 0.90 | -0.27 | 0.39 | 0.53 | -0.55 |
| 1961 | -0.17 | 0.42 | 0.61 | 0.87 | -0.54 | 0.17 | -0.86 | -0.84 | 0.68 | -0.11 | 0.80 | -0.33 |
| 1962 | -0.57 | -0.12 | 0.23 | -0.50 | -0.62 | -0.83 | -0.52 | -0.36 | 0.22 | 0.95 | -0.52 | -0.87 |
| 1963 | 0.97 | -0.26 | 0.83 | -1.15 | -0.72 | -0.81 | 0.73 | -0.78 | -0.18 | 0.85 | 1.23 | -0.08 |
| 1964 | -1.20 | 0.76 | 0.36 | -0.14 | -0.59 | 0.51 | -0.09 | 0.74 | -0.13 | -0.85 | -0.42 | 0.12 |
| 1965 | 0.28 | 0.35 | -0.64 | 1.32 | 0.52 | -0.53 | 0.86 | -0.10 | -0.19 | 0.21 | -0.06 | 1.27 |
| 1966 | -0.62 | 0.97 | -0.44 | -0.09 | -0.38 | 0.01 | -0.53 | -0.37 | -0.44 | 1.04 | -0.73 | 0.24 |
| 1967 | -0.20 | 0.21 | 0.20 | -1.36 | -0.88 | 0.51 | -0.10 | -0.35 | -0.81 | -0.73 | -0.07 | -0.55 |
| 1968 | 0.33 | -1.37 | -0.32 | -0.23 | -0.81 | -0.82 | -0.77 | -0.42 | -0.88 | 0.14 | -0.67 | 0.01 |
| 1969 | -0.26 | -0.05 | -0.32 | 0.92 | 0.08 | 0.61 | -0.24 | -0.85 | 0.16 | -0.06 | 0.83 | -0.64 |
| 1970 | -0.59 | -0.08 | -0.52 | -0.63 | -0.15 | 1.61 | -0.12 | -0.50 | 0.36 | -0.26 | -0.97 | 1.76 |
| 1971 | 0.44 | -0.11 | 0.73 | 0.08 | 0.48 | 0.46 | 0.24 | -0.54 | -0.15 | -0.84 | -0.96 | -0.35 |
| 1972 | 0.50 | 1.16 | -0.12 | -0.56 | -0.76 | -0.43 | 0.55 | 1.26 | 1.15 | 0.33 | 0.13 | -0.05 |
| 1973 | 0.49 | -0.20 | -0.35 | 0.16 | 0.17 | 0.42 | 0.23 | 1.58 | 0.46 | -0.12 | -0.30 | -0.03 |
| 1974 | 0.41 | -0.28 | 0.27 | -0.31 | -0.57 | 0.63 | -0.47 | 0.15 | -0.85 | -0.18 | -0.24 | 0.06 |
| 1975 | -0.39 | -0.01 | -0.45 | -0.55 | -0.50 | -0.43 | -0.05 | 0.19 | 0.50 | 0.25 | 1.19 | 0.52 |
| 1976 | 0.57 | -0.32 | 0.44 | -0.20 | 0.35 | -0.09 | 0.01 | 0.82 | -0.14 | -0.20 | 0.14 | 0.07 |
| 1977 | 0.448 | -0.16 | 0.76 | -0.33 | -0.91 | -0.13 | -0.52 | -0.25 | -0.75 | 0.14 | 0.25 | 0.07 |
| 1978 | -0.89 | -1.21 | 0.06 | -1.49 | -0.42 | -0.57 | 0.76 | -0.02 | -0.02 | -0.89 | 0.44 | -0.37 |
| 1979 | -1.10 | -0.40 | -0.65 | -0.04 | 1.25 | -1.11 | -0.20 | 0.19 | 0.75 | 0.98 | 0.27 | 0.63 |
| 1980 | 0.40 | <u>0.15</u> | -0.16 | -0.37 | -0.29 | -0.43 | 0.65 | 0.58 | 0.74 | -0.24 | -0.66 | 1.57 |
| 1981 | 0.18 | -0.54 | -0.62 | 0.33 | -0.76 | -0.51 | -0.57 | -0.45 | -0.75 | 0.41 | 0.32 | 1.02 |
| 1982 | -1.13 | 1.23 | -0.44 | -1.02 | -0.15 | 1.95 | 0.93 | 0.04 | -1.11 | 1.42 | 2.90 | 0.49 |
| 1983 | 0.47 | -0.03 | 0.64 | 1.30 | 2.45 | 1.60 | 2.58 | -1.09 | 1.88 | 0.10 | -0.05 | 0.04 |
| 1984 | -0.35 | -0.93 | 0.54 | 0.38 | -0.28 | 0.14 | -0.52 | 1.69 | -0.05 | | | |
| 1985 | -1.13 | 0.73 | -0.39 | 0.92 | -0.57 | -0.95 | -0.48 | -1.07 | -0.38 | | - | -1.15 |
| 1986 | 0.17 | 0.64 | -0.30 | 0.31 | 0.51 | -1.22 | -0.57 | 0.87 | 0.08 | -0.63 | 0.31 | 0.98 |
| 1987 | -0.08 | 0.73 | -1.25 | 0.49 | 1.66 | 0.27 | -0.26 | -0.36 | -0.47 | -0.09 | | -0.35 |
| 1988 | 0.22 | -0.21 | -0.63 | 0.67 | 1.64 | -0.18 | -0.97 | -1.21 | -0.49 | 0.21 | -0.92 | 0.00 |
| 1989 | 1.50 | 0.69 | -0.07 | 0.34 | -0.20 | -0.20 | 0.81 | 0.27 | 1.08 | -0.51 | -0.36 | 0.00 |
| 1990 | 2.07 | -0.79 | 0.23 | 1.15 | 0.01 | 0.37 | 1.38 | 1.43 | 0.78 | 0.04 | 0.50 | -0.54 |
| 1991 | -0.33 | -0.75 | 0.18 | 0.01 | -0.60 | 1.21 | -0.80 | -0.44 | -0.70 | 0.28 | -0.13 | 1.04 |
| 1992 | -1.02 | 0.55 | 1.39 | -0.07 | 2.66 | -0.34 | 0.58 | 0.66 | 0.13 | -0.20 | 0.21 | -0.98 |

Indice de anomalias estandarizadas de precipitaciones mensuales - Paraná

Tabla 7 - (continuación del anexo VIII)

| AÑOS | ENE | FEB | MAR | ABR | MAY | JUN | JUL | AGO | SEP | OCT | NOV | DEC |
|------|-------|-------|-------|-------|---------------|-------|-------|-------|---------------|-------|------------------------|-------|
| 1943 | -0.33 | -0.75 | -0.78 | -1.09 | 0.81 | 0.77 | 0.50 | 0.49 | -0.17 | -0.82 | -0.79 | -0.43 |
| 1944 | 0.79 | -0.72 | -0.42 | -0.46 | -1.16 | -0.25 | -0.77 | -0.17 | -1.42 | -1.07 | 0.50 | -1.21 |
| 1945 | -0.61 | 0.88 | -1.17 | -0.06 | -0.90 | -0.58 | -0.11 | -0.77 | -0.17 | -0.76 | -0.74 | -0.47 |
| 1946 | 0.26 | 1.17 | 1.30 | -0.96 | 0.21 | 1.55 | 0.32 | 0.20 | -1.45 | 0.52 | - 0. 8 6 | -0.20 |
| 1947 | -0.20 | 0.51 | -0.48 | -0.88 | 0.07 | -0.13 | -0.15 | 0.11 | 0.86 | 0.33 | -0.46 | 0.38 |
| 1948 | 0.15 | 0.69 | 0.18 | 0.20 | 2.05 | -1.61 | 0.52 | 0.53 | -1.05 | -0.47 | -0.69 | -1.30 |
| 1949 | -0.56 | -1.18 | 0.61 | 0.89 | -0.86 | 0.44 | -0.60 | 0.02 | -0.39 | -1.09 | -0.51 | -0.18 |
| 1950 | 0.34 | -0.47 | 1.00 | -0.08 | -0.09 | -0.88 | -0.83 | 0.01 | -0.42 | 0.31 | <i>-</i> 0.55 | 0.16 |
| 1951 | 0.18 | 0.54 | -0.81 | -0.31 | -0.96 | -0.85 | -0.60 | -1.34 | -0.82 | 1.83 | 0.02 | -0.59 |
| 1952 | -0.17 | -1.02 | -0.87 | -1.23 | -0.43 | 1.07 | -0.30 | -1.11 | 0.13 | 1.01 | -0.08 | 0.11 |
| 1953 | -0.15 | -0.51 | -0.12 | -0.35 | -0.03 | -1.39 | -0.39 | -0.57 | -0.46 | 1.21 | -0.41 | -0.17 |
| 1954 | 0.11 | 0.16 | 0.02 | 1.00 | 0.89 | 0.53 | 0.76 | -0.90 | 0.68 | 0.98 | -1.32 | -0.46 |
| 1955 | -0.80 | 0.04 | -0.42 | 0.61 | 0.46 | 0.16 | 0.99 | -0.57 | -0.54 | -1.26 | -0.25 | 0.18 |
| 1956 | 1.01 | -0.28 | 0.06 | 0.42 | 0.31 | -0.08 | -0.38 | -0.42 | 0.59 | -0.32 | -1.29 | -0.35 |
| 1957 | 0.07 | -0.69 | 0.06 | 1.03 | -0.28 | 0.49 | 1.49 | 2.11 | 1.81 | 0.02 | -0.17 | 0.08 |
| 1958 | -0.39 | 0.68 | 1.29 | -0.09 | -0.06 | 0.70 | -0.55 | 0.03 | 0.28 | 0.50 | 0.63 | 0.61 |
| 1959 | -0.30 | -0.10 | -0.59 | 1.11 | -0.22 | -0.75 | -0.83 | 0.36 | 0.64 | -1.11 | -0.63 | -0.60 |
| 1960 | -0.28 | 0.48 | 0.36 | -0.34 | -0.34 | -0.65 | -0.81 | 1.30 | -0.86 | 0.03 | 0.89 | -0.75 |
| 1961 | -0.61 | 0.19 | 0.65 | 0.00 | -0.45 | 0.07 | -0.45 | -0.96 | 3.04 | 1.06 | 2.15 | 0.62 |
| 1962 | -0.75 | -0.39 | 0.00 | -0.35 | 0.12 | -0.76 | 0.01 | -0.91 | 0.40 | -0.26 | -0.16 | -0.74 |
| 1963 | 1.42 | 0.19 | 0.90 | -0.99 | -0.96 | -1.14 | -0.53 | -0.21 | 1.39 | 1.06 | 0.89 | -0.48 |
| 1964 | -1.22 | -0.47 | -0.26 | 0.56 | -0.64 | -0.13 | -0.32 | -0.31 | -0.16 | -0.09 | -0.72 | -0.37 |
| 1965 | -0.60 | -0.90 | -0.60 | 0.95 | 0.56 | -0.79 | 0.08 | 0.68 | 0.29 | -0.69 | 0.20 | 1.36 |
| 1966 | 0.76 | 1.87 | 0.33 | 0.25 | - 0.53 | 0.90 | 0.76 | -0.25 | -0.26 | 0.59 | -0.45 | 0.27 |
| 1967 | -0.19 | 0.69 | -0.17 | -0.75 | -0.63 | 0.12 | -0.16 | -0.45 | 0.87 | -0.66 | 0.84 | -0.53 |
| 1968 | -0.67 | -1.29 | -0.42 | -0.52 | -1.09 | -0.68 | -0.52 | -0.84 | 0.00 | -0.08 | -0.58 | 0.28 |
| 1969 | 0.63 | 0.47 | 0.54 | 1.21 | -0.32 | 1.34 | -0.38 | -0.18 | -0.51 | -0.70 | 0.65 | -0.78 |
| 1970 | 0.05 | 0.05 | 0.12 | -0.73 | 0.06 | 1.74 | -0.03 | -0.09 | -0.64 | -0.48 | -1.09 | 1.25 |
| 1971 | 0.66 | 0.81 | 1.21 | 1.13 | 0.22 | 0.82 | -0.21 | -0.08 | -0.25 | -0.55 | -0.74 | -1.09 |
| 1972 | -0.21 | 1.07 | 0.75 | -0.59 | -1.07 | 1.02 | 0.16 | 1.87 | 0.70 | -0.31 | -0.16 | 0.46 |
| 1973 | 1.17 | -0.33 | -0.56 | 0.12 | 0.23 | 1.24 | 0.48 | 1.90 | 0.33 | -1.13 | -0.33 | 0.02 |
| 1974 | 0.19 | -0.31 | 1.00 | -0.82 | -0.76 | 0.28 | 0.19 | -0.76 | -0.73 | -0.81 | -0.14 | -0.51 |
| 1975 | -0.62 | -0.55 | -0.05 | -0.77 | -0.23 | -0.21 | -0.42 | 0.82 | 1.39 | 0.55 | 1.03 | 0.93 |
| 1976 | 0.24 | -0.85 | 0.80 | -0.84 | 1.81 | 0.24 | 0.43 | 0.20 | -0.80 | -0.33 | 0.03 | 0.63 |
| 1977 | 0.80 | -0.21 | 0.99 | -0.30 | -0.95 | -0.88 | -0.38 | 1.51 | -0.79 | 1.03 | 1.01 | -0.60 |
| 1978 | -0.06 | -0.52 | 0.18 | -1.69 | -0.91 | -0.42 | 0.00 | -0.62 | -0.14 | -0.40 | 0.43 | 0.99 |
| 1979 | -1.80 | -0.68 | -0.96 | 0.95 | 1.51 | -0.89 | -0.33 | -0.54 | <u>-0</u> .31 | | 0.72 | 0.22 |
| 1980 | -0.21 | -0.41 | 0.51 | -0.48 | -0.27 | -0.24 | 1.22 | 0.76 | 0.35 | 0.53 | 0.01 | 2.49 |
| 1981 | -0.05 | -0.68 | -0.78 | 0.11 | -0.76 | -0.43 | 0.12 | -0.71 | 0.42 | 0.08 | -0.09 | 0.53 |
| 1982 | -1.31 | 1.05 | 0.07 | -0.97 | -0.15 | 1.16 | -0.18 | 0.14 | -1.38 | 1.06 | 2.32 | -0.04 |
| 1983 | 1.18 | 0.70 | 0.19 | 1.11 | 2.46 | 1.28 | 4.96 | -0.03 | 0.58 | -0.50 | 0.63 | 1.86 |
| 1984 | 0.51 | -0.31 | -0.11 | 0.59 | 0.00 | 0.84 | 0.25 | 2.40 | -0.16 | -0.49 | 0.98 | -0.40 |
| 1985 | -1.12 | 1.12 | -0.52 | 0.86 | -0.67 | -0.96 | -0.19 | -0.79 | -0.44 | -0.25 | -0.17 | -1.05 |
| 1986 | -0.19 | 0.09 | -1.00 | 0.57 | 0.05 | -1.21 | -0.47 | -0.41 | 0.06 | 0.30 | 1.34 | 0.84 |
| 1987 | 0.75 | 0.95 | -1.26 | 0.48 | 2.01 | 0.31 | 0.25 | 0.36 | -0.77 | 1.14 | -0.78 | 0.01 |
| 1988 | 0.41 | -0.72 | -0.82 | 0.83 | 1.32 | -0.06 | 1.06 | -1.26 | 0.17 | -0.29 | -0.71 | -0.64 |
| 1989 | 1.89 | 0.06 | 0.18 | 0.74 | 0.66 | -0.99 | 0.13 | -0.43 | 1.06 | -1.03 | -0.28 | -0.22 |

Indice de anomalias estandarizadas de precipitaciones mensuales - S. Catarina

Tabla 7 - (continuación del anexo VIII)

| AÑOS | ENE | FEB | MAR | ABR | MAY | JUN | JUL | AGO | SEP | OCT | NOV | DEC |
|------|-------|-------|-------|-------|-------|-------|-------|-------|-------|-------|-------|-------------|
| 1944 | 0.94 | -0.43 | -0.09 | -0.77 | -0.89 | 0.84 | -0.86 | -0.64 | -0.96 | 0.86 | -0.53 | -1.14 |
| 1945 | -0.91 | -0.72 | -0.81 | -0.65 | -0.96 | -0.63 | 0.64 | -0.19 | -0.29 | -1.16 | 0.01 | 0.13 |
| 1946 | 1.19 | 0.34 | -0.75 | -1.01 | 0.17 | 0.16 | -0.38 | -0.35 | -1.08 | 0.43 | 0.30 | 0.76 |
| 1947 | 0.60 | 0.00 | -0.86 | -0.11 | 0.56 | -0.02 | -0.91 | -0.79 | 0.19 | -1.05 | -0.58 | 0.49 |
| 1948 | 0.34 | -0.01 | -0.07 | 0.62 | 0.20 | 0.27 | 0.45 | -0.82 | 0.01 | -0.04 | -0.41 | -1.33 |
| 1949 | -0.16 | -0.79 | 1.37 | 0.02 | -0.62 | -0.20 | -0.07 | -0.42 | 0.27 | -0.41 | -0.89 | -0.43 |
| 1950 | -0.90 | -0.34 | 0.32 | -0.37 | 0.65 | 0.50 | 0.20 | -0.15 | -0.32 | -0.06 | -0.53 | 0.11 |
| 1951 | -0.33 | 0.44 | 0.02 | -0.17 | -0.67 | -0.32 | -1.34 | -1.07 | -0.31 | 0.16 | 0.86 | -0.55 |
| 1952 | -0.93 | -0.71 | 0.35 | -0.69 | 0.19 | 1.23 | 0.15 | -0.70 | -0.36 | 0.34 | -0.53 | -0.56 |
| 1953 | -0.07 | -0.83 | -0.39 | -0.03 | 0.17 | -0.13 | -0.74 | -0.11 | 1.21 | 0.78 | -0.82 | -0.78 |
| 1954 | 0.70 | 0.53 | -0.35 | -0.11 | -0.46 | 1.30 | 0.81 | -0.48 | 0.76 | 0.08 | -1.07 | 0.06 |
| 1955 | -0.42 | 0.25 | -0.08 | 0.81 | 0.84 | -0.36 | -0.22 | -0.73 | -0.46 | -0.76 | -0.93 | -0.33 |
| 1956 | 1.32 | -0.50 | -0.10 | 0.83 | -0.41 | -0.90 | -0.32 | -0.43 | -0.47 | -0.28 | -1.13 | -0.70 |
| 1957 | 0.10 | -0.75 | -0.83 | 0.17 | -0.31 | 0.04 | -0.05 | -0.05 | -0.01 | 0.32 | 0.00 | 0.42 |
| 1958 | -0.28 | 0.33 | -0.27 | -0.46 | -0.17 | 0.22 | -0.28 | 0.27 | -0.15 | 0.19 | 0.70 | 1.08 |
| 1959 | 0.23 | 0.41 | -0.04 | 2.26 | 0.66 | 0.35 | -0.74 | 1.02 | 0.14 | 0.55 | -0.76 | -0.11 |
| 1960 | -0.75 | -0.29 | 0.07 | -0.43 | -0.77 | 0.10 | 0.54 | 0.54 | 0.15 | 0.16 | -0.36 | -0.60 |
| 1961 | -0.30 | 0.23 | 0.92 | 0.19 | -0.44 | 0.53 | -0.26 | -0.32 | 1.78 | 0.89 | 0.12 | 0.25 |
| 1962 | -0.58 | -0.91 | 0.11 | -0.42 | -0.50 | -1.29 | -0.39 | -0.60 | -0.29 | -0.72 | -0.57 | -0.62 |
| 1963 | 0.89 | -0.51 | 0.51 | -0.69 | -0.38 | -0.85 | -0.59 | 0.28 | 0.55 | 1.59 | 1.38 | 0.11 |
| 1964 | -1.10 | -0.45 | -0.34 | 0.32 | -1.07 | -0.97 | -0.48 | 0.35 | -0.32 | -0.42 | -0.67 | 0.01 |
| 1965 | -0.89 | -0.41 | -0.20 | 0.21 | -0.45 | -0.67 | -0.59 | 1.84 | 1.34 | 0.35 | -0.14 | 1.52 |
| 1966 | 0.36 | 0.79 | 1.14 | -0.43 | -1.25 | 0.74 | 1.24 | 0.42 | 0.19 | 0.72 | -0.23 | 1.89 |
| 1967 | -0.29 | 0.14 | -0.34 | -0.89 | 0.00 | -0.13 | 0.00 | 0.74 | 1.12 | -0.07 | -0.20 | -0.74 |
| 1968 | -0.20 | -0.74 | 0.66 | -0.21 | -0.96 | -0.86 | -0.48 | -1.28 | 0.04 | -0.12 | 0.25 | 0.31 |
| 1969 | 0.20 | 0.98 | -0.43 | -0.45 | 0.49 | -0.38 | -0.60 | -0.35 | -0.46 | -0.94 | 0.54 | -0.49 |
| 1970 | -0.41 | -0.28 | 0.14 | -0.78 | 0.83 | 0.88 | 0.13 | -0.27 | -1.14 | -0.11 | -0.85 | 1.35 |
| 1971 | 0.37 | 0.71 | 0.26 | -0.07 | -0.14 | 0.40 | -0.18 | 0.01 | -0.84 | -1.12 | -0.69 | 0.17 |
| 1972 | 0.49 | 0.01 | 0.37 | 0.24 | -0.23 | 1.76 | 0.55 | 1.97 | 0.62 | 0.18 | 0.63 | -0.6 |
| 1973 | 1.22 | 1.05 | -0.71 | 0.31 | 0.53 | -0.10 | 0.99 | 0.38 | -0.25 | -0.29 | -0.88 | 0.88 |
| 1974 | 0.09 | 0.14 | -0.10 | -0.96 | 0.28 | -0.05 | -0.59 | -0.08 | -0.72 | -0.86 | 0.17 | 0.23 |
| 1975 | -0.34 | -0.13 | 0.30 | -0.71 | -0.28 | -0.38 | -0.56 | 1.05 | 0.57 | -0.54 | 0.52 | -0.21 |
| 1976 | 0.57 | -0.45 | 0.88 | -0.29 | 0.61 | -0.61 | 0.02 | 0.29 | -0.67 | -0.17 | 0.27 | 0.55 |
| 1977 | 0.49 | 0.71 | 0.57 | -0.13 | -0.38 | 0.13 | 1.58 | 0.35 | -0.51 | -0.27 | 0.77 | -0.37 |
| 1978 | -0.05 | -0.83 | 0.07 | -1.04 | -0.67 | -0.57 | 0.71 | -0.57 | -0.70 | 0.05 | 0.90 | -0.12 |
| 1979 | -1.29 | -0.10 | -0.54 | 0.23 | 0.23 | -1.09 | -0.03 | 0.39 | 0.15 | 1.02 | 0.44 | 0.83 |
| 1980 | -0.76 | 0.03 | | | 0.23 | -0.16 | | | | 0.88 | 0.58 | |
| 1981 | 0.09 | 0.62 | -0.90 | -0.15 | -0.41 | -0.05 | -0.66 | | 0.44 | -0.93 | 0.43 | |
| 1982 | -1.04 | 0.80 | -0.69 | -0.98 | 0.03 | 1.09 | 0.43 | 0.58 | 0.04 | 0.92 | 1.88 | -0.15 |
| 1983 | 0.11 | 1.75 | 0.15 | 0.74 | 1.58 | -0.06 | 2.25 | 0.05 | -0.69 | 0.34 | 0.18 | |
| 1984 | 1.58 | 0.21 | -0.42 | 0.88 | 2.21 | 1.45 | 0.60 | 0.18 | 0.12 | 0.16 | -0.03 | |
| 1985 | -0.82 | 0.29 | 1.23 | 0.66 | 0.64 | -0.31 | 0.19 | 0.90 | 0.20 | -0.95 | -1.09 | -0.78 |
| 1986 | -0.33 | 0.02 | 0.62 | 1.65 | 1.01 | -0.17 | -0.49 | 0.31 | -0.23 | 0.14 | 2.71 | -0.45 |
| 1987 | 0.42 | 0.24 | -0.13 | 2.06 | 1.06 | -0.57 | 1.90 | 0.94 | -0.28 | 0.27 | 0.01 | 0.16 |
| 1988 | 0.95 | -0.73 | -1.03 | 0.91 | -0.59 | 0.53 | -1.17 | -1.26 | 2.40 | -0.01 | 0.37 | -0.49 |

Indice de anomalias estandarizadas de precipitaciones mensuales - R. G. del Sur

Tabla 7 - (continuación del anexo VIII)

ANEXO IX

Estudio del indice estandarizado, mensual, de la precipitación para cada provincia del Brasil Meridional y para distintos períodos.

Este estudio posibilitó indentificar los meses que lloveran, para cada provincia, durante los fenómenos de ENSO y anti-ENSO.

El criterio utilizado fue:

- 1) Se generó una matriz juntando todas las estaciones de un mismo período, para cada mes;
- 2) Se estandarizó las matrices, de cada mes, generando un vector con el promedio del numero de columna;
 - 3) Se juntó estes vectores generando una nueva matriz (ANEXO VI).

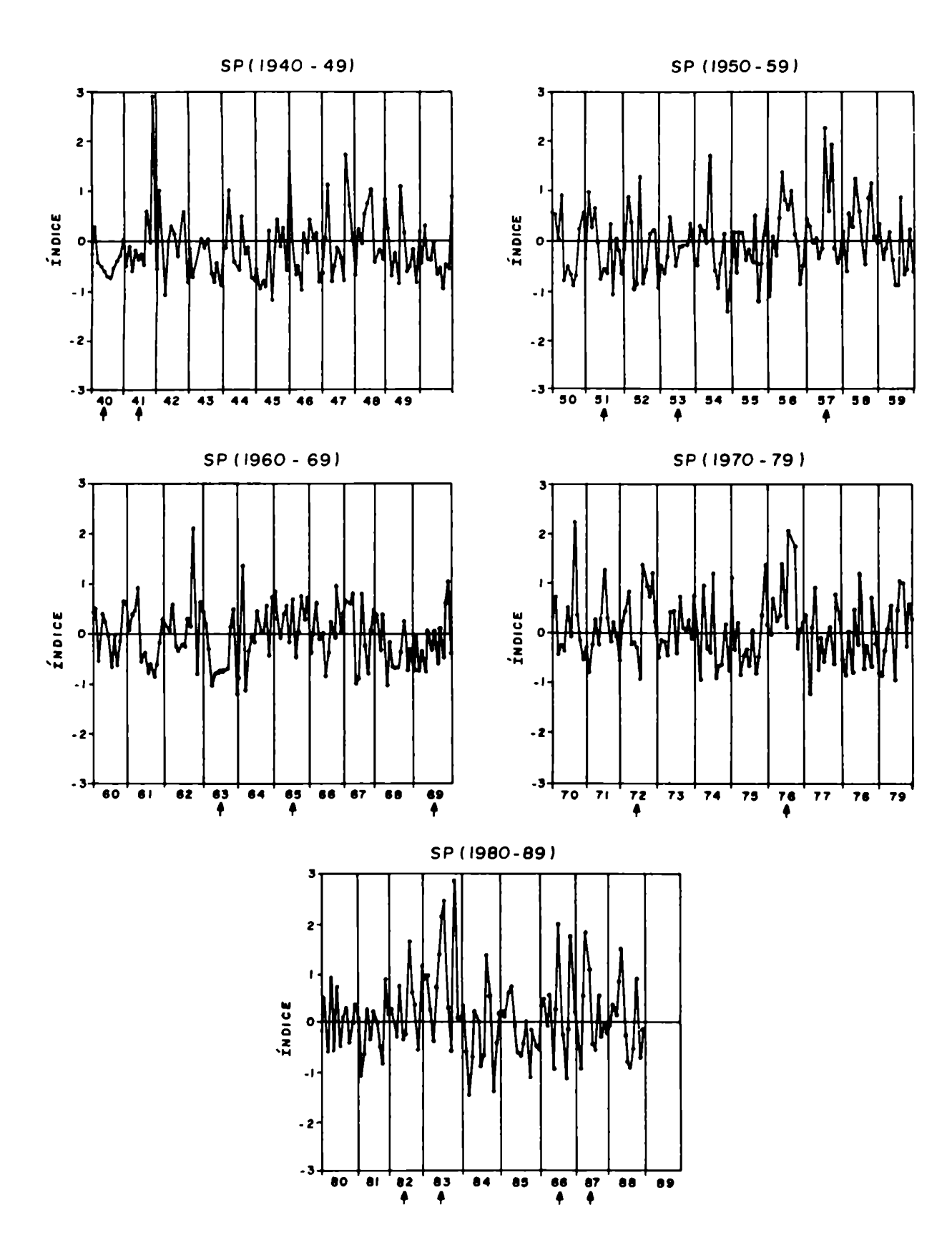


Figura 41 - Índice estandarizado de la precipitación para la provincia de San Pablo, mes a mes.

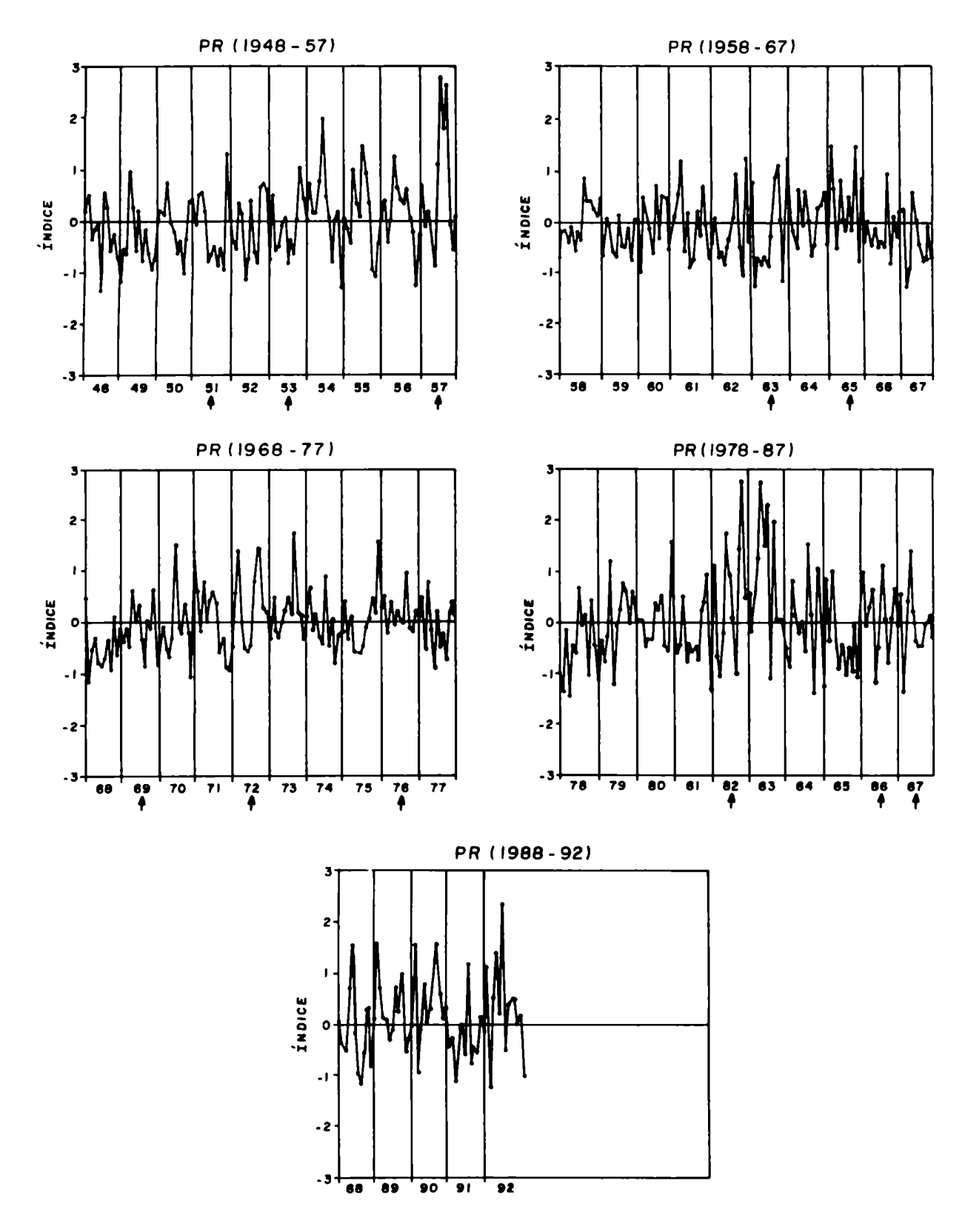


Figura 42 - Índice estandarizado de la precipitación para la provincia de Parana, mes a mes.

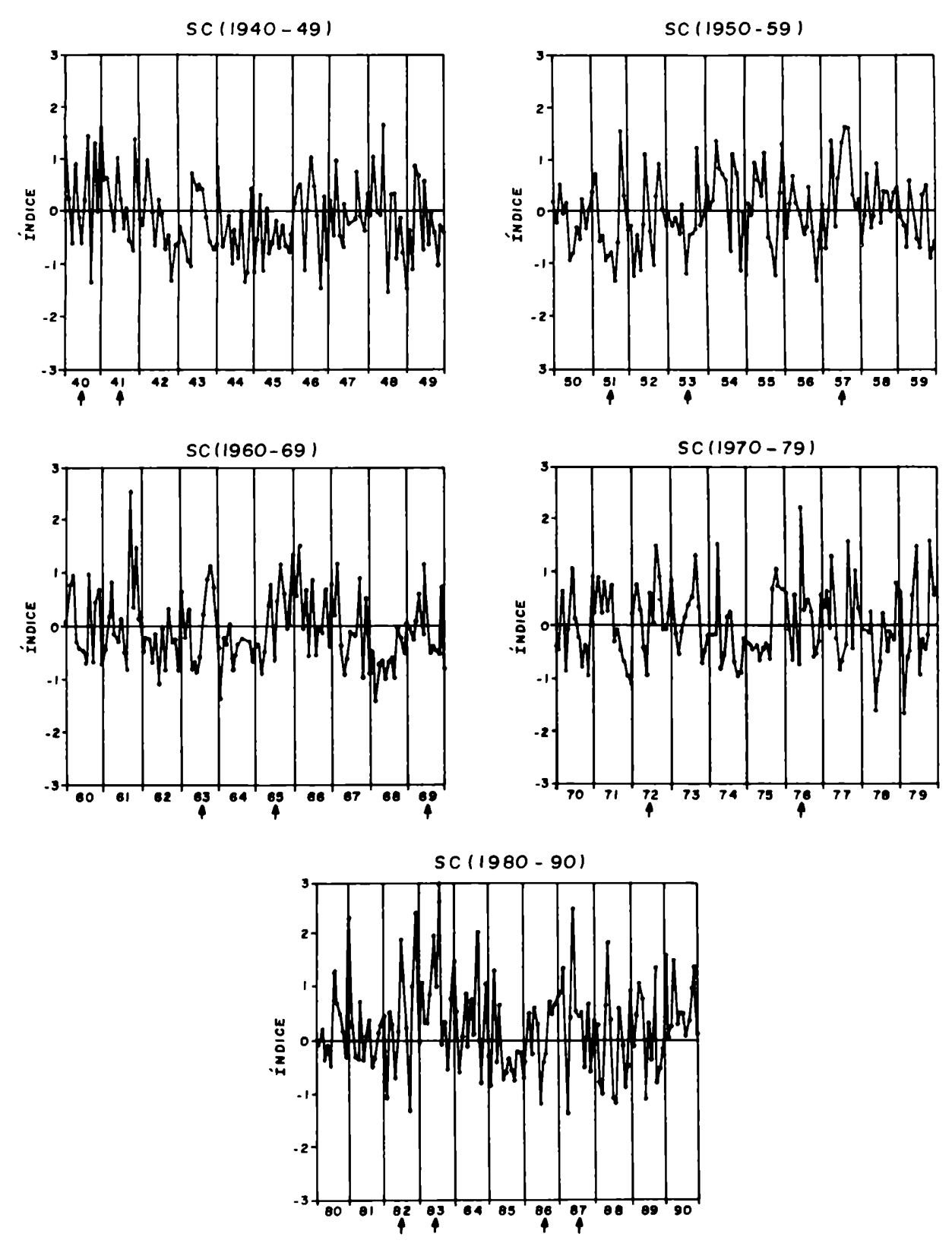


Figura 43 - Índice estandarizado de la precipitación para la provincia de Santa Catarina, mes a mes.

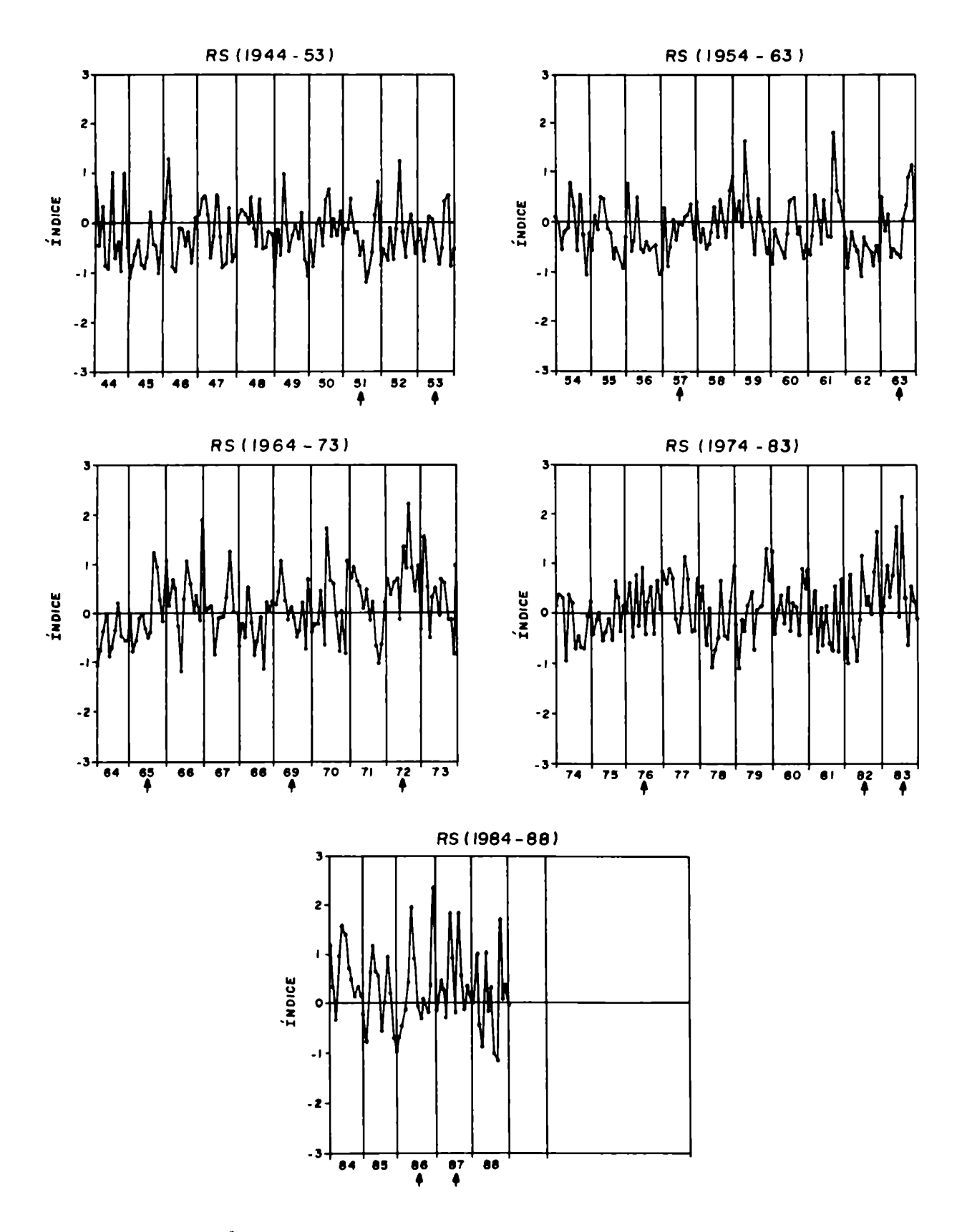


Figura 44 - Índice estandarizado de precipitación para la provincia de Rio Grande del Sur, mes a mes.

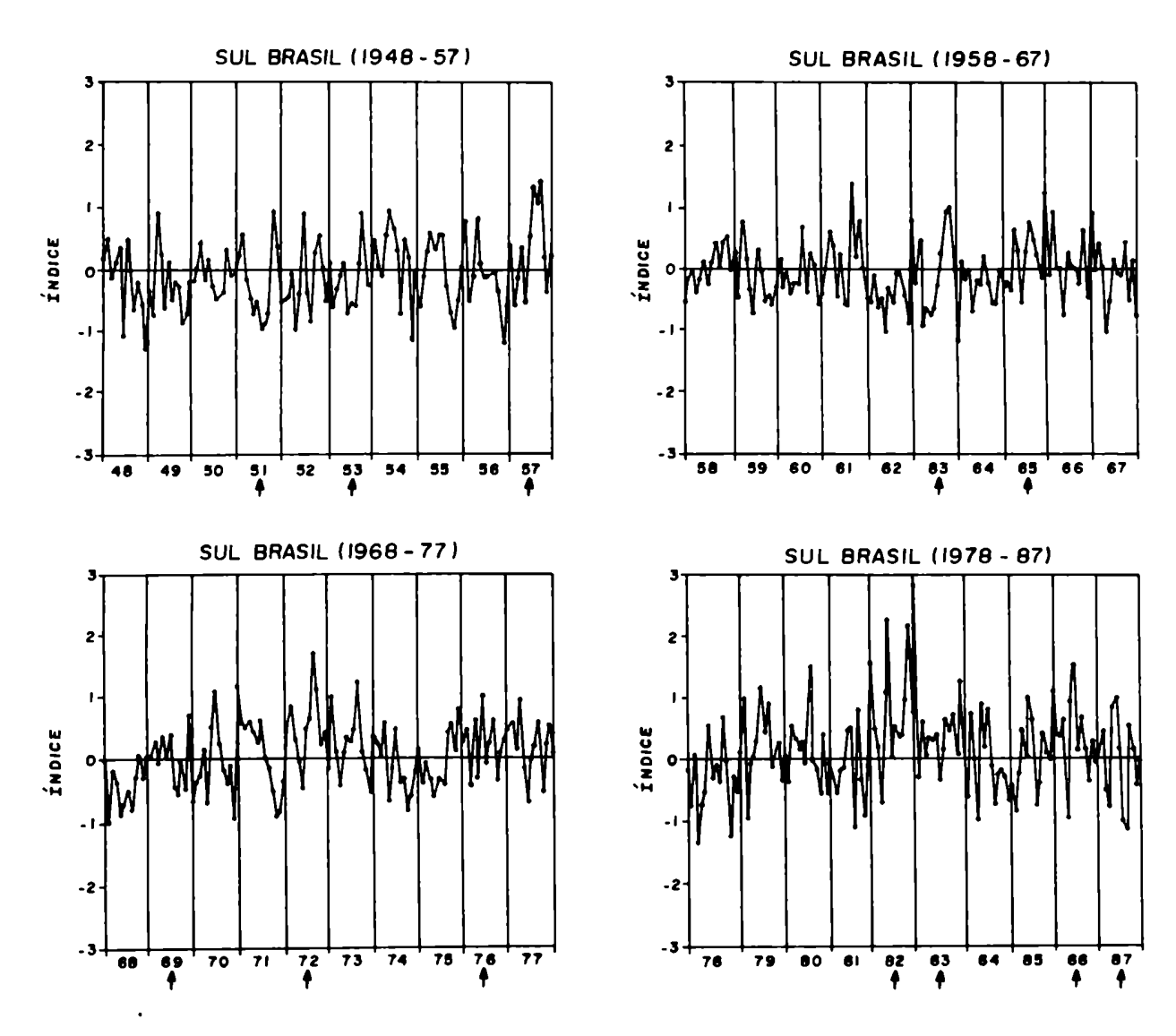


Figura 45 - Índice estandarizado de la precipitación para el Sur de Brasil, mes a mes.

Fe de Errata

Pagina 18, parrafo 2: Una de las caracterisiticas más importantes de la OS es la correlación negativa en la presión al nivel de mar (PNM) entre el oceáno Pacífico y el oceáno Indico.

Pagina 18, parrafo 3: Cuando la PNM sobre la región del anticiclon del Pacifico Sur está bajo la normal (superior a la normal), se considera que la OS está en fase negativa (positiva). Esta fase es también conocida como El Niño/Oscilación Sur (ENOS) o episodio caliente de la OS debido a la conexión con El Niño, Bjerknes (1969), Trenberth (1976 b), Rasmusson y Carpenter (1982), Arkin (1982). Muchos eventos climáticos regionales con graves problemas sobre las actividades socio económicos, tales como la sequía en la India, Australia y Nordeste de Brasil, inundaciones en Perú, Ecuador, etc etan asociados con los episodios calientes de la OS, Kruger y Winston (1975), Kousky et al. 1984. Muchas observaciones del El Niño demuestran que este fenómeno aparece generalmente entre diciembre y enero, una vez cada dos a siete años, en promedio y la anomalía de temperatura (TSM) se propaga de oeste hacia este en el Pacífico ecuatorial.

Pagina 42, 43, 51, 52, 54, 55, 56 y 57 (los graficos): Ordenadas de los graficos de promedios y desvios corresponde a milimetros de precipitaciones.

Pagina 69 y 70: Correlación en función de la distancia de las estaciones del Brasil Meridional. En los graficos las distancias estan medidas en milimetros para una escala de 1: 10000000.

Pagina 58: Los X(I) son los valores originales de las precipitaciones mensuales de cada estación.

Dr Walter Maria Vargas

Jonas T. Nerv